

**การศึกษาที่อิงทางไฟฟ้าในจำนวนพอ足อิเล็กทรอนิกส์แบบเชื่อมขาว  
สำหรับสายเคเบิลแรงดัน 22 kV**

**นายรัฐเขต เทียมศรี**

วิทยานิพนธ์นี้เป็นส่วนหนึ่งของการศึกษาตามหลักสูตรปริญญาวิศวกรรมศาสตรมหาบัณฑิต  
สาขาวิชาวิศวกรรมไฟฟ้า  
มหาวิทยาลัยเทคโนโลยีสุรนารี  
ปีการศึกษา 2555

**STUDY OF ELECTRICAL TREEING IN CROSSLINKED  
POLYETHYLENE INSULATING MATERIAL  
FOR 22 kV HIGH VOLTAGE CABLE**

**Ratthakhet Thiamsri**

**A Thesis Submitted in Partial Fulfillment of the Requirements for the  
Degree of Master of Engineering in Electrical Engineering  
Suranaree University of Technology**

**Academic Year 2012**

# การศึกษาทรีอิงทางไฟฟ้าในจำนวนพอเลอทลีนแบบเชื่อมขวางสำหรับ สายเคเบิลแรงสูง 22 kV

มหาวิทยาลัยเทคโนโลยีสุรนารี อนุมัติให้นับวิทยานิพนธ์ฉบับนี้เป็นส่วนหนึ่งของการศึกษา  
ตามหลักสูตรปริญญาบัณฑิต

คณะกรรมการสอบวิทยานิพนธ์

(ผศ. ดร.อนันต์ อุ่นศิริไโลย์)

ประธานกรรมการ

(ผศ. ดร.บุญเรือง มะรังศรี)

กรรมการ (อาจารย์ที่ปรึกษาวิทยานิพนธ์)

(ผศ. ดร.เมศิล เพ่าละอ้อ)

กรรมการ

(ผศ. ดร.วิมลลักษณ์ สุตะพันธ์)

กรรมการ

(ศ. ดร.ชุกิจ ลิมปีจำنجก์)  
รองอธิการบดีฝ่ายวิชาการ

(รศ. รอ. ดร.กนดัชชร ชำนินิประสาสน์)  
คณบดีสำนักวิชาศึกษาศาสตร์

รัฐเขต เทียมศรี : การศึกษาทริอิงทางไฟฟ้าในจำนวนพอลิเอทิลีนแบบเชื่อมห่วงสำหรับสายเคเบิลแรงสูง 22 kV (STUDY OF ELECTRICAL TREEING IN CROSSLINKED POLYETHYLENE INSULATING MATERIAL FOR 22 kV HIGH VOLTAGE CABLE) อาจารย์ที่ปรึกษา : ผู้ช่วยศาสตราจารย์ ดร.บุญเรือง มะรังศรี, 134 หน้า.

การใช้งานสายเคเบิล ได้ดีนเป็นระยะเวลานานอาจทำให้เกิดการเสื่อมอายุ จากความเครียดต่าง ๆ อย่างหลีกเลี่ยงไม่ได้ ตัวอย่างเช่น ความเครียดทางไฟฟ้า ความเครียดทางกล และความเครียดทางความร้อน เป็นต้น ทริอิงทางไฟฟ้าเป็นหนึ่งในหลายลักษณะ การเสื่อมอายุของสายเคเบิล ที่เกิดจากความเครียดทางไฟฟ้าแล้วนำไปสู่การผิดพร่องของสายเคเบิลในที่สุด ดังนั้นความรู้ความเข้าใจเกี่ยวกับคุณลักษณะการเกิดทริอิงทางไฟฟ้าจึงมีความสำคัญเป็นอย่างยิ่ง งานวิจัยวิทยานิพนธ์นี้มีจุดมุ่งหมายเพื่อศึกษาผลของการเสื่อมห่วง ฉุดทดสอบทริอิงทางไฟฟ้า ส่วนวัสดุทดสอบแต่ละชิ้นเตรียมจากสายเคเบิลแรงสูง ได้ดีนสำหรับระบบ 22 kV ที่ยังไม่ผ่านการใช้งาน นำมาตัดตามห่วงให้มีความหนา 5 mm หลังจากถูกเปลือกหุ้มแล้วนำไปอบไก่ความชื้นที่อุณหภูมิ 110°C เป็นเวลา 5 นาทีจากนั้นใช้อิเล็กโทรดป้ายเหล้ม เสียบเข้าไปในเนื้อหัวน ให้มีระยะห่างจากตัวนำ 2.5 mm ทำการเชื่อมต่อไฟฟ้าแรงสูงเข้ากับ อิเล็กโทรดป้ายเหล้มและเชื่อมต่อตัวนำลงดิน ในการศึกษารังน้ำใช้คลื่นแรงดันรูปไข่น และคลื่นแรงดันรูปสามเหลี่ยม โดยมีความถี่ 50 Hz 100 Hz 500 Hz 1000 Hz และ 2000 Hz และ อุณหภูมิที่ใช้ประกอบด้วย 25°C 60°C 75°C และ 90°C ตามลำดับ จากผลการศึกษาพบว่าลักษณะรูปแบบของทริอิงทางไฟฟ้าที่เกิดขึ้นแบ่งได้ 2 แบบคือ ทริอิงทางไฟฟ้าแบบคล้ายพุ่ม และทริอิงทางไฟฟ้าแบบคล้ายกิ่ง การขยายตัวของทริอิงทางไฟฟ้าแบบคล้ายกิ่งมีความรวดเร็วและรุนแรงมากกว่าการขยายตัวของทริอิงทางไฟฟ้าแบบคล้ายพุ่ม และสามารถนำไปสู่ความผิดพร่องของหัวน ได้เร็วมากกว่าแบบคล้ายพุ่ม การขยายตัวของทริอิงทางไฟฟ้าขึ้นอยู่กับความถี่ของแรงดันไฟฟ้าถ้าความถี่สูงการขยายตัวก็เร็วขึ้นตามไปด้วย ผลของอุณหภูมิพบว่า เมื่ออุณหภูมิสูงขึ้นการขยายตัวของทริอิงทางไฟฟ้าก็สูงขึ้นตามไปด้วย ส่วนผลของรูปคลื่นแรงดันพบว่า ที่รูปคลื่นแรงดันสามเหลี่ยมความถี่ต่ำการขยายตัวของทริอิงทางไฟฟ้าเร็วกว่าแบบรูปคลื่นไข่น ในขณะที่ความถี่สูงทริอิงจะกรุ่นแรงดันไข่นขยายตัวเร็วกว่าแบบรูปคลื่นแรงดันสามเหลี่ยมนอกจากนี้เมื่อนำหัวน ที่ผ่านการทดสอบมาตรวจสอบการเปลี่ยนแปลงโครงสร้างทางเคมีและโครงสร้างทางกายภาพ โดยการเปลี่ยนแปลงโครงสร้างทางเคมีตรวจสอบตัวยานิค FTIR พบว่าพันธะระหว่าง C=C ซึ่งแสดงการเกิดปฏิกิริยาการร้อนในเซ็นทรีมีปริมาณเพิ่มสูงขึ้น และพันธะระหว่าง C=O ซึ่งแสดงการเกิดปฏิกิริยาออกซิเดชันมีปริมาณเพิ่มสูงขึ้นด้วยเห็นกัน

แสดงถึงการเลื่อนอายุของผู้คน ส่วนการเปลี่ยนแปลงโครงสร้างทางกายภาพตรวจสอบด้วย  
เทคนิคกล้องจุลทรรศน์สเตอริโอ พบว่า ทรีอิงทางไฟฟ้าแบบกึ่งมีการเผาไหม้ที่รุนแรงกว่าทรีอิง  
ทางไฟฟ้าแบบพุ่ม โดยสังเกตจากสีและขนาดของช่องว่างของผู้คนที่เกิดการกัดเซาะจากทรีอิง  
ทางไฟฟ้า



สาขาวิชาวิศวกรรมไฟฟ้า  
ปีการศึกษา 2555

ตามมือชื่อนักศึกษา \_\_\_\_\_  
ตามมือชื่ออาจารย์ที่ปรึกษา \_\_\_\_\_

RATTHAKHET THIAMSRI : STUDY OF ELECTRICAL TREEING IN  
CROSSLINKED POLYETHYLENE INSULATING MATERIAL FOR 22 kV  
HIGH VOLTAGE CABLE. THESIS ADVISOR : ASST. PROF.  
BOONRUANG MARUNGSI, D.ENG., 134 PP.

## ELECTRICAL TREEING/XLPE INSULATED/CABLE AGEING

Under long term in service, ageing of underground cable caused by various stresses, i.e. electrical, mechanical and thermal stresses may occur unavoidably. Basically, electrical treeing caused by electrical stress is one of many ageing indicators of XLPE insulated cable. The occurrence of electrical treeing leads to cable failure. So, knowledge of electrical treeing is very important for improving performance of underground cable. This thesis studied effect of various factors, i.e. wave shape and frequency of electrical stress and thermal stress, to the occurrence of electrical treeing in 22 kV cross-linked polyethylene (XLPE) insulated cable for distribution system. Firstly, a testing chamber for electrical treeing was designed and was built. Numbers of hallow disk of XLPE insulating material with a thickness 5 mm taken from unused high voltage cable were used as test specimen in this study. All specimens were then dried at elevated temperature of 110°C for 5 minute. Stainless steel needle was inserted gradually into the specimen to give a tip to earth plane electrode separation of 2.5 mm. Applied voltages having sinusoidal and triangle waveforms with various frequencies, i.e. 50,100, 500, 1000 and 2000 Hz, were defined as electrical stress. In addition various temperatures, i.e. 25°C, 60°C, 75°C and 90°C were defined as thermal stress. Two types, bush and branch treeings, were observed from the study results. By the results, propagation speed of branch treeing is

faster than bush treeing. In a case of frequency, propagation speed of electrical treeing increased with increasing frequency of applied voltage stress. In a case of thermal stress, propagation of electrical treeing increased with increasing test temperature. In a case of wave shape, two characteristics of propagation speed were observed. Under low frequency, propagation speed of electrical treeing from specimen subjected to sinusoidal waveform voltage stress is slower than propagation speed of electrical treeing from the specimen subjected to triangle waveform voltage stress. While under high frequency, opposite tendency of propagation speed of electrical treeing comparing with those under low frequency was observed. Faster propagation speed was observed from the specimen subjected to sinusoidal waveform voltage stress comparing with the specimen subjected to triangle waveform. Furthermore, physical damage and chemical change were also analyzed on tested specimens. Chemical change was analyzed using FTIR spectroscopy. By chemical analysis results, increasing of C=C bonds (Carbonization) and C=O bonds (Oxidation) was observed. For physical damage, obviously damaged surface was observed on tested specimen with branch treeing comparing to the tested specimen with bush treeing.

School of Electrical Engineering

Academic Year 2012

Student's Signature\_\_\_\_\_

Advisor's Signature\_\_\_\_\_

## กิตติกรรมประกาศ

วิทยานิพนธ์นี้สำเร็จลุล่วงด้วยดี เนื่องจากได้รับความช่วยเหลืออย่างดีเยี่ยม ทั้งด้านวิชาการและด้านดำเนินงานวิจัย จากบุคคลและกลุ่มบุคคลต่าง ๆ ได้แก่

ผู้ช่วยศาสตราจารย์ ดร. นุญเรือง มะรังศรี อาจารย์ที่ปรึกษาวิทยานิพนธ์ ที่ให้คำปรึกษาแนะนำแนวทางอันเป็นประโยชน์ต่องานวิจัยเป็นอย่างยิ่ง และให้ความรู้ด้านวิชาการมาโดยตลอดรวมถึงการเป็นแบบอย่างที่ดีในทุก ๆ ด้านให้แก่ผู้วิจัยตลอดมา อีกทั้งยังได้ช่วยตรวจสอบและแก้ไขรายงานวิทยานิพนธ์เล่มนี้จนมีความสมบูรณ์ยิ่งขึ้น

อาจารย์ ดร. สุดเขต พจน์ประไพ อาจารย์สาขาวิชาวิศวกรรมเชิงมิคที่ให้ความอนุเคราะห์ในการใช้เครื่องมือที่จำเป็นต่องานวิจัยอย่างยิ่ง

ผู้ช่วยศาสตราจารย์ ดร. วิมลักษณ์ สุตะพันธ์ อาจารย์สาขาวิชาวิศวกรรมพลังเอนرجีที่ให้คำปรึกษาแนะนำ และให้ความรู้ทางด้านวิชาการอย่างดีเยี่ยม อีกทั้งยังได้ช่วยตรวจสอบและแก้ไขรายงานวิทยานิพนธ์เล่มนี้จนมีความสมบูรณ์ยิ่งขึ้น

อาจารย์ประจำสาขาวิชาวิศวกรรมไฟฟ้า มหาวิทยาลัยเทคโนโลยีสุรนารี ทุกท่านที่ให้คำปรึกษาแนะนำและประทิษฐิ์ประสาทวิชาความรู้ทางด้านวิศวกรรมไฟฟ้าอย่างดีเยี่ยมตลอดมา

ขอขอบคุณ คุณณรงค์ เอียวสูงเนิน และบุคลากรฝ่ายงานพัฒนาเครื่องมือและปรับปรุงห้องปฏิบัติการทุกท่าน ที่ให้ความช่วยเหลือและให้คำปรึกษาต่อผู้วิจัยเป็นอย่างดี

ขอขอบคุณ คุณจิรทิปต์ สุทธิลักษณ์ และบุคลากรฝ่ายห้องปฏิบัติการวิศวกรรม มหาวิทยาลัยเทคโนโลยีสุรนารี ทุกท่าน ที่ให้ความช่วยเหลือ สนับสนุนการใช้เครื่องมือ และให้คำปรึกษาต่อผู้วิจัยเป็นอย่างดี

ขอขอบคุณ คุณสุวิทย์ เพียสังก์ และบุคลากรฝ่ายห้องปฏิบัติการวิทยาศาสตร์ มหาวิทยาลัยเทคโนโลยีสุรนารี ที่ให้ความช่วยเหลือ สนับสนุนการใช้เครื่องมือ และให้คำปรึกษาต่อผู้วิจัยเป็นอย่างดี

ขอขอบคุณ คุณชัยวัฒน์ คงมั่นกลาง คุณประวิตร หมายสุข และบุคลากรศูนย์เครื่องมือวิทยาศาสตร์และเทคโนโลยีสังคม มหาวิทยาลัยเทคโนโลยีสุรนารี ที่อำนวยความสะดวกในการทำงานของผู้วิจัย

ขอขอบคุณ คุณอัญชลี รักด่านกล่าง คุณภัทรวรรณ เคนพะนาน ที่ได้ช่วยติดต่อประสานงานกับฝ่ายต่าง ๆ ให้กับผู้วิจัยเป็นอย่างดี

ขอบคุณพี่ ๆ เพื่อน ๆ น้อง ๆ บันทิตศึกษาทุกท่าน รวมถึงมิตร Sahayathai ในอดีตและปัจจุบันที่ทำให้ข้าพเจ้ามีกำลังใจในการทำวิจัยตลอดมา

ท้ายนี้ผู้วิจัยขอขอบพระคุณอาจารย์ผู้สอนทุกท่านที่ได้ให้ความรู้ทางด้านวิชาการทั้งในอดีตและปัจจุบัน และขอกราบขอบพระคุณนางธัญพร เทียมศรี ผู้เป็นมารดา นายคณาจารย์ เทียมศรี ผู้เป็นบิดา ที่ให้ความรักความห่วงใย และการส่งเสริมทางด้านการศึกษาอย่างเปี่ยมล้นตลอดมาจนทำให้ผู้วิจัยไม่ย่อท้อต่ออุปสรรคที่เกิดขึ้นตลอดมา

รัฐเบต เทียมศรี



# สารบัญ

หน้า

บทคัดย่อ (ภาษาไทย) .....	ก
บทคัดย่อ (ภาษาอังกฤษ) .....	ก
กิตติกรรมประกาศ .....	จ
สารบัญ .....	ช
สารบัญตาราง .....	ญ
สารบัญรูป .....	ภ
<b>บทที่</b>	
<b>1 บทนำ .....</b>	<b>1</b>
1.1 ความเป็นมาและความสำคัญของปัญหา.....	1
1.2 วัตถุประสงค์ของการวิจัย.....	2
1.3 ข้อตกลงเบื้องต้น .....	2
1.4 ขอบเขตของการวิจัย .....	2
1.5 ประโยชน์ที่คาดว่าจะได้รับ .....	3
1.6 รายละเอียดในวิทยานิพนธ์ .....	3
<b>2 ปรัชญาวรรณกรรมและงานวิจัยที่เกี่ยวข้อง .....</b>	<b>4</b>
2.1 กล่าวนำ.....	4
2.2 งานวิจัยที่เกี่ยวข้อง .....	4
2.3 สรุป.....	9
<b>3 ทฤษฎีและสมมติฐานที่เกี่ยวข้อง.....</b>	<b>10</b>
3.1 กล่าวนำ.....	10
3.2 วัสดุพอลิเมอร์สำหรับจำนวนสายเคเบิล.....	10
3.2.1 การจำแนกประเภทของวัสดุพอลิเมอร์ตามลักษณะโครงสร้างโนมเลกุล ....	11
3.2.2 พอลิเมอร์สังเคราะห์ .....	12
3.2.3 พอลิเอทิลีน .....	14
3.2.4 พอลิเอทิลีนความหนาแน่นต่ำ.....	17

## สารบัญ (ต่อ)

	หน้า
3.2.5 พอลิเอทิลีนความหนาแน่นสูง .....	17
3.2.6 พอลิเอทิลีนแบบเชื่อมขาว .....	17
<b>3.3 คุณสมบัติของพอลิเมอร์ .....</b>	<b>18</b>
3.3.1 คุณสมบัติทางกายภาพของวัสดุพอลิเมอร์ .....	18
3.3.2 คุณสมบัติทางกลของวัสดุพอลิเมอร์ .....	20
3.3.3 ปรากฏการณ์การเกิดผลึก การหลอม และการอ่อนตัวจากความร้อน.....	21
<b>3.4 สายเคเบิลไฟฟ้าแรงสูง.....</b>	<b>27</b>
3.4.1 วิวัฒนาการของสายเคเบิล .....	27
<b>3.5 โครงสร้างและวัสดุของสายเคเบิล .....</b>	<b>29</b>
3.5.1 วัสดุตัวนำไฟฟ้า .....	29
3.5.2 วัสดุ绝缘 .....	32
3.5.3 วัสดุกำบังสารกึ่งตัวนำ .....	34
3.5.4 ปลอกหุ้ม.....	34
<b>3.6 กระบวนการผลิตสายเคเบิลชนวน XLPE .....</b>	<b>35</b>
3.6.1 กระบวนการวัลภาไนซ์ต่อเนื่องแนวระนาบ .....	37
3.6.2 กระบวนการวัลภาไนซ์ต่อเนื่องแบบ MDCV .....	38
3.6.3 กระบวนการวัลภาไนซ์ต่อเนื่องแบบแนวตั้ง.....	39
<b>3.7 การเสื่อมอายุของสายเคเบิลไฟฟ้า.....</b>	<b>42</b>
3.7.1 กลไกการเสื่อมสภาพของพอลิเมอร์.....	42
3.7.2 กระบวนการเสื่อมอายุของชนวน XLPE .....	43
3.7.3 ปรากฏการณ์ทริโวิงจากน้ำ.....	44
3.7.4 ปรากฏการณ์ทริโวิงทางไฟฟ้า.....	47
<b>3.8 สรุป .....</b>	<b>49</b>
<b>4 การกระจายตัวของสนามไฟฟ้าในสายเคเบิล XLPE .....</b>	<b>51</b>
4.1 กล่าวนำ .....	51
4.2 ความเครียดสนามไฟฟ้าในสายเคเบิล XLPE .....	51

## สารบัญ (ต่อ)

หน้า

4.3 การจำลองความเครียดสนามไฟฟ้าในการวิจัยทริอิงทังไฟฟ้า .....	53
4.3.1 PDE Toolbox.....	53
4.3.2 การจำลองความเครียดสนามไฟฟ้าโดยใช้ PDE Toolbox.....	54
4.4 สรุป .....	58
<b>5 วิธีดำเนินงานวิจัย.....</b>	<b>59</b>
5.1 กล่าวนำ .....	59
5.2 การออกแบบและสร้างชุดศึกษาและวิจัยทริอิงทังไฟฟ้า.....	59
5.2.1 อ่างแก้วทนความร้อน .....	60
5.2.2 ชุดควบคุมอุณหภูมิ.....	60
5.2.3 ระบบเก็บข้อมูลทรงกระบอก .....	64
5.3 การศึกษาและวิจัยทริอิงทังไฟฟ้าในจำนวน XLPE.....	67
5.3.1 การตัดชิ้นงานจำนวน XLPE.....	67
5.3.2 การศึกษาและวิจัยทริอิงทังไฟฟ้าของจำนวน XLPE .....	71
5.4 สรุป .....	73
<b>6 ผลการวิจัยทริอิงทังไฟฟ้าและการวิเคราะห์ผล .....</b>	<b>74</b>
6.1 กล่าวนำ .....	74
6.2 รูปแบบของทริอิงทังไฟฟ้าที่เกิดขึ้นในเนื้อจำนวน XLPE .....	74
6.2.1 ศึกษาผลของความถี่แรงดันไฟฟ้าที่มีผลต่อการเกิดทริอิงทังไฟฟ้า.....	88
6.2.2 ศึกษาผลของอุณหภูมิที่มีผลต่อการเกิดทริอิงทังไฟฟ้า.....	90
6.2.3 ศึกษาผลของสัญญาณรุปคลื่นแรงดันที่มีผลต่อการเกิดทริอิงทังไฟฟ้า ...	92
6.3 การเกิดออกซิเดชันและการรับอนในเชิงจากทริอิงทังไฟฟ้า.....	94
6.3.1 การเกิดออกซิเดชันบนจำนวน XLPE .....	95
6.3.2 การเกิดการรับอนในเชิงบนจำนวน XLPE.....	95
6.4 การตรวจสอบโครงสร้างทางเคมีของจำนวน XLPE .....	96
6.4.1 เครื่องมือวิเคราะห์แบบฟูเรียร์ทرانฟอร์มอินฟารेक สเปกโตรสโคป .....	96

## สารบัญ (ต่อ)

	หน้า
6.4.2 การตัดฉนวน XLPE สำหรับตรวจสอบโครงสร้างทางเคมี.....	101
6.4.3 การวิเคราะห์โครงสร้างทางเคมีของฉนวน XLPE ที่เกิดทรีอิงทางไฟฟ้า .....	104
6.5 การตรวจสอบโครงสร้างภายในของฉนวน XLPE .....	111
6.6 สรุป .....	114
<b>7 สรุปและข้อเสนอแนะ .....</b>	<b>116</b>
7.1 สรุป .....	116
7.2 ข้อเสนอแนะ .....	119
รายการอ้างอิง .....	120
ภาคผนวก	122
ภาคผนวก ก. บทความวิชาการที่ได้รับการตีพิมพ์เผยแพร่ .....	122
<b>ประวัติผู้เขียน .....</b>	<b>134</b>

## สารบัญตาราง

ตารางที่	หน้า
2.1 ผลงานวิจัยที่เกี่ยวข้อง .....	4
3.1 ตัวอย่างพอลิเมอร์ที่สังเคราะห์ได้ .....	13
3.2 คุณลักษณะทางกลที่อุณหภูมิห้องของวัสดุพอลิเมอร์ .....	20
3.3 อุณหภูมิการเปลี่ยนสภาพ $T_g$ และ $T_m$ ของวัสดุพอลิเมอร์ .....	25
3.4 คุณลักษณะของวัสดุพอลิเมอร์ที่เหมาะสมสำหรับใช้เป็นจำนวนมาก ของสายเคเบิลไฟฟ้า .....	26
3.5 วิัฒนาการและพัฒนาการของสายเคเบิล .....	28
3.6 คุณสมบัติของวัสดุที่ใช้ทำตัวนำไฟฟ้า .....	30
3.7 คุณสมบัติทางไฟฟ้าของโลหะ .....	30
3.8 คุณสมบัติทางกายภาพของโลหะที่ใช้ในการทำสายเคเบิล .....	31
3.9 ประเภทของจำนวนสายเคเบิลได้ดีน .....	35
6.1 การเกิดและการขยายตัวของทรีอิงทางไฟฟ้าเทียบกับเวลา โดยใช้รูปคลื่นแรงดันไซน์ ที่อุณหภูมิ $25^{\circ}\text{C}$ .....	89
6.2 การเกิดและการขยายตัวของทรีอิงทางไฟฟ้าเทียบกับเวลา โดยใช้รูปคลื่นแรงดันไซน์ ความถี่ $50\text{ Hz}$ ที่อุณหภูมิต่าง ๆ .....	91
6.3 การเกิดและการขยายตัวของทรีอิงทางไฟฟ้าเทียบกับเวลา โดยใช้รูปคลื่นแรงดันสามเหลี่ยม ที่อุณหภูมิ $25^{\circ}\text{C}$ .....	93
6.4 ความถี่ของการดูดกลืนแสงอินฟราเรดของหมู่เพิงก์ชั้นบางชนิด .....	99
6.5 ค่าอัตราส่วนที่เพิ่มขึ้นของพันธะระหว่าง $\text{C}=\text{C}$ และ $\text{C}=\text{O}$ ในตำแหน่งที่เกิดทรีอิงทางไฟฟ้าคิดเทียบเป็นเปอร์เซ็นต์ .....	109

## สารบัญ

รูปที่	หน้า
3.1 โครงสร้างของสายโซ่พอลิเมอร์ .....	12
3.2 โครงสร้างพอลิเอทธิลีนจากເອທີ່ນ .....	14
3.3 โครงสร้าง Spherulite ของพอลิเอทธิลีນ .....	15
3.4 รายละเอียดของโครงสร้าง Spherulite .....	15
3.5 ขั้นตอนการเสียรูปของวัสดุพอลิเมอร์แบบกึ่งผลึก .....	16
3.6 ลักษณะโครงสร้างของพอลิเมอร์แบบสัมฐาน และแบบกึ่งผลึก.....	19
3.7 อัตราส่วนผลึกกับแกนเวลาของวัสดุพอลิพรอพิลีນที่อุณหภูมิต่าง ๆ.....	23
3.8 ปริมาตรจำเพาะของวัสดุพอลิเมอร์ต่ออุณหภูมิ .....	25
3.9 ส่วนประกอบของสายเคเบิลชนวนพอลิเมอร์.....	29
3.10 สายเคเบิลแรงดันสูงชนวน XLPE .....	35
3.11 แผนผังระบบการผลิตของสายเคเบิลโอดิระบบ CCV.....	38
3.12 แผนผังระบบการผลิตของสายเคเบิลโอดิระบบ MDCV.....	39
3.13 แผนผังระบบการผลิตของสายเคเบิลโอดิระบบ VCV .....	41
3.14 โรงงานผลิตสายเคเบิลระบบแรงดันสูงพิเศษ ตั้งอยู่ทางตอนเหนือของสหราชอาณาจักร .....	41
3.15 การเกิดปรากฏการณ์ทรีอิงจน้ำในสายเคเบิลไฟฟ้าแรงสูง ก. การเกิดจากภายในสู่ภายนอก ข. การเกิดจากภายนอกสู่ภายใน .....	45
3.16 ทรีอิงจากน้ำในสายเคเบิลไฟฟ้าแรงสูง ก. Bow-Tie Treeing ข. Vented Treeing .....	47
3.17 ทรีอิงทางไฟฟ้าในเนื้อชนวน .....	48
3.18 รูปแบบของทรีอิงทางไฟฟ้าในสายเคเบิลชนวน XLPE .....	49
4.1 ทรงกระบอกซ้อนแกนร่วม.....	52
4.2 ขนาดของชนวนและอิเล็กโทรดที่ใช้ในการจำลองความเครื่องstanumไฟฟ้า .....	54
4.3 การกำหนดขอบเขตแบบ Dirichlet.....	55

## สารบัญรูป (ต่อ)

รูปที่	หน้า
4.4 การกำหนดขอบเขตแบบ Neumann.....	56
4.5 การกำหนดค่าในสมการ Elliptic .....	56
4.6 ความสัมพันธ์ของส่วนแรงดันไฟฟ้าในเนื้ออนวน XLPE .....	57
4.7 การกระจายตัวของสนามไฟฟ้าภายในได้แรงดัน 8 kV ในเนื้ออนวน .....	57
5.1 อุปกรณ์ที่ใช้ในการศึกษาวิจัยหรืออิงทางไฟฟ้าของอนวน XLPE .....	61
5.2 แบบร่างสามมิติของชุดทดสอบหรืออิงทางไฟฟ้าใน สายเคเบิลอนวน XLPE ตามที่ได้ออกแบบไว้ .....	61
5.3 แบบร่างสามมิติของชุดทดสอบหรืออิงทางไฟฟ้าใน สายเคเบิลอนวน XLPE ตามที่ได้ออกแบบไว้ .....	62
5.4 ໂຄອະແກຣມອิเล็กโทรดและระบบควบคุมอุณหภูมิภายในชุดทดสอบ.....	62
5.5 ระบบอิเล็กโทรดและระบบควบคุมอุณหภูมิภายในชุดทดสอบ .....	63
5.6 ชุดควบคุมอุณหภูมิของน้ำมันอนวนภายในชุดทดสอบ .....	63
5.7 ชุดทดสอบหรืออิงทางไฟฟ้าและกล่องควบคุมอุณหภูมิ .....	64
5.8 กล้องจุลทรรศน์ขนาด 5-500X (MICRO) ที่ใช้ในงานวิจัย.....	65
5.9 กล้องจุลทรรศน์ที่ใช้ในงานวิจัยขนาด 570 X (OLYMPUS SZX9).....	65
5.10 ระบบกำเนิดสัญญาณและขยายสัญญาณแรงดันสูงที่ใช้ในงานวิจัย.....	66
5.11 ชุดศึกษาวิจัยหรืออิงทางไฟฟ้าในสายเคเบิลอนวน XLPE .....	67
5.12 สายเคเบิลไฟฟ้าแรงดันสูงขนาด 22 kV ที่นำมาศึกษาวิจัย.....	68
5.13 เครื่องตัดเอนกประสงค์แบบหล่อเย็น .....	69
5.14 ชิ้นงานที่ตัดด้วยเครื่องตัดเอนกประสงค์แบบหล่อเย็น .....	69
5.15 ชิ้นงาน XLPE ที่ถูกตัดและผ่านการอบไถ่ความชื้น .....	70
5.16 ขั้นตอนการเตรียมสายเคเบิลอนวน XLPE .....	70
5.17 แผนผังการศึกษาวิจัยหรืออิงทางไฟฟ้า.....	72
6.1 ลักษณะการเกิดทรีอิงหลังจากป้อนแรงดันรูปคลื่นไซน์ ที่อุณหภูมิ 25°C ความถี่ 50 Hz.....	75

## สารบัญรูป (ต่อ)

รูปที่	หน้า
6.2 ลักษณะการเกิดทรีอิงหลังจากป้อนแรงดันรูปคลื่นไซน์ที่อุณหภูมิ 25°C ความถี่ 100 Hz.....	75
6.3 ลักษณะการเกิดทรีอิงหลังจากป้อนแรงดันรูปคลื่นไซน์ที่อุณหภูมิ 25°C ความถี่ 500 Hz.....	75
6.4 ลักษณะการเกิดทรีอิงหลังจากป้อนแรงดันรูปคลื่นไซน์ที่อุณหภูมิ 25°C ความถี่ 1000 Hz.....	76
6.5 ลักษณะการเกิดทรีอิงหลังจากป้อนแรงดันรูปคลื่นไซน์ที่อุณหภูมิ 25°C ความถี่ 2000 Hz.....	76
6.6 ลักษณะการเกิดทรีอิงหลังจากป้อนแรงดันรูปคลื่นไซน์ที่อุณหภูมิ 60°C ความถี่ 50 Hz.....	76
6.7 ลักษณะการเกิดทรีอิงหลังจากป้อนแรงดันรูปคลื่นไซน์ที่อุณหภูมิ 60°C ความถี่ 100 Hz.....	77
6.8 ลักษณะการเกิดทรีอิงหลังจากป้อนแรงดันรูปคลื่นไซน์ที่อุณหภูมิ 60°C ความถี่ 500 Hz.....	77
6.9 ลักษณะการเกิดทรีอิงหลังจากป้อนแรงดันรูปคลื่นไซน์ที่อุณหภูมิ 60°C ความถี่ 1000 Hz .....	77
6.10 ลักษณะการเกิดทรีอิงหลังจากป้อนแรงดันรูปคลื่นไซน์ที่อุณหภูมิ 60°C ความถี่ 2000 Hz .....	78
6.11 ลักษณะการเกิดทรีอิงหลังจากป้อนแรงดันรูปคลื่นไซน์ที่อุณหภูมิ 75°C ความถี่ 50 Hz .....	78
6.12 ลักษณะการเกิดทรีอิงหลังจากป้อนแรงดันรูปคลื่นไซน์ที่อุณหภูมิ 75°C ความถี่ 100 Hz .....	78
6.13 ลักษณะการเกิดทรีอิงหลังจากป้อนแรงดันรูปคลื่นไซน์ที่อุณหภูมิ 75°C ความถี่ 500 Hz.....	79
6.14 ลักษณะการเกิดทรีอิงหลังจากป้อนแรงดันรูปคลื่นไซน์ที่อุณหภูมิ 75°C ความถี่ 1000 Hz .....	79

## สารบัญรูป (ต่อ)

รูปที่	หน้า
6.15 ลักษณะการเกิดทรีอิงหลังจากป้อนแรงดันรูปคลื่นไซน์ที่อุณหภูมิ $75^{\circ}\text{C}$ ความถี่ 2000 Hz .....	79
6.16 ลักษณะการเกิดทรีอิงหลังจากป้อนแรงดันรูปคลื่นไซน์ที่อุณหภูมิ $90^{\circ}\text{C}$ ความถี่ 50 Hz .....	80
6.17 ลักษณะการเกิดทรีอิงหลังจากป้อนแรงดันรูปคลื่นไซน์ที่อุณหภูมิ $90^{\circ}\text{C}$ ความถี่ 100 Hz .....	80
6.18 ลักษณะการเกิดทรีอิงหลังจากป้อนแรงดันรูปคลื่นไซน์ที่อุณหภูมิ $90^{\circ}\text{C}$ ความถี่ 500 Hz .....	80
6.19 ลักษณะการเกิดทรีอิงหลังจากป้อนแรงดันรูปคลื่นไซน์ที่อุณหภูมิ $90^{\circ}\text{C}$ ความถี่ 1000 Hz .....	81
6.20 ลักษณะการเกิดทรีอิงหลังจากป้อนแรงดันรูปคลื่นไซน์ที่อุณหภูมิ $90^{\circ}\text{C}$ ความถี่ 2000 Hz .....	81
6.21 ลักษณะการเกิดทรีอิงหลังจากป้อนแรงดันรูปคลื่นสามเหลี่ยมที่อุณหภูมิ $25^{\circ}\text{C}$ ความถี่ 50 Hz .....	81
6.22 ลักษณะการเกิดทรีอิงหลังจากป้อนแรงดันรูปคลื่นสามเหลี่ยมที่อุณหภูมิ $25^{\circ}\text{C}$ ความถี่ 100 Hz .....	82
6.23 ลักษณะการเกิดทรีอิงหลังจากป้อนแรงดันรูปคลื่นสามเหลี่ยมที่อุณหภูมิ $25^{\circ}\text{C}$ ความถี่ 500 Hz .....	82
6.24 ลักษณะการเกิดทรีอิงหลังจากป้อนแรงดันรูปคลื่นสามเหลี่ยมที่อุณหภูมิ $25^{\circ}\text{C}$ ความถี่ 1000 Hz .....	82
6.25 ลักษณะการเกิดทรีอิงหลังจากป้อนแรงดันรูปคลื่นสามเหลี่ยมที่อุณหภูมิ $25^{\circ}\text{C}$ ความถี่ 2000 Hz .....	83
6.26 ลักษณะการเกิดทรีอิงหลังจากป้อนแรงดันรูปคลื่นสามเหลี่ยมที่อุณหภูมิ $60^{\circ}\text{C}$ ความถี่ 50 Hz .....	83
6.27 ลักษณะการเกิดทรีอิงหลังจากป้อนแรงดันรูปคลื่นสามเหลี่ยมที่อุณหภูมิ $60^{\circ}\text{C}$ ความถี่ 100 Hz .....	83

สารบัญรูป (ต่อ)

## สารบัญรูป (ต่อ)

รูปที่	หน้า
6.41 เปรียบเทียบการขยายตัวของทรีอิงทาง ไฟฟ้าในเนื้อผวนวณเทียบกับเวลา ที่อุณหภูมิ 25°C โดยใช้รูปคลื่นแรงดันไชน์ .....	90
6.42 เปรียบเทียบการขยายตัวของทรีอิงทาง ไฟฟ้าในเนื้อผวนวณเทียบกับเวลา โดยใช้รูปคลื่นแรงดันไชน์ ความถี่ 50 Hz โดยศึกษาผลของอุณหภูมิ.....	92
6.43 การขยายตัวของทรีอิงทาง ไฟฟ้าในเนื้อผวนวณ โดยใช้รูปคลื่นแรงดันสามเหลี่ยม ที่อุณหภูมิ 25°C .....	94
6.44 เปรียบเทียบการขยายตัวของทรีอิงทาง ไฟฟ้าในเนื้อผวนวณระหว่าง รูปคลื่นแรงดันไชน์และรูปคลื่นแรงดันสามเหลี่ยม ที่อุณหภูมิ 25°C.....	95
6.45 พันธะโมเลกุลของ XLPE ในการเกิดออกซิเดชัน.....	95
6.46 พันธะโมเลกุลของ XLPE ในการเกิดการร้าบอนไซเซชัน .....	96
6.47 เครื่องวิเคราะห์โครงสร้างทางเคมี .....	97
6.48 การสั่นแบบพื้นฐานของหมู่ CH <sub>2</sub> .....	98
6.49 เครื่องตัดไนโตรโทม .....	102
6.50 ตัวเข็ดจับชิ้นงานสายเคเบิล .....	103
6.51 ชิ้นงานที่ผ่านการตัดด้วยเครื่องตัดไนโตรโทม .....	103
6.52 FTIR Spectrum ของผวนนวณ ที่อุณหภูมิ 25°C รูปคลื่นแรงดันไชน์ .....	104
6.53 FTIR Spectrum ของผวนนวณ ที่อุณหภูมิ 60°C รูปคลื่นแรงดันไชน์ .....	105
6.54 FTIR Spectrum ของผวนนวณ ที่อุณหภูมิ 75°C รูปคลื่นแรงดันไชน์ .....	105
6.55 FTIR Spectrum ของผวนนวณ ที่อุณหภูมิ 90°C รูปคลื่นแรงดันไชน์ .....	106
6.56 FTIR Spectrum ของผวนนวณ ที่อุณหภูมิ 25°C รูปคลื่นแรงดันสามเหลี่ยม .....	106
6.57 FTIR Spectrum ของผวนนวณ ที่อุณหภูมิ 60°C รูปคลื่นแรงดันสามเหลี่ยม .....	107
6.58 FTIR Spectrum ของผวนนวณ ที่อุณหภูมิ 75°C รูปคลื่นแรงดันสามเหลี่ยม .....	107
6.59 FTIR Spectrum ของผวนนวณ ที่อุณหภูมิ 90°C รูปคลื่นแรงดันสามเหลี่ยม .....	108
6.60 พันธะของ C=C และ C=O ที่เพิ่มขึ้นหลังจากเกิดทรีอิงทาง ไฟฟ้า .....	109
6.65 โครงสร้างทางกายภาพของผวนนวณ XLPE เกิดทรีอิงทาง ไฟฟ้าแบบพุ่ม .....	112
6.66 โครงสร้างทางกายภาพของผวนนวณ XLPE เกิดทรีอิงทาง ไฟฟ้าแบบกิ่ง .....	113

## บทที่ 1

### บทนำ

#### 1.1 ความเป็นมาและความสำคัญของปัญหา

ระบบส่งจ่ายกำลังไฟฟ้าของประเทศไทยในปัจจุบันนี้ ส่วนใหญ่แล้วเป็นแบบสายส่งขึ้นในอากาศ (Overhead Cable) ข้อดีของสายส่งแบบขึ้นในอากาศ คือใช้อากาศเป็น介质ระหว่างชั้นสามารถกลับคืนสภาพจนวนได้เองหลังจากเกิดดีสชาร์จหรือเบรคดาวน์ มีราคาในการติดตั้งและซ่อมบำรุงรักษาที่ไม่แพง แต่ก็มีข้อเสียคือ ได้รับผลกระทบจากสภาพแวดล้อม จากการประะเปื้อน (Pollution) เกิดโคลนาร Nar กวนระบบสื่อสาร มีการแผ่ออกมากของสนามไฟฟ้า ต้องมีระยะห่างที่ปลอดภัยทางไฟฟ้า และได้รับผลกระทบจากปรากฏการณ์ฟ้าผ่า โดยตรง

ข้อดีของสายเคเบิลใต้ดินและใต้น้ำคือ สามารถรักษาสภาพแวดล้อม คงความสวยงามของภูมิทัศน์ ลดปัญหาทางผลกระทบ สามารถติดตั้งหรือเดินสายในที่แคบ ๆ ได้ ไม่ว่าจะเป็นเดินลอยในอากาศหรือเดินฝั่งดินโดยตรง ทนแรงดันได้สูงและสามารถส่งจ่ายกำลังงานไฟฟ้าได้ดีกว่าสายส่งแบบขึ้นในอากาศ ส่วนข้อเสียของสายส่งแบบใต้ดินและใต้น้ำคือ ราคาในการติดตั้งและบำรุงรักษาสูงกว่าสายส่งแบบขึ้นในอากาศมาก และไม่สามารถมองเห็นความผิดพลาดที่อาจจะเกิดขึ้นจากสายเหตุต่าง ๆ ได้แก่ การเสื่อมอายุที่เร็วกว่าปกติจากความเครียดทางไฟฟ้า ความเครียดทางความร้อน ความเครียดทางกล ความเครียดทางสิ่งแวดล้อม และการเกิดปรากฏการณ์ทรีอิง (Treeing) ทั้งแบบทรีอิงทางไฟฟ้า (Electrical Treeing) และแบบทรีอิงจากน้ำ (Water Treeing) ซึ่งเป็นสาเหตุที่สำคัญมากที่ทำให้สายเคเบิลใต้ดินหรือใต้น้ำเกิดผิดพลาด หากไม่ทราบถึงสาเหตุในการเกิดปรากฏการณ์ดังกล่าว

ในปัจจุบัน มีการศึกษาวิจัยเกี่ยวกับปรากฏการณ์ทรีอิงทั้งแบบทรีอิงทางไฟฟ้าและแบบทรีอิงจากน้ำกันอย่างแพร่หลายทั่วโลก โดยมีจุดมุ่งหมายเพื่อศึกษาถึงสาเหตุของการเกิดปรากฏการณ์ดังกล่าวเพื่อหาวิธีในการป้องกันหรือแก้ไข เพื่อหลีกเลี่ยงความผิดพลาดต่าง ๆ ที่จะตามมาในภายหลัง ซึ่งอาจจะส่งผลกระทบแรงต่อระบบส่งจ่ายกำลังไฟฟ้า และอาจจะส่งผลไปยังความเชื่อมั่นของระบบต่าง ๆ ภายในประเทศอีกด้วย สำหรับในประเทศไทยถึงแม้ว่าการส่งจ่ายไฟฟ้าส่วนใหญ่จะเป็นแบบสายส่งแบบขึ้นในอากาศก็ตาม แต่ก็มีไม่น้อยที่ใช้การส่งจ่ายแบบสายเคเบิลใต้ดินและใต้น้ำ และในอนาคตอาจจะเพิ่มมากขึ้นเนื่องจากข้อจำกัดในด้านพื้นที่ใช้สอย ระยะห่างที่ปลอดภัย ประกอบกับยังไม่มีงานวิจัยที่ศึกษาเกี่ยวกับปรากฏการณ์นี้อย่างจริงจัง จึงเป็นที่มาของโครงการนวัตกรรมนี้

โครงการวิจัยนี้เป็นการศึกษาลักษณะการเกิดปรากฏการณ์ที่ริบอฟฟิ่งไฟฟ้า ในสายเคเบิล ชนวนพอลิเอทิลีนแบบเชื่อมขาว (Crosslinked Polyethylene: XLPE) สำหรับระบบ 22 kV ของการไฟฟ้าส่วนภูมิภาค โดยศึกษาผลของรูปคลื่นแรงดัน ความถี่ และอุณหภูมิต่อการเกิดปรากฏการณ์ที่ริบอฟฟิ่งไฟฟ้า

## 1.2 วัตถุประสงค์งานวิจัย

1.2.1 เพื่อออกแบบสร้างชุดทดสอบการเกิดที่ริบอฟฟิ่งไฟฟ้าในชนวน XLPE ของสายเคเบิลชนวน XLPE ระบบ 22 kV

1.2.2 เพื่อศึกษาลักษณะของการเกิดที่ริบอฟฟิ่งไฟฟ้าในชนวน XLPE ของสายเคเบิลใต้ดิน ระบบ 22 kV ของการไฟฟ้าส่วนภูมิภาค

1.2.3 เพื่อศึกษาผลของความถี่แรงดันต่อการเกิดที่ริบอฟฟิ่งไฟฟ้าในสายเคเบิลชนวน XLPE ระบบ 22 kV

1.2.4 เพื่อศึกษาผลของรูปคลื่นแรงดันต่อการเกิดที่ริบอฟฟิ่งไฟฟ้าในสายเคเบิลชนวน XLPE ระบบ 22 kV

1.2.5 เพื่อศึกษาผลของอุณหภูมิต่อการเกิดที่ริบอฟฟิ่งไฟฟ้าในสายเคเบิลชนวน XLPE ระบบ 22 kV

## 1.3 ข้อตกลงเบื้องต้น

1.3.1 สายเคเบิลแรงสูงที่ใช้งานจริงเป็นสายเคเบิลใต้ดินชนวน XLPE สำหรับระบบจำหน่าย 22 kV ของการไฟฟ้าส่วนภูมิภาค

1.3.2 อุณหภูมิของห้องทดลองอ้างอิงจากอุณหภูมิที่ห้อง B36 ในอาคารวิจัย เป็นหลัก

1.3.3 การวิจัยที่ริบอฟฟิ่งไฟฟ้าของชนวน XLPE จะใช้แรงดันไฟฟ้า 8 kV และอุณหภูมิความร้อนของน้ำมันหม้อแปลงใช้อุณหภูมิ 25 °C 60 °C 75 °C และ 90 °C ตามลำดับ

## 1.4 ขอบเขตของงานวิจัย

1.4.1 การวิจัยที่ริบอฟฟิ่งไฟฟ้าของชนวน XLPE จะใช้ค่าแรงดันไฟฟ้าแรงสูงที่ระดับแรงดัน 8 kV

1.4.2 การวิจัยที่ริบอฟฟิ่งไฟฟ้าของชนวน XLPE จะใช้อุณหภูมิความร้อนของน้ำมันหม้อแปลงที่อุณหภูมิ 25 °C 60 °C 75 °C และ 90 °C ตามลำดับ

1.4.3 การวิจัยที่ริบอฟฟิ่งไฟฟ้าของชนวน XLPE จะใช้ความถี่ของแรงดันในช่วง 50 Hz 100 Hz 500 Hz 1000 Hz และ 2000 Hz

1.4.4 การวิจัยทรีอิงทางไฟฟ้าของอนวน XLPE จะใช้รูปคลื่นแรงดัน รูปคลื่นไซน์ (Sinusoidal Wave) และรูปคลื่นสามเหลี่ยม (Triangle Wave)

1.4.5 ตรวจสอบการเปลี่ยนแปลงของโครงสร้างทางเคมีของอนวน XLPE หลังจากการทดสอบทรีอิงทางไฟฟ้าด้วยเครื่องมือวิเคราะห์แบบ FTIR

1.4.6 ตรวจสอบโครงสร้างทางกายภาพด้วยกล้องชุดทัศน์แบบสเตอริโอ (OLYMPUS SZX9)

## 1.5 ประโยชน์ที่คาดว่าจะได้รับ

1.5.1 เกิดความรู้ความเข้าใจเกี่ยวกับสาเหตุการเกิดทรีอิงทางไฟฟ้าในสายเคเบิลไฟฟ้า

1.5.2 ได้ชุดทดสอบทรีอิงทางไฟฟ้าสำหรับสายเคเบิลแรงสูง XLPE

1.5.3 ได้เพยแพร์ความรู้จากการวิจัยเรื่องการศึกษาทรีอิงทางไฟฟ้าในอนวน XLPE สำหรับสายเคเบิลแรงสูง 22 kV ในที่ประชุมวิชาการหรือการสารวิชาการทั้งในและต่างประเทศ

## 1.6 การจัดสรุปเล่มวิทยานิพนธ์

วิทยานิพนธ์ฉบับนี้ประกอบด้วย 7 บท

**บทที่ 1** เป็นบทนำกล่าวถึงความเป็นมาและความสำคัญของปัญหา วัตถุประสงค์ของการวิจัย ข้อตกลงเบื้องต้น ขอบเขตของการวิจัย ขั้นตอนการดำเนินงาน และประโยชน์ที่คาดว่าจะได้รับ จากการวิจัย รวมทั้งแนะนำเนื้อหาพอสังเขปที่เป็นองค์ประกอบของวิทยานิพนธ์ฉบับนี้

**บทที่ 2** กล่าวถึงบริบทสนับสนุนภาระและงานวิจัยที่เกี่ยวข้องกับวิทยานิพนธ์

**บทที่ 3** กล่าวถึงทฤษฎีและสมมติฐานที่เกี่ยวข้องกับสายเคเบิลและการเสื่อมอายุแบบต่างๆ ของสายเคเบิลรวมถึงการเกิดปรากฏการณ์ทรีอิงจากน้ำ และปรากฏการณ์ทรีอิงทางไฟฟ้า

**บทที่ 4** กล่าวถึงการคำนวณสนามไฟฟ้าสูงสุดในสายเคเบิลแรงสูงระบบ 22 kV และการจำลองสนามไฟฟ้าในการศึกษาวิจัยทรีอิงทางไฟฟ้า เพื่อหาความเหมาะสมของแรงดันไฟฟ้าที่จำเป็นให้กับอิเล็กโทรดปลายแหลม และระยะห่างที่เหมาะสมระหว่างอิเล็กโทรดปลายแหลมกับระนาบ

**บทที่ 5** กล่าวถึงการออกแบบชุดศึกษาวิจัยทรีอิงทางไฟฟ้า การเตรียมตัวอย่างทดสอบ และวิธีการวิจัยทรีอิงทางไฟฟ้าในสายเคเบิลอนวน XLPE

**บทที่ 6** กล่าวถึงผลการวิจัยทรีอิงทางไฟฟ้า การวิเคราะห์โครงสร้างทางเคมีและกายภาพของอนวน XLPE

**บทที่ 7** กล่าวถึงบทสรุปและข้อเสนอแนะ

## บทที่ 2

### ปริทัศน์วรรณกรรมและงานวิจัยที่เกี่ยวข้อง

#### 2.1 กล่าวนำ

การศึกษาทริอิงทางไฟฟ้าในจำนวนพอลิเอทิลีนแบบเชื่อมขวางสำหรับสายเคเบิลแรงสูง 22 kV โดยใช้ชุดศึกษาวิจัยการสร้างทริอิงทางไฟฟ้า สายเคเบิลจำนวน XLPE ที่ผ่านและไม่ผ่านการวิจัยทริอิงทางไฟฟ้าจะนำไปวิเคราะห์การเปลี่ยนแปลงค่าบวชิทางวิทยาศาสตร์ และการสังเกตจากภาพถ่ายด้วยกล้องกำลังขยายสูง ดังนั้น จึงมีความจำเป็นอย่างยิ่งที่ต้องดำเนินการสำรวจปริทัศน์วรรณกรรมและงานวิจัยที่เกี่ยวข้อง เพื่อให้ทราบถึงแนวทางการวิจัย ระเบียบวิธีที่เคยมีการใช้งานมาก่อน ผลการดำเนินงานข้อเสนอแนะต่าง ๆ จากคณะนักวิจัยตั้งแต่อดีตเป็นต้นมา โดยใช้ฐานข้อมูลที่เป็นแหล่งสะสมรายงานวิจัยและวรรณกรรมที่เกี่ยวข้องทางด้านวิทยาศาสตร์และเทคโนโลยี อันได้แก่ฐานข้อมูลจาก IEEE IEE และ Science Direct เป็นต้น ผลการสำรวจสืบค้นงานวิจัยดังกล่าว จะใช้เป็นแนวทางสำหรับการประยุกต์และพัฒนาเข้ากับงานวิจัยวิทยานิพนธ์นี้

#### 2.2 งานวิจัยที่เกี่ยวข้อง

การนำเสนอปริทัศน์วรรณกรรมและงานวิจัยที่เกี่ยวข้อง จากการศึกษาวิจัยสายเคเบิลไฟฟ้าแรงสูงเกี่ยวข้องกับปรากฏการณ์ทริอิงทางไฟฟ้า ตั้งแต่อดีตจนถึงปัจจุบัน สามารถสรุปโดยย่อเป็นตารางได้ดังแสดงในตารางที่ 2.1 โดยเรียงลำดับจากผลงานของผู้ที่ได้ดำเนินการก่อนไปสู่งานที่ใหม่กว่าดังนี้

ตารางที่ 2.1 ผลงานวิจัยที่เกี่ยวข้อง

ค.ศ.	คณะผู้ทำวิจัย	การดำเนินงานวิจัย
1969	T. Miyashita	ค้นพบปรากฏการณ์ทริอิงจากน้ำครั้งแรก ทำการทดสอบสายเคเบิลชนวน PE โดยแช่ไว้ในน้ำ และใช้แรงดันไฟฟ้าความถี่สูงเป็นตัวเร่งให้เกิดปรากฏการณ์ทริอิงขึ้น หลังจากนั้นก็รู้จักปรากฏการณ์นี้ในชื่อ “ทริอิงจากน้ำ”

ตารางที่ 2.1 ผลงานวิจัยที่เกี่ยวข้อง (ต่อ)

ค.ศ.	คนผู้ทำวิจัย	การดำเนินงานวิจัย
2001	K. Uchida, Y. Kato M. Nakade, D. Inoue, H. Sakakibara, and H. Tanaka	ประมาณอายุการใช้งานที่เหลืออยู่ของสายเคเบิล XLPE ที่เกิดจากภารณ์ทรีอิงจากน้ำด้วยวิธี ใช้แรงดันทดสอบความถี่ต่ำมาก (VLF) (0.01-0.19 Hz) แรงดันทดสอบกระแสสัมบูรณ์ แรงดันทดสอบกระแสตรง และแรงดันคลื่นสั่นพ้อง (Oscillating Wave) ในสายเคเบิล XLPE ขนาด 22 kV 33 kV 66 kV และ 77 kV พบร่วมกับการใช้แรงดันทดสอบความถี่ต่ำมาก (VLF) เป็นวิธีการที่มีประสิทธิภาพมากที่สุด
2001	Z. Al-Hamouz, K. Soufi, M. Ahmed, M.A. Al-Ouali, and M. Garwan	นำเสนอเทคนิคการตรวจวินิจฉัยทางไฟฟ้า เพื่อประเมินการเกิดและขยายตัวของทรีอิงจากน้ำในสายเคเบิลไฟฟ้าได้ดี โดยใช้สายเคเบิลที่ผ่านการใช้งานแล้ว และที่ยังไม่ผ่านการใช้งาน ทั้งแบบที่ใช้ทองแดงเป็นตัวนำและที่ใช้อัลูมิเนียมเป็นตัวนำ มาทำการทดสอบจำนวน 4 ตัวอย่าง โดยใช้แรงดันทดสอบ 13.8 kV สำหรับสายเคเบิลใหม่ตัวนำทองแดง 34.5 kV สำหรับสายเคเบิลตัวนำทองแดง 17 ปีและสายที่ยังไม่ผ่านการใช้งาน และ 69 kV สำหรับสายเคเบิลตัวนำอะลูมิเนียมอายุการใช้งาน 18 ปี เพื่อเปรียบเทียบลักษณะการเกิดทรีอิงจากน้ำ พบร่วมกับการเกิดทรีอิงจากน้ำในสายเคเบิลตัวนำอะลูมิเนียมอายุ 18 ปีท่านี้
2002	S.A Boggs and M.S. Mashikian	ศึกษาบทบาทของสารประกอบกึ่งตัวนำในปรากฏการณ์ทรีอิงจากน้ำของอนวนเคเบิล XLPE โดยใช้สารประกอบกึ่งตัวนำในเชิงพาณิชย์จำนวน 5 ชนิดมาทำการทดสอบและวัดค่ากำบังอีก 4 ชนิดซึ่งแต่ละชนิดมีคุณสมบัติที่แตกต่างกัน เช่น ปริมาณกำมะถันที่เป็นส่วนผสมในสารประกอบกึ่งตัวนำแตกต่างกัน ทำการทดสอบภายใต้สภาพแห้งและเปียกด้วยความเครียด 3.4 kV/mm ในสภาพแห้ง และ 2.6 kV/mm ในสภาพเปียก พบร่วมกับสารประกอบกึ่งตัวนำสามารถลดการเกิดของทรีอิงจากน้ำลงได้ เนื่องจากความสามารถในการทำให้ค่าการกระจายตัวของสนามไฟฟ้ามีค่าสม่ำเสมอ

ตารางที่ 2.1 ผลงานวิจัยที่เกี่ยวข้อง (ต่อ)

ค.ศ.	คนผู้ทำวิจัย	การดำเนินงานวิจัย
2005	J.J. Yang and S. Birlasekaran	สร้างทรีอิงไฟฟ้าในตัวอย่างจำนวนพอลิเอทิลีนแบบเชื่อมห่วงที่ใช้ในระดับแรงดัน 220 kV และตัวอย่างพอลิเอทิลีนแบบโปร่งใสโดยใช้เข็มเป็นอิเล็กโทรดเจาะเข้าไปในเนื้อห่วง ทำการทดสอบ 3 ครั้ง เพื่อยืนยันผล ทำการวินิจฉัยด้วยการวัด PD ใช้การกระจายของข้อมูลทางสถิติแบบ Weibull ในการวิเคราะห์ วัดค่าสูญเสียโดยอิเล็กทริกและบันทึกภาพจากกล้องกำลังขยายสูงก่อนและหลังการทดสอบ พบร่วมกับวิธีการวิเคราะห์ทางไฟฟ้าที่เกิดขึ้น มี 2 ลักษณะคือ ทรีอิงทางไฟฟ้าแบบพุ่ม(Bush Treeing) และ ทรีอิงทางไฟฟ้าแบบกิ่ง(Branch Treeing)
2006	J.V. Gulmine and L. Akcelrud	วิเคราะห์โครงสร้างทางเคมีของจำนวนพอลิเมอร์ LDPE และ XLPE ด้วยเทคนิค ATR-FTIR การเดี่ยมอายุของจำนวนพอลิเมอร์ก กระบวนการเชื่อมห่วงนำไปสู่การเกิดก้อน อะซีโตฟีโนน (Acetophenone) คัมมิลอลกออล (Cumyl Alcohol) และยังเกิดก้อนใหม่ ๆ เช่น ก้อนไวนิล ก้อนคาร์บอนิล ในสายโซ่หลักของพอลิเมอร์ การสะสมของก้อนคาร์บอนิลต่าง ๆ ถูกตรวจวัดด้วยเทคนิค ATR-FTIR สเปกตรัมใน LDPE เมื่อมีการเดี่ยมอายุจะพบก้อนไวนิลที่เลขคลื่น $920 - 900 \text{ cm}^{-1}$ และที่เลขคลื่น $890 \text{ cm}^{-1}$ จะพบก้อนไวนิลiden (Vinylidene) การเดี่ยมอายุของ XLPE พบร่วมกับก้อนไวนิลเพิ่มมาก
2007	K. Suenaga, K. Uchida and N. Hozumi	ศึกษาตำแหน่งการเกิดทรีอิงจากน้ำ ที่เป็นสาเหตุให้เกิดการเดี่ยมสภาพตามแนวสายเคเบิล XLPE ภายใต้แรงดันทดสอบกระแสตรง 6-20 kV ด้วยการวัดกระแสรั่วไหลในห่วงและใช้เครื่องมือในการตรวจจับ PD โดยเบริรยนเทียบสัญญาณที่ตรวจพบกับสัญญาณสอบเทียบ พบร่วมกับสัญญาณที่ตรวจจับได้ในบริเวณที่เกิดทรีอิงจากน้ำ ซึ่งมีความหนาแน่นของประจุ PD มากกว่า 100 pC

ตารางที่ 2.1 ผลงานวิจัยที่เกี่ยวข้อง (ต่อ)

ค.ศ.	คนผู้ทำวิจัย	การดำเนินงานวิจัย
2008	X. Zheng and G. Chen	ศึกษาการเตือนอายุของสายเคเบิล XLPE จากการเกิดปรากฏการณ์ทริอิงทางไฟฟ้าโดยการตรวจสอบ Double Electrical Tree ในระบบแรงสูง 22 kV โดยใช้ชุดทดสอบการเร่งการเกิดปรากฏการณ์ทริอิงทางไฟฟ้าและศึกษาผลของความถี่แรงดันที่ใช้ทดสอบ
2011	R. Sarathi, A. Nandini and M. G. Danikas	ศึกษาความผิดหวังของสายเคเบิลชนวนได้คืนพบว่าส่วนใหญ่เกิดจากการเกิดและสะสมของทริอิงทางไฟฟ้าในชนวนสายเคเบิล รูปแบบของทริอิงทางไฟฟ้าขึ้นอยู่กับแรงดันไฟฟ้าที่ใช้ ทริอิงทางไฟฟ้าที่ตรวจพบได้แก่ ทริอิงทางไฟฟ้าแบบพุ่มไม้ (Bush Type Tree) ทริอิงทางไฟฟ้าเหมือนต้นไม้ (Tree Like Tree) ทริอิงทางไฟฟ้าแบบFibrillar และทริอิงแบบ Intrinsic โดยจะใช้เทคนิคการตรวจด้วยสัญญาณ UHF ระหว่างการขยายตัวของทริอิงทางไฟฟ้าจะมีการเกิดดีสชาร์จบางส่วนเกิดขึ้น ซึ่งในระหว่างการเกิดและขยายตัวสัญญาณ UHF จะมีช่วงแอนกวิวังของความถี่ (Bandwidth) อยู่ระหว่าง 0.5 – 2.0 GHz

จากการค้นคว้าผลงานวิจัยที่ผ่านมา ทำให้ทราบว่ามีคณะผู้วิจัยได้คิดค้นและนำเสนอการทดสอบทริอิงในรูปแบบต่าง ๆ ของสายเคเบิลชนวน XLPE เป็นจำนวนมาก อีกทั้งยังมีการตรวจสอบโครงสร้างทางเคมีและโครงสร้างทางกายภาพ การศึกษาวิจัยทริอิงทางไฟฟ้าจาก การศึกษาปรัศน์วรรณกรรมที่ได้ค้นคว้าสามารถถกล่าวโดยสรุปได้ดังนี้

เริ่มต้นจาก Miyashita (1969) ค้นพบปรากฏการณ์ทริอิงจากน้ำครั้งแรก จากการใช้งานสายเคเบิลชนวนพอดิเมอร์เดินผ่านบริเวณที่มีน้ำขังพบว่าสายเคเบิลดังกล่าวเกิดความเสียหาย จึงทำการศึกษาโดยนำสายเคเบิลชนวน PE โดยเชื่อมต่อในน้ำ และใช้แรงดันไฟฟ้าความถี่สูงเป็นตัวเร่ง ให้เกิดปรากฏการณ์ทริอิงขึ้น หลังจากนั้นก็รู้จักปรากฏการณ์นี้ในชื่อ “ทริอิงจากน้ำ” ซึ่งเป็นจุดเริ่มต้นในการวิจัยและศึกษาทริอิงตั้งแต่นั้นเป็นต้นมา

Al-Hamouz et al. (2001) นำเสนอเทคนิคการตรวจสอบวินิจฉัยทางไฟฟ้า เพื่อประเมินการเกิดและขยายตัวของทริอิงจากน้ำ ในสายเคเบิลไฟฟ้าได้คืน โดยใช้สายเคเบิลที่ผ่านการใช้งานแล้ว และที่ยังไม่ผ่านการใช้งาน ทั้งแบบที่ใช้ทองแดงเป็นตัวนำและที่ใช้อัลูมิเนียมเป็นตัวนำ มาทำการ

ทดสอบจำนวน 4 ตัวอย่าง โดยใช้แรงดันทดสอบ 13.8 kV สำหรับสายเคเบิลใหม่ตัวนำทองแดง 34.5 kV สำหรับสายเคเบิลตัวนำทองแดงอายุการใช้งาน 17 ปีและสายที่ยังไม่ผ่านการใช้งาน และ 69 kV สำหรับสายเคเบิลตัวนำอะลูมิเนียมอายุการใช้งาน 18 ปี เพื่อเปรียบเทียบลักษณะการเกิดทรัพิษจากน้ำ พนว่าเกิดทรัพิษจากน้ำในสายเคเบิลตัวนำอะลูมิเนียมอายุการใช้งาน 18 ปีเท่านั้น

Boggs and Mashikian (2002) ศึกษาบทบาทของสารประกอบกึ่งตัวนำ ในปรากฏการณ์ที่อิงจากน้ำของจำนวนเคเบิล XLPE โดยใช้สารประกอบกึ่งตัวนำในเชิงพาณิชย์จำนวน 5 ชนิดมาทำการทดสอบและวัดคุณภาพ 4 ชนิดซึ่งแต่ละชนิดมีคุณสมบัติที่แตกต่างกัน เช่น ปริมาณกำมะถันที่เป็นส่วนผสมในสารประกอบกึ่งตัวนำแตกต่างกัน ทำการทดสอบภายใต้สภาพแห้งและเปียกด้วยความเครียด 3.4 kV/mm ในสภาพแห้ง และ 2.6 kV/mm ในสภาพเปียก พนว่าสารประกอบกึ่งตัวนำสามารถลดการเกิดของทรัพิษจากน้ำลงได้ เนื่องจากความสามารถในการทำให้การกระจายตัวของสนามไฟฟ้ามีค่าスマ่เสมอ

Yang and Birlasekaran (2005) สร้างทรัพิษไฟฟ้าในตัวอย่างจำนวน XLPE ที่ใช้ในระดับแรงดัน 220 kV และตัวอย่าง PE แบบปอร์ไช โดยทำการตัดเนื้อหนวนออกเป็นสี่เหลี่ยมจตุรัสขนาด  $10 \times 10 \text{ mm}^2$  ใช้เป็นอิเล็กโทรดแรงสูงเจาะเข้าไปในเนื้อหนวนส่วนด้านตรงข้ามจากด้านวัสดุเงินเพื่อทำหน้าที่เป็นขั้วต่อลงดิน ระยะห่างระหว่างอิเล็กโทรดแรงสูงและขั้วต่อลงดิน 2.5 mm จากนั้นนำจำนวนที่ทำการศึกษาแซ่ไว้ในน้ำมันซิลิโคนเพื่อป้องกันการเกิดควบไฟตามผิว จ่ายแรงดันเป็นขั้นบันได คือ ค่อยๆ เพิ่มทีละ 2.5 kV ทุกๆ 10 นาทีจาก 2.5 kV ถึง 10 kV ทำการทดสอบ 3 ครั้ง เพื่อยืนยันผล ทำการวินิจฉัยด้วยการวัด PD ใช้การกระจายของข้อมูลทางสถิติแบบ Weibull ในการวิเคราะห์ วัดค่าสูญเสีย โดยอิเล็กทริกและบันทึกภาพจากกล้องกล้องกล้องขยายสูง ก่อนและหลังการทดสอบพนว่าทรัพิษทางไฟฟ้าที่เกิดขึ้นมี 2 ลักษณะคือ ทรัพิษทางไฟฟ้าแบบพุ่มและทรัพิษทางไฟฟ้าแบบกึ่ง

Gulmine and Akcelrud (2006) วิเคราะห์โครงสร้างทางเคมีของจำนวนพอลิเมอร์ LDPE และ XLPE ด้วยเทคนิค ATR-FTIR แบบคุดกลีน (Absorbance) โดยนำสายเคเบิลจำนวนที่ผ่านการเร่งเสื่อมอายุจาก รังสียูวี ความร้อน ในสภาพเปียก-แห้งของสายเคเบิลจำนวน XLPE กระบวนการเรื่องเสื่อม ขาวงำไปสู่การเกิดกลุ่มอะซีโตฟิโนน คัมมิลอลอกอโซล์ และยังเกิดกลุ่มใหม่ ๆ เช่น กลุ่มไวนิล กลุ่มคาร์บอนิล ในสายไฟฟ้าหลักของพอลิเมอร์ การสะสมของกลุ่มคาร์บอนิลต่าง ๆ ถูกตรวจวัดด้วยเทคนิค ATR-FTIR สเปกตรัม ใน LDPE เมื่อมีการเสื่อมอายุจะพบกลุ่มไวนิลที่ความยาวคลื่น  $920 - 900 \text{ cm}^{-1}$  และที่ความยาวคลื่น  $890 \text{ cm}^{-1}$  จะพบกลุ่มของไวนิลเดินการเสื่อมอายุของ XLPE พนว่ามีกลุ่มการบอนิลเพิ่มมาก

Xie et al. (2010) สำรวจที่ริ่องทางไฟฟ้าภายในชั้นของเคเบิลชนวน XLPE ที่ใช้ในระดับแรงดัน 220 kV โดยใช้คอมพิวเตอร์ช่วยในการตรวจสอบ การขยายตัวของที่ริ่องโดยทำการตัดชิ้นงานขนาดตามแนวขวางหนา 5 mm นำมารวบไปบนไอล์ฟ์ความชื้นที่อุณหภูมิ  $130^{\circ}\text{C}$  ใช้อิเล็กโทรดปลายแหลมทำการทั้งสetenขนาดของปลายแหลมเท่ากัน  $3\pm1 \mu\text{m}$  เสียงเข้าไปในเนื้อนวนเป็นอิเล็กโทรดแรงสูง และใช้ตัวนำทองแดงเชื่อมต่อลงดินให้ได้ระยะระหว่างอิเล็กโทรดทั้งสองเท่ากัน  $3 \text{ mm}$  โดยทำการทดสอบในน้ำมันซิลิโคนเพื่อป้องกันการเกิดวานไฟตามผิวของวัสดุทดสอบ และตรวจสอบคุณลักษณะทางกายภาพด้วยกล้องจุลทรรศน์อิเล็กตรอนแบบส่อง粒粒โดยทำการทดสอบที่แรงดันสูง พบว่าที่ริ่องที่เกิดขึ้นสามารถแบ่งออกได้ 3 ลักษณะคือ ที่ริ่องทางไฟฟ้าแบบพุ่มเกิดที่ความถี่ของแรงดันไฟฟ้าต่ำกว่า  $250 \text{ Hz}$  ที่ริ่องทางไฟฟ้าแบบกึ่งเกิดที่ความถี่ของแรงดันไฟฟ้าตั้งแต่  $250 \text{ Hz}$  ขึ้นไป และที่ริ่องทางไฟฟ้าแบบสมเกิดที่ความถี่ของแรงดันไฟฟ้าเท่ากับ  $250 \text{ Hz}$

จากข้อมูลปริทัศน์วรรณกรรมที่ได้ค้นคว้ามาข้างต้นทำให้ทราบถึงระเบียบวิธีค้นคว้าและวิจัยของนักวิจัยหลาย ๆ กลุ่ม โดยสามารถนำข้อมูลมาประยุกต์เพื่อทำการศึกษาและวิจัยเกี่ยวกับปรากฏการณ์ที่ริ่องทางไฟฟ้าในสายเคเบิลได้ดัชนวน XLPE โดยศึกษาผลของอุณหภูมิ ศึกษาผลของความถี่ของแรงดัน และศึกษาผลของรูปคลื่นแรงดันที่มีต่อการเกิดที่ริ่องทางไฟฟ้า และยังนำนวน XLPE มาทำการตรวจสอบโครงสร้างทางเคมี และโครงสร้างทางกายภาพที่เปลี่ยนไป

### 2.3 สรุป

ในบทที่ 2 นี้ได้นำเสนอวรรณกรรมและการวิจัยในรูปแบบต่าง ๆ ที่เกี่ยวข้องกับงานวิจัยที่จะดำเนินการ โดยค้นคว้าจากฐานข้อมูลของ IEE, IEEE และอื่น ๆ ทำให้ทราบถึงผลงานดำเนินงานวิจัย จุดประสงค์ แนวทางการวิจัยของผู้วิจัยอื่น ๆ ซึ่งจะถูกใช้เป็นข้อมูลอ้างอิง และเป็นแนวทางสำหรับการดำเนินงานวิจัยต่อไป จากการสืบค้นปริทัศน์และวรรณกรรมเห็นได้ชัดว่า ฉนวน XLPE กำลังเป็นที่สนใจในงานวิจัยการเดื่องอายุของฉนวนเคเบิลไฟฟ้า เพราะในปัจจุบัน มีการใช้สายเคเบิลได้ดัชนโดยใช้ฉนวน XLPE เป็นจำนวนมาก ดังนั้นงานวิจัยนี้จึงได้เริ่มทำการวิจัยนี้เพื่อการทดสอบที่ริ่องทางไฟฟ้าของฉนวนสายเคเบิลได้ดัชน  $22 \text{ kV}$  ที่นิยมใช้ในประเทศไทย และยังไม่ปรากฏงานวิจัยที่ได้ทำการทดสอบที่ริ่องทางไฟฟ้าในสภาพพหุความเครียด และทำการตรวจสอบโครงสร้างทางเคมี และโครงสร้างทางกายภาพของเนื้อนวน XLPE ซึ่งจะอธิบายรายละเอียดต่าง ๆ ในบทที่ 3 ต่อไป

## บทที่ 3

### ทฤษฎีและสมมติฐานที่เกี่ยวข้อง

#### 3.1 กล่าวนำ

พอลิเมอร์ถูกนำมาใช้เป็นจำนวนมากทางไฟฟ้ากันอย่างแพร่หลายทั่วโลก เนื่องจากความก้าวหน้าของเทคโนโลยีการผลิตวัสดุพอลิเมอร์ โดยเฉพาะอย่างยิ่งการนำวัสดุพอลิเมอร์มาใช้เป็นจำนวนมากในสายเคเบิลแรงสูง ในปัจจุบันวัสดุพอลิเมอร์ที่ได้นิยมนำมาใช้ในจำนวนของสายเคเบิลแรงสูงคือ XLPE อย่างไรก็ตาม วัสดุนี้สามารถใช้ได้ทั้งในระบบแรงดันต่ำ แรงดันปานกลาง และแรงดันสูงถึง 500 kV ดังนั้นตั้งแต่ปี ค.ศ. 1960 เป็นต้นมาสายเคเบิล XLPE ปริมาณมากจึงได้รับการติดตั้งใช้งานทั่วโลก จากการที่สายเคเบิลนวน XLPE ถูกติดตั้งใช้งานกันอย่างแพร่หลายเป็นจำนวนมากมาก พนักงานว่าการถูกทำลายและความเสียหายของสายเคเบิลนวน XLPE ส่วนใหญ่มักมาจากการเกิดประกายการณ์ หรือจุดน้ำผึ้งจึงเลือกทำการศึกษาวิจัยที่ร่องทางไฟฟ้าในสายเคเบิลไฟฟ้าแรงสูงได้ ดินระบบ 22 kV ที่มี XLPE เป็นล้วนและจำเป็นต้องรู้ถึงส่วนประกอบและคุณสมบัติต่าง ๆ ของเคเบิลไฟฟ้าแรงสูง ได้ศึกษาอย่างคืบลึกก่อน ในบทนี้จึงได้ทำการอธิบายเกี่ยวกับสายเคเบิลนวน XLPE อย่างละเอียด โดยอธิบายในเรื่องประเภทของวัสดุพอลิเมอร์ต่าง ๆ ที่ใช้เป็นจำนวนมาก คุณสมบัติต่าง ๆ ของวัสดุพอลิเมอร์ วิวัฒนาการและพัฒนาการของสายเคเบิล โครงสร้างทั่วไปของสายเคเบิล และคุณสมบัติของนวน XLPE สาเหตุการเสื่อมอายุของนวนพอลิเมอร์จากปัจจัยต่าง ๆ และการเกิดทรัพยากร้ายแรงที่เกี่ยวข้อง ทั้งทรัพยากร้ายแรงทางไฟฟ้าและทรัพยากร้ายแรงทางเคมี

#### 3.2 วัสดุพอลิเมอร์สำหรับนวนสายเคเบิล

ความหมายของวัสดุพอลิเมอร์ คือ สารประกอบอินทรีย์ที่มีโครงสร้างโมเลกุลเป็นห่วงโซ่ยาวและประกอบขึ้นจากพันธะเคมีแบบโควาเดนซ์ ห่วงโซ่โมเลกุลโดยทั่วไปจะประกอบด้วยโมโนเมอร์(Monomers) หลายพันตัวเชื่อมต่อกันอยู่ ซึ่งเป็นโมโนเมอร์ที่ซักกันอยู่ในห่วงโซ่โมเลกุล ความยาวของห่วงโซ่โมเลกุลและชนิดของโมโนเมอร์จะเป็นตัวกำหนดความคงทน ความแข็งแรง และแรงระหว่างโมเลกุล (Intermolecular Force) ของวัสดุพอลิเมอร์ ปริมาณของแรงระหว่างโมเลกุลขึ้นอยู่กับความยาวของห่วงโซ่โมเลกุลและชนิดของโมโนเมอร์จะเป็นตัวกำหนดความคงทน ความแข็งแรง และแรงระหว่างโมเลกุลจะมีปริมาณมากไปด้วย และทำให้วัสดุพอลิเมอร์มีความทนทานมากขึ้นยกต่อการฉีกขาด แตกหัก และการแยกตัวของพันธะด้วยความร้อนสูง วัสดุพอลิเมอร์ถูกประดิษฐ์ขึ้นและใช้งานอย่างกว้างขวางตั้งแต่ช่วงกลางยุคศตวรรษที่ 20 ในปัจจุบัน วัสดุพอลิเมอร์ที่นิยมใช้กันอย่างแพร่หลาย

ประกอบด้วย พีวีซี (Polyvinyl Chloride: PVC) พอลิเอทิลีน (Polyethylene: PE) และ พอลิโพรพิลีน (Polypropylene: PP) วัสดุพอลิเมอร์ที่ได้รับความนิยมมากที่สุดในการใช้เป็นชั้นนอกคือ พอลิเอทิลีน ซึ่งมีคุณสมบัติความเป็นชั้นวนดีที่สุด โดยนำพอลิเอทิลีนทำการแปรรูปให้เป็นวัสดุ XLPE เพื่อนำไปใช้เป็นชั้นวนในสายเคเบิล เนื่องจากมีคุณสมบัติทางไฟฟ้าที่ดี ต้นทุนการผลิตต่ำ และเป็นมิตรกับสิ่งแวดล้อม (Electric Cables Handbook, 3<sup>rd</sup> edition, G.F. Moore, 1997)

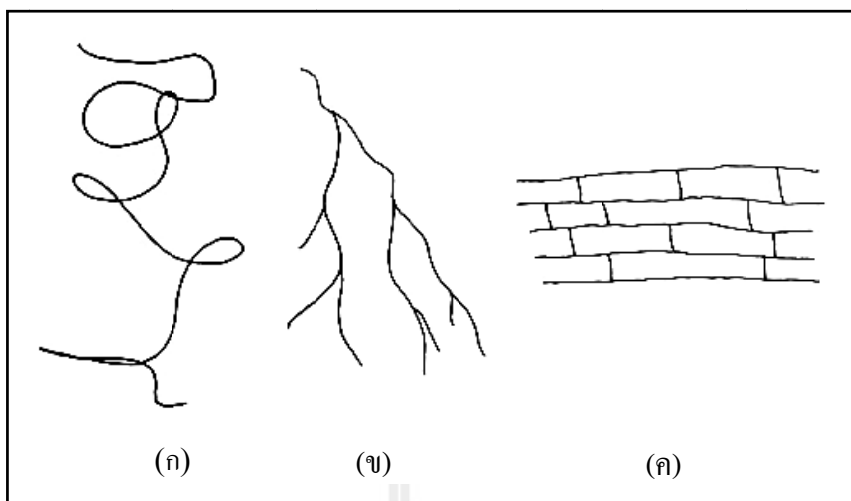
ในบทนี้จึงได้นำเสนอพื้นฐานของวัสดุพอลิเมอร์ คุณสมบัติโครงสร้าง และคุณสมบัติของความสัมพันธ์ระหว่างความแตกต่างของวัสดุพอลิเมอร์ในแต่ละชนิด นอกจากนี้ยังมุ่งเน้นในเรื่อง การทำวัสดุพอลิเมอร์ XLPE โดยการเข้ามาร่วม ซึ่งเป็นสิ่งสำคัญในการคำนวณเคเบิลอีกด้วย

### 3.2.1 การจำแนกประเภทของวัสดุพอลิเมอร์ตามลักษณะโครงสร้างโมเลกุล

วัสดุพอลิเมอร์สามารถจำแนกประเภทตามลักษณะโครงสร้าง ของสายโซ่โมเลกุล ได้เป็น 3 ประเภท คือ

- 1) โครงสร้างโมเลกุลแบบสายโซ่ตรง (Linear)
- 2) โครงสร้างโมเลกุลแบบกิ่ง (Branch)
- 3) โครงสร้างโมเลกุลแบบร่างแห (Cross-Linked Network)

โครงสร้างของสายโซ่โมเลกุลส่งผลต่อสมบัติทางกายภาพและสมบัติเชิงกลของพอลิเมอร์ ตัวอย่างเช่น พอลิเอทิลีนความหนาแน่นสูง (High Density Polyethylene: HDPE) และพอลิเอทิลีนความหนาแน่นต่ำ (Low Density Polyethylene: LDPE) เป็นพอลิเมอร์ชนิดเดียวกัน แต่สัมภาระห์จากวิธีที่แตกต่างกันทำให้ HDPE เป็นสายโซ่โมเลกุลตรงยาวที่สามารถจัดเรียงตัวได้ดี จึงเกิดผลึกได้มากกว่าและมีความหนาแน่นสูงกว่า ส่งผลให้มีความแข็งแรงมากกว่า LDPE ที่มีลักษณะเป็นสายโซ่โมเลกุลแบบกิ่งจึงจัดเรียงตัวได้ยาก และมีความหนาแน่นน้อยกว่า เป็นต้น



รูปที่ 3.1 โครงสร้างของสายโพลิเมอร์ (ก) โครงสร้างแบบสายโพลีตรง (บ) โครงสร้างแบบกิ่ง (ค) โครงสร้างแบบร่างแท (ที่มา : <http://www.vcharkarn.com/lesson/view.php?id=1056>)

นอกจากที่ได้กล่าวมาแล้วข้างต้นว่าสุดพอลิเมอร์ยังสามารถจำแนกประเภทตามสมบัติทางความร้อน หรือลักษณะการคงตัวหลังการขึ้นรูปได้ โดยทั่วไปโครงสร้างแบบสายโพลีตรงและแบบกิ่งจัดเป็นเทอร์โมพลาสติก (Thermoplastic) ซึ่งมีสมบัติทางความร้อนที่สำคัญ คือ จะอ่อนตัวเมื่อให้ความร้อนจนหลอมและแข็งตัวเมื่อถูกอุณหภูมิลง ดังนั้นเมื่อใช้พอลิเมอร์ประเภทนี้แล้วสามารถนำมาขึ้นรูปใหม่ได้อีก ด้วยกระบวนการรีไซเคิล โดยการรวบรวมพอลิเมอร์ใช้แล้วมาหลอมแล้วขึ้นรูปใหม่ เช่น พอลิเอทิลีน พอลิไพรีลีน และพอลิสไตรีลีน เป็นต้น ส่วนอีกประเภทหนึ่ง คือ เทอร์โมเซท (Thermoset) สามารถขึ้นรูปเป็นชิ้นงาน โดยกระบวนการเชื่อม化 (Crosslink) ทำให้ได้วัสดุที่เป็นโครงสร้างสายโพลีไม่เลกฤติร่างแทที่มีจุดหลอมเหลวสูงมาก เมื่อให้ความร้อนจะไม่อ่อนตัว แต่จะคงรูปอยู่ หากให้ความร้อนสูงมากก็จะเกิดการสลายตัวแทนการหลอมเหลว จึงไม่สามารถนำมารีหลอมเพื่อใช้ใหม่ได้หลังจากที่ขึ้นรูปแล้ว หรือไม่สามารถรีไซเคิลได้นั่นเอง ตัวอย่างเช่น ฟีโนลิก เรซิน (Phenolic Resin) เมลามีน (Melamine) และยางรถชนต์ เป็นต้น ซึ่งได้จากการกระบวนการเชื่อม化ของพอลิไอโซพรีนหรือยางธรรมชาติกับสารประกอบกำมะถัน โดยกระบวนการนี้มีชื่อเรียกเฉพาะว่ากระบวนการวัลคาไนซ์ (Vulcanization)

### 3.2.2 พอลิเมอร์สังเคราะห์

พอลิเมอร์สังเคราะห์ (Synthetic Polymers) เป็นพอลิเมอร์ที่มนุษย์สร้างขึ้นจาก การสังเคราะห์ด้วยปฏิกริยาทางเคมี โดยในปี ค.ศ. 1909 L. Baekleland นักเคมีชาวอเมริกันเขื้อสายเบลเยี่ยมสามารถสังเคราะห์พอลิเมอร์ขึ้น ได้เป็นครั้งแรก คือนพบเนคเคลต ไลท์ หรือฟีโนลิกเรซิน

(Bakelite or Phenolic Resin) จากการทดลองสังเคราะห์วัสดุกวนเพื่อใช้เคลือบสายไฟ เขาค้นพบว่าเมื่อผสมฟีโนอล (Phenol) กับฟอร์มาลดีไฮด์ (Formaldehyde) เข้าด้วยกัน แล้วให้ความร้อนเพื่อกลั่นอาบน้ำออก โดยปฏิกริยาความแน่น (Condensation Polymerization) จะได้สารเหนียวที่เมื่อปล่อยให้เย็นตัวลงแล้วจะแข็งตัวเป็นวัสดุที่มีโครงสร้างร่างแท (Network Structure) มีความแข็งแรงเป็นพิเศษ เหมาะสมสำหรับการใช้เป็นชั้นวนหุ้มสายไฟ เครื่องโทรศัพท์ในยุคแรก ๆ แต่เนื่องจาก ฟีโนลิกเรซินมีสีที่ค่อนข้างเข้มจนถึงดำ การใช้งานเป็นวัสดุสีสว่างงานทำได้ค่อนข้างยาก จึงไม่ได้รับความนิยมนัก ปัจจุบันจึงนำมาใช้เป็นวัสดุเคลือบผิวโดยทั่วไปที่ต้องการความทนทานเป็นพิเศษทั้งต่อแรงขัดข่วน ความร้อน หรือสารเคมี เช่น อะซีทิกและการเคมี ตารางที่ 3.1แสดงตัวอย่าง พอลิเมอร์ที่สำคัญ ปีที่สังเคราะห์ได้ และตัวอย่างผลิตภัณฑ์ (บทความจากห้องเรียนออนไลน์ <http://school.scimath.org>, รศ.ดร.ปกรณ์ โภภาระกาศิต, 2554)

ตารางที่ 3.1 ตัวอย่างพอลิเมอร์ที่สังเคราะห์ได้

ปี ค.ศ.	ชื่อพอลิเมอร์	ตัวอย่างผลิตภัณฑ์
1909	ฟีโนลิกเรซิน (Phenolic Resin)	ชั้นวนหุ้มสายไฟ หูฟังโทรศัพท์
1927	พีวีซี (Polyvinyl chloride)	เสื้อกันฝน ท่อน้ำ
1936	อะคริลิก (Acrylic)	ตู้โชว์ ชั้นวางของ โซล่าเซลล์
1938	ไนลอน (Polyamide)	เครื่องนุ่งห่ม เสื้อกันหนาว
1938	พอลิสไตรีน (Polystyrene)	ภาชนะใส่อาหาร อุปกรณ์ครัว
1942	พอลิเอสเตอร์ (Polyesters)	ตัวถังเรือ พลาสติกย่อยสลายได้ วัสดุใช้แล้วทิ้ง
1942	พอลิเอทิลีน (Polyethylene)	ขวดน้ำ ถุง
1943	ซิลิโคน (Silicone)	น้ำยาลวนในมอเตอร์
1947	อี้พีอีซีเรซิน (Epoxy resin)	เครื่องมือ อุปกรณ์ที่ต้องการความทนทาน กาว
1954	พอลิยูรีเทน (Polyurethane)	โฟมกันกระแทก
1957	พอลิพรอพิลีน (Polypropylene)	หมวกเชฟตี้ ถุง
1957	พอลิคาร์บอเนต (Polycarbonate)	ส่วนประกอบในเครื่องใช้ไฟฟ้า
1964	ไอออนอเมอร์ (Ionomer)	ลูกกลิ้ง
1974	Aromatic polyester e.g. (PET)	ขวด PET
1985	พอลิค็อกตัน (Polyketone)	ส่วนประกอบในเครื่องยนต์
1985	Liquid crystalline polymers	จอแสดงผล LCD

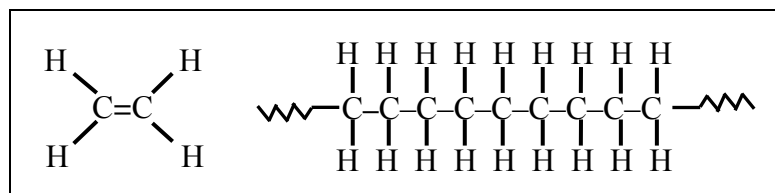
### 3.2.3 พอลิเอทิลีน

พอลิเอทิลีนเป็นวัสดุพอลิเมอร์สังเคราะห์ที่ได้รับความนิยมสูงมาตั้งแต่ช่วงสัมภาระโลกครั้งที่ 2 เนื่องจากมีเสถียรภาพ ผลิตง่าย เป็นจำนวนมาก ได้ดีและมีความทนทานในสภาพใช้งานภายในอุณหภูมิปกติ ต่อมาในปี ก.ศ. 1933 พอลิเอทิลีนได้ถูกพัฒนาให้เป็นวัสดุพอลิเมอร์หลักในการทำเป็นจำนวนมากของสายเคเบิลสำหรับการใช้งานที่ความต้องสูง นอกจากนี้คุณสมบัติทางกลของวัสดุพอลิเอทิลีนขึ้นอยู่กับองค์ประกอบต่าง ๆ ของสายโซ่ไมโครกล ได้แก่ น้ำหนักไมโครกล ขอบเขตความยาวของสายโซ่พอลิเมอร์และโครงสร้างของผลึก (Crystal Structure) วัสดุพอลิเอทิลีนที่ใช้กันอยู่ในปัจจุบันสามารถแบ่งออกเป็น 3 ประเภท ดังนี้

- 1) พอลิเอทิลีนความหนาแน่นต่ำ
- 2) พอลิเอทิลีนความหนาแน่นสูง
- 3) พอลิเอทิลีนเชิงเส้นความหนาแน่นต่ำ

โดยพอลิเอทิลีนแต่ละประเภทจะถูกนำมาใช้ในงานแตกต่างกันไป ตามความเหมาะสม ของงาน แต่พอลิเอทิลีนที่ถูกนำมาใช้เป็นจำนวนมากในสายเคเบิลอย่างกว้างขวาง และเป็นที่นิยมมากที่สุดคือ พอลิเอทิลีนแบบเชื่อมวางหรือ XLPE

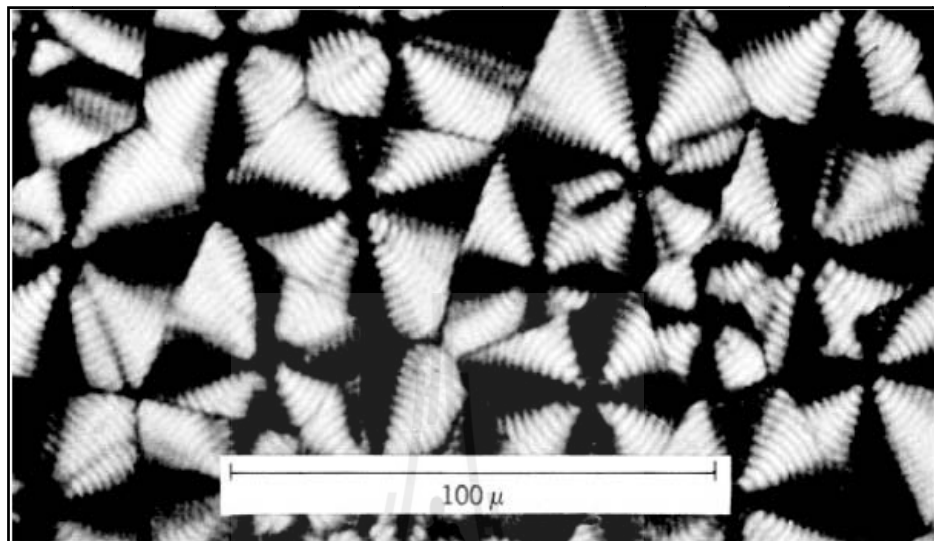
พื้นฐานทาง ไมโครกลของพอลิเอทิลีน โดยปกติจะอยู่ในรูปของห่วงโซ่ไมโครกล ที่ประกอบด้วยโมโนเมอร์ของคาร์บอน (Carbon) หนึ่งอะตอมและโมโนเมอร์ของไฮโดรเจนสองอะตอม (Hydrogen) เชื่อมต่อกันเป็นห่วงโซ่ยาวเกิดจากวัสดุประกอบของเอทิลีนที่มีรูปแบบทางไมโครกล คือ  $C_2H_4$  หรือ  $CH_2=CH_2$  โดยผ่านกระบวนการพอลิเมอร์ไรซเซชัน (Polymerization) ซึ่งเป็นกระบวนการเกิดพอลิเมอร์ขึ้นจากการรวมตัวกันของมอนอยเมอร์ ดังแสดงในรูปที่ 3.2



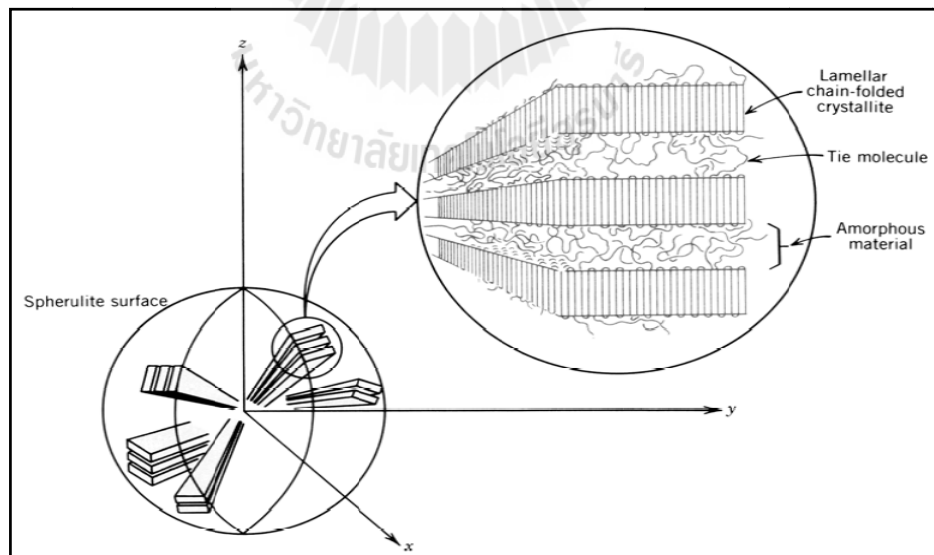
รูปที่ 3.2 โครงสร้างพอลิเอทิลีนจากเอทิลีน

พอลิเอทิลีนเป็นวัสดุพอลิเมอร์ที่ไม่มีข้าวแบบกึ่งผลึก (Semi-Crystalline) และมีโครงสร้างแบบ Spherulite ดังแสดงในรูปที่ 3.3 ซึ่งแต่ละ Spherulite ประกอบด้วย Chain-folded Ribbon จำนวนมากหรือ Lamellar ที่แผ่ออกจากชุดกึ่งกลาง พื้นที่ส่วนอื่นออกจากที่เป็น

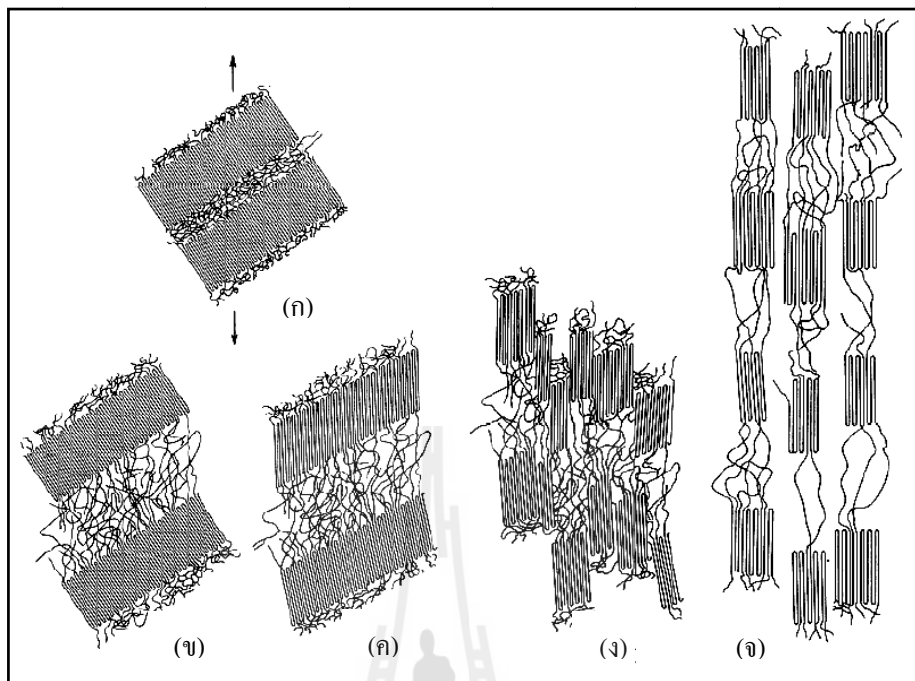
Lamellar เหล่านี้จะเป็นแบบอสัมฐานดังแสดงในรูปที่ 3.4 การจัดเรียง Lamellar จะเชื่อมตัวยึด Tie Chain ซึ่งผ่านตลอดบริเวณของอสัมฐานเหล่านั้น



รูปที่ 3.3 โครงสร้าง Spherulite ของพอลิเอทิลีน (ขยาย 525 เท่า) (ที่มา: คุณสมบัติและการทดสอบวัสดุ, อรรถพล ตะระ, 2551)



รูปที่ 3.4 ภาพแสดงรายละเอียดของโครงสร้าง Spherulite (ที่มา: คุณสมบัติและการทดสอบวัสดุ, อรรถพล ตะระ, 2551)



รูปที่ 3.5 ขั้นตอนการเสียรูปของวัสดุพอลิเมอร์แบบกึ่งผลึก (ที่มา: คุณสมบัติและการทดสอบวัสดุ, อรรถพล ตะระ, 2551)

กลไกการเสียรูปของพอลิเอทิลีน สามารถอธิบายได้ด้วยปฏิกิริยาระหว่างชั้นของ Lamellar กับบริเวณที่เป็นอสัมฐาน กระบวนการนี้เกิดขึ้นหลายขั้นตอนดังแสดงในรูปที่ 3.5 ลักษณะ Chain-folded Lamellar สองชุดกับบริเวณอสัมฐานที่อยู่ระหว่าง Lamellar ก่อนเสียรูปแสดงในรูปที่ 3.5 (ก) เมื่อเริ่มเกิดการเสียรูปดังแสดงในรูปที่ 3.5 (ข) Lamellar Ribbon จะเลื่อนผ่าน Ribbon นั้น ๆ เช่นเดียวกับ Tie Chain บริเวณอสัมฐาน ทำให้เกิดการยืดออกจากกัน หลังจากนั้นจะเกิดการเสียรูปในขั้นที่สองด้วยการอึดของ Lamellar ส่งผลให้ Fold Chain เกิดการเรียงตัวในแนวของแรงดึงดังแสดงในรูปที่ 3.5 (ค) จากนั้นบริเวณของชุดผลึกจะแยกออกจาก Lamellar เป็นส่วน ๆ แต่ยังเชื่อมกันด้วย Tie chain ดังแสดงในรูปที่ 3.5 (ง) ในขั้นสุดท้ายดังแสดงในรูปที่ 3.5 (จ) ชุดผลึกและ Tie chain จะจัดเรียงตัวในทิศทางเดียวกันกับแนวแรงดึง ดังนั้น การเสียรูปจากแรงดึงของ พอลิเมอร์กึ่งผลึกทำให้เกิดโครงสร้างที่มีการจัดเรียงตัวสูง ซึ่งในระหว่างกระบวนการ Spherulite จะเกิดการเปลี่ยนแปลงรูปทรงคุณลักษณะทางกลของพอลิเอทิลีน ซึ่งเป็นพอลิเมอร์กึ่งผลึกจะมีความแข็งแรงเพิ่มขึ้นเมื่อกระบวนการถูกขวางไม่ให้เกิดขึ้นดังแสดงในรูปที่ 3.5 โดยการเพิ่มระดับเชื่อมขวางให้แก่พอลิเอทิลีนกระบวนการดังกล่าวจะไปยังขั้นการเคลื่อนที่ของสายโซ่ไม่เลกูลทำให้พอลิเมอร์แข็งแรงมากขึ้น (คุณสมบัติและการทดสอบวัสดุ อรรถพล ตะระ, 2551)

### 3.2.4 พอลิเอทิลินความหนาแน่นต่ำ

LDPE เป็นวัสดุที่นิยมกูณนำมาใช้งานในการทดสอบค่าง ๆ เนื่องจากมีโครงสร้างทางเคมีที่เรียบง่าย แต่ LDPE ยังคงเป็นวัสดุที่มีโครงสร้างเป็นกึ่งผลึก หรืออยู่ในรูปแบบของผลึก และภาคอสัมฐานปะปนกัน โดยมีโครงสร้างทางผลึกอยู่ที่ประมาณ 50–60% ซึ่งรูปแบบของผลึก และภาคอสัมฐานของ LDPE มีหน้าที่สนับสนุนให้ LDPE มีคุณสมบัติทางไฟฟ้าที่ดีขึ้น แต่ค่าอุณหภูมิสูงสุดที่ทำสามารถลดลงโดยโครงสร้างผลึกของ LPDE อยู่ที่ประมาณ 110°C และอุณหภูมิที่สามารถรับได้ในสภาพการทำงานปกติอยู่ที่ประมาณ 70°C ทำให้ LDPE ยังไม่ดีที่สุดในการนำมาใช้เป็นชนวนสายเคเบิล เนื่องจากทนความร้อนได้ต่ำเกินไป อย่างไรก็ตาม LDPE ยังเป็นวัสดุพอลิเมอร์ที่ได้รับความนิยม เนื่องจากมีคุณสมบัติความเป็นผลึกต่ำ ซึ่งก่อให้เกิดความยืดหยุ่นและโปร่งใส เหมาะสมแก่การผลิตของใช้ในชีวิตประจำวัน เช่น ถุง และภาชนะต่าง ๆ เป็นต้น

### 3.2.5 พอลิเอทิลินความหนาแน่นสูง

HDPE มีโครงสร้างสายโซ่โมเลกุลที่เป็นกึ่งสาขาน้อยจึงมีแรงดึงดูดระหว่างโมเลกุลของพอลิเมอร์ค่อนข้างสูง มีความแข็งแรง เมื่อความหนาแน่นสูงขึ้นจะทำให้มีความแข็งและความเหนียวเพิ่มขึ้น แต่มีความหนาแน่นลดลงจะทำให้พิเศษกรานได้ง่าย ทนความร้อนได้ไม่นาน กnakแต่ทนสารเคมีได้ดีโดยทนความร้อนอุณหภูมิสูงถึง 110°C และ 120°C ได้ในช่วงสั้น ๆ และทนต่อสารเคมีมากกว่า LDPE ทนต่อสภาพอากาศได้ดีพอสมควร แต่อาจสามารถซึมผ่านได้ HDPE มีสีขาวซุ่น โปร่งแสง มีความลื่นมันในตัว มีความเหนียวและยืดหยุ่น ไม่มีกลิ่น ไม่มีรส มีความหนาแน่นต่ำกว่าสำหรับชนวน XLPE ได้ สามารถลดลงได้ สามารถผสมให้มีสีต่าง ๆ ได้ HDPE เป็นวัสดุประเภทเทอร์โมพลาสติกคือพลาสติกที่สามารถกลับมาหลอมใช้ใหม่ได้

### 3.2.6 พอลิเอทิลีนแบบเชื่อมขวาง

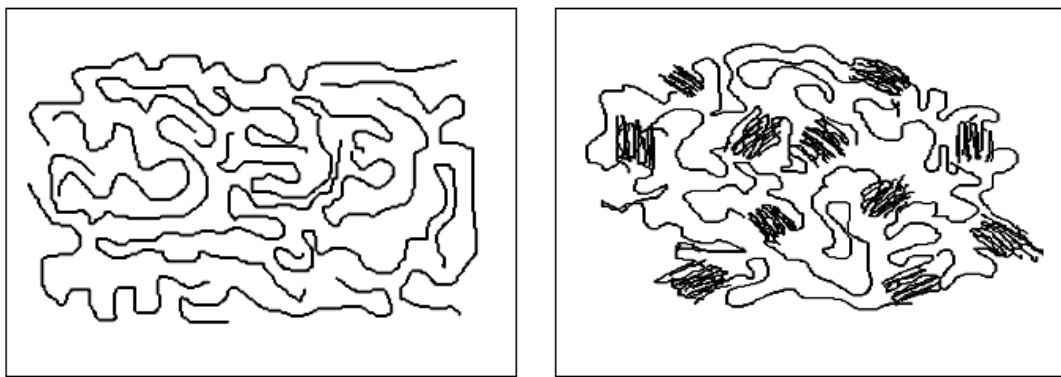
XLPE เป็นพอลิเอทิลีนที่มีการเชื่อมขวางระหว่างพันธะโมเลกุล เพื่อปรับปรุงคุณสมบัติให้ดีขึ้น XLPE เริ่มใช้ในช่วงปี ค.ศ. 1990 และเป็นวัสดุพอลิเมอร์ที่นิยมใช้สำหรับชนวนเคเบิล เนื่องจากมีความน่าเชื่อถือได้ในการใช้งาน มีคุณสมบัติที่เหมาะสมแก่การเป็นชนวนไฟฟ้า เช่น มีค่าความสูญเสียความเป็นชนวนต่ำและไม่ส่งผลกระทบต่อสิ่งแวดล้อม เป็นต้นชนวน XLPE เป็นวัสดุที่มีโครงสร้างเป็นกึ่งผลึกหรืออยู่ในรูปแบบของผลึกและอสัมฐานปะปนกัน โดยมีโครงสร้างทางผลึกอยู่ที่ประมาณ 40%

### 3.3 คุณสมบัติของพอลิเมอร์

คุณสมบัติเบื้องต้นของวัสดุพอลิเมอร์มีพารามิเตอร์หลายอย่าง เช่น เดี่ยวกับวัสดุโลหะ ดังนี้ ผู้วิจัยจึงนำเสนอคุณสมบัติของวัสดุพอลิเมอร์ที่มีความเกี่ยวข้องกับวิทยานิพนธ์นี้เท่านั้น โดยประกอบไปด้วย คุณสมบัติทางกายภาพ คุณสมบัติทางกลต่าง ๆ การเสียรูปของวัสดุพอลิเมอร์ แบบกึ่งผลึก (Semi Crystalline) อุณหภูมิการหลอมกับการเปลี่ยนสภาพคล้ายแก้วเป็นเยื่อหยุ่น ปรากฏการณ์การเกิดผลึก การหลอม และการอ่อนตัวจากความร้อนของวัสดุพอลิเมอร์ ซึ่งนำไปใช้ได้ดังนี้

#### 3.3.1 คุณสมบัติทางกายภาพของวัสดุพอลิเมอร์

สมบัติทางกายภาพของพอลิเมอร์ ขึ้นอยู่กับปัจจัยหลายประการคือ การจัดเรียงตัวของสายโซ่โมเลกุลที่ส่งผลถึงปริมาณของผลึก (Crystallinity) และความหนาแน่นของวัสดุ ดังเช่น กรณีของ HDPE และ LDPE โดยทั่วไปพอลิเมอร์ถูกจำแนกเป็น 2 ประเภทตามปริมาณผลึก คือ พอลิเมอร์กึ่งผลึก (Semi-Crystalline Polymer) มีปริมาณผลึกจำนวนหนึ่ง และพอลิเมอร์อัมorphous (Amorphous Polymer) ซึ่งไม่มีผลึกเลย ดังแสดงในรูปที่ 3.6 เนื่องจากพอลิเมอร์มีโครงสร้างเป็นสายโซ่โมเลกุลยาวที่ซับซ้อนจึงไม่สามารถเกิดผลึกได้ 100% เมื่อเทียบกับสารโมเลกุลเด็กอ่อน ๆ นอกจากนี้แล้ว พอลิเมอร์ที่มีหมุนฟังก์ชันต่างกัน จะส่งผลต่อชนิดของแรงระหว่างสายโซ่โมเลกุล (Intermolecular Forces) เช่น แรงแวนเดอ华ล์ (Van De Val) แรงคู่ข้าม (Dipole) หรือแรงพันธะไฮdroเจน (Hydrogen Bonding) ซึ่งขนาดของแรงเหล่านี้มีผลต่อสมบัติทางกายภาพของพอลิเมอร์ โดยตรง น้ำหนักโมเลกุล (Molecular Weight) ของพอลิเมอร์ก็เป็นปัจจัยหลักที่มีผลโดยตรงต่อ สมบัติการละลาย สมบัติทางความร้อน เช่น อุณหภูมิเปลี่ยนสถานะคล้ายแก้ว (Glass Transition Temperature:  $T_g$ ) จุดหลอมเหลว และสมบัติเชิงกล เป็นต้น นอกจากนี้ การจัดเรียงตัวของสายโซ่โมเลกุล (Molecular Orientation) ก็ส่งผลต่อสมบัติทางกายภาพโดยตรงอีกด้วย เนื่องจากพอลิเมอร์ส่วนใหญ่เป็นสายโซ่โมเลกุลที่ขาดไปมา เมื่อทำการดึงชิ้นตัวอย่างพอลิเมอร์ก็จะทำให้สายโซ่โมเลกุลเกิดการยืดตัวไปในทิศทางเดี่ยวกัน (Uniaxial Orientation) เกิดการจัดเรียงตัวที่เป็นระเบียบมากขึ้น ดังผลให้สมบัติเชิงกลของชิ้นตัวอย่างพอลิเมอร์ในทิศทางการดึงคือชิ้นนิยมใช้ในการเตรียมเส้นใยหรือฟิล์มที่ต้องการเพิ่มความด้านทานแรงดึง หรือการเตรียมถุงพลาสติก เป็นต้น



รูปที่ 3.6 ลักษณะโครงสร้างของพอลิเมอร์แบบอสัมฐาน และแบบกึ่งผลึก

(ที่มา: <http://www.vcharkarn.com/varticle/18774/6>)

#### **คุณสมบัติทางความร้อนของพอลิเมอร์**

คุณลักษณะทางความร้อนที่สำคัญของพอลิเอทิลีนแบบเชื่อมขวางคือ ไม่ละลายในกลาบ夷เป็นของเหลวหนืดเมื่อได้รับความร้อนที่สูงกว่าอุณหภูมิการละลายของพลีก โดยปกติพอลิเอทิลีนเมื่อได้รับความร้อนสูงขึ้นพลีกที่จับกันทำให้วัสดุอยู่ในสถานะของแข็งจะหลอมละลาย ทำให้วัสดุถูกลายเป็นของเหลวหนืด ส่วนในกรณีของพอลิเอทิลีนแบบเชื่อมขวางเมื่อพลีกหลอมละลาย แต่จุดที่เชื่อมขวางยังคงอยู่ ดังนั้นเมื่อพอลิเอทิลีนแบบเชื่อมขวางหลอมเหลวทำให้วัสดุมีความอ่อนนุ่มลงแต่จะไม่ละลายเป็นของเหลว คุณลักษณะนี้เป็นสิ่งสำคัญในการใช้พอลิเอทิลีนแบบเชื่อมขวางสำหรับสายเคเบิลจำนวนมาก คือสามารถทนความร้อนสูงช่วงขณะที่เกิดจากความผิดพร่องของระบบส่งจ่ายกำลังไฟฟ้าได้ดี (Handbook of polymer, Andrew J. Peacock, 2000)

#### **คุณสมบัติทางไฟฟ้าของพอลิเอทิลีน**

คุณสมบัติทางไฟฟ้าของพอลิเอทิลีนบริสุทธิ์เนื่องจากพอลิเอทิลีนเชื่อมต่อ กันด้วยอะตอมของคาร์บอนและไฮโดรเจนซึ่งไม่มีอิเล็กตรอนอิสระที่สามารถเคลื่อนที่ได้ จึงทำให้พอลิเอทิลีนมีความเป็นจนวนได้ดีเยี่ยม พอลิเอทิลีนนิยมใช้งานกันอย่างกว้างขวาง สำหรับเป็นชนวนสายภาคแรงต่ำใช้กับอุปกรณ์ไฟฟ้าภายในครัวเรือน ไปจนถึงการส่งจ่ายกำลังไฟฟ้าแรงสูง จากที่หนึ่งไปอีกที่หนึ่ง แม้ว่าพอลิเอทิลีนจะมีคุณสมบัติความเป็นจนวนที่ดีแต่เมื่อใช้งานไประยะเวลาหนึ่งก็จะได้อิทธิพลของไฟฟ้าแรงสูง กระแสไฟฟ้าที่ไหลผ่านสายและสนามไฟฟ้าร่องรอยของโน้มถ่วงที่มีข้อ เช่นสารตกค้าง เป็นตัวเร่งปฏิกิริยาทำให้เกิดกุ่มคาร์บอนิลและกุ่มไวนิลส่งผลให้พอลิเอทิลีนค่อยๆ เสื่อมลงทั้งด้านเคมีและทางกายภาพ ลดประสิทธิภาพของการเป็นจนวนลง (Handbook of polymer, Andrew J. Peacock, 2000)

### 3.3.2 คุณสมบัติทางกลของวัสดุพอลิเมอร์

สมบัติทางกลของวัสดุพอลิเมอร์ ประกอบไปด้วย โมดูลัสความยืดหยุ่น (Modulus of Elasticity) ความแข็งแรงดึง ความแข็งแรงอัด และความแข็งแรงการถัว โดยค่าพารามิเตอร์ทางกล ต่าง ๆ เหล่านี้สามารถหาค่าด้วยการทดสอบแรงเค้นความเครียด คุณลักษณะทางกลของวัสดุพอลิเมอร์ ส่วนใหญ่จะไวมากต่ออัตราการเสียรูป อุณหภูมิและธรรมชาติทางเคมีของสิ่งแวดล้อม เช่น ในสภาวะที่มีน้ำ ออกซิเจน ตัวทำละลายอินทรีย์ เป็นต้น บางครั้งในการทดสอบวัสดุพอลิเมอร์ จำเป็นต้องดัดแปลงเทคนิคการทดสอบ รวมทั้งรูปทรงของชิ้นงานทดสอบที่ใช้ทดสอบวัสดุโดยจะ โดยเฉพาะวัสดุที่มีความยืดหยุ่นสูง เช่น ยาง เป็นต้น

นอกจากนี้คุณลักษณะทางกลของพอลิเมอร์มีความไวต่อการเปลี่ยนแปลงของ อุณหภูมิในช่วงอุณหภูมิห้องมากกว่าโลหะอย่างมาก เมื่อพิจารณาพฤติกรรมแรงเค้นความเครียด ของวัสดุพอลิเมอร์บางชนิด พบว่าเมื่ออุณหภูมิเพิ่มขึ้นวัสดุจะมีโมดูลัสความยืดหยุ่นและความ แข็งแรงดึงลดลง แต่มีความเหนียวเพิ่มขึ้น จึงสรุปได้ว่าอิทธิพลของอัตราความเครียดมีความสำคัญ ต่อพฤติกรรมทางกลของพอลิเมอร์ ซึ่งปกติการลดอัตราการเสียรูป มีอิทธิพลต่อพฤติกรรมแรงเค้น ความเครียด เช่นเดียวกับการเพิ่มขึ้นของอุณหภูมิ ส่งผลให้วัสดุจะอ่อนตัวและเหนียวขึ้น

ความสามารถในการจัดการสมบัติทางกลของวัสดุพอลิเมอร์ขึ้นอยู่กับความเข้าใจ ลึกกล ไกการเกิดการเสียรูปของวัสดุ โดยในที่นี้จะได้กล่าวถึงรูปแบบการเสียรูปของวัสดุพอลิเมอร์ แบบกึ่งผลึก ซึ่งมีความสำคัญต่อความแข็งแรงของวัสดุ คุณลักษณะทางกลที่อุณหภูมิห้องของวัสดุ พอลิเมอร์ชนิดต่าง ๆ แสดงในตารางที่ 3.2

ตารางที่ 3.2 คุณลักษณะทางกลที่อุณหภูมิห้องของวัสดุพอลิเมอร์

วัสดุ	ความถ่วงจำเพาะ	modulus แรงดึง (Gpa (ksi))	ความทนแรงดึง (MPa (ksi))	ความคงทนแรงคราก (MPa (ksi))	ความยืดขณะแตกหัก (%)
พอลิเอทิลีนความหนาแน่นต่ำ	0.917-0.932	0.17-0.28 (25-41)	8.3-31.4 (1.2-4.55)	9.0-14.5 (1.3-2.1)	100-650
พอลิเอทิลีนความหนาแน่นสูง	0.952-0.965	1.06-1.09 (155-158)	22.1-31.0 (3.2-4.5)	26.2-33.1 (3.8-4.8)	10-1200
พีวีซี	1.30-1.58	2.4-4.1 (350-600)	40.7-51.7 (5.9-7.5)	40.7-44.8 (5.9-6.5)	40-80

ตารางที่ 3.2 คุณลักษณะทางกลที่อุณหภูมิห้องของวัสดุพอลิเมอร์ (ต่อ)

วัสดุ	ความ ถ่วงจำเพาะ	มอดูลัส แรงดึง (Gpa (ksi))	ความทน แรงดึง (MPa (ksi))	ความคงทน แรงคราก (MPa (ksi))	ความยืด ขณะ แตกหัก (%)
พอลิเทฟทรัฟลูออ- โรเอทีลีน (PTFE)	2.14-2.20	0.40-0.55 (58-80)	20.7-34.5 (3.0-5.0)	—	200-400
พอลิพรอพิลีน	0.90-0.91	1.14-1.55 (165-225)	31-41.4 (4.5-6.0)	31.0-37.2 (4.5-5.4)	100-600
พอลิสไตรีน	1.04-1.05	2.28-3.28 (330-475)	35.9-51.7 (5.2-7.5)	—	1.2-2.5
PMMA	1.17-1.20	2.24-3.24 (325-470)	48.3-72.4 (7.0-10.5)	53.8-73.1 (7.8-10.6)	2.0-5.5
พีโนด ฟอร์มาลดีไฮด์	1.24-1.32	2.76-4.83 (400-700)	34.5-62.1 (5.0-9.0)	—	1.5-2.0
ไนโлон 6.6	1.13-1.15	1.58-3.80 (230-550)	75.9-94.5 (11.0-13.7)	44.8-82.8 (6.5-12)	15-300
พอลิเอสเตอร์ (PET)	1.29-1.40	2.8-4.1 (400-600)	48.3-72.4 (7.0-10.5)	59.3 (8.6)	30-300
พอลิคาร์บอเนต	1.20	2.38 (345)	62.8-72.4 (9.1-10.5)	62.1 (9.0)	110-150

### 3.3.3 ปรากฏการณ์การเกิดผลึก การหลอม และการอ่อนตัวจากความร้อน

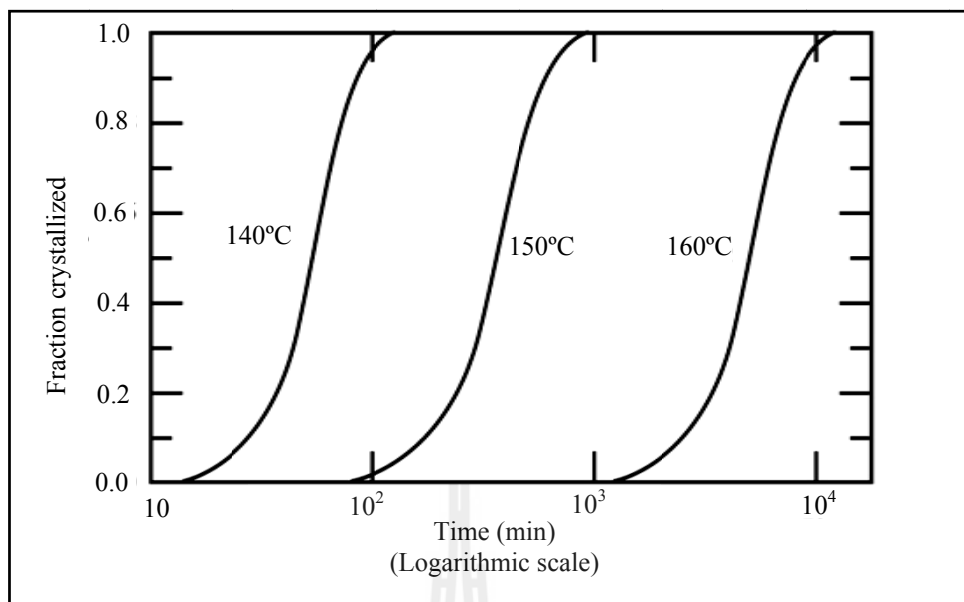
สมบัติทางกลของวัสดุพอลิเมอร์ส่วนใหญ่จะไวต่อการเปลี่ยนแปลงทางอุณหภูมิอย่างมาก โดยคุณลักษณะทางความร้อนและทางกลของวัสดุ เริ่มด้วยปรากฏการณ์การเกิดผลึก การหลอม และการอ่อนตัวจากความร้อน การเกิดผลึกเป็นกระบวนการจัดเรียงตัวอย่างเป็นระเบียบ ของวัสดุภาคของแข็งที่เกิดขึ้นในขั้นตอนของการเย็นตัวจากของหลอมเหลวที่มีโครงสร้างไม่เลกอกไม่เป็นระเบียบ และการหลอมด้วยจะเกิดขึ้นอีกครั้งเมื่อวัสดุพอลิเมอร์ได้รับความร้อน ส่วนการเปลี่ยนสภาพล้ำยก้าว เป็นยีดหยุ่นจะเกิดขึ้นกับวัสดุพอลิเมอร์แบบอสัมฐานหรือพอลิเมอร์ที่ไม่เป็นผลึก และเมื่อยืนตัวจากของหลอมเหลวจะเกิดเป็นของแข็งริกิด (Rigid Solid) ซึ่งจะคงโครงสร้างไม่เลกอกที่ไม่เป็นระเบียบ เช่นเดียวกันกับของหลอมเหลว และในบางครั้งถือเป็นของเหลวแข็ง

อสัมธาน โดยสมบัติทางเคมีและทางกายภาพ จะเปลี่ยนไปตามการเกิดผลึก การหลอมและการอ่อนตัว จากความร้อน ยิ่งกว่านั้นวัสดุพอลิเมอร์ก็จะผลึกบริเวณที่เป็นผลึกจะเกิดการหลอมตัว และการเกิดผลึก ในขณะที่บริเวณที่ไม่เป็นผลึกจะผ่านช่วงอุณหภูมิของการอ่อนตัวจากความร้อน

1) การเกิดผลึก (Crystallization) เป็นการเข้าใจถึงกลไกและอัตราการเกิดผลึก ของพอลิเมอร์เป็นสิ่งสำคัญมาก เช่นเดียวกันกับอิทธิพลของระดับการเกิดผลึกต่อสมบัติทางกล และทางความร้อนของวัสดุ การเกิดผลึกของพอลิเมอร์หลอมเหลวเกิดขึ้นโดยจุดเริ่มเกิดผลึก (Nucleation) และขยายตัวด้วยกระบวนการเติบโต (Growth Process) กล่าวคือเมื่อวัสดุพอลิเมอร์ เย็นตัวผ่านอุณหภูมิการหลอมเหลวจะมีจุดเริ่มเกิดผลึกเป็นบริเวณเล็ก ๆ จากนั้นโน้มเลกูลที่ไม่เป็นระเบียบจะเริ่มจัดเรียงทิศทางในรูปของชั้น Chain-folded ที่อุณหภูมิกินอุณหภูมิหลอมเหลวจุดเริ่มเกิดผลึกจะไม่เสถียร เนื่องจากการสั่นสะเทือนของอะตอมจากความร้อนจะทำลายการจัดเรียงโน้มเลกูลให้เป็นระเบียบ เมื่ออุณหภูมิลดลงจะเกิดจุดเริ่มเกิดผลึก

การเกิดผลึกต้องอาศัยเวลาในแบบเดียวกันกับการเปลี่ยนแปลงสถานะเป็นของแข็ง (Solid-state Transformation) ซึ่งสามารถศึกษาได้โดยการนำเศษส่วนการเกิดผลึกมาพิจารณา กราฟเทียบกับค่าล็อกของเวลาที่อุณหภูมิกลงที่ดังแสดงในรูปที่ 3.7 ซึ่งเป็นการเกิดผลึกโดยที่  $y$  เป็นฟังก์ชันของเวลา  $t$

โดยปกติปริมาณของผลึกที่เกิดขึ้นจะวัดได้จากการเปลี่ยนแปลงปริมาตรของชั้นทดสอบ เนื่องจากวัสดุภาคของเหลว กับวัสดุภาคของผลึกมีปริมาตรแตกต่างกัน ส่วนอัตราการเกิดผลึกจะวัดตรงจุดที่มีการเกิดผลึก 50% และอัตราการเกิดผลึกนี้จะขึ้นอยู่กับอุณหภูมิการเกิดผลึก แสดงให้เห็นว่า น้ำหนักโน้มเลกูลของวัสดุพอลิเมอร์จะแปรผันกับอัตราการเกิดผลึก กล่าวคือถ้า อัตราการเกิดผลึกต่ำจะได้น้ำหนักโน้มเลกูลของวัสดุพอลิเมอร์มากตามไปด้วย



รูปที่ 3.7 อัตราส่วนผลึกกับแกนเวลาของวัสดุพอลิไพรอฟลีนที่อุณหภูมิต่าง ๆ

(ที่มา: คุณสมบัติและการทดสอบวัสดุ, อรรถพล ตะระ, 2551)

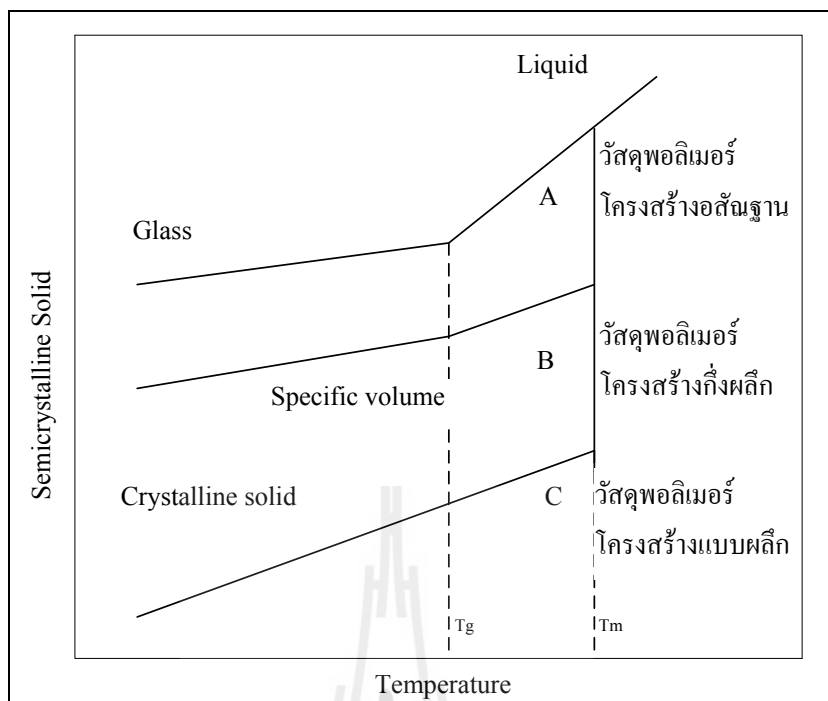
2) การหลอมเหลว (Melting) การหลอมเหลวของพลีกวัสดุพอลิเมอร์จะเป็นไปตามการเปลี่ยนแปลงสถานะจากวัสดุของแข็งที่มีโครงสร้างสายโซ่โมเลกุลที่จัดเรียงตัวเป็นระเบียบไปเป็นของเหลวหนืด (Viscous Liquid) ที่มีโครงสร้างไม่เป็นระเบียบ ปรากฏการณ์นี้จะเกิดขึ้นเนื่องจากอุณหภูมิการหลอมเหลว (Melting Temperature :  $T_m$ ) การหลอมเหลวของพอลิเมอร์มีหลายแบบแตกต่างกัน ทั้งนี้ขึ้นอยู่กับโครงสร้างโมเลกุลของวัสดุพอลิเมอร์กับลักษณะโครงสร้างพลีก Lamellar ซึ่งจะไม่เหมือนกับกรณีของโลหะและเซรามิกที่มีรูปแบบการหลอมเหลวที่แน่นอนกว่า และนอกจากนี้พฤติกรรมการหลอมเหลวของวัสดุพอลิเมอร์ยังขึ้นอยู่กับอัตราการเพิ่มของอุณหภูมิกล่าวคือถ้าเพิ่มอัตราการให้ความร้อน อุณหภูมิการหลอมเหลวของวัสดุพอลิเมอร์จะสูงขึ้น วัสดุพอลิเมอร์จะตอบสนองต่อกระบวนการทางความร้อน (Heat Treatment) โดยเกิดการเปลี่ยนแปลงทางโครงสร้างและสมบัติของวัสดุ กล่าวคือการอบอ่อน (Annealing) ซึ่งเป็นการให้ความร้อนกับวัสดุที่อุณหภูมิต่ำกว่าอุณหภูมิการหลอมเหลว อาจเพิ่มความหนาของชั้น Lamellar ได้ดังนั้นการอบอ่อนวัสดุพอลิเมอร์อาจทำให้อุณหภูมิการหลอมเหลวเพิ่มขึ้นได้

3) การเปลี่ยนสภาพคล้ายแก้วเป็นยีดหยุ่น (Glass Transition) การเปลี่ยนสภาพนี้จะเกิดในวัสดุพอลิเมอร์ชนิดอัลตราfineที่เกิดจากการเย็นตัวจากสถานะของเหลวเป็นของแข็งโดยไม่เกิดเป็นพลีก นั่นคือช่วงการเย็นตัวของสายโซ่โมเลกุล ซึ่งไม่สามารถจัดเรียงตัวเป็นระเบียบในลักษณะสามมิติ โดยการเปลี่ยนแปลงสภาพในช่วงแรกของการเย็นตัวความหนืดจะเพิ่มขึ้น จากนั้น

จะค่อย ๆ เปลี่ยนจากของเหลวเป็นวัสดุคล้ายยางและกลายเป็นของแข็งในที่สุด อุณหภูมิที่พอลิเมอร์เปลี่ยนสภาพจากเยดหยุ่นคล้ายยางเป็นของแข็ง เรียกว่า อุณหภูมิการเปลี่ยนสภาพคล้ายแก้วเป็นเยดหยุ่น ( $T_g$ ) ในทางกลับกันเมื่อวัสดุพอลิเมอร์ได้รับความร้อนเกินอุณหภูมิ  $T_g$  จะเกิดการเปลี่ยนแปลงจากของแข็งกลับไปเป็นเยดหยุ่น ยิ่งกว่านั้นกรณีวัสดุพอลิเมอร์ที่สามารถเป็นผลึกก็อาจเกิดเป็นของแข็งสัมฐานได้ ถ้าได้รับการเย็นตัวอย่างรวดเร็วจากสถานะของเหลว

4) อุณหภูมิการหลอมในการเปลี่ยนสภาพคล้ายแก้วเป็นเยดหยุ่น อุณหภูมิการหลอมเหลวกับการเปลี่ยนสภาพนี้เป็นตัวแปรสำคัญในการกำหนดการใช้งานของวัสดุพอลิเมอร์ โดยนิยามอุณหภูมิทึ้งสองข้างต้นเป็นขีดจำกัดอุณหภูมิบินและล่างตามลำดับ ในการนำวัสดุไปใช้งานโดยเฉพาะวัสดุพอลิเมอร์แบบกึ่งผลึก และยังมีอิทธิพลต่อกระบวนการขึ้นรูปของวัสดุพอลิเมอร์ และวัสดุประกอบพอลิเมอร์ (Polymer-matrix Composite) อีกด้วย

อุณหภูมิการหลอมเหลวและการเปลี่ยนสภาพของวัสดุพอลิเมอร์จะวัดโดยกรรมวิธีแบบเดียวกันกับวัสดุเซรามิก ด้วยการพล็อตปริมาตรจำเพาะ (Specific Volume) เป็นส่วนกลับของความหนาแน่นเทียบกับอุณหภูมิดังแสดงในรูปที่ 3.8 โดยกำหนดให้ A และ C เป็นวัสดุพอลิเมอร์ชนิดอสัมฐานและผลึก ตามลำดับ สำหรับวัสดุผลึกมีการเปลี่ยนแปลงปริมาตรจำเพาะแบบไม่ต่อเนื่องที่อุณหภูมิหลอมเหลว  $T_m$  ส่วนกราฟวัสดุอสัมฐานจะเปลี่ยนแปลงอย่างต่อเนื่องแต่มีการลดลงของความชันเล็กน้อยที่อุณหภูมิ  $T_g$  สำหรับพอลิเมอร์กึ่งผลึกจะพบทั้งพฤติกรรมการหลอมเหลว  $T_m$  และการเปลี่ยนสภาพ  $T_g$  ซึ่งเป็นสมบัติของวัสดุภาคผลึกและอสัมฐานตามลำดับ ทั้งนี้ พฤติกรรมที่แสดงในรูปที่ 3.8 จะขึ้นอยู่กับอัตราการเย็นตัวหรืออัตราการให้ความร้อนค่าอุณหภูมิการหลอมเหลวและการเปลี่ยนสภาพของวัสดุพอลิเมอร์บางชนิดแสดงในตารางที่ 3.3 และคุณลักษณะของวัสดุพอลิเมอร์ที่เหมาะสมสำหรับเป็นนวนของลายเคเบิลไฟฟ้าแสดงในตารางที่ 3.4



รูปที่ 3.8 ปริมาตรจำเพาะของวัสดุพอลิเมอร์ต่ออุณหภูมิ (ที่มา: คุณสมบัติและการทดสอบวัสดุ, อรรถพล ตะระ, 2551)

ตารางที่ 3.3 อุณหภูมิการเปลี่ยนสภาพ  $T_g$  และ  $T_m$  ของวัสดุพอลิเมอร์ (คุณสมบัติและการทดสอบวัสดุ, อรรถพล ตะระ, 2551)

วัสดุพอลิเมอร์	อุณหภูมิการเปลี่ยนสภาพ คล้ายแก้วเป็นเยื่อดหุน ( $^{\circ}\text{C}$ )	อุณหภูมิการหลอม ( $^{\circ}\text{C}$ )
XLPE	-125	110
พอลิเอทิลีนความหนาแน่นต่ำ	-110	115
พอลิเทฟฟลูออโรเอทิลีน	-97	327
พอลิเอทิลีนความหนาแน่นสูง	-90	137
พอลิพรอพิลีน	-18	175
ไนลอน 6.6	57	265
พอลิเอสเตอร์ (PET)	69	265
พีวีซี	87	212
พอลิสไตรีน	100	240

ตารางที่ 3.4 คุณลักษณะของวัสดุพอลิเมอร์ที่เหมาะสมสำหรับใช้เป็นชั้นในของสายเคเบิลไฟฟ้า

(Electric Cables Handbook, 3<sup>rd</sup> edition, G.F. Moore, 1997)

วัสดุ	XLPE	PE	PVC	ยาง Butyl	ยาง EP	ยาง CR
ความถ่วงจำเพาะ (Specific Gravity)	0.92	0.92	12.-1.5	1.4-1.5	1.3-1.4	1.4-1.6
ความคงทนชั้นไฟฟ้า (Dielectric Strength : kV/mm)	50	30-50	20-35	20-30	30-45	15-25
ค่าความต้านทานปริมาตร (Volume Resistivity : ohm)	1,018	1,018	1,012	1,015	1,015	107-12
ค่าคงตัวของไดอิเล็กทริก (Dielectric Constant)	2.3	2.3	5-9	4-5	4-5	7-10
ตัวประกอบกำลังไฟฟ้า (Power Factor : %)	0.03	0.03	4-12	1-3	1-2	> 10
ความต้านทานแรงตึง (Tensile Strength : kg/mm <sup>2</sup> )	1.4- 1.8	1.2- 1.5	1.0-2.5	0.4-0.7	0.4-0.9	1.2-2.0
อุณหภูมิสูงสุดขณะใช้งาน (°C)	90	75	60-75	80	90	75
ความต้านทานไฟ (Flame Resistivity)	NG	NG	E	NG	NG	E
การเปลี่ยนรูปจากความร้อน (Heat Deformation)	F	G	G	G	F	G
ค่าความต้านทานโอโซน (Ozone Resistivity)	F	F	G	F	E	G
ความคงทนต่อสภาพอากาศ (Weather Proof)	G	G	F	F	F	F
ค่าความต้านทานน้ำมัน (Oil Resistivity)	E	E	F	NG	NG	G

หมายเหตุ : E : ยอดเยี่ยม

F : ดี

G : พอดี

NG : ไม่เหมาะสมแก่การใช้งาน

### 3.4 สายเคเบิลไฟฟ้าแรงสูง

ปัจจุบันการส่งจ่ายกำลังไฟฟ้าในด้วยระบบสายเคเบิลได้คิดเป็นที่นิยมและแพร่หลายไปทั่วโลก อาจกล่าวได้ว่าสายเคเบิลได้คิดเป็นส่วนประกอบที่สำคัญอย่างยิ่งต่อระบบไฟฟ้า กำลัง ในช่วง 2 ศตวรรษที่ผ่านมา มีนักวิจัยเป็นจำนวนมากได้ค้นคว้าและวิจัยเกี่ยวกับการพัฒนาสายเคเบิลให้มีประสิทธิภาพยิ่งขึ้นอย่างต่อเนื่อง ทั้งทางด้านการประยุกต์ใช้งาน การพัฒนาเทคโนโลยีต่าง ๆ ในการผลิตสายเคเบิล การเลือกเฟ้นวัสดุพอลิเมอร์มาเป็นจำนวนมากในสายเคเบิล และการออกแบบสายเคเบิล เป็นต้น รายละเอียดต่าง ๆ ของสายเคเบิลจะกล่าวถึงในลำดับถัดไป

#### 3.4.1 วิวัฒนาการของสายเคเบิล

ในช่วงศตวรรษปี ค.ศ. 1830 เริ่มนิยมการคิดค้นเทคโนโลยีสายเคเบิลริ้งแรก และอีก 50 ปีต่อมาในปี ค.ศ. 1880 จึงมีการติดตั้งสายเคเบิลได้คิดแห่งแรกในกรุงเบอร์ลินสหพันธ์สาธารณรัฐเยอรมัน เหตุที่ต้องทิ้งระยะห่างถึง 50 ปีก็เพราะนักวิจัยทำการเลือกเฟ้นวัสดุจำนวนมากที่สามารถทนต่อความร้อนที่เกิดขึ้นในตัวนำไฟฟ้า อีกทั้งยังมีความคงทนต่อสนามไฟฟ้าสูง และเป็นความสำเร็จของ Ferranti's ในปี ค.ศ. 1880 ในการคิดค้นและประดิษฐ์นวนแบบหมายชั้นโดยใช้เทปกระดาษพันซึ่งสามารถใช้เป็นวัสดุจำนวนมากได้เป็นอย่างดี เทคโนโลยีนี้ได้รับการปรับปรุงอีกริ้ง ในปี ค.ศ. 1917 โดย Emanueli ได้นำจำนวนกระดาษมาจุ่มน้ำมันจำนวนมากที่มีค่าความหนืดต่ำ การปรับปรุงครั้งนี้ช่วยให้เสถียรภาพการทอนต่อความร้อนของสายเคเบิลมีประสิทธิภาพสูงขึ้นและมีความเป็นไปได้ที่จะใช้สายเคเบิลแรงดันสูงกว่า 100 kV เป็นครั้งแรก การพัฒนาครั้งสำคัญอีกริ้ง ของเทคโนโลยีสายเคเบิลเกิดขึ้นในปี ค.ศ. 1963 ด้วยการใช้วัสดุพอลิเอทิลีนแบบเชื่อมขวางเป็นจำนวนมากทำให้สามารถใช้งานได้ที่อุณหภูมิสูงขึ้น ( $90^{\circ}\text{C}$ ) การออกแบบพื้นฐานของสายเคเบิลระบบแรงดันสูง (High Voltage: HV) และแรงดันสูงพิเศษ (Extra High Voltage: EHV) ยังคงไม่เปลี่ยนแปลงในช่วงที่ผ่านมา องค์ประกอบหลักของสายเคเบิลได้แก่ ตัวนำ สนวน และชั้นกำบังทำจากโลหะ (Electric Cables Handbook, 3<sup>rd</sup> edition, G.F. Moore, 1997)

ในช่วงศตวรรษที่ผ่านมา พัฒนาการของสนวนในสายเคเบิลมีการเปลี่ยนแปลงไปอย่างรวดเร็ว โดยการเปลี่ยนจากการใช้สนวนด้วยปลอกหุ้มตะ瓜้วน และกระดาษจุ่มน้ำมัน เป็นการใช้วัสดุพอลิเมอร์เป็นสนวนแทน สาเหตุหลักที่ใช้วัสดุพอลิเมอร์เป็นสนวนแทนที่กระดาษจุ่มน้ำมัน และปลอกหุ้มตะ瓜้วนคือ วัสดุพอลิเมอร์มีต้นทุนการผลิตที่ต่ำง่ายต่อการนำร่องรักษาและไม่ส่งผลกระทบต่อลิ่งแวดล้อมเมื่อเปรียบเทียบกับการใช้กระดาษจุ่มน้ำมันและปลอกหุ้มตะ瓜้วน อีกทั้งยังมีคุณสมบัติความเป็นสนวนมากกว่ากระดาษจุ่มน้ำมันและปลอกหุ้มตะ瓜้วน วิวัฒนาการและพัฒนาการของสายเคเบิลแสดงในตารางที่ 3.5

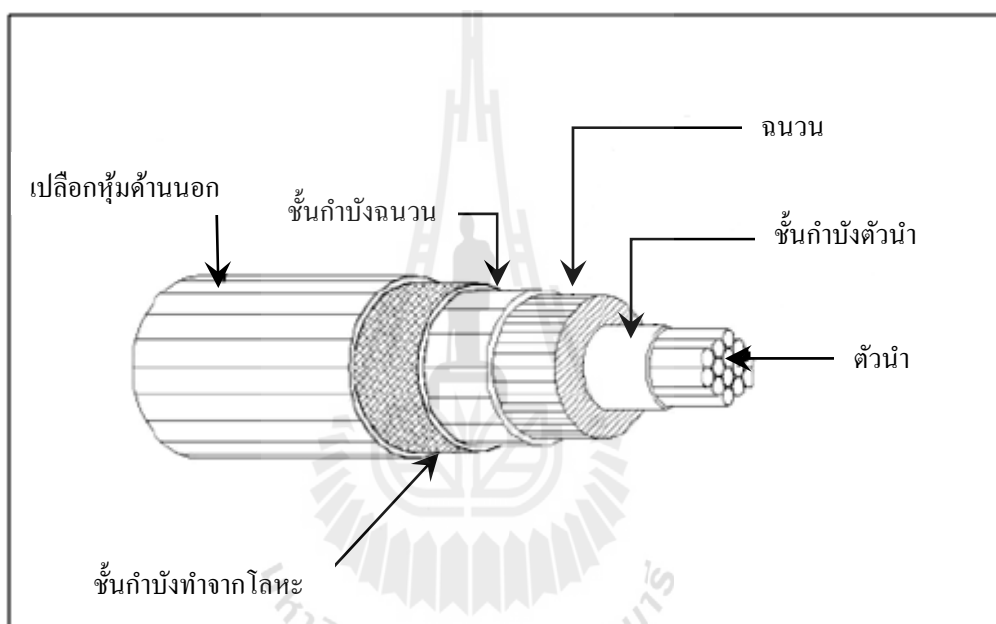
ตารางที่ 3.5 วิวัฒนาการและพัฒนาการของสายเคเบิล (Electric Cables Handbook, 3<sup>rd</sup> edition, G.F. Moore, 1997)

ปี	พัฒนาการของสายเคเบิล
1812	เริ่มมีการใช้สายไฟหุ้มฉนวนด้วยยางเคลือบเงา ใช้สำหรับการจุดระเบิดในเหมือง เป็นครั้งแรกในรัสเซีย
1850	เริ่มมีการใช้สายเคเบิลโลหะเดียวที่ทะละระหว่างอังกฤษและฝรั่งเศส และใช้ในเรือดำน้ำ เป็นครั้งแรก
1880	Thomas Edison ได้ประดิษฐ์สายเคเบิลกระแสตรงโดยมีฉนวนหุ้มขึ้นในอเมริกา
1890	Sebastian Ferranti ได้เสนอแนวคิดการใช้สายเคเบิล 10 kV ในรูปแบบท่อ โดยมี กระดาษเป็นฉนวนในอังกฤษ
1900	มีการใช้ยางธรรมชาติเป็นฉนวนในสายเคเบิล
1925	เริ่มมีการใช้สายเคเบิลกระดาษอัดความดันเป็นครั้งแรก
1930	เริ่มมีการใช้ผลิตภัณฑ์พีวีซี (Polyvinyl Chloride :PVC) เป็นครั้งแรกในเยอรมัน
1937	ได้มีการคิดค้นวัสดุพอลิเมอร์พอลิเอทธิลีน (PE) ขึ้นในประเทศอังกฤษ
1942	เริ่มมีการประยุกต์ใช้วัสดุพอลิเอทธิลีนในสายเคเบิลเป็นครั้งแรก
1954	เริ่มมีการใช้สายส่งไฟฟ้าแรงสูงกระแสตรงเป็นครั้งแรกในสวีเดน
1963	บริษัท General Electric ได้ทำการประดิษฐ์วัสดุพอลิเอทธิลีนแบบเชื่อมขาว (XLPE) ขึ้น
1968	เริ่มมีการใช้สายเคเบิล XLPE ในระบบแรงดันสูงขนาดกลางเป็นฉนวนเป็นครั้งแรก
1972	นำเสนองการใช้หัวก้านแบบสารกึ่งตัวนำในสายเคเบิล
1978	มีการใช้วัสดุพอลิเมอร์เป็นปลอกหุ้มสายเคเบิลอย่างแพร่หลายในอเมริกาเหนือ
1988	เริ่มมีการประยุกต์ใช้สายเคเบิลแรงสูงฉนวน XLPE ขนาด 500 kV เป็นครั้งแรกในญี่ปุ่น
2000	เริ่มมีการประยุกต์ใช้สายเคเบิลแรงสูงฉนวน XLPE ขนาด 500 kV โดยติดตั้งได้ดัน ในระยะทางไกลเป็นครั้งแรกในญี่ปุ่น
2006	ออกสเปรเดีย ได้มีการสร้างสายเคเบิลใต้น้ำที่มีความยาวที่สุดในโลก

### 3.5 โครงสร้างและวัสดุของสายเคเบิล

การออกแบบสายเคเบิลส่วนใหญ่ เป็นการออกแบบเพื่อง่ายต่อการใช้งาน และมีการรับประกันสายเคเบิลที่ออกแบบ เพื่อให้สายเคเบิลที่ผลิตขึ้นมา มีความน่าเชื่อถือ ดังนั้นวัสดุทุกชนิดภายในสายเคเบิลจึงต้องมีการตรวจสอบ และกลั่นกรองความน่าเชื่อถือในประสิทธิภาพการทำงาน โครงสร้างโดยทั่วไปของสายเคเบิลประกอบด้วย ตัวนำไฟฟ้า จำนวนพอลิเมอร์ ปลอกหุ้ม และชั้นกำบังภายนอกและภายในของจำนวนดังแสดงใน

รูปที่ 3.9



รูปที่ 3.9 ส่วนประกอบของสายเคเบิลจำนวนพอลิเมอร์

#### 3.5.1 วัสดุตัวนำไฟฟ้า

ในปัจจุบัน ทองแดงและอะลูมิเนียมถูกใช้เป็นตัวนำไฟฟ้าในสายเคเบิลกันอย่างแพร่หลาย ซึ่งการเลือกใช้มีเงื่อนไขแตกต่างกันไป โดยขึ้นอยู่กับปัจจัยและความสามารถของแต่ละพื้นที่ แต่ในช่วงหลายปีที่ผ่านมา วัสดุอะลูมิเนียมถูกใช้เป็นตัวนำไฟฟ้าอย่างกว้างขวาง เนื่องจากมีการผลิตที่ง่าย แต่ยังไหรก็ตามเหตุผลหลักที่อะลูมิเนียมถูกใช้อย่างแพร่หลายมากกว่าทองแดงคือ ราคาของทองแดงปรับตัวสูงขึ้นมากกว่าวัสดุอะลูมิเนียมค่อนข้างมาก แม้ว่าอะลูมิเนียมจะมีความนิยมในการใช้เป็นตัวนำไฟฟ้ามากกว่าวัสดุอื่น ๆ แต่คุณสมบัติ ข้อดีและข้อเสียของวัสดุก็มีความแตกต่างกันไป การเปรียบเทียบคุณสมบัติของวัสดุที่ใช้เป็นตัวนำไฟฟ้าแสดงในตารางที่ 3.6

ตารางที่ 3.7 แสดงคุณสมบัติทางไฟฟ้าของโลหะที่ใช้มาผลิตเป็นตัวนำไฟฟ้าในสายเคเบิล ถ้าพิจารณาถึงราคาของวัสดุแล้วท้องแดงและอะลูมิเนียมเป็นวัสดุที่ดีที่สุดสำหรับการผลิตเป็นตัวนำไฟฟ้าในสายเคเบิลแต่ก็ยังมีอยู่บ้างที่ใช้โซเดียมเป็นตัวนำไฟฟ้า

คุณสมบัติทางกายภาพของโลหะที่นำมาทำเป็นตัวนำไฟฟ้าในสายเคเบิลและขั้นกำบังแสดงไว้ในตารางที่ 3.8 ท้องแดงทนความร้อนได้ดี จึงสามารถนำไฟใช้งานในสภาวะอุณหภูมิสูงได้อย่างต่อเนื่อง อะลูมิเนียมแกนเดียวทนสภาวะได้ต่ำกว่าท้องแดงแต่มีน้ำหนักเกลือยจะสามารถทนสภาวะได้สูงขึ้น

ตารางที่ 3.6 คุณสมบัติของวัสดุที่ใช้ทำตัวนำไฟฟ้า

วัสดุ	ข้อดี	ข้อเสีย
อะลูมิเนียม	มีราคาไม่แพง	นำไฟฟ้าและทนความร้อนได้น้อย
ท้องแดง	นำไฟฟ้าได้ดี และทนความร้อนสูง	มีราคาแพง
เงิน	นำไฟฟ้าและทนต่อความร้อนได้ดีกว่าท้องแดง	มีราคาแพงมาก
โซเดียม	มีราคาถูกมาก	ความปลดภัยด้านการใช้งาน การบำรุงรักษาต่ำและนำไฟฟ้าต่ำ

ตารางที่ 3.7 คุณสมบัติทางไฟฟ้าของโลหะ

ชนิดของโลหะ	ความนำไฟฟ้า (ท้องแดง = 100%)	ค่าความต้านทาน ไฟฟ้าที่อุณหภูมิ $20^{\circ}\text{C}$ ( $\Omega\text{m}, 10^{-8}$ )	ค่าสัมประสิทธิ์ ความต้านทาน อุณหภูมิ (per $^{\circ}\text{C}$ )
เงิน	106	1.626	0.0041
ท้องแดง(ขั้นรูปแบบบริโภค)	100	1.724	0.0039
ท้องแดง(ขั้นรูปแบบบริคแข็ง)	97	1.777	0.0039
ท้องแดงชุบ	95-99	1.741-1.814	0.0039
อะลูมิเนียม(เกรดอ่อน)	61	2.803	0.0040
อะลูมิเนียม(เกรดแข็ง)	61	2.826	0.0040
โซเดียม	35	4.926	0.0054
เหล็กเหลี่ยม	12	13.80	0.0045

ตารางที่ 3.8 คุณสมบัติทางกายภาพของโลหะที่ใช้ในการทำสายเคเบิล

คุณสมบัติ	หน่วย	ทองแดง	อะลูมิเนียม	ตะกั่ว
ความหนาแน่นที่ อุณหภูมิ 20°C	kg/m <sup>3</sup>	8890	2703	11370
ค่าสัมประสิทธิ์ของ การขยายตัวทาง ความร้อนต่อ °C	×10 <sup>-6</sup>	17	23	29
จุดหลอมเหลว	°C	1083	659	327
การนำความร้อน	W/cm °C	3.8	2.4	0.34
ความเครียดแรงดึง สูงสุด	MN/m <sup>2</sup>	225	70-90	-
ความแข็ง	DPHN	50	20-25	5
ความคงทนความถึก (ค่าประมาณ)	MN/m <sup>2</sup>	±65	±40	±28

ตัวนำไฟฟ้าในสายเคเบิลสามารถเป็นอะลูมิเนียมหรือทองแดงขึ้นอยู่กับความ เหมาะสมของการใช้งาน อะลูมิเนียมและทองแดงสามารถเป็นตัวนำไฟฟ้าได้ทั้งแบบแท่งหรือแบบ สายตีเกลียว ตัวนำไฟฟ้าแบบสายตีเกลียวถูกนำมาใช้เพื่อเพิ่มความยืดหยุ่นให้แก่สายเคเบิลและ สามารถเพิ่มค่าความคงทนความเครียดทางไฟฟ้าได้สูงสุดถึง 20% ปัญหาสำคัญของตัวนำไฟฟ้าคือ ความชื้นที่เกิดจากน้ำในสภาวะแวดล้อม ซึ่งน้ำสามารถซึมผ่านเข้าตัวนำไฟฟ้าได้อย่างง่ายดาย โดย แทรกซึมผ่านทางช่องว่างระหว่างเกลียวสาย การป้องกันน้ำซึมผ่านตัวนำไฟฟ้าแบบสายตีเกลียว สามารถทำได้โดยการเติมพลาสติกผสมลงในช่องว่างระหว่างสายตีเกลียวหรือนำสารดูดซึมน้ำ (Hygroscopic) ไว้ภายในสายตีเกลียว วิธีป้องกันอื่น ๆ ที่สามารถป้องกันการซึมของน้ำได้ คือ การใช้สารตัวนำแบบแท่งชี้งไม่มีช่องว่างระหว่างเกลียวทำให้น้ำไม่สามารถไหลซึมผ่านได้

ในมาตรฐาน AWG (American Wire Gauge) ของประเทศสหรัฐอเมริกา ตัวนำไฟฟ้า ทองแดงแบบแท่งถูกใช้ในขนาดที่ไม่เกิน No.1 AWG และไม่นิยมใช้ตัวนำไฟฟ้าอะลูมิเนียมแบบ แท่ง แต่มาตรฐานในยุโรปนิยมใช้ตัวนำไฟฟ้าอะลูมิเนียมเป็นแบบแท่ง ในเกณฑ์ของสายเคเบิลแรงสูง สามารถมีตัวนำไฟฟ้าได้มากกว่า 1 ชนิด แต่จำเป็นต้องคำนวณระยะห่างระหว่างตัวนำไฟฟ้าใน แต่ ละชนิด ได้อย่างเหมาะสม เพื่อกำหนดถึงความสัมพันธ์ทางความเครียดทางไฟฟ้า การสร้างรูปแบบของ

ตัวนำไฟฟ้ามีกระบวนการหลาຍวິທີ เช่น การบีบอัด การหลอม การหอ การຄຸງ การชັບ และการຕືກລືຢາ เป็นต้น

### 3.5.2 ວັດຈຸນວນ

ສາຍເຄເບີລແຮງສູງສ່ວນໃຫຍ່ມັກຄູກເຮົາກຂໍ້ອຕາມວັດຈຸນວນທີ່ໃຊ້ ຜຶ່ງແສດງໃຫ້ເຫັນດີ່ງ ຄວາມສຳຄັງອ່າງຍິ່ງຂອງວັດຈຸນວນ ໂດຍໜ້າທີ່ຫລັກຂອງຈຸນວນຄືກອງປຶກກັນຮະແສໄຟຟ້າຈາກ ຕັນນຳ ເພື່ອໄມ້ໃຫ້ຮະແສໄຟຟ້າສັນຜັກບັນຫຼວງສ່ວນອື່ນ ພາຍໃນໂຄຮງສ້າງຂອງສາຍເຄເບີລ ອັນທຳໃຫ້ເກີດ ກາລືດວງຈະໄດ້ ໃນປັຈຸບັນໄດ້ມີການພັດທະວັນສັດພອລີເມອຣ໌ສໍາຮັບໃໝ່ເປັນຈຸນວນຈຳນວນຫຼາຍ ສ່າງພລໃຫ້ ຈຸນວນພອລີເມອຣ໌ສາມາຮັດທຳໜ້າທີ່ຄວາມເປັນຈຸນວນໄດ້ຕີກວ່າຈຸນວນໃນສົມຍັກອຸນ ໂດຍຈຸນວນແຕ່ລະຫຼືນິດ ມີຄຸນສົມບັດຕັດກັນໄປຕາມຄວາມເໜາະສົມຂອງສະພາພາງ ຈຸນວນທີ່ໃຊ້ໃນສາຍເຄເບີລສ່ວນໃຫຍ່ມີດັ່ງນີ້

1) ຈຸນວນຮະດາຍ ໂດຍໃນອົດກາຣີຕິດຕັ້ງສາຍເຄເບີລແຮງສູງທີ່ໃຊ້ໃນຮະບັບແຮງດັນສູງ ຮະແສດຮ່ວມສ່ວນໃຫຍ່ມັກໃຊ້ຈຸນວນຮະດາຍຈຸ່ມນໍ້າມັນ ຈຸນວນຫຼືນິດນີ້ມີການໃຊ້ຈານເປັນທີ່ນໍ້າພອໃຈທີ່ທຸກ ຮະດັບແຮງດັນ ສາເຫດຖ້າຫລັກໃນກາຣເລື່ອມອາຍຸຂອງຈຸນວນຫຼືນິດນີ້ຄື່ອງ ກາຣເກີດຮອຍແຕກຮ້າວຫຼືກາຣສຶກ ດັ່ງນີ້ທີ່ປລອກຫຼຸມ ຜຶ່ງທຳໃຫ້ຄວາມເໜີນຝຶ່ນຝຶ່ນເບັນເມັງແນ້ອຈຸນວນ ເປັນດັ່ງຫຼຸດໃຫ້ຈຸນວນເລື່ອມອາຍຸ ປັຈຸບັນ ຄວາມນິຍົມໃນກາຣໃຊ້ຈານຈຸນວນຮະດາຍຄຸນນ້ອຍລົງ ເນື່ອງຈາກກາຣໃຊ້ຈຸນວນຮະດາຍມີພລກຮະທບທາງ ສິ່ງແວດລ້ອມ ເພວະວັດຈຸທີ່ໃຊ້ເປັນປລອກຕະກໍ່ວະແລະຈຸ່ນໃນນໍ້າມັນ

2) ພອລີໄວນິຄຄລອໂໄຣດໍ (PVC) ຫຼືອຈຸນວນພົວື່ຈີ ຄູກພລິດຂຶ້ນຄົ້ງແຮກທີ່ປະເທດ ເຍອມັນ ໃນປີ ດ.ສ. 1930 ຕ່ອມາໃນປີ ດ.ສ. 1960 ຈຸນວນພົວື່ຈີ ເຮັມມີການໃຊ້ຈານອ່າງແພວ່ຫລາຍແລະເຮັມ ເຂັ້ມາແຫນທີ່ຈຸນວນຍາງແລະຈຸນວນຮະດາຍຈຸ່ມນໍ້າມັນ ສາເຫດຖ້າທີ່ຈຸນວນພົວື່ຈີ ມີຄວາມນິຍົມພຣະຈຸນວນ ຫຼືນິດນີ້ໄມ້ມີພລກຮະທບໃນເຮືອງຄວາມເໜີນ ມີນໍ້າຫັກເບາ ເහັນຍາ ແລະມີຄວາມຕ້ານທານທາງປົກກົງຍາເຄມີ ດັ່ງນີ້ຈຶ່ງໄມ່ຈໍາເປັນຕົ້ງໃຫ້ປລືອກຫຼຸມ ໂລະຄລຸມເນື້ອຈຸນວນອອກຈາກນີ້ຢັ້ງມີກາຣຕິດຕັ້ງທີ່ຈ່າຍ ດ້ວຍຄຸນສົມບັດຕັດກຳລ່າວ ຈຶ່ງທຳໃຫ້ໂຮງງານອຸດສາຫກຮຽມສ່ວນໃຫຍ່ນໍາຈຸນວນພົວື່ຈີມາໃຊ້ຈານ ແຕ່ອ່າງໄຮ ກີ່ຕາມໃນປັຈຸບັນຈຸນວນພົວື່ຈີຄູກໃຊ້ໃນກາຣສົມທີ່ສາຍເຄເບີລທີ່ມີພົກແຮງດັນນ້ອຍວ່າ 1 kV ເທົ່ານີ້

3) ພອລີເອທີລິນ (PE) ຄູກຄິດກຳນົົມໃນປີ ດ.ສ. 1930 ແລະໄດ້ຄູກນຳມາໃຊ້ເປັນຈຸນວນໃນ ປີ ດ.ສ. 1943 ເນື່ອງຈາກມີການຮັບການພົກພັນທີ່ຈ່າຍແລະມີຄວາມນິຍົມ ຈຸນວນ PE ຈຶ່ງໄດ້ຮັບຄວາມນິຍົມເປັນ ອ່າງຍິ່ງ ມີການໃຊ້ຈານອ່າງກວ່າງຂວາງແລະເຮັມໃຊ້ຈານແຫນທີ່ຈຸນວນອື່ນ ພາຍໃຕ້ຈຸນວນ PE ຢັ້ງມີ ຄຸນສົມບັດຕັດກຳໃນດ້ານຄວາມທານທານ ມີຄຸນສົມບັດຕັດທາງໄຟຟ້າທີ່ດີ ດ້ານທານຄວາມເໜີນໃນຮະດັບໜິ່ງ ແລະ ທານທານຕ່ອງປົກກົງຍາເຄມີໄລ້ອ່າງຕື່ບີ ລຶ່ງແນ້ວຈຸນວນ PE ຈະມີຄຸນສົມບັດຕັດທີ່ດີກວ່າຈຸນວນອື່ນ ແຕ່ຈຸນວນ PE ກີ່ມີຂໍອບກົງພ່ອງຕ່າງ ຖ້າຈຸນວນຫຼືນິດອື່ນໄມ້ມີເຂັ້ນກັນ ນັ້ນຄືກອງເກີດປາກູກກາຮັນທີ່ຈົກຈົ່າ ຈາກນໍ້າເນື່ອງຈາກຄວາມເໜີນທີ່ອູ່ກາຍໃນເນື້ອຈຸນວນກາຍໄດ້ສະນາໄຟຟ້າທຳໃຫ້ເກີດກາຮັບກົງຕ່າງໆ ດີສະກັບຈຳນວນສ່ວນແລະສ່າງພລໃຫ້ຄວາມຕ້ານທານໄຟຟ້າຂອງຈຸນວນຄຸດຕໍ່າງ ແຕ່ຫຼືເສີຍທີ່ສຳຄັງທີ່ສຸດຂອງ

ชนวน PE คือมีการทำงานภายในได้สภาวะอุณหภูมิสูงสุดอยู่ที่  $70^{\circ}\text{C}$  ซึ่งชนวนกระดาษจุ่มน้ำมันมีการทำงานภายในได้สภาวะอุณหภูมิสูงสุดที่  $80\text{--}90^{\circ}\text{C}$  เมื่อถูกเผาไหม้ได้เห็นข้อบกพร่องของชนวน PE จึงได้ทำการแก้ไขปัญหาข้อบกพร่องอย่างทันที โดยการปรับปรุงโครงสร้างโมเลกุลของ PE ให้ทนความร้อนได้สูงขึ้น และมีการระบายน้ำความร้อนได้ดีกว่าชนวนกระดาษจุ่มน้ำมัน โดยสามารถทนความร้อนเพิ่มขึ้นเป็น  $90^{\circ}\text{C}$  ในสภาวะปกติ ในสภาวะคุกคามสามารถทนได้  $130^{\circ}\text{C}$  และการเกิดลักษณะสามารถทนได้ถึง  $250^{\circ}\text{C}$  นอกจากนี้การเกิดโครงสร้างแบบร่างแท่งช่วยเพิ่มค่าความคงทนทางกลจากแรงกระแทก เพิ่มการคงสภาพเชิงขนาด (Dimensional Stability) เพิ่มความยืดหยุ่นเพิ่มเสถียรภาพทางเคมี และยังช่วยปรับปรุงคุณสมบัติทางไฟฟ้า ตลอดจนเพิ่มอายุการใช้งานของ PE

4) พอลิเอทิลีนแบบเชื่อมขาว (XLPE) ถูกประดิษฐ์ขึ้นครั้งแรกในปี ก.ศ. 1963 โดยนักวิจัยกลุ่มนี้ในนิวยอร์ก (Precopio and Gilbet, 1963) ในช่วงปี ก.ศ. 1970 ประเทศาทางยุโรปและที่อื่น ๆ ได้เริ่มน่าวัสดุ XLPE มาใช้เป็นชนวนสายเคเบิลอย่างแพร่หลาย วัสดุ XLPE เป็นวัสดุชนวนที่ทนความร้อนได้เป็นอย่างดี เนื่องจากการนำวัสดุพอลิเอทิลีนความหนาแน่นต่ำ (LDPE) มาเป็นพื้นฐานของเนื้อชนวน และผสมเข้ากับสารเติมแต่งอื่น ๆ ที่ทำให้มีคุณสมบัติขึ้น วัสดุประกอบเหล่านี้ประกอบด้วย วัสดุที่มีความต้านทานต่อการเกิดปรากฏการณ์ทริโองจากน้ำ และวัสดุที่ป้องกันการเกิดออกซิเดชันลงในเนื้อชนวน XLPE นอกจากนี้ยังมีการผสมวัสดุประกอบอื่น ๆ เช่น สารประกอบที่ทำให้เกิดการเชื่อมขาวหรือเรียกว่าสารประกอบขึ้นรูป ได้แก่ สารประกอบเปอร์ออกไซด์ และน้ำ ผู้ผลิตสายเคเบิลส่วนใหญ่มักใช้สารประกอบเหล่านี้ผสมเพิ่มลงไปในเนื้อชนวน PE ก่อนทำการเชื่อมขาวให้เป็น XLPE เมื่อผ่านกระบวนการเหล่านี้เสร็จสิ้นแล้ว จะได้ชนวน XLPE ที่ทนต่อความร้อนสูง มีคุณสมบัติทางกลและทางไฟฟ้าที่ดี จากการพัฒนาคุณสมบัติต่าง ๆ ทำให้ชนวน XLPE สามารถใช้เป็นชนวนในสายเคเบิลที่ใช้กับระบบแรงดันสูงถึง  $500 \text{ kV}$  กระบวนการเชื่อมขาวของวัสดุ PE สามารถทำได้ 3 วิธีคือ เชื่อมขาวจากการฉายแสง (Irradiation–Crosslink) ทำให้เกิดโครงสร้างเชื่อมขาวด้วยเปอร์ออกไซด์ (Peroxide–Crosslink) และเชื่อมขาวด้วยไซเลน (Silane–Crosslink) โดยวิธีเหล่านี้จะถูกใช้ตามความเหมาะสมของสายเคเบิลที่ใช้ในระบบแรงดันขนาดต่าง ๆ ในการผลิตสายเคเบิลไฟฟ้าแรงสูงชนวน XLPE ต้องพิ加以ไม่ให้มีข้อบกพร่องต่าง ๆ เกิดขึ้นบนสายเคเบิล เช่น การเกิดไฟฟ้าช่องว่างในเนื้อชนวนหรือที่พื้นผิวชนวน และความผิดพร่องอื่น ๆ ที่ทำให้เกิดการเชื่อมขาวที่ไม่เหมาะสม ในการผลิตชนวนของสายเคเบิลไฟฟ้าต้องทำให้เป็นสารเนื้อเดียวกัน แปรรูปให้มีขนาดเล็กและมีสีงเรืองให้น้อยที่สุดเพื่อการป้องกันการเกิดดีสชาร์จบางส่วนในชนวน

### 3.5.3 วัสดุกำบังแบบสารกึ่งตัวนำ

ในโครงสร้างของสายเคเบิลแรงสูงชนวน XLPE จะประกอบด้วยแผ่นกำบังแบบสารกึ่งตัวนำ (Semi Conducting Screens : SC) ซึ่งอยู่ระหว่างด้านนอกและด้านในของเนื้อชนวน XLPE แผ่นกำบังชนวนด้านในจะอยู่ระหว่างตัวนำไฟฟ้าและชนวน ส่วนแผ่นกันด้านนอกจะอยู่ระหว่างชนวนและปลอกหุ้ม ซึ่งทำหน้าที่เป็นตัวป้องกันการเกิดดีษชาร์จบางส่วนบริเวณพื้นผิวระหว่างชนวนกับตัวนำไฟฟ้าและระหว่างชนวนกับชั้นป้องกันภายนอก ตัวกำบังแบบสารกึ่งตัวนำยังช่วยให้สามารถไฟฟารอบชนวนของสายเคเบิลสม่ำเสมอตามด้วยการลดเกรดี้ยนต์ศักย์ไฟฟ้า (Potential Gradient) เหนือสายตัวนำไฟฟ้าตีเกลียวและภายในตัวกำบังโลหะ นอกจากนี้ยังช่วยป้องกันการเกิดโคลโโรนา (Corona) บนผิวของตัวนำไฟฟ้าตีเกลียวโดยใช้วิธีให้ชนวนระหว่างชั้นนอกและชั้นในติดกันมากที่สุด อีกทั้งยังสามารถป้องกันอันตรายจากการลัดวงจรอันมีสาเหตุมาจากการร้อนของตัวนำไฟฟ้า แผ่นกำบังแบบสารกึ่งตัวนำผลิตจากสาร Carbon Black ซึ่งผ่านการเผาไหม้อบย่างสมบูรณ์ ความเข้มข้นของสาร Carbon Black จากแผ่นกำบัง ที่ใช้สำหรับกำบังตัวนำไฟฟ้ากับชนวนจะมีความเข้มข้นอยู่ที่ 30–40% ในกรณีที่แผ่นกำบังชนวนสร้างจากสาร Carbon Black ที่มีความเข้มข้นมากเกินไปจะทำให้คุณสมบัติความต้านทานทางไฟฟ้าของแผ่นกำบังชนวนลดลง ดังนั้นจึงควรผสม Carbon Black ลงในชนวนที่ค่า率ระหว่าง 10–100 Ω.cm และไม่ควรเกิน 104 Ω.cm

### 3.5.4 ปลอกหุ้ม

ปลอกหุ้ม (Cover) สามารถใช้ PVC หรือ PE แล้วแต่ลักษณะของการใช้งาน ในการผลิตที่เป็นการใช้งานกลางแจ้งมากใช้ปลอกหุ้มพอลิไวนิลคลอไรด์ เพราะเนื่องต่อการติดไฟ ในขณะที่ปลอกหุ้มพอลิเอทิลีนมักใช้ในงานเดินลอย เนื่องจากทนต่อสภาพดินฟ้าอากาศได้ดี ปลอกหุ้ม พอลิเอทิลีนสามารถใช้ได้ทั้งเดินลอยในอากาศและฝังดิน แต่ส่วนใหญ่นิยมใช้ฝังใต้ดินเนื่องจากมีความแข็งแรงและสามารถทนต่อความชื้นได้ดี สายเคเบิลชนวน XLPE ที่ใช้ในไฟฟ้าแรงสูงแสดงในรูปที่ 3.10



รูปที่ 3.10 สายเคเบิลแรงดันสูงชนวน XLPE (ที่มา <http://www.tradeindia.com/fp140373/High-Tension-XLPE-Cables.html>)

### 3.6 กระบวนการผลิตสายเคเบิลชนวน XLPE

การผลิตสายเคเบิลแรงสูงประกอบไปด้วยขั้นตอนมากมาย ความซับซ้อนของขั้นตอนการผลิตขึ้นอยู่กับลักษณะการใช้งาน และชนิดของสายเคเบิลที่ทำการผลิต เช่น สายเคเบิลที่ใช้ฟังไถดิน หรือสายเคเบิลใต้น้ำ โดยประเภทของสายเคเบิลแรงสูงสามารถแบ่งออกได้ 4 ประเภทตามจำนวนที่ใช้ดังแสดงในตารางที่ 3.9

ตารางที่ 3.9 ประเภทของชนวนสายเคเบิลใต้ดิน

ประเภทของชนวนในสายเคเบิล	คุณลักษณะ
ชนวนโพลิเมอร์ (Polymeric insulation)	มี LDPE, HDPE, XLPE และ EPR เป็นชนวน
ชนวนเทปกระดาษจุ่มน้ำมันในชนวนเหลว (Paper Tape form Self-Contained Fluid-Fill Insulation)	มีแผ่นกระดาษหรือแผ่นพลาสติกที่มีช่องเหลวอยู่ภายใน (เช่น น้ำมันยาง) เป็นชนวน
กระดาษจุ่มน้ำมันชนวน (Mass-impregnated Non-draining Insulation : MIND)	เป็นชนวนกระดาษจุ่มน้ำมันที่มีสารประกอบ MIND (พอลิบูทีน มีความหนืดต่ำ) ซึ่งจะไม่หล่อออกมากและเกิดความร้อน
ชนวนแก๊สหรือของเหลวความดันสูง (High Pressured Fluid/gas Insulation)	เป็นชนวนกระดาษที่ทำการจุ่มน้ำมันโดยของเหลวหรือเป็นชนวนแก๊ส ( $SF_6$ ) ซึ่งทำการติดตั้งด้วยท่อความดัน

เนื้อหาในบทนี้จะมุ่งเน้นในส่วนของการผลิตสายเคเบิลที่มีจำนวนพอลิเอทิลินแบบเชื่อมขวางเท่านั้น เนื่องจากในปัจจุบัน ชนวน XLPE มีความนิยมอย่างมาก และใช้ทำเป็นชนวนในสายเคเบิลมากที่สุด

การผลิตสายเคเบิลชนวน โดยการขึ้นรูปแบบอัดรีดจะไม่สามารถมองเห็นกระบวนการการขึ้นรูปและการเชื่อมขวางภายในห่อ ดังนั้นคุณภาพของสายเคเบิลที่ถูกผลิตขึ้นส่วนใหญ่ขึ้นอยู่กับชนิดและสภาพของโรงงานผลิตสายเคเบิล โดยเฉพาะอย่างยิ่งกับระบบคุณภาพในโรงงานผลิตสายเคเบิล ข้อกำหนดที่สำคัญของการผลิตสายเคเบิลคือ

- 1) โรงงานผลิตสายเคเบิล ได้รับการออกแบบตามมาตรฐาน
- 2) การควบคุมกระบวนการที่แม่นยำและสามารถคาดการณ์ได้
- 3) การตรวจสอบวัสดุชนวนที่จะเข้ามาในกระบวนการผลิตเป็นประจำ
- 4) ทำการสุ่มตัดเนื้อชนวนนำไปวิเคราะห์ด้วยกล้องจุลทรรศน์เป็นประจำ
- 5) การเข้มงวดในการทดสอบสายเคเบิลด้วยแรงดันสูงเป็นประจำ
- 6) ทำการทดสอบแรงดันเบรกดาวน์ของชนวนและเก็บสถิติตามเวลา
- 7) ได้รับการรับรองคุณภาพของสายเคเบิลที่ผลิตได้

การผลิตสายเคเบิลชนวน XLPE มี 5 ขั้นตอนหลักด้วยกันคือเตรียมความพร้อมของชนวน และทำการคัดกรองสารแปรกปลอม การอัดขึ้นรูปของชนวนและขันกำบัง ให้ความร้อนแก่สายเคเบิลเพื่อเริ่มกระบวนการเชื่อมขวางของชนวนพอลิเมอร์ ทำการหล่อเย็นเพื่อให้อุณหภูมิของสายเคเบิลใกล้เคียงกับอุณหภูมิแวดล้อมและทำการกำจัดสารประกอบที่ไม่จำเป็นออกจากชนวนเคเบิล (Degassing)

การคัดกรองสารแปรกปลอมในวัสดุชนวนให้อยู่ในระดับการปนเปื้อนต่ำที่สุดเป็นสิ่งที่สำคัญมากอย่างหนึ่ง ดังนั้นวัสดุชนวนจะถูกอัดผ่านกรวยและหัวอัดในระบบห่อที่ปิดสนิท สำหรับสายเคเบิลที่ใช้กับแรงดันต่ำความเครียดสนานไฟฟ้าต่ำ คุณภาพของวัสดุก่อนน้ำมารอัดขึ้นรูปเป็นชนวนจะอยู่ในขั้น “Superclean” และ “Supersmooth” สำหรับวัสดุที่นำมาทำเป็นขั้นกำบังชนวนวัสดุจะถูกขนส่งมาที่โรงงานผลิตสายภายในห้องปลอดเชื้อก่อนจะเข้าสู่กระบวนการอัดขึ้นรูปของสายเคเบิล สำหรับสายเคเบิลที่ใช้ในแรงดันสูงมีความเครียดสนานไฟฟ้าสูงจะต้องใช้วัสดุที่มีความบริสุทธิ์มากที่สุดในการผลิตชนวนสายเคเบิล โดยทั้งวัสดุที่นำมาทำเป็นชนวนและวัสดุที่เป็นตัวนำจะต้องผ่านมาตรฐานและทำการคัดกรองชนวนก่อนจะทำการเชื่อมขวาง หลังจากการดึงแล้ววัสดุต้องเก็บรักษาอยู่ในระบบปิด การขนส่งต้องเชื่อมต่อกับการเตรียมขึ้นรูปในรูปแบบระบบปิด การผลิตสายเคเบิลที่ดีโรงงานต้องดูแลและโรงงานขึ้นรูปชนวนควรจะอยู่ติดกัน ไม่ว่าจะเป็น

สายเคเบิลแรงดันต่ำหรือสายเคเบิลแรงดันสูงต้องตรวจสอบวัสดุและกระบวนการขึ้นรูปอย่างละเอียด เพื่อคุณภาพที่ดีของสายเคเบิลชนวน

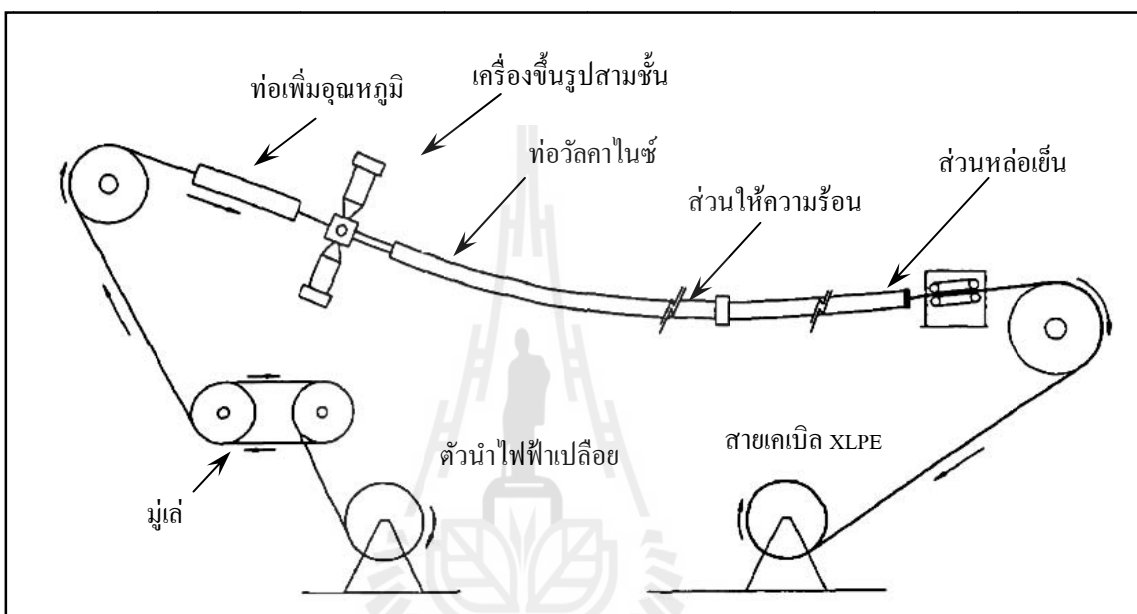
การผลิตสายเคเบิลแบบขึ้นรูปสามชั้นในขั้นตอนเดียว เริ่มต้นจากการนำเม็ดพอลิเมอร์และสารกึ่งตัวนำไฟฟ้าเข้าสู่ช่องใส่สารลำเลียงของเครื่องอัด สารที่ถูกลำเลียงมาในช่องดังกล่าวจะถูกหลอมละลายและบีบอัดด้วยสกรูหมุนวนที่มีความร้อนสูง จนกระทั่งสารที่ถูกลำเลียงมาหลอมละลายจนหมด แล้วจึงถูกนีบอัดเข้าสู่ห้องของเครื่องอัดขึ้นรูป สิ่งแปรผันหรือสิ่งเจือปนที่มากับวัสดุที่ถูกหลอมละลาย จะถูกคัดแยกออกโดยเครื่องกรองซึ่งอยู่ปลายสุดของห้องท่อ ก่อนจะถึงหัวอัด จากนั้นตัวนำที่ถูกดึงผ่านหัวรีลดความดันได้ขนาดตามที่ออกแบบไว้จะถูกดึงผ่านเครื่องขึ้นรูปสามชั้น เครื่องขึ้นรูปจะฉีดสารกึ่งตัวนำหุ้มตัวนำซึ่งทำหน้าที่เป็นชั้นกำบังตัวนำจากนั้นวนจะถูกฉีดหุ้มชั้นกำบังหุ้มตัวนำและสุดท้ายเครื่องขึ้นรูปสามชั้นจะฉีดสารกึ่งตัวนำหุ้มนวนอีกชั้นหนึ่งเป็นอันเสร็จขั้นตอนการขึ้นรูปสามชั้น

กระบวนการเชื่อมขาวง โดยหลังจากเสร็จสิ้นกระบวนการขึ้นรูปแล้วจะได้สายเคเบิลที่มีแกนกลาง 3 ชั้น วัสดุพอลิเมอร์ที่อยู่ในสายเคเบิลยังคงอยู่ในรูปของเทอร์โมพลาสติกซึ่งเป็นพลาสติกที่ทนความร้อนได้ดีเพื่อปรับปรุงคุณสมบัติให้ทนความร้อนได้สูง จึงต้องมีกระบวนการในการเปลี่ยนคุณสมบัติจากเทอร์โมพลาสติกให้เป็นเทอร์โมเซตติ้งพอลิเมอร์ โดยใช้กระบวนการวัลภาไนซ์และกระบวนการอบ (Curing) เพื่อให้เกิดการเชื่อมขาวง โดยมีไคลมิกเมปอร์ออกไซด์เป็นสารเชื่อมขาวง กระบวนการเชื่อมขาวงต้องให้ความร้อนที่สูงกว่า  $200^{\circ}\text{C}$  ในการเชื่อมขาวงครั้งแรกใช้ไอน้ำเป็นตัวให้ความร้อนซึ่งส่งผลเสียต่อผนวนคือทำให้ผนวนมีความชื้นสะสมมากต่อมาได้ทำการพัฒนาการให้ความร้อนในการเชื่อมขาวงเป็นแบบการอบแห้งซึ่งส่งผลดีต่อผนวนกระบวนการอบจึงเป็นสิ่งจำเป็นอย่างยิ่งสำหรับการเปลี่ยนแปลงวัสดุพอลิเมอร์ให้กลายเป็นวัสดุที่มีประสิทธิภาพในการทนความร้อนสูง กระบวนการดังที่กล่าวมาข้างต้นจะกล่าวถึงในหัวข้อต่อไป

### 3.6.1 กระบวนการวัลภาไนซ์ต่อเนื่องแนวระนาบ

กระบวนการวัลภาไนซ์ต่อเนื่องแนวระนาบ (Catenary Continuous Vulcanization: CCV) เป็นกระบวนการนำสายเคเบิลชนวน PE ที่ยังไม่ทำการเชื่อมขาวง จากกระบวนการขึ้นรูป 3 ชั้น ลำเลียงผ่านห้องท่อที่ยึดติดกับล่วนหัวของเครื่องอัดขึ้นรูป เพื่อเริ่มกระบวนการอบด้วยหัวลำเลียงในแนวระนาบ โดยใช้แก๊สไนโตรเจนความดันประมาณ 8 บาร์ (การอบแห้ง) หรือใช้ไอน้ำที่อุณหภูมิ  $300^{\circ}\text{C}$  ส่งผ่านหัวลำเลียงสายเคเบิล เมื่อกระบวนการอบด้วยความร้อนให้แก่สายเคเบิล เสร็จสิ้น หัวลำเลียงจะส่งสายเคเบิลเข้าสู่กระบวนการหล่อเย็น เพื่อลดอุณหภูมิจากการอบของกระบวนการเชื่อมขาวงดังแสดงในรูปที่ 3.11

กระบวนการวัลค่าไนซ์แบบต่อเนื่องแนวระนาบมีข้อดีคือ สามารถผลิตได้ในปริมาณมากและรวดเร็วเนื่องจากการติดตั้งในแนวราบ แต่ก็มีข้อจำกัดในด้านพิกัดกำลังของสายที่ผลิตได้นៃนេះจากกระบวนการวัลค่าไนซ์แบบต่อเนื่องแนวระนาบนេះสามารถผลิตสายเคเบิลได้สูงสุดที่พิกัดแรงดัน 150 kV สำหรับสายเคเบิลที่พิกัดกำลังสูงกว่านេះจะทำการผลิตโดยใช้กระบวนการวัลค่าไนซ์ต่อเนื่องแบบแนวตั้ง

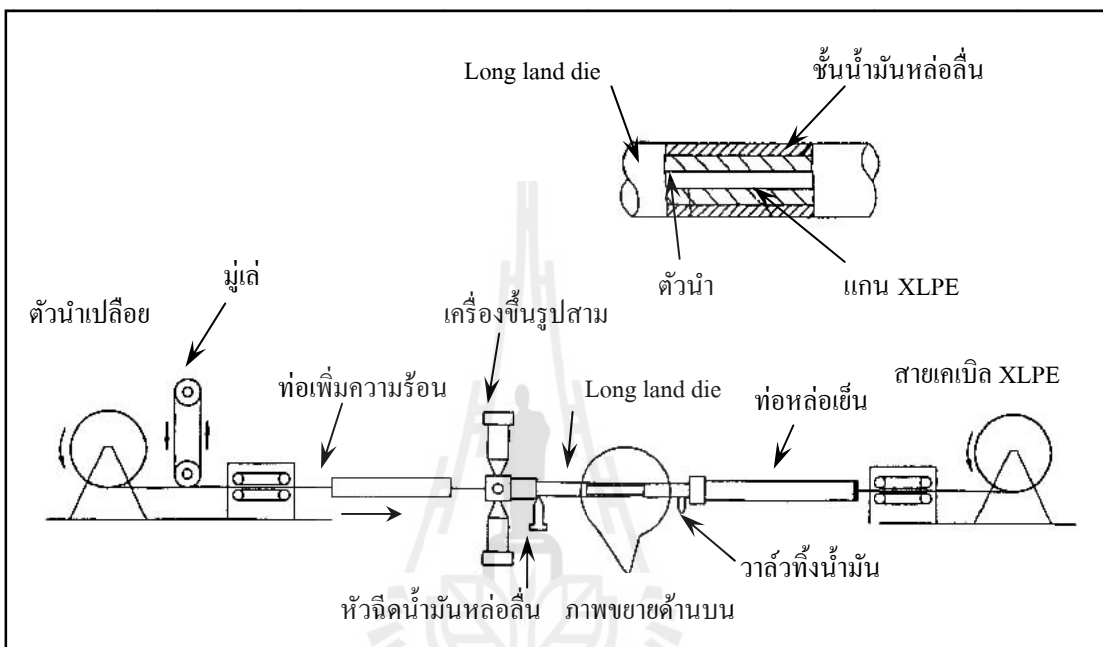


รูปที่ 3.11 แผนผังระบบการผลิตของสายเคเบิล โดยระบบ CCV

### 3.6.2 กระบวนการวัลค่าไนซ์ต่อเนื่องแบบ Mitsubishi – Dainichi

กระบวนการวัลค่าไนซ์ต่อเนื่องแบบ Mitsubishi – Dainichi (Mitsubishi Dainichi Continuous Vulcanisation : MDCV) เป็นระบบที่รุก้ากันดิในชื่อของการ Long Land Die ซึ่งพัฒนาขึ้นโดยกลุ่มบริษัท Mitsubishi และบริษัท Dainichi ในปี ค.ศ. 1970 กระบวนการนี้มีเครื่องอัดรีดขนาดเล็กและวางอยู่ในแนวอนดังแสดงในที่ 3.12 กระบวนการอบจะกระทำผ่านห่อสำลียงสายเคเบิล โดยมีความร้อนอยู่ภายในตัวห้องอัดรีดของหัวอัดรีด ซึ่งการอบจะให้ความร้อนผ่านห่อสำลียงอุณหภูมิประมาณ 200°C ทำให้ประลิทิภพดีกว่ากระบวนการให้ความร้อนโดยใช้ในโตรเจนหรือไอน้ำ และเพื่อลดแรงเสียดทานภายในห้องที่จะทำการฉีดน้ำมันหล่อลื่นพิเศษหลังจากหัวอัดรีด หลังจากกระบวนการเชื้อมของสายเคเบิลจะถูกหล่อเย็นด้วยน้ำในระบบหมุนเวียนโดยทั่วไประบบนี้ใช้ในการผลิตสายเคเบิลแรงสูง (High Voltage Cables) และแรงสูงพิเศษ

(Extra High Voltage Cables) ปัญหาที่พบในการใช้ระบบวัลค่าไนซ์ในแนวระนาบคือ การตกท้องช้างของตัวนำในจำนวน ดังนั้นการผลิตสายเคเบิลที่มีพื้นที่หน้าตัดมากจึงต้องเลือกวัสดุพอลิเมอร์ที่มีความหนืดสูง อย่างไรก็ตาม ไม่สามารถผลิตสายเคเบิลที่มีขนาดใหญ่ พื้นที่หน้าตัดของตัวนำมากกว่า  $1600 \text{ mm}^2$  ได้



รูปที่ 3.12 แผนผังระบบการผลิตของสายเคเบิลโดยระบบ MDCV

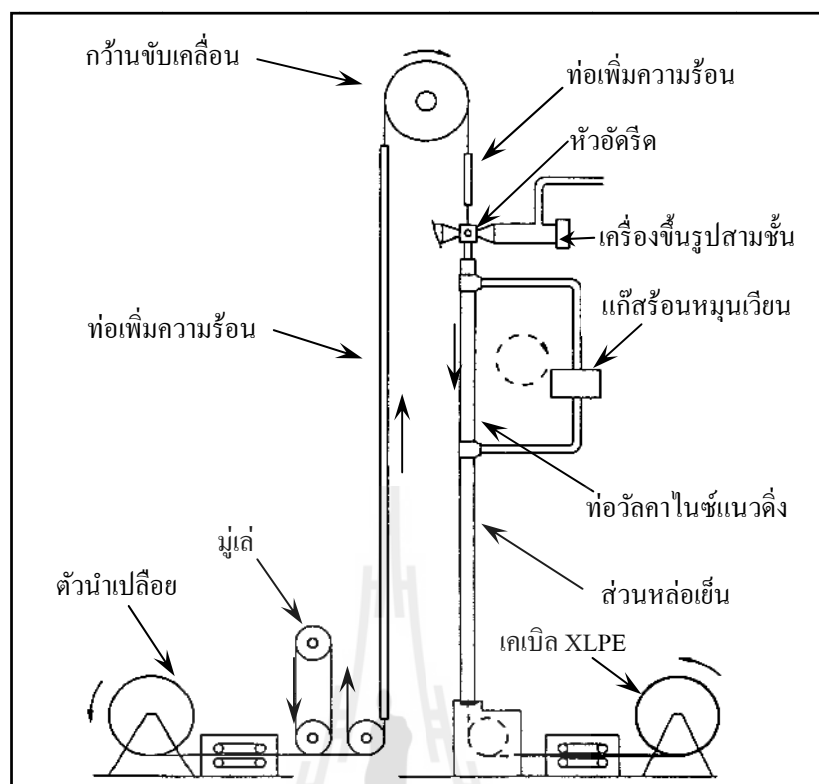
### 3.6.3 กระบวนการวัลค่าไนซ์ต่อเนื่องแบบแนวตั้ง

กระบวนการวัลค่าไนซ์ต่อเนื่องแบบแนวตั้ง (Vertical Continuous Vulcanization: VCV) เป็นกระบวนการรอบของสายเคเบิลชนวน PE ที่ยังไม่ผ่านการเชื่อมขวางด้วยหลักการทำงาน เช่นเดียวกับกระบวนการ CCV แต่มีความแตกต่างกันที่รูปทรงแบบของท่อลำเลียงที่ใช้ในกระบวนการรอบเท่านั้น โดยท่อลำเลียงในการรอบเพื่อเชื่อมขวางจะวางในแนวตั้ง แผนผังระบบการผลิตของสายเคเบิลระบบวัลค่าไนซ์ต่อเนื่องแนวตั้งแสดงในรูปที่ 3.13 กระบวนการวัลค่าไนซ์ต่อเนื่องแบบแนวตั้ง ไม่มีปัญหาการตกท้องช้างของตัวนำจึงสามารถผลิตสายเคเบิลที่มีพื้นที่หน้าตัดของตัวนำขนาดใหญ่มากกว่า  $1600 \text{ mm}^2$  หรือความหนาของชนวนมากกว่า 35 mm และยังสามารถเลือกใช้วัสดุเพื่อมาทำเป็นชนวนได้มากกว่าระบบวัลค่าไนซ์แบบ CCV และ MDCV ระบบวัลค่าไนซ์ต่อเนื่องแบบแนวตั้งได้รับความนิยมสำหรับผลิตสายเคเบิลในระบบแรงดันสูงพิเศษ อย่างไร

ก็ตาม ราคาในการก่อสร้าง โรงงานผลิตสายเคเบิลในแนวคิ่งสูงกว่า โรงงานผลิตสายเคเบิลใน แนวระนาบมากเนื่องจากต้องสร้าง โรงงานผลิตสายเคเบิลที่มีความสูงมาก ดังแสดงในรูปที่ 3.14

ขั้นตอนสุดท้ายในการผลิตสายเคเบิล XLPE คือขั้นตอนการทำ Degassing เป็นการทำให้เกิดความมั่นใจในประสิทธิภาพการทำงานของชั้นนอก XLPE ที่ได้จากการอบเชื้อมช่วง โดยวิธีต่าง ๆ ไม่ว่าจะเป็นชั้นนอกในสายเคเบิลแรงสูงหรือ สายเคเบิลแรงสูงพิเศษ จำเป็นอย่างยิ่งที่ต้องทำการขัดหรือลดสารประกอบบางชนิดในชั้นนอก XLPE ที่เป็นผลพลอยได้จากการกระบวนการเชื้อมช่วง มิฉะนั้นจะทำให้เกิดปัญหาทางโครงสร้างของชั้นนอก XLPE และส่งผลต่อคุณสมบัติความเป็นชั้นนอก ได้ วิธีการขัดสารประกอบดังกล่าวเรียกว่า ขั้นตอน Degrassing สารประกอบบางชนิดที่ต้องขัดออกจากเนื้อชั้นนอกได้แก่ อะซีโตฟิโนล เมทิลสไตรีน (Methylstyrene) คัมมิลอลกอฮอล์ และมีเทน เป็นต้น

ในวงการอุตสาหกรรมทั่วไป จะจัดสารประกอบที่ไม่ต้องการในสายเคเบิล โดยใช้วิธีการขัดแบบธรรมชาติ ซึ่งเป็นการเก็บสายเคเบิลไว้ระยะหนึ่ง (ประมาณ 7 วัน) ก่อนทำการทดสอบประจำ (Routine Testing) สำหรับสายเคเบิลแรงสูง และแรงสูงพิเศษ จะถูกเก็บไว้ภายในห้องขนาดใหญ่ที่มีอุณหภูมิปานกลางระหว่าง 50–80°C เพื่อทำการขัดสารประกอบและสารเติมแต่งออกจากสายเคเบิล อย่างไรก็ตาม ระยะเวลาที่ใช้ในการขัดสารประกอบที่ไม่ต้องการของสายเคเบิลอาจต้องพิจารณาจากปัจจัยในด้านอื่น ๆ ประกอบด้วย เช่น โครงสร้างของตัวนำไฟฟ้า และการบวนของสายเคเบิลในระหว่างการขัดสารประกอบที่ไม่ต้องการ เป็นต้น (Electric Cables Handbook, 3<sup>rd</sup> edition, G.F. Moore, 1997)



รูปที่ 3.13 แผนผังระบบการผลิตของสายเคเบิลโดยระบบ VCV



รูปที่ 3.14 โรงงานผลิตสายเคเบิลระบบแรงดันสูงพิเศษตั้งอยู่ทางตอนเหนือของสหราชอาณาจักร  
(ที่มา <http://www.charlestonbusiness.com/news/31305/print>)

เมื่อผ่านทุกกระบวนการการผลิตแล้ว สายเคเบิลจะถูกทำการตรวจสอบคุณภาพ เพื่อให้มีความแน่ใจว่าผลิตภัณฑ์ที่ได้ทำการออกแบบและผลิตขึ้น ตอบสนองต่อความต้องการของลูกค้าหรือไม่ การตรวจสอบคุณภาพของสายเคเบิลโดยทั่วไปจะทำการตรวจสอบคุณภาพของตัวนำไฟฟ้า ขนาดของสายและฉนวน การเกิดดีสชาร์จบางส่วน ไฟร่องหรือช่องว่างในเนื้อฉนวนสิ่งเจือปนในเนื้อฉนวน และการถลอกหรือโป๊นออกของเนื้อฉนวน โดยมีการทดสอบตามมาตรฐานที่กำหนด ตัวอย่างเช่น IEC ANSI/ICEA JEC และ CENELEC เป็นต้น

### 3.7 การเสื่อมอายุของสายเคเบิลไฟฟ้า

การใช้สายเคเบิลไฟฟ้าเป็นเวลานานย่อมต้องมีการเกิดการเสื่อมอายุทางฉนวนอันเกิดจากหลายสาเหตุ เช่น ผลกระทบทางความร้อนและความเครียดทางไฟฟ้าที่ส่งผลต่อฉนวนไฟฟ้า ในบางกรณีการเสื่อมอายุของสายเคเบิลไฟฟ้าสามารถเกิดจากสภาพแวดล้อมได้ เช่น กัน ยกตัวอย่าง เช่น ความชื้น รังสีอัลตราไวโอเลต และ ความร้อนจากการกลดต่าง ๆ สิ่งเหล่านี้อาจเป็นตัวการทำให้เกิดการเสื่อมอายุของฉนวนของสายเคเบิลไฟฟ้า ได้ เช่นกัน สมมติฐานในการเสื่อมอายุและผลกระทบที่ทำให้เกิดการเสื่อมอายุของฉนวนของสายเคเบิลไฟฟ้า XLPE จึงมีดังนี้

#### 3.7.1 กลไกการเสื่อมสภาพของพอลิเมอร์

สารอนุมูลอิสระในฉนวนพอลิเมอร์เกิดขึ้นจากกลไกการดีสชาร์จทางไฟฟ้า การเกิดออกซิเดชัน ผลของรังสีอัลตราไวโอเลต การแพร่รังสีแกมม่าและไวโอโซน ทำให้เกิดไอออนในระหว่างการใช้งานปกติของสายเคเบิล การดีสชาร์จขึ้นอยู่กับความเครียดสนามไฟฟ้า ความถี่ จำนวน และความเป็นไปได้ของตำแหน่งการกระจายตัวของดีสชาร์จ การเสื่อมสภาพของพอลิเมอร์เกิดจากการเปลี่ยนแปลงสารอนุมูลของพอลิเมอร์สามารถแบ่งย่อยออกได้ 3 ประเภท ได้แก่ การแตกแขนงหรือเกิดโกรงข่ายใหม่ของสายโซ่ โน阴谋ลพอลิเมอร์ การขาดของสายโซ่ โน阴谋ลพอลิเมอร์ และการเกิดออกซิเดชัน โดยการดูดกลืนออกซิเจน การแตกแขนงของสายโซ่ โน阴谋ลพอลิเมอร์ จะทำให้วัสดุพอลิเมอร์มีความแข็งเพิ่มมากขึ้น ในขณะที่การขาดของสายโซ่ โน阴谋ลพอลิเมอร์ และการเกิดออกซิเดชัน จะทำให้พอลิเมอร์สูญเสียน้ำหนักโน阴谋ลพอลิเมอร์ มีความประจำเพิ่มขึ้น การเกิดออกซิเดชันยังเป็นการเพิ่มขึ้นและปัจจัยการสูญเสียความเป็นฉนวนให้กับวัสดุพอลิเมอร์ แต่ละปฏิกิริยามีความซับซ้อนและมักไม่สามารถวัดได้โดยตรง

1) การเสื่อมสภาพทางเคมีจะทำให้เกิดการเปลี่ยนแปลงคุณสมบัติเชิงกลของฉนวนพอลิเมอร์ ผลจากการเสื่อมสภาพทางเคมีจะทำให้สายโซ่ โน阴谋ลพอลิเมอร์ขาด กระบวนการที่เกิดขึ้นนี้เรียกว่าการสลายสายโซ่ โน阴谋ลพอลิเมอร์ (Depolymerisation) หรืออาจจะทำให้เกิดกระบวนการเสื่อม化 ใหม่เกิดขึ้น จะทำให้ฉนวนพอลิเมอร์มีความประจำในบริเวณที่เกิดขึ้น สารอนุมูลอิสระเป็น

ส่วนหนึ่งของการเกิดปฏิกิริยาทางเคมี สารอนุมูลอิสระเหล่านี้เกิดขึ้นระหว่างการเกิดออกซิเดชันของอนวน อัตราการก่อตัวของสารอนุมูลอิสระขึ้นอยู่กับอุณหภูมิ ปริมาณของออกซิเจน และความเข้มของรังสี หมายเหตุ การเกิดดี沙าร์จบางส่วนภายในอนวนจะก่อให้เกิดการก่อตัวของสารอนุมูลอิสระส่างผลให้เกิดแก๊สบ้างอย่าง กรณ และรังสีอัลตราไวโอเลต (UV) ซึ่งเป็นอันตรายต่ออนวน พอลิเมอร์ทั้งสิ้น

2) การเสื่อมสภาพจากความร้อน โดยปกติในการใช้งานสายเคเบิลอนวน XLPE อุณหภูมิควรต่ำกว่า 90°C แต่ในสภาพผิดพร่องสายเคเบิลอนวน XLPE สามารถทนอุณหภูมิได้ถึง 120°C ที่อุณหภูมิระหว่าง 150°C ถึง 225°C สารอนุมูลอิสระอาจจะติดไปกับโซ่หลักของสายโพลิเมอร์โซ่อื่น ๆ ที่ก่อให้เกิดการเขื่อมขาว การเขื่อมขาวจะลดความแข็งแรงเชิงกลและความหนาแน่นของผลึก ที่อุณหภูมิสูงกว่า 225°C เกิดการก่อตัวของกลุ่มทรานซ์ไวนิล (Trans-Vinyl) และถึงการจัดเรียงตัวของสารอนุมูล ที่อุณหภูมิสูงกว่า 350°C การเสื่อมสภาพของพลาสติกเกิดขึ้นโดยการสลายตัวของพอลิเมอร์และการแตกจากความร้อนที่ไม่สมบูรณ์

3) การเสื่อมสภาพจากสนามไฟฟ้า ข้อกพร่องที่อันตรายที่สุดในอนวนพอลิเมอร์เกิดจากการเสื่อมสภาพเนื่องจากไฟฟ้า ดี沙าร์จบางส่วน หรือทางไฟฟ้าและหรือจากน้ำล้วนเป็นสาเหตุสำคัญในกลไกการเสื่อมอายุของอนวนทั้งสิ้น การเสื่อมสภาพจากไฟฟ้าจะส่งผลต่ออนวนแบบสุ่มตำแหน่งในการเกิด การเสื่อมสภาพจากไฟฟ้าจะไม่มีผลต่อความยาวของสายเคเบิลทั้งหมด ในขณะที่การเสื่อมสภาพจากความร้อนนั้นจะมีผลต่อความยาวของสายเคเบิลทั้งหมด ข้อกพร่องนำไปสู่การเบรกดาวน์ในสายเคเบิลและมักจะเกิดในบริเวณที่เกิดความบกพร่องของอนวน ความเข้มสนามไฟฟ้าต่ำและเวลาภายนอกเป็นพื้นฐานสำหรับกลไกการเสื่อมอายุในสายเคเบิลระบบแรงดันปานกลาง ได้เช่นกัน

### 3.7.2 กระบวนการเสื่อมอายุของอนวน XLPE

ในปัจจุบัน นักวิจัยเป็นจำนวนมากทำการศึกษาเกี่ยวกับการเสื่อมอายุของอนวน XLPE เมื่อผ่านการใช้งานเป็นระยะเวลานาน โดยศึกษาด้วยวิธีการทดสอบแบบร่างการเสื่อมอายุและพัฒนาแบบจำลองการเสื่อมอายุ เพื่อให้เกิดความเข้าใจในกระบวนการเสื่อมอายุของอนวน XLPE ในกระบวนการทดสอบการร่างการเสื่อมอายุของอนวน XLPE โดยทั่วไปมักจะทดสอบการเสื่อมอายุภายใต้สภาวะความเครียดเดียวหรือสภาวะความเครียดหลายแบบ แต่โดยส่วนใหญ่แล้วการเสื่อมอายุมักเกิดจากสภาวะความเครียดทางไฟฟ้าและทางความร้อน เพราะทั้งสองปัจจัยนี้เกิดขึ้นพร้อมกันในขณะส่งจ่ายกำลังงานไฟฟ้าของสายเคเบิลแรงสูง ดังนั้นสภาวะความเครียดที่เกิดขึ้นอาจเกิดขึ้นอย่างเดียวหรือทั้งสองอย่างควบคู่กันไป สภาวะความเครียดโดยส่วนมากที่เกิดขึ้นและพบบ่อยในอนวนเคเบิลแรงสูง

1) ความเครียดทางไฟฟ้า (Electrical Stress) กระบวนการเสื่อมอายุที่เกิดบ่อยที่สุดในอนวนไฟฟ้า มีสาเหตุเนื่องมาจากการเครียดสะสมของเกรเดินต์ไฟฟ้าในเนื้ออนวน

2) ความเครียดทางความร้อน (Thermal Stress) กระบวนการเสื่อมอายุอันมีสาเหตุจากสภาวะความร้อนที่เกิดขึ้นจากตัวนำไฟฟ้าภายในสายเคเบิล ส่งผลให้อุณหภูมิของฉนวนมีค่าเพิ่มขึ้น ซึ่งอาจนำไปสู่การสูญเสียสภาพความเป็นฉนวนหรือสูญเสียเสถียรภาพทางเคมีของเนื้อฉนวนได้

3) ความเครียดทางกล (Mechanical Stress) กระบวนการเสื่อมอายุอันมีสาเหตุจากการเปลี่ยนแปลงของความเครียดทางกล ตัวอย่างเช่น การขยายตัวเนื่องจากการเปลี่ยนแปลงของอุณหภูมิ การสั่นสะเทือน หรือแรงกดทางไฟฟ้า เป็นต้น

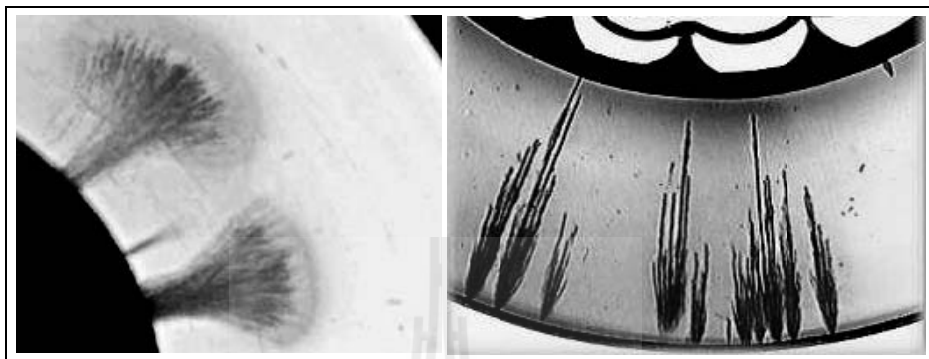
4) ความเครียดทางสิ่งแวดล้อม (Environmental Stress) กระบวนการเสื่อมอายุอันมีสาเหตุจากสภาวะแวดล้อมของฉนวน เช่น ความชื้น ปฏิกิริยาทางเคมี การเกิดออกซิเดชัน และการแพร่รังสีจากนิวเคลียร์ต่าง ๆ เป็นต้น

โดยทั่วไปการเสื่อมอายุอย่างรวดเร็วของฉนวน ส่วนใหญ่มักเกิดจากอิทธิพลสภาวะแวดล้อมของสายเคเบิล เช่น อุณหภูมิภายนอก การแพร่รังสี และความชื้น เป็นต้น นอกจากนี้อาจเกิดจากความผิดพร่องในกระบวนการผลิตสายเคเบิลด้วย ตัวอย่างเช่น การเกิดช่องโพรงอากาศในเนื้อฉนวน มีสิ่งเจือปนในเนื้อฉนวน หรือความผิดพร่องของเครื่องจักรที่ผลิต สิ่งเหล่านี้สามารถเป็นต้นเหตุที่ทำให้เกิดการเสื่อมอายุของฉนวนไฟฟ้าได้ เช่น กัน

### 3.7.3 ปราการณ์ทรอิงจากน้ำ

จากการศึกษาวิจัยเกี่ยวกับสายเคเบิลไฟฟ้าแรงสูง พบว่าการถูกทำลายและความเสียหายของสายเคเบิลส่วนใหญ่มากมาจากกรณีการเกิดปราการณ์ทรอิง ทรอิงเป็นลักษณะการเสื่อมอายุในสายเคเบิล สาเหตุที่เรียกว่าทรอิงเนื่องจากมีการกระจายของรูปร่างความผิดพร่องที่ปราการณ์ขึ้นในเนื้อฉนวนคล้ายรูปทรงของต้นไม้หรือพุ่มไม้ ปราการณ์ทรอิงจากน้ำเกิดจากความชื้นจากน้ำที่อยู่ภายนอกของฉนวน XLPE ความชื้นของน้ำจะซึมเข้าสู่รอยตัดของเนื้อฉนวน (ในกรณีที่สายเคเบิลไฟฟ้ามีรอยตัดจากการใช้งาน) หรือช่องว่างระหว่างเกลียวของสารตัวนำไฟฟ้าแบบสายติเกลียว ซึ่งนำไปสู่การสึกกร่อนของเนื้อฉนวนและสารกึ่งตัวนำไฟฟ้า อันเป็นสาเหตุหนึ่งของการเสื่อมอายุของฉนวนเคเบิลไฟฟ้า ปราการณ์ทรอิงจากน้ำจะขยายตัวไปอย่างช้าๆ ในช่วงระยะเวลาเป็นเดือนหรือเป็นปี โดยมีลักษณะคล้ายโรมมะเร็งฉนวนและสารกึ่งตัวนำไฟฟ้าของสายเคเบิลไฟฟ้าแรงสูงหมุดคุณสมบัติความเป็นฉนวนไปอย่างต่อเนื่อง การป้องกันการเกิดปราการณ์ทรอิงจากน้ำสามารถทำได้โดยการหลีกเลี่ยงความชื้นให้ห่างไกลจากตัวสายเคเบิลไฟฟ้า หากสายเคเบิลไฟฟ้ามีการถูกตัด下來ใช้แล้ว ควรหาอุปกรณ์ปิดหัวสายเคเบิลไฟฟ้าที่ถูกตัดเพื่อไม่ให้ความชื้นเข้ามาอย่างเนื้อฉนวน ได้ ความเครียดทางไฟฟ้า ทางกล ทางความร้อน และปัจจัยอื่น ๆ ที่เกิดขึ้นจากกระบวนการทำงานของการส่งจ่ายกำลังไฟฟ้าในสายเคเบิลแรงสูงสามารถเพิ่ม

การขยายตัวที่รีอิงจากน้ำได้รวดเร็วขึ้น ปราภูภารณ์ที่รีอิงจากน้ำเกิดขึ้นได้ 2 แบบคือ การเกิดจากภายในของตัวสารกึ่งตัวนำออกสู่ภายนอกดังแสดงในรูปที่ 3.15(ก) และเกิดจากภายนอกสารกึ่งตัวนำเข้าสู่ภายในดังแสดงในรูปที่ 3.15(ข)



ก. การเกิดจากภายในสู่ภายนอก

ข. การเกิดจากภายนอกสู่ภายใน

รูปที่ 3.15 การเกิดปราภูภารณ์ที่รีอิงจากน้ำในสายเคเบิลไฟฟ้าแรงสูง

การเกิดปราภูภารณ์ที่รีอิงจากน้ำเป็นหนึ่งในกลไกความผิดพร่องที่สำคัญที่สุดของสายเคเบิลไฟฟ้าขนาดแรงดันไฟฟ้ากลางและสูง โดยเฉพาะอย่างยิ่งในกรณีของสายเคเบิลใต้ดินหรือสายเคเบิลใต้น้ำ ทำการป้องกันเป็นพิเศษ ไม่ว่าจะเป็นการออกแบบโครงสร้าง รวมทั้งวัสดุที่ใช้ความสามารถป้องกันการเกิดที่รีอิงจากน้ำได้ นอกจากจะแบ่งตามลักษณะการเกิดแล้ว ที่รีอิงจากน้ำยังแบ่งย่อยออกได้อีก 2 ประเภท คือ ที่รีอิงแบบ Bow-Tie และที่รีอิงแบบ Vented ดังแสดงรูปที่ 3.16

1) Bow-Tie Treeing เกิดจากช่องว่างภายในเนื้อฉนวนจากการบวนการผลิต ที่รีอิงเหล่านี้จะเกิดและขยายตัวในทิศทางของสนามไฟฟ้า Bow-Tie Treeing มีอัตราการขยายตัวเริ่มต้นได้เร็วเมื่อเทียบกับ Vented Treeing ถึงแม้ว่าจะขยายตัวได้เร็วในช่วงเริ่มต้นแต่ Bow-Tie Treeing ที่ไม่สามารถขยายตัวเพิ่มขึ้น และไม่มีนัยสำคัญเพียงพอที่จะเป็นสาเหตุให้เกิดความผิดพร่องของสายเคเบิลได้

2) Vented Treeing เริ่มเกิดและขยายตัวจากชั้นกำบังฉนวนเข้ามาภายในระบบฉนวน และขยายตัวได้ในทิศทางของสนามไฟฟ้า ใช้เวลาเกิดและขยายตัวอย่างช้าๆ เป็นเดือนหรือเป็นปี และจะสามารถขยายตัวจนเจาะทะลุความหนาของเนื้อฉนวนได้ ทำให้สายเคเบิลฉนวนหมดสภาพความเป็นฉนวนเกิดความผิดพร่องในระบบส่งจ่ายไฟฟ้ากำลัง

ปราภูภารณ์ที่รีอิงจากน้ำ เกิดจากความชื้นที่อยู่ภายในฉนวน XLPE เป็นสาเหตุให้เกิดการเสื่อมอายุของสายเคเบิลไฟฟ้า ซึ่งเป็นปัญหาสำคัญมาเป็นระยะเวลานาน กลุ่มวิจัยหลายกลุ่ม

จึงได้ให้ความสนใจศึกษาในด้านการป้องกันปราภภการณ์นี้ และได้มีการออกแบบและสร้าง ชนวน Tree-retardant XLPE ขึ้นเพื่อป้องกันการเกิดทรัพิจิกันน้ำ โดยวิธีการผลิตที่นิยมจะแบ่งเป็น 3 ประเภทคือ

1) การใช้สารเติมแต่งในชนวน XLPE แบบท่อไป สามารถทำได้โดยการนำสารมาเติมแต่งเข้ากับชนวน โดยปกติเป็นสารอินทรีย์แบบมีน้ำหนักโมเลกุลต่ำและอยู่ในรูปของเหลวที่อุณหภูมิห้อง นำมาใช้รวมกับชนวน XLPE ธรรมชาติซึ่งไม่มีการฉีดละลายตัวการซึมของน้ำ เมื่อนำมาผสมกันจะได้ชนวน XLPE ที่มีคุณสมบัติฉีดละลายตัวการซึมของน้ำ ความเข้ากันระหว่างชนวน XLPE และสารเติมแต่งมีความสำคัญเป็นอย่างยิ่ง เพราะหากสารเติมแต่งและชนวน XLPE เข้ากันได้ไม่ดีจะทำให้เกิดการแพร่กระจายของสารเติมแต่งภายนอก โครงสร้างทางพอลิเมอร์จะเป็นผลทำให้ประสิทธิภาพในการป้องกันปราภภการณ์ทรัพิจิกันน้ำแยกจากเดิม สารโดเดกานอล (Dodecanol) และไชเดนเป็นตัวอย่างของสารเติมแต่งที่ใช้ในการผสมชนวน XLPE

2) การผสมชนวน XLPE กับวัสดุพอลิเมอร์ที่มีข้อ เพราะวัสดุ PE เป็นวัสดุพอลิเมอร์ที่ไม่มีข้อและไม่ชอบน้ำ (Hydrophobic) จึงทำให้ไม่มีการรวมตัวของน้ำเกิดขึ้นที่จุดใดจุดหนึ่งในการผสมพอลิเมอร์ร่วมกับพอลิเอทิลีนแบบมีข้อเข้ากับชนวน XLPE ทำให้เกิดแนวโน้มในการชอบน้ำมากขึ้น (Hydrophilic) ซึ่งช่วยลดการรวมตัวของน้ำและการเกิดปราภภการณ์ทรัพิจิกันน้ำ อย่างไรก็ตาม วิธีนี้จะทำให้คุณสมบัติทางไฟฟ้าของชนวน XLPE ลดน้อยลงไปด้วย

3) การใช้วัสดุพอลิเอทิลีนแบบความหนาแน่นต่ำมาก เป็นวิธีการใหม่และมีประสิทธิภาพ สำหรับการเพิ่มความต้านทานการเกิดปราภภการณ์ทรัพิจิกันน้ำให้แก่ชนวน XLPE วิธีนี้เป็นการปรับปรุงคุณสมบัติพื้นฐานของพอลิเอทิลีนเรซิล โดยเรียกว่าพอลิเอทิลีนความหนาแน่นต่ำมาก (Very Low Density Polyethylene : VLDPE) เป็นพอลิเอทิลีนแบบเส้นตรงที่มีกิ่งก้านสาขานิดหนึ่งที่ถูกสร้างขึ้นด้วยวิธีการผลิตที่ความดันต่ำสูงปานกลาง โดยใช้ตัวเร่งปฏิกิริยาแบบซีเกลอร์ (Ziegler Catalyst) วัสดุ VLDPE เป็นวัสดุที่มีความหนาแน่นที่ต่ำมาก โดยมีค่าความหนาแน่นอยู่ในช่วงที่ต่ำกว่า  $0.89-0.91 \text{ g/cm}^3$  การใช้วัสดุ VLDPE เป็นชนวนสามารถช่วยลดการเกิดผลึก (Degree of Crystallinity) อันเป็นสาเหตุในการเสื่อมอายุในชนวนเคเบิล ได้อีกด้วย การใช้พอลิเอทิลีนที่มีความหนาแน่นต่ำเป็นอีกวิธีหนึ่งที่นิยมใช้สำหรับการเพิ่มความต้านทานการเกิดปราภภการณ์ทรัพิจิกันน้ำ วัสดุ LDPE มีค่าความหนาแน่นประมาณ  $0.91 - 0.93 \text{ g/cm}^3$  แม้วัสดุ LDPE จะมีประสิทธิภาพในการป้องกันการเสื่อมอายุน้อยกว่าวัสดุ VLDPE แต่ก็เป็นที่นิยมนำมาใช้เป็นชนวน เนื่องจากมีราคาที่ถูกกว่า



ก. Bow-Tie Treeing                  ก. Vented Treeing

รูปที่ 3.16 ทรีอิงจากน้ำในสายเคเบิลไฟฟ้าแรงสูง

ผลของสนา�ไฟฟ้าเมื่อเกิดทรีอิงจากน้ำ มีรายงานเกี่ยวกับความคงทนต่อแรงดันเบรกด้านนี้กระแสรสลับของจำนวน XLPE จะลดลงเมื่อทรีอิงจากน้ำมีการเติบโตมากขึ้น และแนวโน้มของการลดลงนี้จะแปรผันตรงกับอัตราการเริ่มต้น โดยของทรีอิงจากน้ำ

#### 3.7.4 ทรีอิงทางไฟฟ้า

มีลักษณะคล้ายกับต้นไม้หรือรากไม้กล่าวคือ มีช่องว่างที่มีคุณสมบัติเป็นตัวนำไฟฟ้าทำให้กระแสรสไฟฟ้าไหลผ่านทะลุเนื้ออนวนได้อย่างรวดเร็วเป็นสาเหตุหลักที่ก่อให้เกิดความผิดพร่องของอนวน ทรีอิงทางไฟฟ้าเริ่มเกิดจากการกัดเซาะพื้นผิวของอนวนจนเกิดเป็นช่องว่างหรือสามารถเกิดต่อจากทรีอิงจากน้ำ หรือเกิดจากประจุถัง (Space Charge) ในสายเคเบิลอนวน หรือเริ่มต้นได้จากช่องว่างขนาดเล็กภายในอนวนพอลิเมอร์จากความบกพร่องของกระบวนการผลิตหากมีปริมาณสนามไฟฟ้าที่มากพอ ทรีอิงทางไฟฟ้าจำแนกการเกิดได้เป็น 2 ระยะคือในระยะเริ่มต้นจะเป็นระยะที่มีการเคลื่อนที่ของประจุ ( $0.1 - 0.2 \text{ pC}$ ) ในแต่ละครั้งรอบของรูปคลื่นแรงดันที่ใช้งานจะส่งผลให้อนวนพอลิเมอร์ลดค่าความเป็นอนวนลงอย่างช้าๆ และนำไปสู่การกัดเซาะภายในเนื้ออนวนเกิดช่องว่างขนาดเล็กในเนื้ออนวน การนឹดประจุโดยเพิ่มความเข้มของสนามไฟฟ้าเข้าไปเนื้ออนวนเป็นอีกปัจจัยหนึ่งของการเริ่มต้นปรากฏการณ์ ทรีอิงทางไฟฟ้า เมื่อความเครียดทางไฟฟ้าที่เกิดขึ้นภายในได้แรงดันกระแสรสลับ พอลิเอทธิลีนจะปลดปล่อยแสงในช่วงที่ความสามารถของเห็นได้และรังสีอัลตราไวโอเลต (UV) บางช่วงที่แรงดันสูงกว่าเกณฑ์ เนื่องจากประจุข้าว梧และข้าวอบกุกนิดเข้าไปในพอลิเมอร์ แสงญี่วีที่เกิดขึ้นทำให้เกิดการเสื่อมสภาพเนื่องจากปฏิกิริยาเคมี ทำให้เกิดสารอนุมูลอิสระไปถลายพันธะที่ยึดกันอยู่ เป็นผลให้เกิดช่องว่างขนาดเล็ก

และนำໄไปสู่การเกิดเป็นทรีอิงทาง ไฟฟ้า ระยะที่สอง ระบบการขยายตัวของทรีอิงทาง ไฟฟ้ามีลักษณะเหมือนกับโครงข่ายของการแตกกิ่งคือมีรูปแบบจากการขยายตัวของช่องว่างที่เกิดขึ้นเนื่องจากการเกิดดีสชาร์จบางส่วนภายในกิ่งนั้น ๆ ดีสชาร์จบางส่วนที่มีประจุเพียง  $5 \text{ pC}$  ก็เพียงพอที่จะทำให้ค่าความเป็นอนุวนลดลง เพราะความร้อนที่เกิดขึ้น อัตราการขยายตัวของทรีอิงทาง ไฟฟ้าขึ้นอยู่กับความเครียดของแรงดันที่ใช้งาน อุณหภูมิ สภาพแวดล้อมและความเครียดทางกล

ในระหว่างขั้นตอนการผลิตหรือการดำเนินการติดตั้งสายเคเบิลและอุปกรณ์ต่าง ๆ อาจทำให้เกิดช่องว่างขนาดเล็กหรือฟองแก๊สจากภายในของเนื้ออนวนหรือในพื้นผิวระหว่างชั้นของอนวน เมื่อความเข้มของสนามไฟฟ้าภายในช่องว่างหรือฟองอากาศสูงมากพอนำมาให้เกิดดีสชาร์จบางส่วนขึ้น ไอออนประจุบวกและอิเล็กตรอนที่เกิดขึ้นจากดีสชาร์จบางส่วนจะชนกันบนพื้นผิวของอนวนและการเสื่อมสภาพความเป็นอนวนก็จะเริ่มต้นขึ้น

ความขรุขระของพื้นผิวหรือสิ่งปนเปื้อนภายในเนื้ออนวนจะนำໄไปสู่การเกิดดีสชาร์จบางส่วน ช่องว่างที่เกิดขึ้นจะมีคุณสมบัติเป็นตัวนำไฟฟ้าจากการขยายตัวของกิ่งก้านสาขาและพัฒนาเป็นทรีอิงทาง ไฟฟ้าทະลุ่มเนื้ออนวน ปรากฏการณ์นี้รู้จักกันในชื่อ “ทรีอิงทาง ไฟฟ้า” ดังแสดงในรูปที่ 3.17 การเบรกรดawan์ของอนวนสามารถเกิดขึ้นได้เมื่อการขยายตัวของทรีอิงทาง ไฟฟ้าเป็นตัวเชื่อมระหว่างอิเล็กโทรดทั้งสองข้าง การเบรกรดawan์ยังสามารถเกิดขึ้นได้ก่อนที่จะมีการขยายตัวของทรีอิงทาง ไฟฟ้าเชื่อมระหว่างอิเล็กโทรด



รูปที่ 3.17 ทรีอิงทาง ไฟฟ้าในเนื้ออนวน (ที่มา: <http://www2.le.ac.uk/departments/engineering/research/electrical-power/images/Electrical%20Tree.jpg>)

ทรีอิงทางไฟฟ้าสามารถแบ่งตามลักษณะการเกิดหลัก ๆ ได้ 2 แบบด้วยกัน คือ

1) ทรีอิงทางไฟฟ้าแบบคล้ายพุ่ม (Bush Treeing) ดังแสดงในรูป 3.18 (ก) ทรีอิงทางไฟฟ้าแบบคล้ายพุ่มเกิดขึ้นภายในสายเคเบิลจนวนพอลิเมอร์ เวลาในการเกิดและขยายตัวช้า มักเกิดขึ้นในบริเวณที่มีความเครียดทางไฟฟ้าไม่สูงมากนัก แต่เมื่อเกิดขึ้นแล้วก็สามารถพัฒนาไปเป็นทรีอิงทางไฟฟ้าแบบคล้ายกิ่งซึ่งเป็นอันตรายต่อระบบชนวนในสายเคเบิลได้

2) ทรีอิงทางไฟฟ้าแบบคล้ายกิ่ง (Branch Treeing) ดังแสดงในรูป 3.18 (ข) ทรีอิงทางไฟฟ้าแบบคล้ายกิ่งเกิดขึ้นภายในสายเคเบิลจนวนพอลิเมอร์ ใช้เวลาในการเกิดและขยายตัวอย่างรวดเร็ว มักเกิดในบริเวณที่มีความเครียดทางไฟฟ้าสูง หรืออาจจะมีความเครียดทางความร้อน ความเครียดทางกลมาเกี่ยวกับข้องดหัว ทรีอิงทางไฟฟ้าแบบคล้ายกิ่งเป็นอันตรายอย่างมากต่อระบบชนวนในสายเคเบิลจนวนพอลิเมอร์ เมื่อเกิดขึ้นแล้วจะขยายตัวต่อไปจนกระทั่งเจาะทะลุชั้นความหนาของชนวน ทำให้ชนวนหมดสภาพความเป็นชนวนและเกิดความผิดพร่องในระบบส่งจ่ายกำลังไฟฟ้าในที่สุด



(ก) ทรีอิงทางไฟฟ้าแบบคล้ายพุ่ม (ข) ทรีอิงทางไฟฟ้าแบบคล้ายกิ่ง

รูปที่ 3.18 รูปแบบทรีอิงทางไฟฟ้าในสายเคเบิลชนวน XLPE (ที่มา: <http://ieeexplore.ieee.org/stamp/stamp.jsp?tp=&arnumber=5492239>)

### 3.8 สรุป

ในบทที่ 3 นี้ได้ทำการอธิบายทฤษฎีและสมมติฐานต่าง ๆ ที่เกี่ยวข้องกับการทดสอบทรีอิงทางไฟฟ้าในสายเคเบิลชนวน XLPE อาทิเช่น วัสดุพอลิเมอร์สำหรับชนวนสายเคเบิล ประเภทของวัสดุพอลิเมอร์ต่าง ๆ ที่ใช้เป็นเนื้อชนวน คุณสมบัติของต่าง ๆ ของชนวนพอลิเมอร์ที่นำมาทำสาย

เคเบิลไฟฟ้า วิรัตนาการและพัฒนาการของสายเคเบิล โครงสร้างทั่วไปของสายเคเบิล ประเภทของตัวนำไฟฟ้า คุณสมบัติต่าง ๆ ของตัวนำไฟฟ้า สาเหตุการเสื่อมอายุของชั้นวนเคเบิล สาเหตุการเกิดปรากฏการณ์ทรีอิงจากน้ำ และทรีอิงทางไฟฟ้า เพื่อให้เข้าใจถึงรูปแบบโครงสร้างของสายเคเบิลไฟฟ้าและการเสื่อมอายุได้ดียิ่งขึ้น

ในการศึกษาวิจัยทรีอิงทางไฟฟ้าในสายเคเบิลชั้นวน จำเป็นต้องออกแบบและสร้างชุดศึกษาวิจัยทรีอิงทางไฟฟ้าเพื่อทำการสร้างทรีอิงทางไฟฟ้าในสายเคเบิลชั้นวน XLPE ซึ่งผู้ทำวิจัยจะกล่าวต่อไปในบทที่ 5



## บทที่ 4

### การกระจายตัวของสนามไฟฟ้าในสายเคเบิล XLPE

#### 4.1 กล่าวนำ

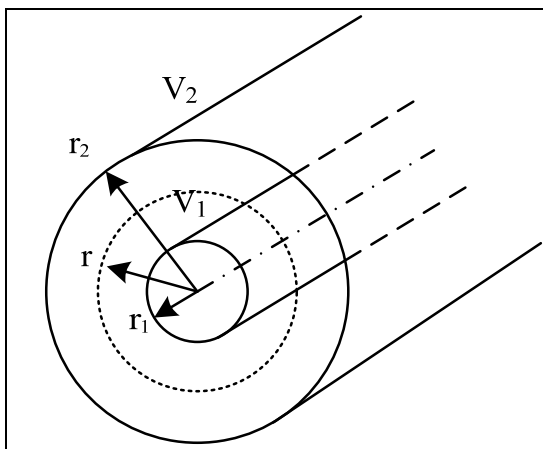
ในการศึกษาวิจัยทริอิงทางไฟฟ้าในสายเคเบิลไฟฟ้าแรงสูงระบบ 22 kV ที่มี XLPE เป็นจำนวน การกำหนดระยะห่างระหว่างอิเล็กโทรดและระดับแรงดันที่จ่ายให้กับอิเล็กโทรด ต้องคำนึงถึงความเครียดสนามไฟฟ้าในจำนวน XLPE ให้อยู่ระหว่างความเครียดสนามไฟฟ้าสูงสุดของจำนวนในสายเคเบิลแรงสูงระบบ 22 kV และความคงทนค่าไคลอิเล็กทริกของจำนวน (Dielectric Strength of Material) ซึ่งระยะห่างระหว่างอิเล็กโทรดทั้งสองข้าง และระดับแรงดันที่จ่ายให้กับ อิเล็กโทรดมีความสัมพันธ์กับความเครียดสนามไฟฟ้าที่เกิดขึ้นในจำนวน XLPE

ในบทนี้ผู้วิจัยได้ทำการคำนวณค่าความเครียดสนามไฟฟ้าสูงสุดในสายเคเบิลแรงสูงระบบ 22 kV ด้วยวิธีทรงกระบอกซ้อนแกนร่วม และจำลองสนามไฟฟ้าสูงสุดที่เกิดขึ้นในการศึกษาวิจัย ทริอิงทางไฟฟ้าด้วยโปรแกรม Partial Differential Equation Toolbox (PDE) ใน MATLAB เพื่อตรวจสอบความถูกต้องขององแรงดันที่จ่ายให้กับอิเล็กโทรครรุวิปถึงระยะห่างที่เหมาะสมของ อิเล็กโทรดทั้งสองข้าง และใช้อธินายการเริ่มต้นกิดและขยายตัวของทริอิงทางไฟฟ้าในจำนวน XLPE

#### 4.2 ความเครียดสนามไฟฟ้าในสายเคเบิลจำนวน XLPE

ความเครียดของสนามไฟฟ้าในสายเคเบิลจำนวน XLPE ระบบ 22 kV หาได้ด้วยวิธี ทรงกระบอกซ้อนแกนร่วมดังแสดงในรูปที่ 4.1 เส้นผลักไฟฟ้าจะอยู่แนวรัศมีและพื้นผิวของ ทรงกระบอกคือพื้นผิวศักยไฟฟ้า ดังนั้นโดยอาศัยการอินทิกรัลสมการแมกซ์เวลล์ดังสมการที่ (4.1)

$$Q = \int_S \vec{D} \cdot d\vec{A} \quad (4.1)$$



รูปที่ 4.1 ทรงกระบอกช้อนแกนร่วม

สำหรับทรงกระบอกช้อนแกนร่วมมีความยาว  $\ell$  รัศมี  $r(r_1 \leq r \leq r_2)$  และ  $E = D/\epsilon$  จะหาค่าสนามไฟฟ้าที่รัศมี  $r$  ได้ดัง

$$E_r = \frac{Q}{2\pi\epsilon\ell} \cdot \frac{1}{r} \quad (4.2)$$

และแรงดันที่ป้อนระหว่างทรงกระบอกช้อนทั้งสอง คือ

$$U = \int_{r_1}^{r_2} E_r dr = \frac{Q}{2\pi\epsilon\ell} \int_{r_1}^{r_2} \frac{dr}{r} \quad (4.3)$$

$$U = \frac{Q}{2\pi\epsilon\ell} \ln \frac{r_2}{r_1} \quad (4.4)$$

จึงได้ความเครียดสนามไฟฟ้าที่  $r_1 \leq r \leq r_2$

$$E = \frac{U}{r \ln \frac{r_2}{r_1}} \quad (4.5)$$

จะนับความเครียดสนามไฟฟ้าสูงสุด  $E_{max}$  จะเกิดขึ้นที่ผิวของทรงกระบอกซ้อนนั่นคือ

$$E_{max} = E_r = \frac{U}{r_1 \ln \frac{r_2}{r_1}} \quad (4.6)$$

โดย  $U$  คือ แรงดันไฟฟ้า

$r_1$  คือ รัศมีของตัวนำไฟฟ้า

$r_2$  คือ รัศมีของฉนวน XLPE ร่วมกับรัศมีของตัวนำไฟฟ้า

สายเคเบิลฉนวน XLPE ที่ใช้ในการวิจัยทริอิงทางไฟฟ้าเป็นสายเคเบิลแรงสูงสำหรับระบบจำหน่ายพิกัดแรงดัน 22 kV ของการไฟฟ้าส่วนภูมิภาคที่ยังไม่ผ่านการใช้งาน มีเส้นผ่าศูนย์กลางของฉนวนโดยรวมตัวนำ 18.4 mm ตัวนำเป็นทองแดงตีเกลียวขนาดเส้นผ่าศูนย์กลาง 12.9 mm ค่าความเครียดของสนามไฟฟ้าสูงสุดสามารถหาได้ดังนี้

จากสมการที่ (4.6) ทำการแทนค่าแรงดันไฟฟ้า รัศมีของตัวนำไฟฟ้า และรัศมีของฉนวน XLPE ร่วมกับรัศมีของตัวนำไฟฟ้าเพื่อหาค่า  $E_{max}$  จะได้เท่ากับ 4.8 kV/mm

### 4.3 การจำลองความเครียดสนามไฟฟ้าในการศึกษาวิจัยทริอิงทางไฟฟ้า

ในบทที่ผ่านมาผู้วิจัยได้นำเสนอผลการศึกษาวิจัยทริอิงทางไฟฟ้าและการวิเคราะห์ผลในบทนี้ผู้วิจัยนำเสนอการจำลองความเครียดสนามไฟฟ้าด้วยฟังก์ชัน PDE Toolbox ใน MATLAB เพื่อจำลองสนามไฟฟ้าก่อนการเกิดทริอิงทางไฟฟ้าในฉนวน XLPE และช่วยอธิบายการเกิดและขยายตัวของทริอิงทางไฟฟ้าให้เข้าใจง่ายมากยิ่งขึ้น

#### 4.3.1 PDE Toolbox

PDE Toolbox ประกอบด้วยเครื่องมือสำหรับการศึกษาและการแก้ปัญหาของสมการเชิงอนุพันธ์ย่อย ในระบบ 2 มิติโดยผู้ใช้งานสามารถใช้งานผ่านทางสัญญาณหรือภาพหน้าจอจากตัวอักษร (Graphical User Interface: GUI) คำสั่งของ PDE Toolbox มี 6 คำสั่งประกอบด้วย

- 1) การวาดรูป (Draw) ช่วยให้สามารถสร้างรูปทรงเรขาคณิตได้หลายแบบทั้งสี่เหลี่ยม วงกลม วงรี และรูปหลายเหลี่ยม สามารถนำมาร่วมกันเพื่อสร้างรูปทรงเรขาคณิตที่ซับซ้อน

2) การกำหนดขอบเขต (Boundary) ช่วยให้สามารถระบุเงื่อนไขที่แตกต่างกันของขอบเขต

3) การเลือกปัญหา (PDE) ช่วยให้สามารถเลือกประเภทของปัญหาและระบุค่าสัมประสิทธิ์ที่เกี่ยวข้องกับปัญหา

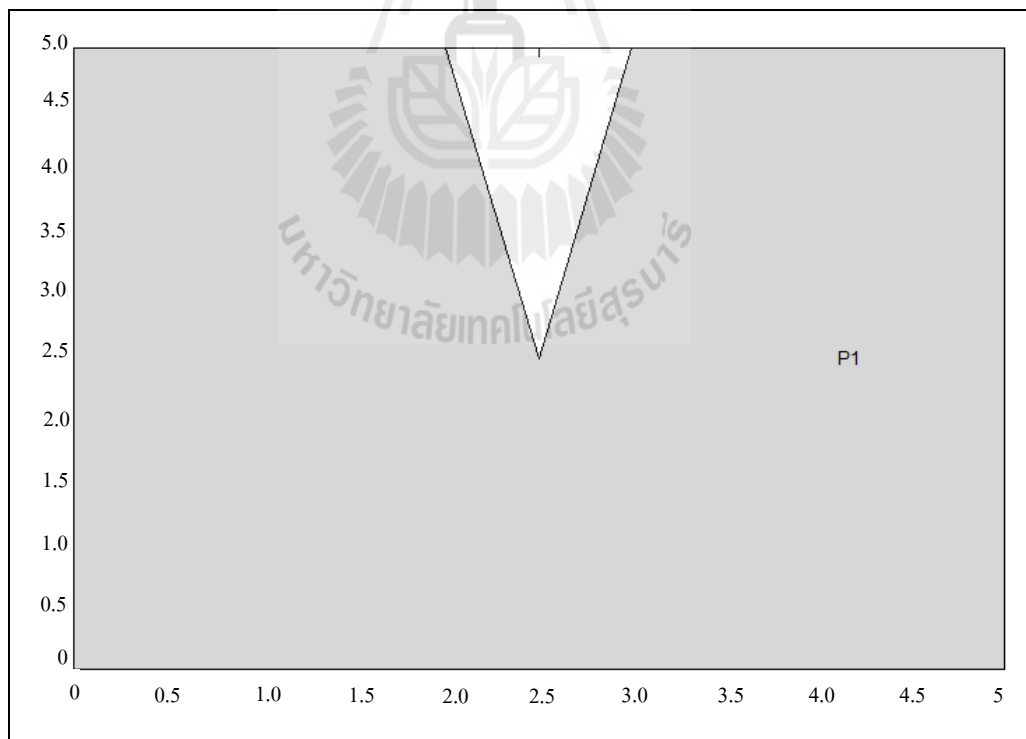
4) การกำหนดกริด (Mash) สามารถเลือกกริดอัตโนมัติหรือปรับแต่งแบบอิบลีด

5) การแก้ปัญหา (Solve) สามารถแก้ปัญหา Elliptic Parabolic Hyperbolic โดยกำหนดค่าเริ่มต้นและเวลา

6) การพล็อต (Plot) สามารถเลือกประเภทการพล็อตที่แตกต่างกันรวมไปถึงพื้นผิว Contour และยังสามารถแสดงคุณสมบัติต่าง ๆ โดยใช้สี ความสูง และเวกเตอร์

#### 4.3.2 การจำลองความเครียดสนามไฟฟ้าโดยใช้ PDE Toolbox

ภาครูปโดยให้อิเล็กโทรดปลายแหลมเสี่ยบเข้าไปในเนื้อจนวน XLPE และให้มีระยะห่างระหว่างปลายแหลมของอิเล็กโทรดกับขั้วต่อลงดิน (ตัวนำทองแดง) เท่ากับ 2.5 mm ดังแสดงในรูปที่ 4.2 ขนาดของจนวนเท่ากับ 5×5 mm



รูปที่ 4.2 ขนาดของจนวนและอิเล็กโทรดที่ใช้ในการจำลองความเครียดสนามไฟฟ้า

เมื่อทำการกำหนดขนาดของพื้นที่จำนวนและอิเล็กโโทรดเรียบร้อยแล้ว ทำการกำหนดขอบเขตของพื้นที่โดยส่วนของอิเล็กโโทรดทั้งสองให้กำหนดขอบเขตแบบ Dirichlet ตามสมการที่ (4.7) ดังแสดงในรูปที่ 6.3

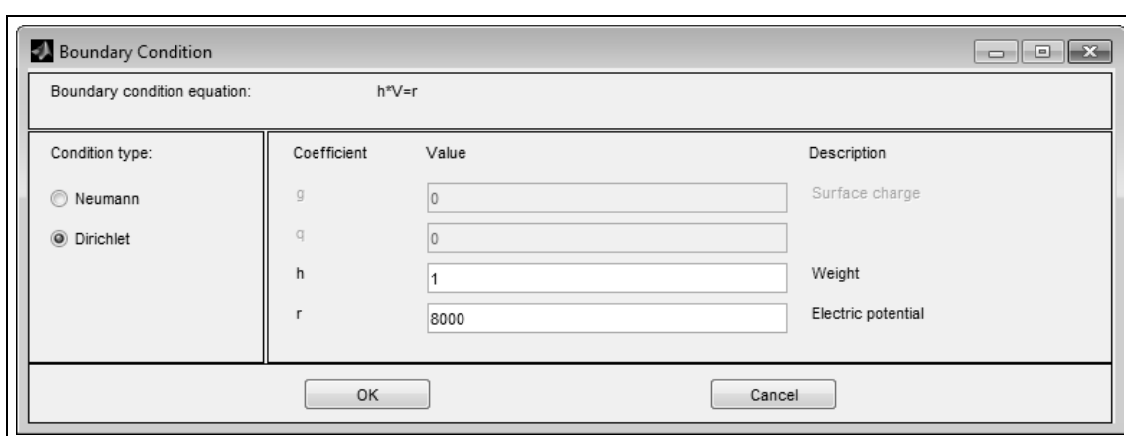
$$h \times V = r \quad (4.7)$$

โดยที่  $V$  คือค่าศักย์ไฟฟ้าสถิต  
 $h$  คือค่าปัจจัยหนัก (ปกติมีค่าเท่ากับ 1)  
 $r$  คือค่าแรงดันใช้งานกำหนดให้เท่ากับแรงดันที่ใช้ในการศึกษาวิจัยหรือทางไฟฟ้าคือ 8 kV

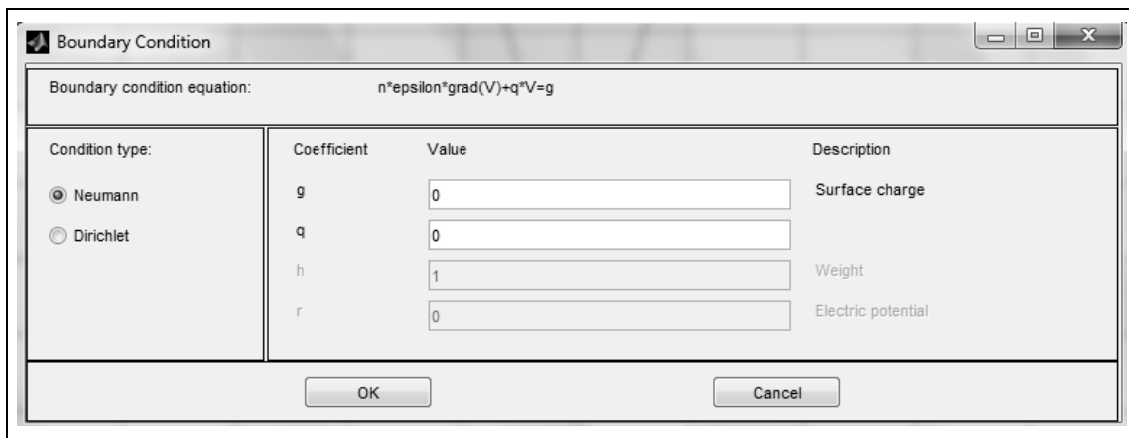
กำหนดขอบเขตในทุก ๆ ด้าน (ระหว่างถนนกับอากาศ) ในแบบ Neumann ดังแสดงตามสมการที่ (4.8) ดังแสดงในรูปที่ 4.4

$$\vec{n} \times \varepsilon \times \vec{\nabla} V + q \times V = g \quad (4.8)$$

โดยที่  $q$  คือประจุ  
 $V$  คือศักย์ไฟฟ้า  
 $g$  คือประจุบริเวณผิว  
 $\varepsilon$  คือสภาพความด้านทานไฟฟ้า

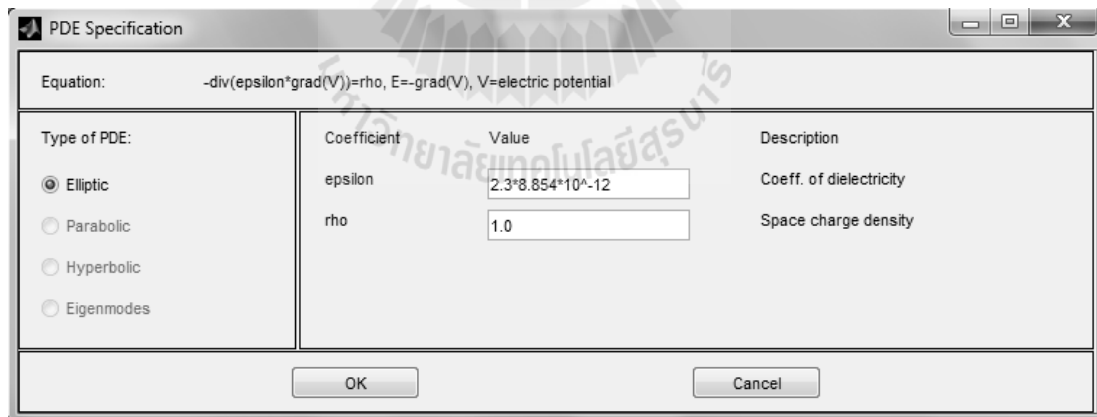


รูปที่ 4.3 การกำหนดขอบเขตแบบ Dirichlet

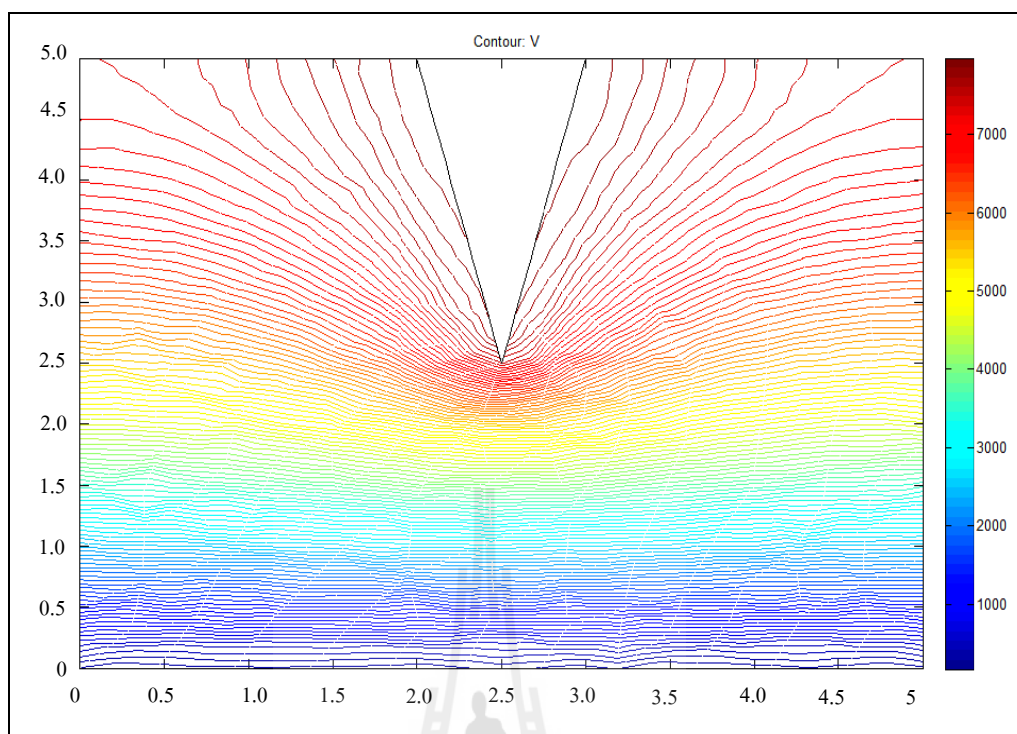


รูปที่ 4.4 การกำหนดขอบเขตแบบ Neumann

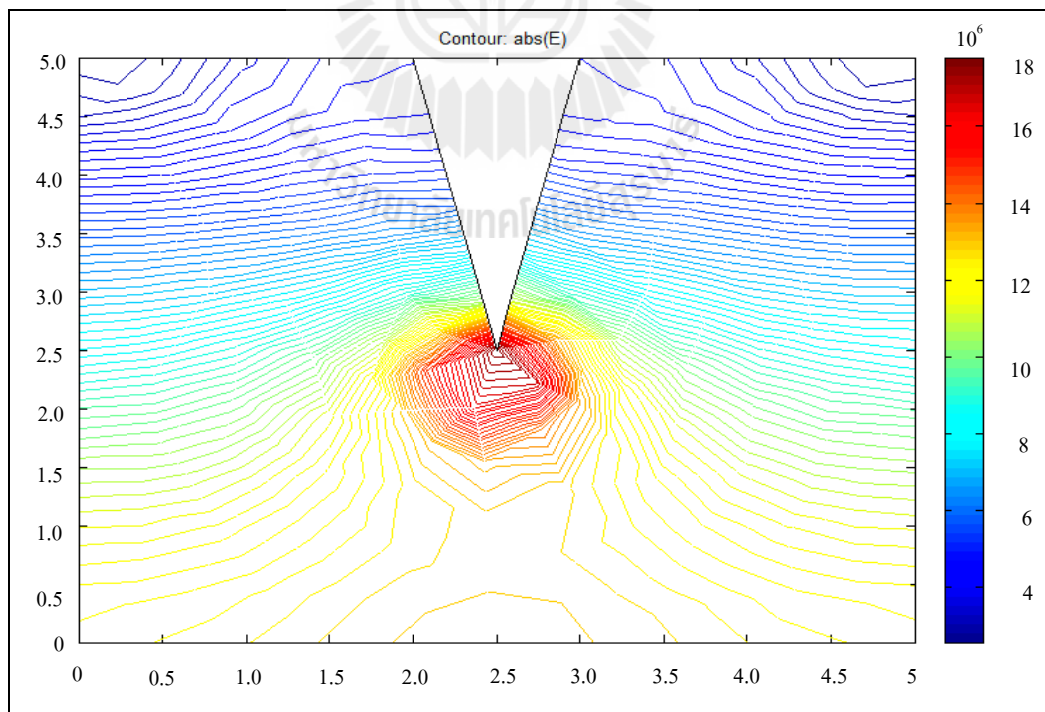
เมื่อกำหนดขอบเขตเรียบร้อยแล้ว ให้เลือกสมการ PDE แบบ Elliptic ค่า Epsilon คือค่าความคงทนของอนุวัติ (XLPE = 2.3 kV/mm) คูณกับค่า Epsilon ศูนย์ ( $\epsilon_0 = 8.854 \times 10^{-12}$ ) ค่า Rho คือค่าความหนาแน่นของประจุถังกำหนดให้มีค่าเท่ากับ 1 ดังแสดงในรูปที่ 4.5 เมื่อทำการคำนวนตามสมการและสั่งพล็อตการกระจายตัวของแรงดันไฟฟ้าแสดงดังรูปที่ 4.6 การกระจายตัวของสนามไฟฟ้าแสดงดังรูปที่ 4.7



รูปที่ 4.5 การกำหนดค่าในสมการแบบ Elliptic



รูปที่ 4.6 แสดงความสัมพันธ์ของแรงดันทางไฟฟ้าในเนื้อฉนวน XLPE



รูปที่ 4.7 แสดงการกระจายตัวของสนามไฟฟ้าภายใต้แรงดัน 8 kV ในเนื้อฉนวน XLPE

จากการคำนวณค่าความเครียดสนามไฟฟ้าดังแสดงในรูปที่ 4.7 พบว่าค่าความเครียดสนามไฟฟ้าสูงสุดเกิดบริเวณปลายของอิเล็กโทรดปลายแหลม ( $E_{in}$ ) มีค่าเท่ากับ  $17.53 \text{ kV/mm}$  ซึ่งมีค่าน้อยกว่าค่าความคงทนไดอิเล็กทริกของฉนวน XLPE ( $E_c = 50 \text{ kV}$ ) แต่มีค่ามากกว่าค่าความเครียดสนามไฟฟ้าสูงสุดในสายเคเบิลฉนวน XLPE ระบบ  $22 \text{ kV}$  ซึ่งคำนวณด้วยวิธีทรงกระบอกซ้อนแกนร่วมตามที่ได้นำเสนอมาแล้วข้างต้น ( $E_{max} = 4.8 \text{ kV/mm}$ ) ซึ่งค่าความเครียดสนามไฟฟ้าสูงสุดบริเวณอิเล็กโทรดปลายแหลมที่เหมาะสมสำหรับการเกิดของทรีอิงทางไฟฟ้าในฉนวน XLPE ควรอยู่ระหว่าง ( $E_{max} < E_{in} < E_c$ )

ถ้าให้  $E_{in}$  มากกว่าค่าความคงทนไดอิเล็กทริกของฉนวน  $E_c$  ทำให้ฉนวนเกิดเบรกดาวน์ แต่ถ้าให้  $E_{in}$  น้อยกว่าค่า  $E_{max}$  ทรีอิงทางไฟฟ้าก็จะไม่เกิดขึ้น เพราะว่าค่าความเครียดสนามไฟฟ้าที่ให้ในขณะสร้างทรีอิงทางไฟฟ้านั้นน้อยกว่าค่าความเครียดสนามไฟฟ้าของสายเคเบิลในสภาพใช้งานปกติ ทรีอิงทางไฟฟ้าที่เกิดขึ้นจะเริ่มเกิดบริเวณที่มีความเครียดสนามไฟฟ้าสูงสุดคือบริเวณปลายของอิเล็กโทรดปลายแหลม และจะขยายตัวออกไปตามทิศทางของเส้นแรงดันไฟฟ้าดังแสดงในรูปที่ 4.6

#### 4.4 สรุป

ในบทที่ 4 นี้ได้ทำการคำนวณค่าความเครียดสนามไฟฟ้าสูงสุดในสายเคเบิลแรงสูงระบบ  $22 \text{ kV}$  ฉนวน XLPE ของการไฟฟ้าส่วนภูมิภาคที่นำมาศึกษาวิจัยทรีอิงทางไฟฟ้า โดยใช้วิธีทรงกระบอกซ้อนแกนร่วมที่กล่าวมาข้างต้น ได้ค่า  $E_{max} = 4.8 \text{ kV/mm}$  การจำลองค่าความเครียดสนามไฟฟ้าด้วย PDE Toolbox ใน MATLAB ได้ค่าความเครียดสนามไฟฟ้าสูงสุดที่ปลายอิเล็กโทรดปลายแหลมเท่ากับ  $E_{in} = 17.53 \text{ kV/mm}$  และเมื่อพิจารณาจากค่าความคงทนไดอิเล็กทริกของฉนวน XLPE มีค่าเท่ากับ  $50 \text{ kV/mm}$  พบว่าที่ระยะห่างอิเล็กโทรดเท่ากับ  $2.5 \text{ mm}$  และแรงดันที่จ่ายให้กับอิเล็กโทรดปลายแหลมเท่ากับ  $8 \text{ kV}$  จะได้ค่าความเครียดสนามไฟฟ้าสูงสุดอยู่ระหว่างความเครียดสนามไฟฟ้าสูงสุดในการใช้งานจริง กับค่าความคงทนไดอิเล็กทริกของฉนวน XLPE ( $E_{max} < E_{in} < E_c$ ) ซึ่งเป็นค่าที่เหมาะสมสำหรับการเกิดทรีอิงทางไฟฟ้าในฉนวน XLPE

เมื่อพิจารณาการเกิดและขยายตัวของทรีอิงทางไฟฟ้าในฉนวน XLPE พบว่าทรีอิงทางไฟฟ้าจะเริ่มเกิดในบริเวณที่มีระดับความเครียดสนามไฟฟ้าสูงสุดก่อน และจะขยายตัวออกไปตามแนวเส้นศักย์ไฟฟ้าจนกว่าจะเกิดเบรกดาวน์ในเนื้อฉนวน เนื่องจากทรีอิงทางไฟฟ้าจะทะลุเนื้อฉนวนจนเกิดเป็นช่องว่าง ทำให้อิเล็กโทรดทั้งสองขุกเชื่อมเข้าหากัน

## บทที่ 5

### วิธีดำเนินการวิจัย

#### 5.1 กล่าวนำ

กระบวนการศึกษาวิจัยที่ร้องท้างไฟฟ้าของฉนวนในสายเคเบิลไฟฟ้ามีหลากหลายวิธี สำหรับการวิจัยที่ร้องท้างไฟฟ้าภายในตัวส่วนความเครียดทางไฟฟ้าและความร้อนนั้น วิธีการที่ใช้กันโดยทั่วไปคือ การป้อนแรงดันและเพิ่มอุณหภูมิในระหว่างการวิจัย โดยจำลองความเครียดทางไฟฟ้าภายในตัวอิเล็กโทรดปลายแหลม-ระนาบในการสร้างที่ร้องท้างไฟฟ้าภายในเนื้อฉนวน โดยมีวิธีที่นิยมใช้ 2 วิธี ซึ่งวิธีแรกคือการป้อนแรงดันไฟฟ้าและความร้อนที่ค่าคงที่ค่าหนึ่งให้กับฉนวนจากนั้นทำการสังเกตลักษณะของที่ร้องที่เกิดขึ้นและบันทึกเวลาในการเกิดลักษณะของที่ร้องและเวลาในการเกิดขึ้นอยู่กับค่าแรงดันที่ป้อนให้กับฉนวนและอุณหภูมิที่ใช้ในการวิจัย วิธีต่อมาคือการเพิ่มค่าแรงดันไฟฟ้าที่ป้อนให้กับฉนวนเป็นจังหวะ (เพิ่มขึ้นต่อเนื่อง) จนกระทั่งเกิดที่ร้องท้างไฟฟ้าในเนื้อฉนวน จากนั้นจึงบันทึกข้อมูลลักษณะของที่ร้องท้างไฟฟ้าและข้อมูลเวลาที่ใช้ในการเกิด

ในบทนี้ผู้ทำวิจัยกล่าวถึงการออกแบบชุดศึกษาและวิจัยที่ร้องท้างไฟฟ้าในสายเคเบิลฉนวน XLPE การสร้างชุดศึกษาและวิจัยตามที่ออกแบบไว้ การเตรียมวัสดุ และการศึกษาและวิจัยที่ร้องท้างไฟฟ้าดังต่อไปนี้

#### 5.2 การออกแบบและสร้างชุดศึกษาและวิจัยที่ร้องท้างไฟฟ้า

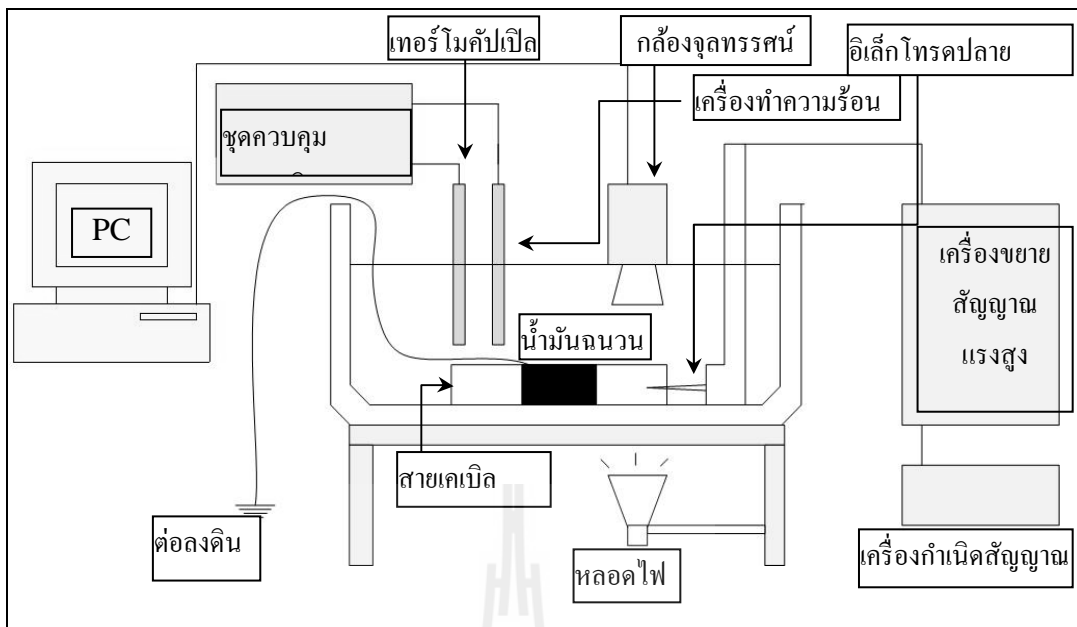
ชุดศึกษาและวิจัยที่ร้องท้างไฟฟ้า เป็นเครื่องมือสำหรับใช้ในการสร้างที่ร้องท้างไฟฟ้าให้กับสายเคเบิลฉนวน XLPE โดยจ่ายค่าแรงดันไฟฟ้าคงที่ อุณหภูมิ ความถี่ของแรงดันในสภาวะต่างๆ ที่เกินการทำงานในสภาวะปกติของสายเคเบิล ชุดศึกษาและวิจัยที่ร้องท้างไฟฟ้าประกอบด้วย 3 ส่วนหลัก คือ อ่างแก้วที่บันทึกความร้อนสำหรับใส่ชิ้นงานและชุดอิเล็กโทรดเชื่อมต่อกับระบบไฟฟ้าแรงสูง เครื่องทำความร้อน วงจรควบคุมอุณหภูมิของน้ำมันหม้อน้ำ และระบบกล้องจุลทรรศน์ในการบันทึกภาพของที่ร้องท้างไฟฟ้าที่เกิดขึ้น โดยограмของชุดศึกษาและวิจัย ที่ร้องท้างไฟฟ้าแสดงดังรูปที่ 5.1 และแบบร่างสามมิติของชุดศึกษาและวิจัยที่ร้องท้างไฟฟ้าในสายเคเบิลฉนวน XLPE แสดงในรูปที่ 5.2 และ 5.3 โดยแต่ละส่วนมีรายละเอียดได้ดังนี้

### 5.2.1 อ่างแก้วทนความร้อน

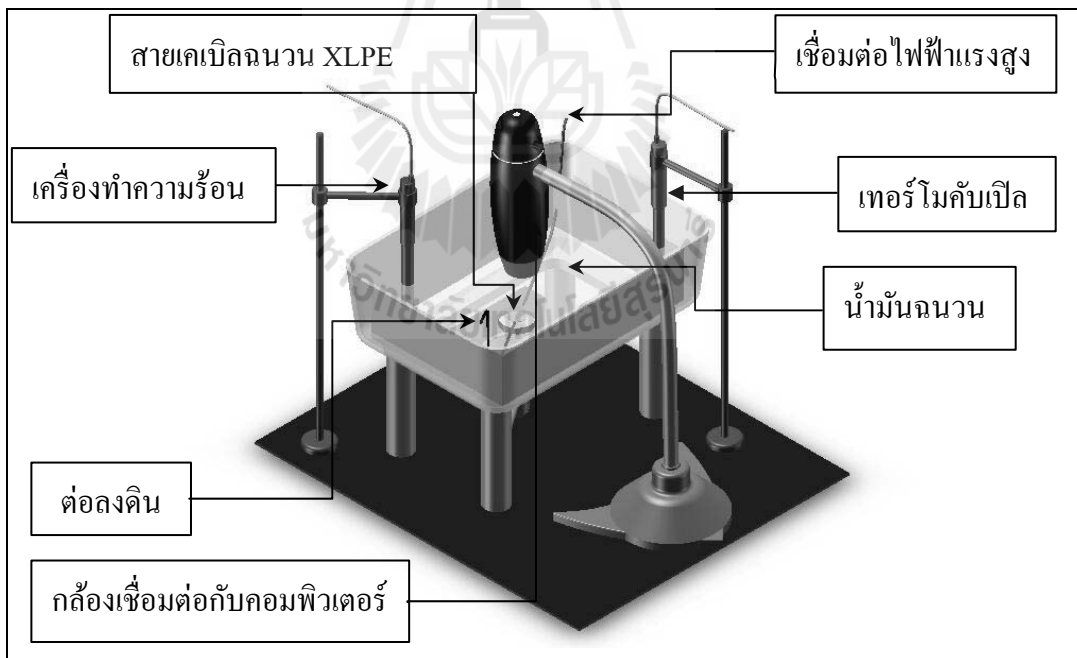
อ่างแก้วทนความร้อนรูปสี่เหลี่ยมผืนผ้าขนาดกว้าง 14 cm ยาว 20 cm สูง 6 cm ตั้งอยู่บนฐานสูงจากพื้น 8 cm โดยได้อ่างแก้วทนความร้อนจะมีหลอดไฟฮาโลเจนเป็นตัวส่องสว่าง ให้กับชิ้นงานสายเคเบิลนานวัน XLPE ภายในมีน้ำมันหม้อแปลงเพื่อเป็น介质 และป้องกันการเกิด วาบไฟตามผิวของวัสดุทดสอบ ระบบอิเล็กโทรดที่ใช้เป็นแบบปลายแหลม-ระนาบ โดยให้ขั้วต่อลง ดินเป็นอิเล็กโทรดแบบระนาบคือตัวนำไฟฟ้าจากทองแดงขนาด 12.9 mm เชื่อมต่อกับฐานยึด วัสดุทดสอบทำจากทองเหลืองเชื่อมต่อลงดิน อิเล็กโทรดปลายแหลมมีขนาดของปลายแหลม 16 μm (วัดด้วยกล้องจุลทรรศน์) เชื่อมต่อกับอุปกรณ์สร้างไฟฟ้าแรงสูงเพื่อป้อนแรงดันไฟฟ้าให้กับวัสดุ ทดสอบ XLPE เพื่อสร้างทริโองทางไฟฟ้า นอกจากนี้ภายในอ่างแก้วทนความร้อนยังติดตั้งเครื่องทำ ความร้อน (Heater) และเทอร์โมคัปเปิล (Thermocouple) เพื่อใช้ในการควบคุมอุณหภูมิขณะ ทำการศึกษาและวิจัย แผนภาพของเครื่องมือที่ใช้ในงานวิจัยแสดงดังรูปที่ 5.4 และเมื่อทำการสร้าง เสร็จแล้วจะมีรายละเอียดและสัดส่วนตามรูปที่ 5.5

### 5.2.2 ชุดควบคุมอุณหภูมิ

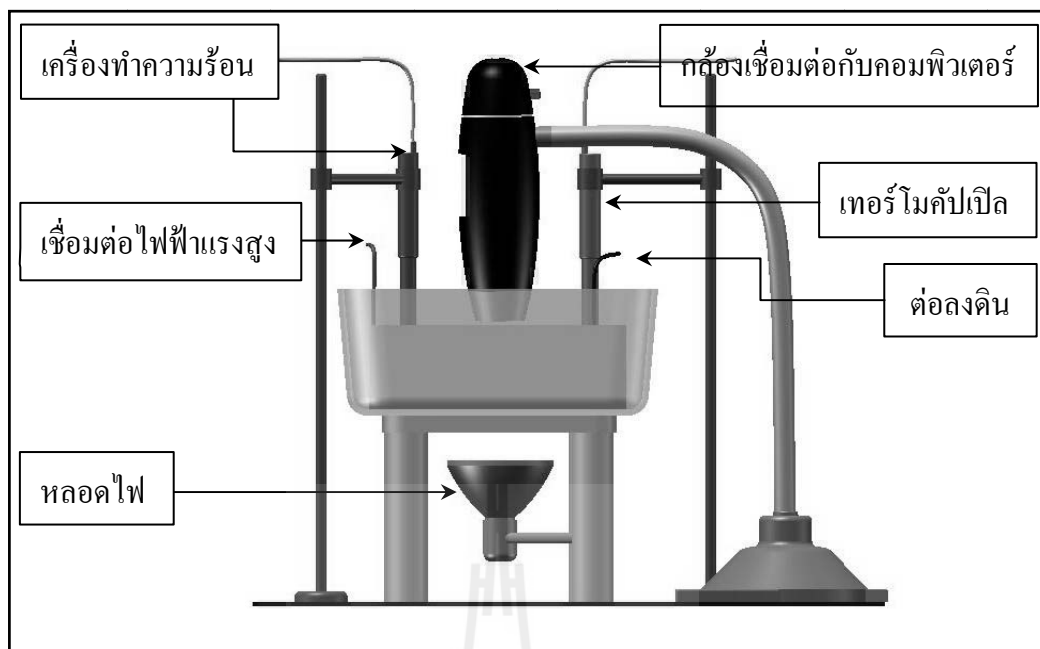
วงจรควบคุมอุณหภูมิ มีหน้าควบคุมอุณหภูมิของน้ำมันหม้อแปลงในขณะที่ทำการ สร้างทริโองทางไฟฟ้า ซึ่งอยู่ในภายในอ่างแก้วทนความร้อนให้ได้ค่าอุณหภูมิที่ถูกต้องและคงที่ แก่ชิ้นงาน ประกอบไปด้วย เครื่องทำความร้อน เทอร์โมคัปเปิล และกล่องควบคุมอุณหภูมิ ภายใน กล่องควบคุมอุณหภูมิประกอบไปด้วยแมกнетิกคอนแทคเตอร์ (Magnetic Contractor) ตัวควบคุม อุณหภูมิ (Temperature Controller) และแสดงในรูปที่ 5.6 โดยที่เครื่องทำความร้อนทำหน้าที่ให้ความร้อน แก่น้ำมันหม้อแปลงในอ่างแก้วทนความร้อน เพื่อจำลองความเครียดทางความร้อนเป็นแบบสั่งทำ พิเศษมีรูปร่างเป็นวงแหวนวนรอบวัสดุทดสอบ เพื่อให้เกิดความร้อนกระจายอย่างทั่วถึงแก่น้ำมัน หม้อแปลงระหว่างการทดสอบ ภายในอ่างแก้วทนความร้อน และเทอร์โมคัปเปิลทำหน้าที่วัดค่า อุณหภูมิของน้ำมันหม้อแปลงและแสดงค่าของอุณหภูมิส่งไปยังกล่องควบคุมอุณหภูมิ โดยกล่อง ควบคุมอุณหภูมิทำหน้าที่รับค่าอุณหภูมิที่วัดได้จากเทอร์โมคัปเปิลมาประมวลผล เพื่อควบคุม อุณหภูมิของน้ำมันหม้อแปลงให้อยู่ในระดับความร้อนที่ต้องการ โดยการศึกษาและวิจัยทริโองทางไฟฟ้าในงานวิจัยวิทยานิพนธ์นี้มีการจำลองความเครียดทางความร้อน ระดับอุณหภูมิประกอบด้วย อุณหภูมิ 25°C 60°C 75°C และ 90°C ตามลำดับ ชุดศึกษาและวิจัยทริโองทางไฟฟ้าและกล่องควบคุม อุณหภูมิแสดงในรูปที่ 5.7



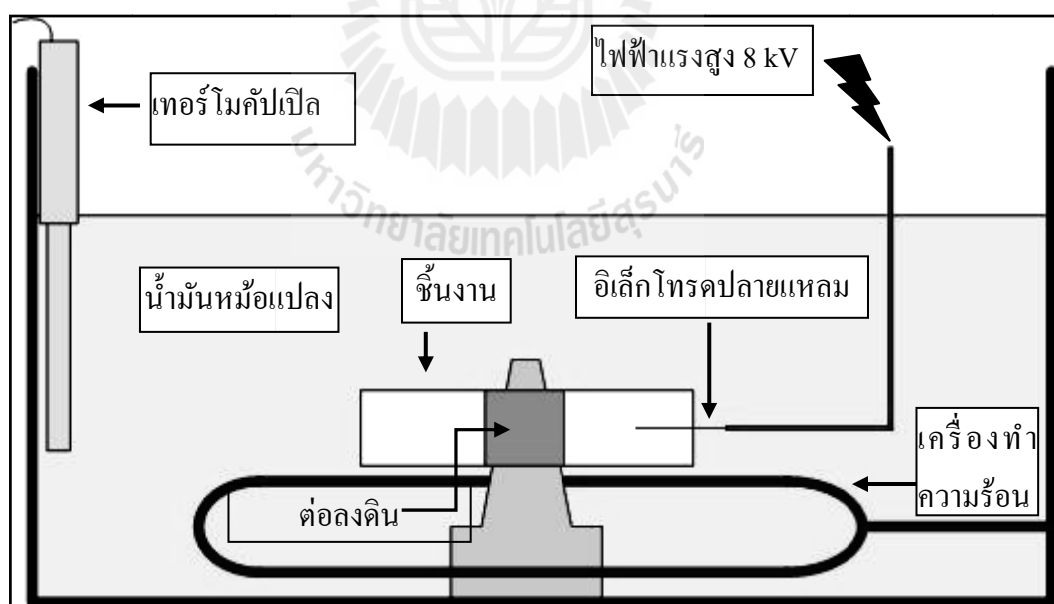
รูปที่ 5.1 แผนภาพอุปกรณ์ที่ใช้ในการศึกษาวิจัยทริอิงของฉนวน XLPE



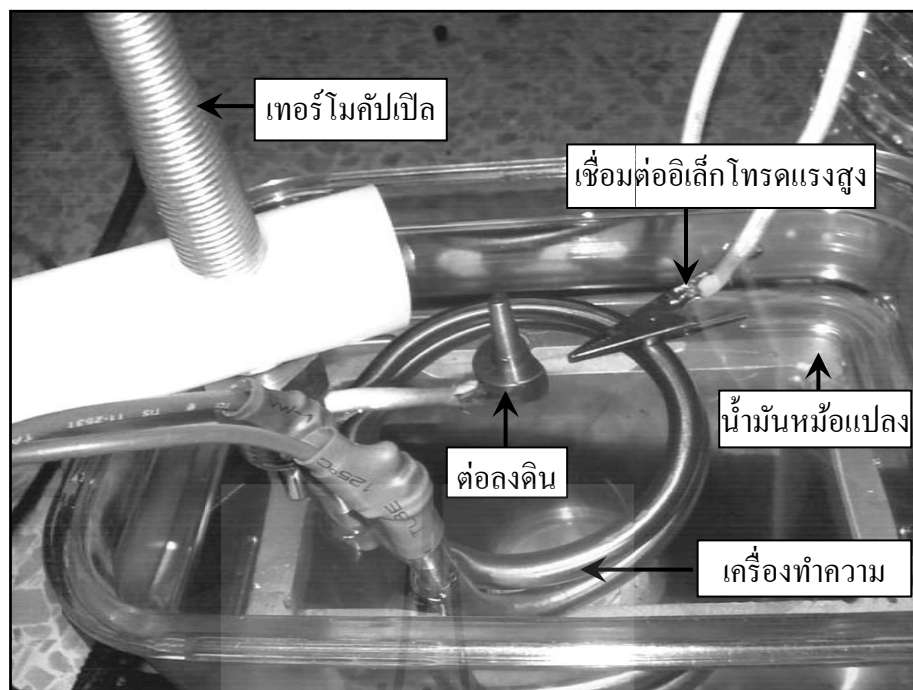
รูปที่ 5.2 แบบร่างสามมิติของชุดทดสอบทริอิงทางไฟฟ้าในสายเคเบิลชนวน XLPE  
ตามที่ได้ออกแบบไว้



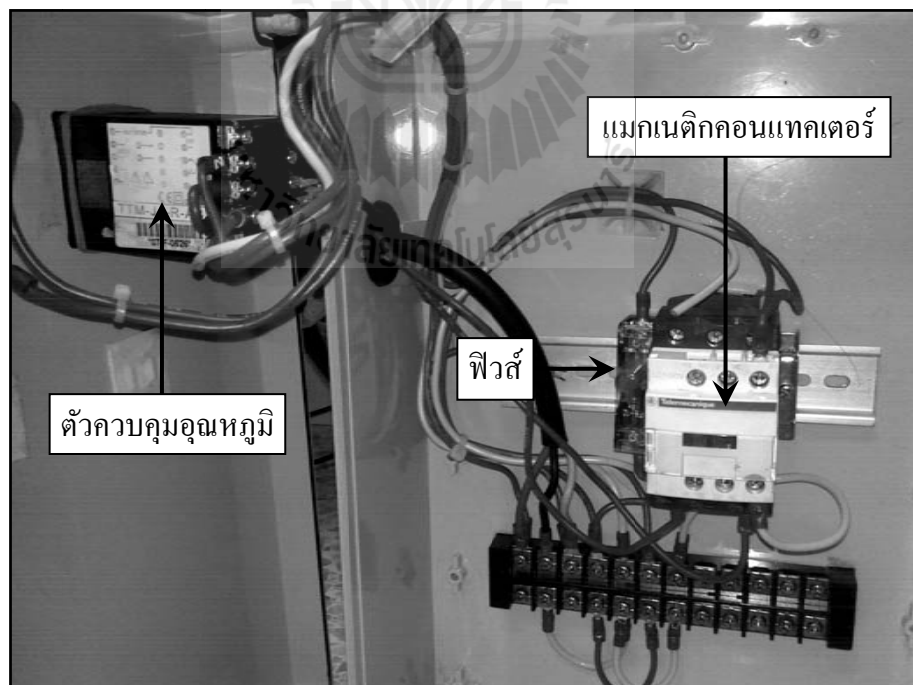
รูปที่ 5.3 แบบร่างสามมิติของชุดทดสอบท่ออิงทางไฟฟ้าในสายเคเบิลชนวน XLPE  
ตามที่ได้ออกแบบไว้



รูปที่ 5.4 ໂຄະແກຣມอิเล็กโทรดและระบบควบคุมอุณหภูมิภายในชุดทดสอบ



ຮູບທີ 5.5 ຮະບນອີເລີກໂທຣດແລະ ຮະບນຄວບຄຸມອຸນຫກົມກາຍໃນຊຸດທົດສອບ



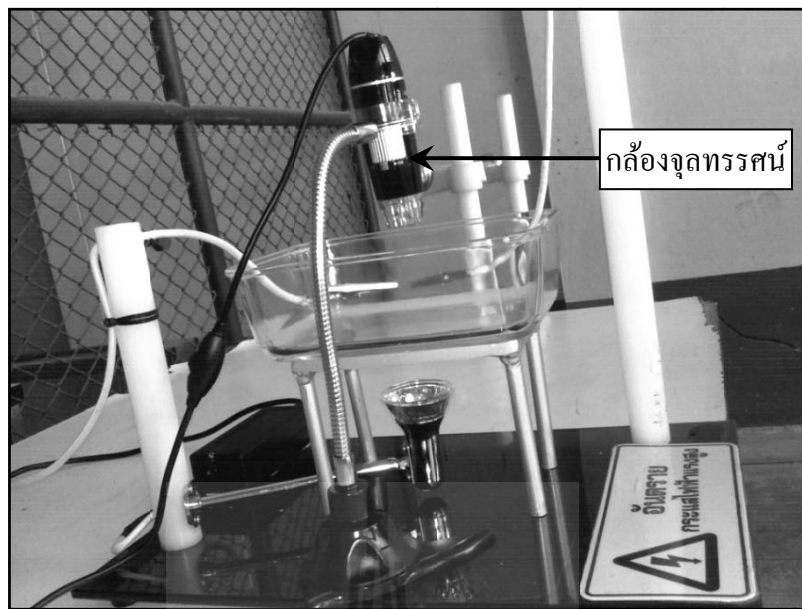
ຮູບທີ 5.6 ຂຸດຄວບຄຸມອຸນຫກົມຂອງນໍ້າມັນໜ້າແປລົງກາຍໃນຊຸດທົດສອບ



รูปที่ 5.7 ชุดทดสอบทريอิงทาร์ไฟฟ้าและกล่องควบคุมอุณหภูมิ

### 5.2.3 ระบบกล้องจุลทรรศน์

กล้องจุลทรรศน์สเตอริโอเป็นอุปกรณ์ที่มีความสำคัญอย่างยิ่งต่อการศึกษาและวิจัย ทريอิงทาร์ไฟฟ้าในสายเคเบิลชนวน XLPE เพื่อใช้ตรวจสอบโครงสร้างทางกายภาพที่เปลี่ยนแปลงไป ทั้งนี้เพื่อบันทึกภาพการเกิดทريอิงในจำนวนสายเคเบิล XLPE ตั้งแต่เริ่มเกิดไปจนกระทั่งสิ้นสุด การทดสอบ และยังทำหน้าที่บันทึกเวลาในการทดสอบอีกด้วย ในการศึกษาและวิจัยจะใช้กล้องจุลทรรศน์ขนาดเล็กเพื่อให้ง่ายต่อการติดตั้งร่วมกับอุปกรณ์อื่น ๆ แสดงในรูปที่ 5.8 แต่ในการวิเคราะห์ข้อมูลขนาดของทريอิงทาร์ไฟฟ้าที่เกิดขึ้นเพื่อให้ได้ความถูกต้องและแม่นยำมากที่สุดจึงใช้กล้องจุลทรรศน์สเตอริโอขนาดใหญ่ที่มีซอฟต์แวร์ในการวัดขนาดและปรับเทียบ (OLYMPUS SZX9) แสดงในรูปที่ 5.9



รูปที่ 5.8 กล้องจุลทรรศน์ขนาด 5-500X (MICRO) ที่ใช้ในงานวิจัย



รูปที่ 5.9 กล้องจุลทรรศน์ที่ใช้ในงานวิจัยขนาด 570X (OLYMPUS SZX9)

หลังจากสร้างชุดศึกษาและวิจัยที่อิงทางไฟฟ้าในสายเคเบิลชนวน XLPE แล้ว จึงนำชุดศึกษาและวิจัยดังกล่าวมาติดตั้งและเชื่อมต่อ กับระบบแรงดันสูงจากเครื่องขยายสัญญาณ แรงดันสูง เชื่อมต่อ กับ ล้อ ของ ชุด ทดลองนี้ เป้า กับ คอมพิวเตอร์ ระบบสร้างแรงดันสูงประกอบด้วย เครื่องกำเนิดสัญญาณ (Function Generator) เชื่อมต่อ กับ เครื่องขยายสัญญาณแรงดันสูง (High Voltage Amplifier) พิกัด 20 kV ความถี่สูงสุด 10 kHz อัตราขยาย 1 ต่อ 2000 ระบบ กำเนิดสัญญาณ และ ขยายสัญญาณ แรงดันสูง คงแสดง ในรูปที่ 5.10 และ ชุดศึกษา และ วิจัยที่อิงทางไฟฟ้าในสายเคเบิลชนวน XLPE ดังแสดง ในรูปที่ 5.11

เพื่อให้ค่าแรงดันที่จ่ายให้กับชิ้นงานทดสอบ มีความถูกต้องแม่นยำ จึงใช้อุปกรณ์ แบบวัดแรงดันสูง (Pico Scope) เป็นตัวแบ่งวัดแรงดันสูงที่ออกจากเครื่องขยายสัญญาณแรงดันสูง โดยจะแสดงผลรูปคลื่นสัญญาณ และ ระดับแรงดัน ใน คอมพิวเตอร์



รูปที่ 5.10 ระบบ กำเนิดสัญญาณ และ ขยายสัญญาณ แรงดันสูง ที่ ใช้ ในการ วิจัย



รูปที่ 5.11 ชุดศึกษาวิจัยที่ร้องทາไฟฟ้าในสายเคเบิลชนวน XLPE

### 5.3 การศึกษาและวิจัยที่ร้องทາไฟฟ้าในชนวน XLPE

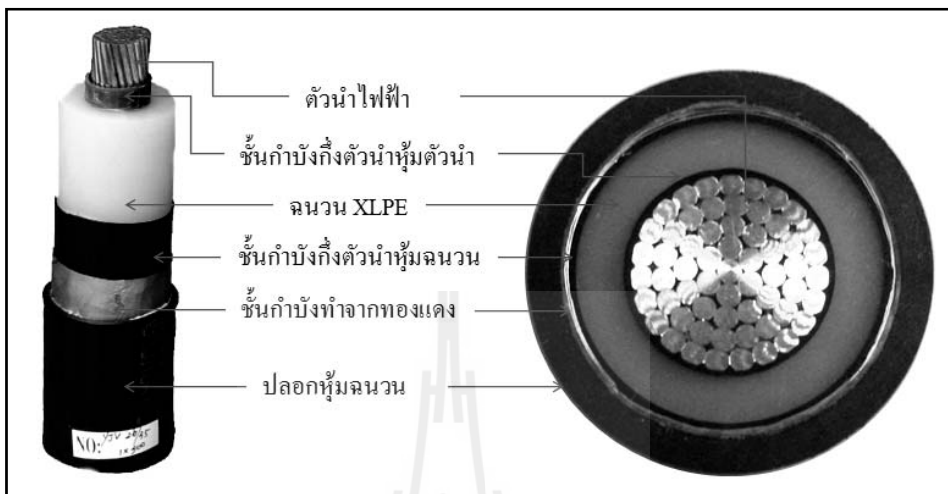
ในงานวิจัยนี้ได้เลือกวิธีสร้างที่ร้องทາไฟฟ้าในชนวน XLPE ด้วยวิธีการให้ความถี่ของแรงดัน อุณหภูมิและรูปคลื่นแรงดันในระหว่างการศึกษาและวิจัยสูงกว่าการทำงานปกติของชนวน XLPE โดยให้ค่าแรงดันไฟฟ้าอยู่ในค่าคงที่ในระหว่างการศึกษาและวิจัยจนกว่าจะเกิดที่ร้องทາไฟฟ้าโดยทำการบันทึกภาพตลอดการศึกษาและวิจัย การศึกษาและวิจัยที่ร้องของชนวน XLPE มีขั้นตอนการดำเนินการดังนี้

#### 5.3.1 การตัดชิ้นงานชนวน XLPE

การศึกษาและวิจัยที่ร้องทາไฟฟ้าของสายเคเบิลชนวน XLPE ในงานวิจัยนี้เป็นการสร้างที่ร้องทາไฟฟ้าภายในเนื้อชนวน XLPE และทำการวิเคราะห์โครงสร้างทางกายภาพของชนวนบันทึกภาพด้วยกล้องจุลทรรศน์สเตอโรไโอล (Stereo Microscope) ไปตลอดการทดสอบ ดังนั้น จึงจำเป็นต้องตัดสายเคเบิลชนวน XLPE 22 kV ให้มีความหนาที่เหมาะสม เพื่อให้กล้องจุลทรรศน์จับภาพของที่ร้องทາไฟฟ้าที่เกิดขึ้นได้อย่างชัดเจน สำหรับการศึกษาและวิจัยจึงกำหนดให้สายเคเบิลชนวน XLPE ที่นำมาศึกษาและวิจัยมีความหนาอยู่ที่ 5 mm

สายเคเบิลแรงสูงที่นำมาศึกษาและวิจัยที่ร้องทາไฟฟ้าเป็นสายเคเบิลแรงสูงสำหรับระบบจำหน่าย 22 kV ของการไฟฟ้าส่วนภูมิภาคที่ยังไม่ผ่านการใช้งาน โดยมีชนวนเป็นวัสดุ

XLPE ขนาดความหนาเท่ากับ 5.5 mm และตัวนำเป็นทองแดงขนาดเส้นผ่านศูนย์กลาง 12.9 mm ตรงตามมาตรฐาน IEC 60502-2-2005 ดังแสดงในรูปที่ 5.12



รูปที่ 5.12 สายเคเบิลไฟฟ้าแรงสูงขนาด 22 kV ที่นำมาศึกษาและวิจัย

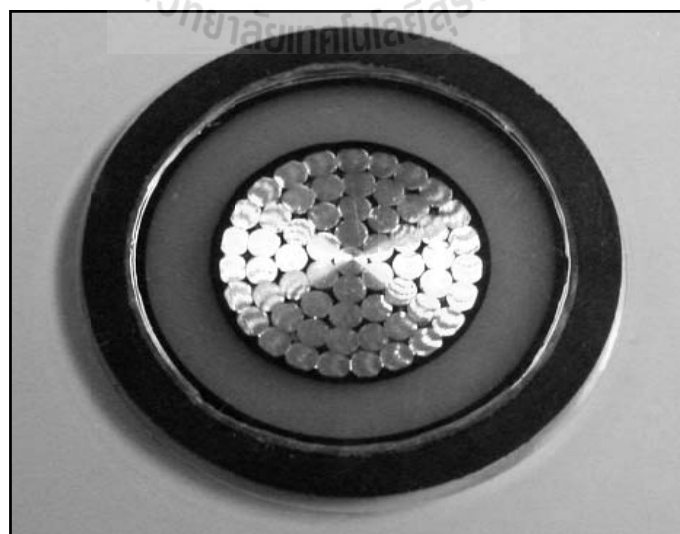
วิธีการเตรียมวัสดุสำหรับการศึกษาและวิจัย เริ่มต้นจากนำสายเคเบิลมาตัดตามแนว ขาวงด้วยเครื่องตัดละเอียดแบบหล่อเย็นดังแสดงในรูปที่ 5.13 โดยให้มีความหนา 5 mm ดังแสดงในรูปที่ 5.14 จากนั้นแกะปลอกหุ้มฉนวน ชั้นกำบัง และสารป้องกันกึ่งตัวนำหุ้มฉนวนให้เหลือแต่ฉนวน XLPE สารป้องกันกึ่งตัวนำหุ้มตัวนำ และตัวนำไฟฟ้า นำสายเคเบิลมาอบไถ่ความชื้นที่ อุณหภูมิ  $110^{\circ}\text{C}$  ใช้เวลาอบประมาณ 5 นาทีเพื่อไถ่ความชื้นที่เกิดขึ้นจากการตัดสายเคเบิลแบบหล่อเย็น จากนั้นใช้อิเล็กโทรคปaley แหลมเดี่ยบเข้าไปในเนื้อฉนวนตามแนวตัดของ โดยให้ปลายแหลมของอิเล็กโทรคปaley ห่างจากสารป้องกันกึ่งตัวนำหุ้มตัวนำเป็นระยะ  $2.5 \pm 0.03$  mm (จากการคำนวณในบทที่ 4 แรงดัน 8 kV ระหว่างระหว่างอิเล็กโทรค 2.5 mm)

เนื่องจากระยะห่างระหว่างอิเล็กโทรคแรงสูงกับกราวด์เป็นตัวแปรสำคัญในการเกิดและขยายตัวของทรีอิงทางไฟฟ้าจำเป็นต้องวัดระยะห่างอย่างละเอียด ด้วยเหตุนี้จึงใช้กล้องจุลทรรศน์สเตอริโอในการวัดระยะห่างของอิเล็กโทรคทั้งสองเพื่อความถูกต้องแม่นยำ โดยมีวัตถุประสงค์เพื่อป้องกันผลกระทบจากการห่างของอิเล็กโทรคที่ไม่เท่ากันในการเกิด ทรีอิงทางไฟฟ้า ซึ่งอาจนำไปสู่ค่าผลการทดลองที่ผิดเพี้ยนได้ หลังจากตัดชิ้นงานเป็นที่เรียบร้อยแล้ว จึงนำชิ้นงานที่สมบูรณ์เก็บใส่ในภาชนะมีดซิลิโคนเป็นตัว隔離 เพื่อรักษาความชื้น เป็นการป้องกัน

ไม่ให้เกิดปรากฏการณ์ที่ริบิ่งจากน้ำ เนื่องจากความชื้นของอากาศในชื้นงานจำนวนมาก ชื้นงานที่ถูกตัดโดยสมบูรณ์ดังแสดงในรูปที่ 5.15

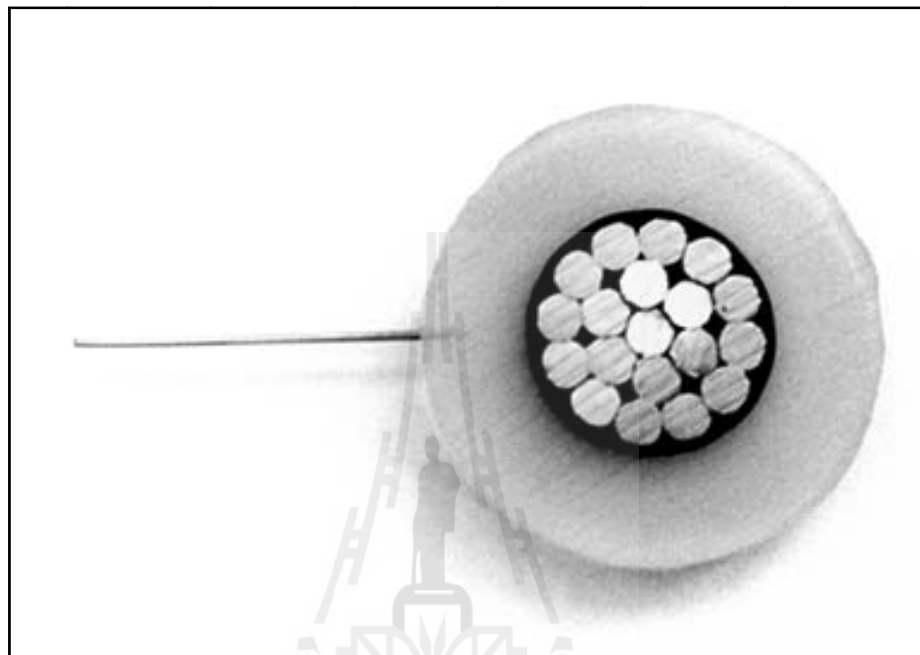


รูปที่ 5.13 เครื่องตัดเอนกประสงค์แบบหล่อเย็น

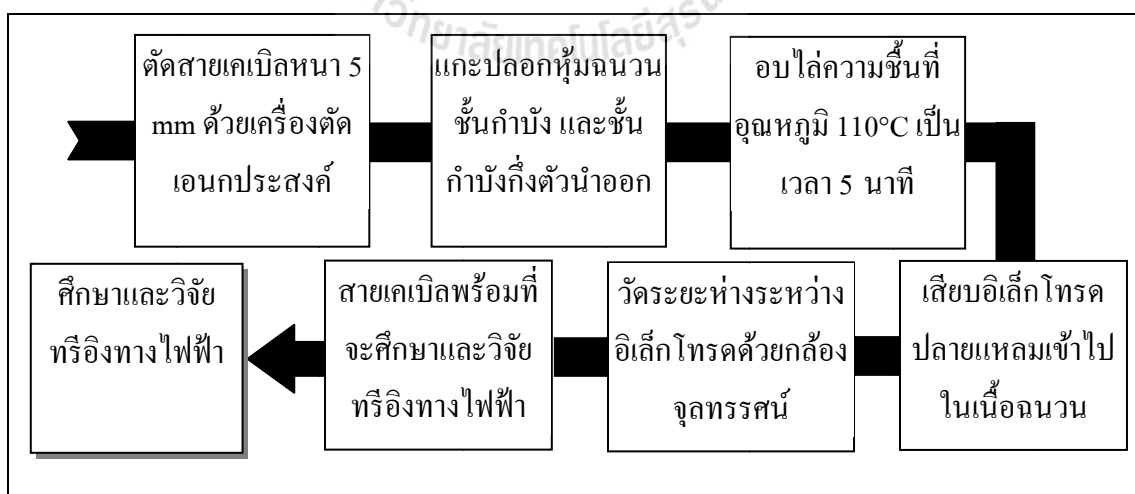


รูปที่ 5.14 ชื้นงานที่ตัดด้วยเครื่องตัดเอนกประสงค์แบบหล่อเย็น

เพื่อลดความสับสนในขั้นตอนการเตรียมตัวอ่าย่างสายเคเบิลชนวน XLPE สำหรับใช้ในการศึกษาและวิจัยหรือองทางไฟฟ้า ผู้วิจัยจึงได้แสดงขั้นตอนและวิธีการเตรียมตัวอ่าย่างก่อนที่จะทำการทดสอบดังแผนภาพแสดงในรูปที่ 5.16



รูปที่ 5.15 ชิ้นงาน XLPE ที่ถูกตัด ผ่านการอบไถ่ความชื้น



รูปที่ 5.16 ขั้นตอนการเตรียมสายเคเบิลชนวน XLPE

### 5.3.2 การศึกษาและวิจัยทรีอิงท่างไฟฟ้าของฉนวน XLPE

การศึกษาและวิจัยทรีอิงท่างไฟฟ้าของฉนวน XLPE สำหรับสายเคเบิลแรงสูง 22 kV ในงานวิจัยนี้ทุกชิ้นงานจะถูกทดสอบภายใต้สภาวะความเครียดทางไฟฟ้าที่ระดับแรงดัน 8 kV แต่จะเปลี่ยนสภาวะความเครียดทางความถี่ของแรงดันไฟฟ้าเพียงอย่างเดียว สภาวะความเครียดทางความร้อนเพียงอย่างเดียว สภาวะความเครียดของรูปคลื่นแรงดัน และสภาวะพหุความเครียด โดยให้ระยะห่างระหว่างอิเล็กโทรดปลายน้ำกับฐานมีค่าเท่ากับ  $2.5 \pm 0.03$  mm ในการทดสอบแม้ว่า มีนักวิจัยหลายกลุ่มใช้ระยะห่างระหว่างอิเล็กโทรด 3.5 mm หรือมากกว่าในการศึกษาและวิจัยทรีอิงท่างไฟฟ้า แต่ก็ต้องใช้ระดับแรงดันที่สูงขึ้น และเวลาในการทดสอบที่มากขึ้นตามไปด้วย และที่สำคัญขนาดความหนาของฉนวนในสายเคเบิลฉนวน XLPE 22 kV มีความหนาเพียง 5.5 mm เท่านั้นด้วยเหตุนี้ในงานวิจัยนี้จึงกำหนดให้ใช้ระยะห่างของอิเล็กโทรดเท่ากับ 2.5 mm การศึกษาและวิจัยทรีอิงท่างไฟฟ้าของฉนวน XLPE ในสภาวะต่าง ๆ สามารถอธิบายได้ดังนี้

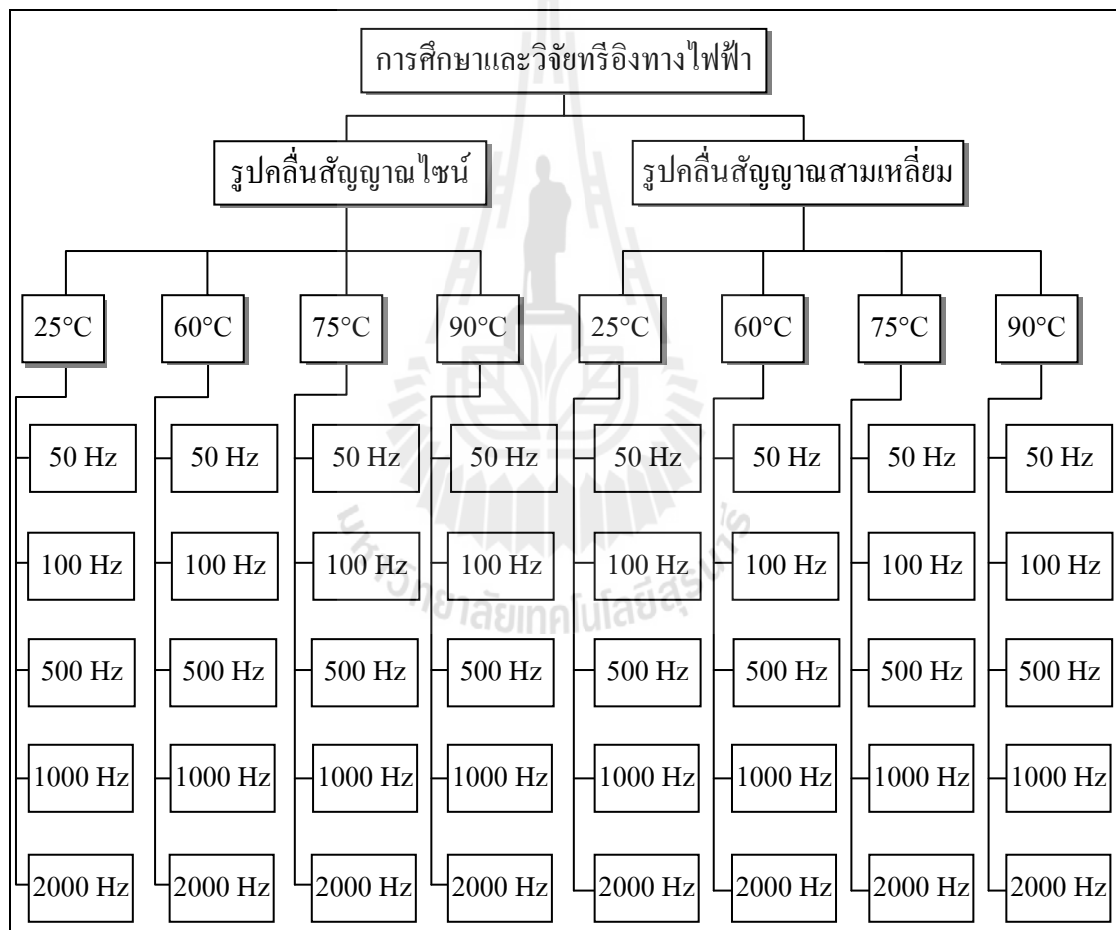
1) การศึกษาและวิจัยทรีอิงท่างไฟฟ้าภายใต้ความเครียดทางไฟฟ้าเพียงอย่างเดียว เป็นการศึกษาและวิจัยลักษณะการเกิดทรีอิงในเนื้อฉนวน XLPE เริ่มต้นด้วยการนำสายเคเบิลที่จัดเตรียมไว้เชื่อมต่อกับระบบอิเล็กโทรดแรงสูงและต่องดิน ในอ่างแก้วที่มีน้ำมันหม้อน้ำมันหม้อแปลงไว้ ชิ้นงานที่ศึกษาและวิจัยรวมไปถึงอิเล็กโทรดจะแขวนอยู่ในน้ำมันหม้อแปลง เพื่อป้องกันการเกิด ดีซาร์จตามผิวของชิ้นงานที่ศึกษาและวิจัย ในการศึกษาและวิจัยทรีอิงท่างไฟฟ้าจะใช้แรงดันรูปคลื่นไซน์ระดับแรงดันที่ 8 kV คงที่ตลอด ศึกษาและวิจัยที่อุณหภูมิ 25°C แต่จะเปลี่ยนความถี่ของแรงดันตั้งแต่ 50Hz 100Hz 500Hz 1000Hz และ 2000Hz ตามลำดับ

2) การศึกษาและวิจัยทรีอิงท่างไฟฟ้าภายใต้สภาวะความเครียดทางไฟฟ้าและความเครียดทางความร้อน โดยใช้สัญญาณรูปคลื่นแรงดันไซน์พิกัดแรงดัน 8 kV ในการวิจัย ความถี่ของแรงดันตั้งแต่ 50Hz 100Hz 500Hz 1000Hz และ 2000Hz ตามลำดับ และที่อุณหภูมิ 60°C 75°C และ 90°C ตามลำดับ โดยทำการศึกษาและวิจัยข้อบ่งน้อย 2 ครั้งเพื่อความถูกต้องและเที่ยงตรงของข้อมูล

3) การศึกษาและวิจัยทรีอิงท่างไฟฟ้าภายใต้สภาวะความเครียดทางไฟฟ้า โดยใช้สัญญาณรูปคลื่นแรงดันสามเหลี่ยม พิกัดแรงดัน 8 kV คงที่ ใช้อุณหภูมิ 25°C แต่จะเปลี่ยนความถี่ของแรงดันตั้งแต่ 50Hz 100Hz 500Hz 1000Hz และ 2000Hz ตามลำดับ

4) การศึกษาและวิจัยทรีอิงท่างไฟฟ้าภายใต้สภาวะความเครียดทางไฟฟ้าและความเครียดทางความร้อน โดยใช้สัญญาณรูปคลื่นแรงดันสามเหลี่ยมพิกัดแรงดัน 8 kV ความถี่ของแรงดันตั้งแต่ 50Hz 100Hz 500Hz 1000Hz และ 2000Hz ตามลำดับ และศึกษาวิจัยที่อุณหภูมิ 60°C 75°C และ 90°C ตามลำดับ

อุณหภูมิในการทดสอบที่  $60^{\circ}\text{C}$  เป็นค่าอุณหภูมิขณะการทำงานของสายเคเบิล (ในระบบจะมีค่าอุณหภูมิการทำงานอยู่ที่  $50^{\circ}\text{C} - 60^{\circ}\text{C}$ )  $75^{\circ}\text{C}$  เป็นค่าอุณหภูมิสูงสุดขณะใช้งานของสายเคเบิลไฟฟ้าที่มี PE เป็นฉนวน ขณะ  $90^{\circ}\text{C}$  เป็นค่าอุณหภูมิสูงสุดขณะใช้งานของสายเคเบิลไฟฟ้าที่มี XLPE เป็นฉนวน วัตถุประสงค์ของการจำลองอุณหภูมิจากการศึกษาและวิจัยให้อยู่ในหลายกรณีเพื่อศึกษาความคงทนของฉนวนสายเคเบิล และเปรียบเทียบการเกิดทรีอิงทางไฟฟ้าของสายเคเบิลในสภาวะต่าง ๆ เปลี่ยนรูปคลื่นแรงดันที่ใช้ในการศึกษาและวิจัย รูปคลื่นไซน์ และรูปคลื่นสามเหลี่ยม เพื่อให้เข้าใจได้ง่ายขึ้น การศึกษาและวิจัยทรีอิงในงานวิจัยนี้แสดงดังแผนผังในรูปที่ 5.17



รูปที่ 5.17 แผนผังการศึกษาและวิจัยทรีอิงทางไฟฟ้า

## 5.4 สรุป

เนื้อหาในบทที่ 5 นี้ได้กล่าวถึงการออกแบบชุดศึกษาและวิจัยที่รองทางไฟฟ้าในสายเคเบิลชนวน XLPE ขั้นตอนในการสร้างชุดศึกษาและวิจัยตามที่ได้ออกแบบไว้ วิธีการศึกษาและวิจัยที่รองทางไฟฟ้าในสายเคเบิลชนวน XLPE ซึ่งประกอบด้วยการเตรียมชิ้นงานที่ใช้ในการศึกษาและวิจัย วิธีการศึกษาและวิจัยที่รองทางไฟฟ้าในสภาวะความเครียดต่าง ๆ เพื่อเปรียบเทียบการเกิดทริองทางไฟฟ้าในเนื้อชนวน XLPE ในสภาวะความเครียดต่าง ๆ

หลังจากที่ได้ทำการออกแบบสร้าง และศึกษาวิจัยที่รองทางไฟฟ้าเรียบร้อยแล้วในบทต่อไป ผู้วิจัยจะนำเสนอผลการศึกษาและวิจัยที่รองทางไฟฟ้าในสายเคเบิลชนวน XLPE เวลาในการเริ่มเกิดข่ายตัว และสิ้นสุดการทดสอบเมื่อที่รองทางไฟฟ้าข่ายตัวออกไปประมาณมากกว่า 80 เปอร์เซ็นต์ ของระยะระหว่างอิเล็กโทรดทั้งสอง ข้อมูลรูปแบบของที่รองทางไฟฟ้าที่เกิดขึ้นในเนื้อชนวน XLPE ที่เกิดขึ้นจากสภาวะต่าง ๆ ในการศึกษาวิจัย และขนาดของที่รองทางไฟฟ้าแบบต่าง ๆ ที่เกิดขึ้นจะกล่าวถึงในบทที่ 6 ต่อไป

## บทที่ 6

### ผลการวิจัยและการวิเคราะห์ผลทรีอิงทางไฟฟ้า

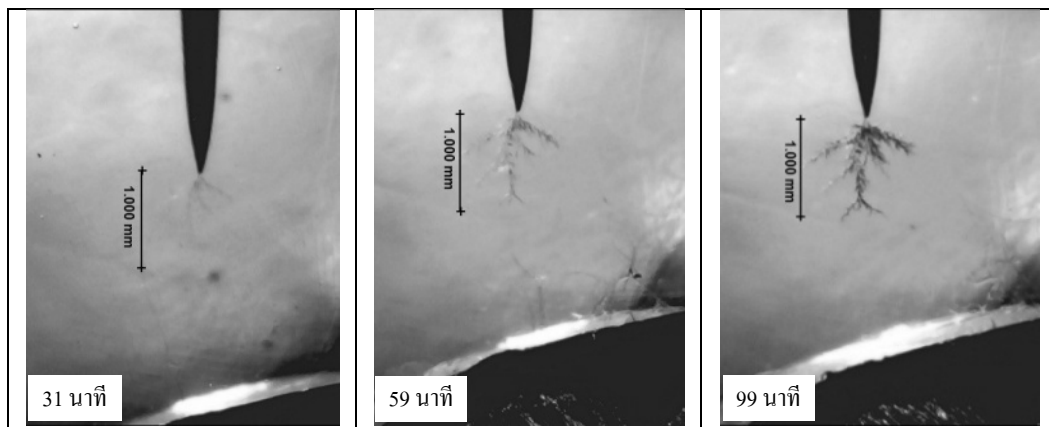
#### 6.1 กล่าวนำ

จากบทที่ 5 ผู้วิจัยได้ทำการศึกษาและวิจัยทรีอิงทางไฟฟ้าในจำนวน XLPE ของสายเคเบิล ได้ดินระบบ 22 kV ของการไฟฟ้าส่วนภูมิภาค ในบทนี้ได้แสดงผลการศึกษาวิจัยที่เกิดขึ้นในจำนวน XLPE ศึกษารูปแบบลักษณะการเกิดทรีอิงทางไฟฟ้าโดยแบ่งการศึกษาออกเป็น 3 รูปแบบได้แก่ ศึกษาผลของความถี่แรงดันที่มีต่อการเกิดทรีอิงทางไฟฟ้าในจำนวน XLPE ศึกษาผลของอุณหภูมิที่มีผลต่อการเกิดทรีอิงทางไฟฟ้า ศึกษาผลของสัญญาณรูปคลื่นแรงดันที่มีผลต่อการเกิดทรีอิงทางไฟฟ้า และจะมุ่งเน้นไปที่การตรวจสอบโครงสร้างทางเคมีและทางกายภาพของจำนวน XLPE ที่เกิดทรีอิงทางไฟฟ้า เพื่อพิสูจน์ความถูกต้องของข้อมูลที่ได้จากการศึกษาวิจัย และศึกษาถึงการเกิดออกซิเดชัน การเกิดการรับอิเล็กตรอนเชิงกับจำนวน XLPE โดยทำการเบรี่ยนเทียบโครงสร้างทางเคมีและทางกายภาพ ก่อนและหลังการเกิดทรีอิงทางไฟฟ้า

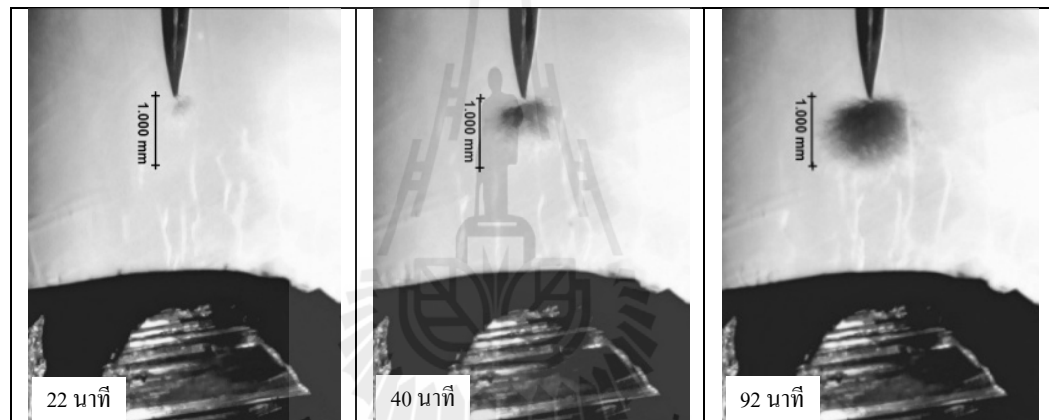
#### 6.2 รูปแบบของทรีอิงทางไฟฟ้าที่เกิดขึ้นในเนื้อจำนวน XLPE

การศึกษาวิจัยทรีอิงทางไฟฟ้าในสายเคเบิลจำนวน XLPE ภายหลังจากการทดสอบ ทำการศึกษารูปแบบของทรีอิงที่เกิดขึ้นในเนื้อจำนวน โดยทำการศึกษาการเกิดและขยายตัว ของทรีอิงทางไฟฟ้าในเนื้อจำนวน XLPE จากสภาวะต่าง ๆ ที่ทำการศึกษาวิจัย โดยใช้กล้องจุลทรรศน์บันทึกภาพระหว่างการศึกษาวิจัย

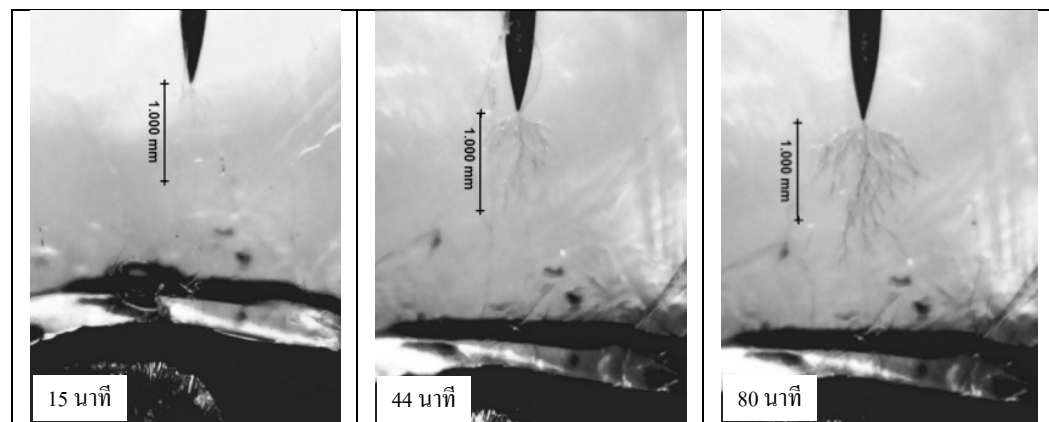
การศึกษาวิจัยทรีอิงทางไฟฟ้าจะใช้กล้องจุลทรรศน์ OLYMPUS รุ่น SZX9 ตรวจสอบรูปแบบลักษณะของทรีอิงทางไฟฟ้าในจำนวน XLPE จากสายเคเบิล 22 kV โดยบันทึกภาพเคลื่อนไหวไปตลอดการศึกษาวิจัย และทำการศึกษาการเกิดและขยายตัวของทรีอิงทางไฟฟ้า แบ่งเป็น 3 ระยะ ได้แก่ ระยะเริ่มเกิด ระยะขยายตัว และระยะขยายตัวเต็มที่ การศึกษาวิจัยทรีอิงทางไฟฟ้าโดยใช้รูปคลื่นแรงดันไชน์ และรูปคลื่นแรงดันสามเหลี่ยม อุณหภูมิที่ 25°C 60°C 75°C และ 90°C ดังแสดงในรูปที่ 6.1 ถึงรูปที่ 6.40



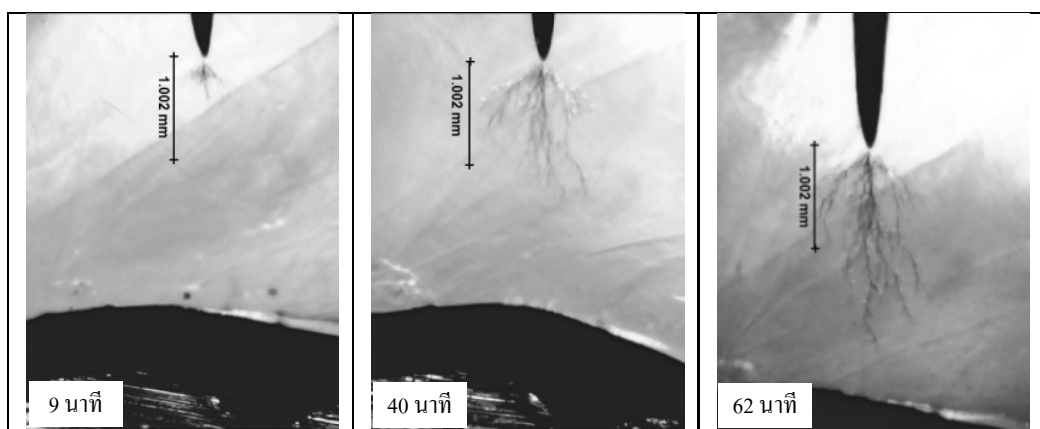
รูปที่ 6.1 ลักษณะการเกิดทรีอิงหลังจากป้อนแรงดันรูปคลื่นไซน์ที่อุณหภูมิ  $25^{\circ}\text{C}$  ความถี่  $50\text{ Hz}$



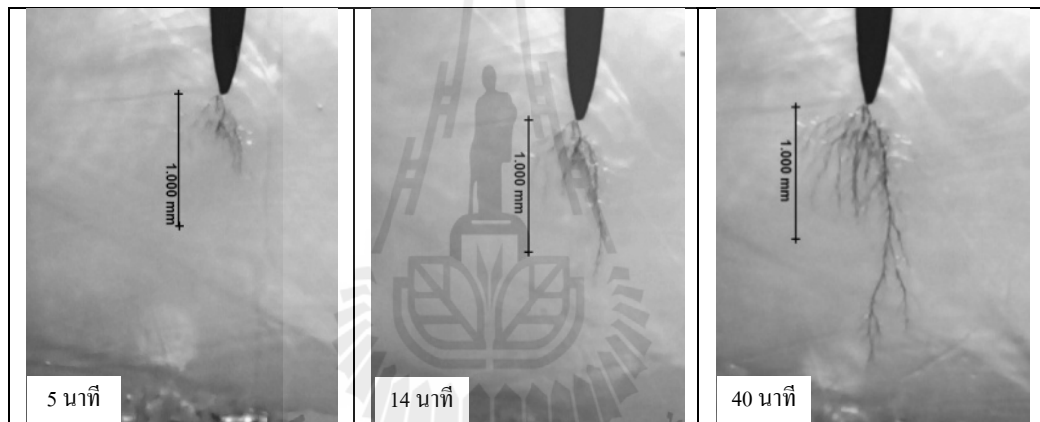
รูปที่ 6.2 ลักษณะการเกิดทรีอิงหลังจากป้อนแรงดันรูปคลื่นไซน์ที่อุณหภูมิ  $25^{\circ}\text{C}$  ความถี่  $100\text{ Hz}$



รูปที่ 6.3 ลักษณะการเกิดทรีอิงหลังจากป้อนแรงดันรูปคลื่นไซน์ที่อุณหภูมิ  $25^{\circ}\text{C}$  ความถี่  $500\text{ Hz}$



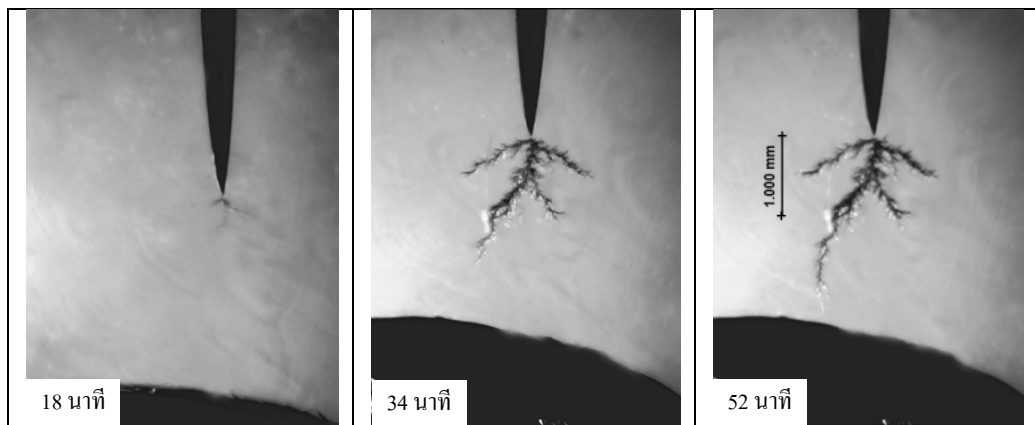
รูปที่ 6.4 ลักษณะการเกิดทริอิงหลังจากป้อนแรงดันรูปคลื่นไชน์ ที่อุณหภูมิ 25°C ความถี่ 1,000 Hz



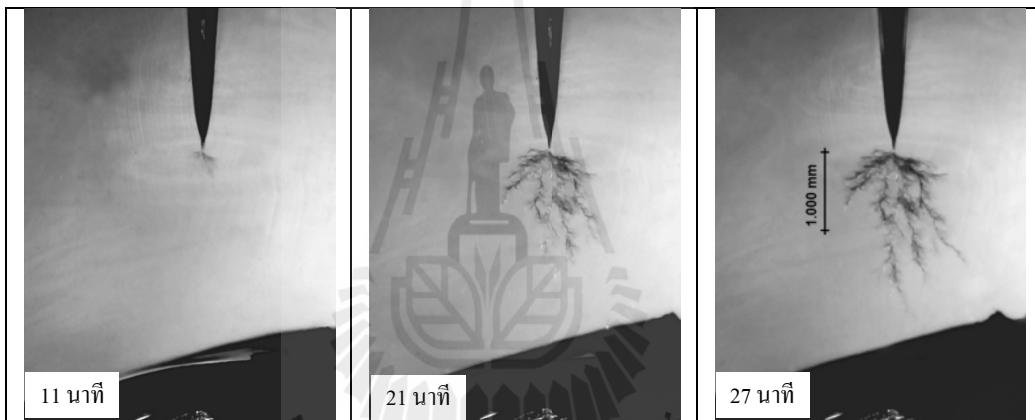
รูปที่ 6.5 ลักษณะการเกิดทริอิงหลังจากป้อนแรงดันรูปคลื่นไชน์ ที่อุณหภูมิ 25°C ความถี่ 2,000 Hz



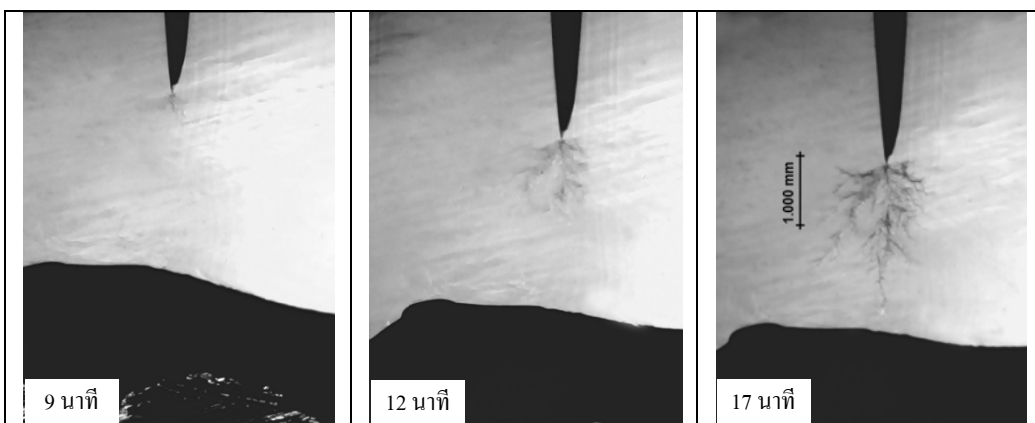
รูปที่ 6.6 ลักษณะการเกิดทริอิงหลังจากป้อนแรงดันรูปคลื่นไชน์ ที่อุณหภูมิ 60°C ความถี่ 50 Hz



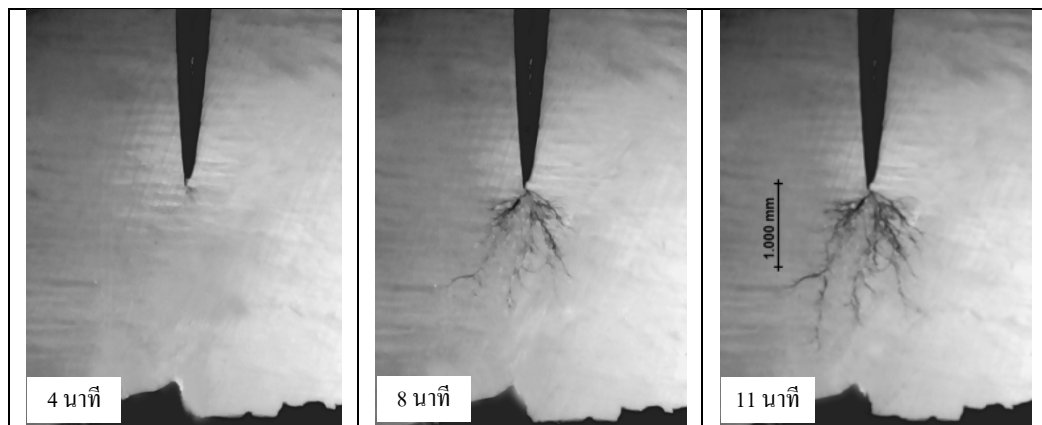
รูปที่ 6.7 ลักษณะการเกิดทรีอิงหลังจากป้อนแรงดันรูปคลื่น ไชน์ ที่อุณหภูมิ 60°C ความถี่ 100 Hz



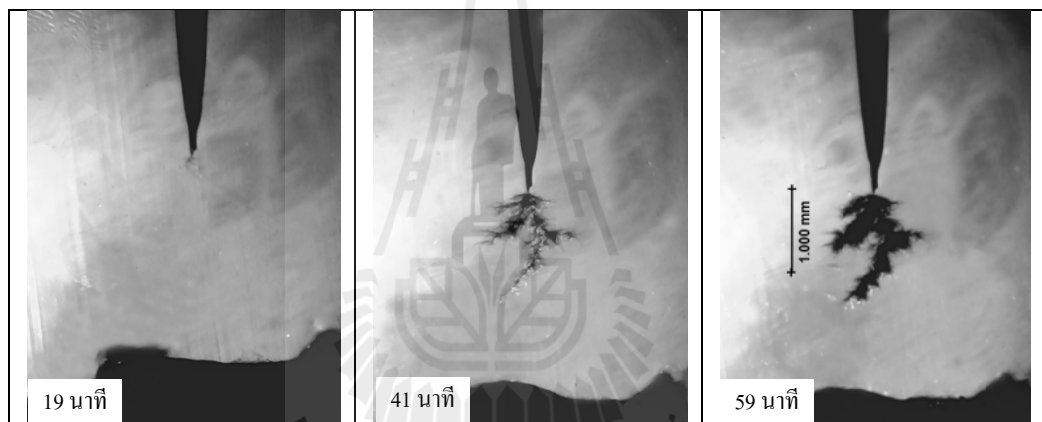
รูปที่ 6.8 ลักษณะการเกิดทรีอิงหลังจากป้อนแรงดันรูปคลื่น ไชน์ ที่อุณหภูมิ 60°C ความถี่ 500 Hz



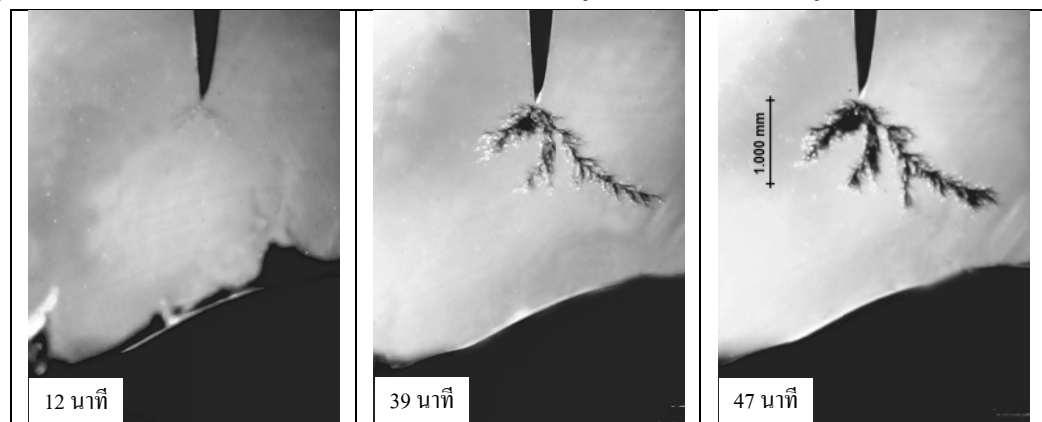
รูปที่ 6.9 ลักษณะการเกิดทรีอิงหลังจากป้อนแรงดันรูปคลื่น ไชน์ ที่อุณหภูมิ 60°C ความถี่ 1,000 Hz



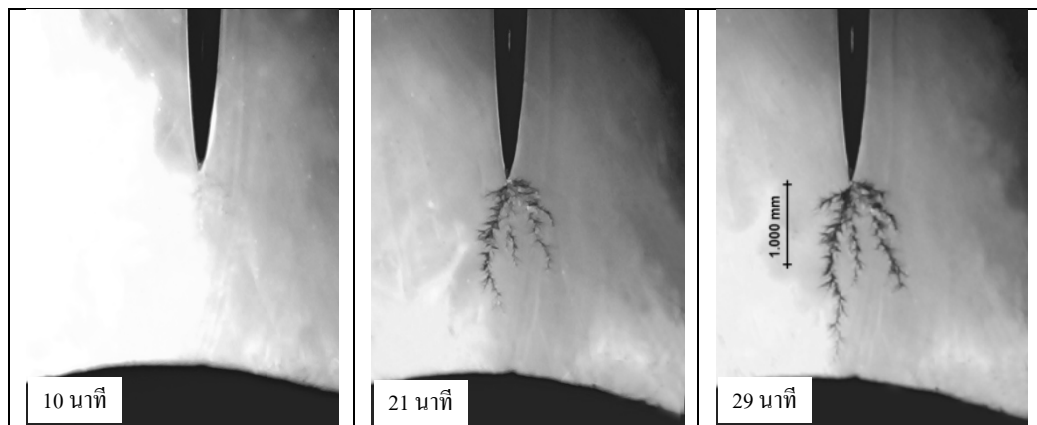
รูปที่ 6.10 ลักษณะการเกิดทรีอิง ป้อนแรงดันรูปคลื่น ไชน์ ที่อุณหภูมิ 60°C ความถี่ 2,000 Hz



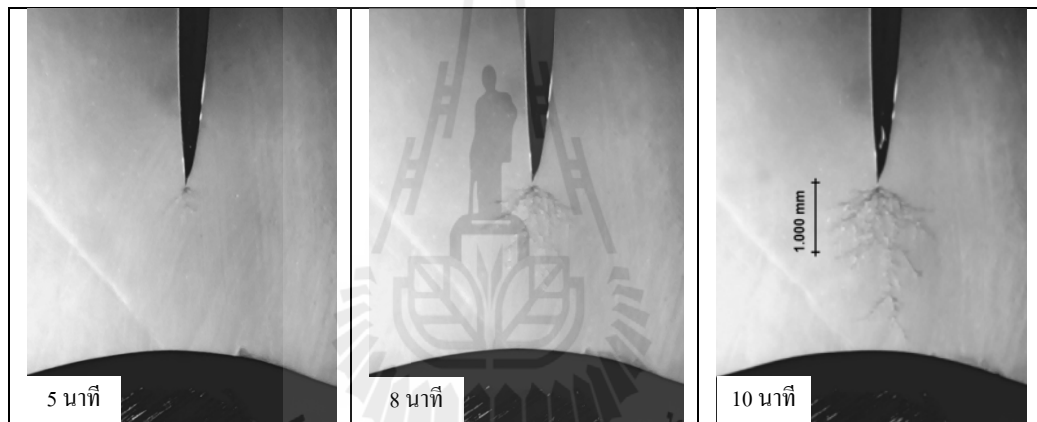
รูปที่ 6.11 ลักษณะการเกิดทรีอิงหลังจากป้อนแรงดันรูปคลื่น ไชน์ ที่อุณหภูมิ 75°C ความถี่ 50 Hz



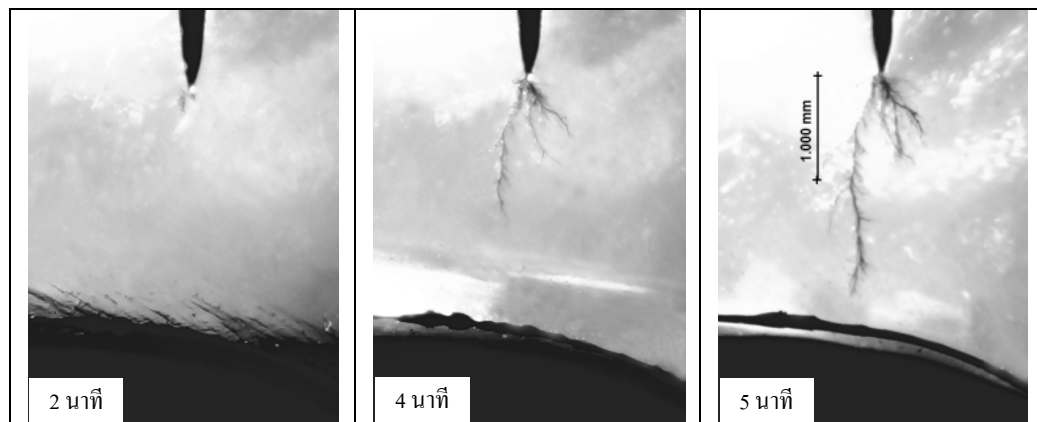
รูปที่ 6.12 ลักษณะการเกิดทรีอิงหลังจากป้อนแรงดันรูปคลื่น ไชน์ ที่อุณหภูมิ 75°C ความถี่ 100 Hz



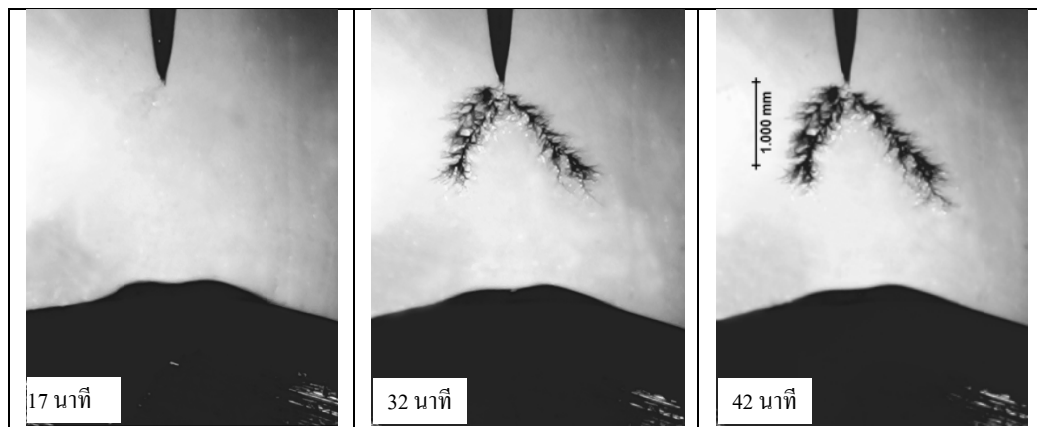
รูปที่ 6.13 ลักษณะการเกิดทรีอิงหลังจากป้อนแรงดันรูปคลื่นไขน์ที่อุณหภูมิ  $75^{\circ}\text{C}$  ความถี่ 500 Hz



รูปที่ 6.14 ลักษณะการเกิดทรีอิงโดยป้อนแรงดันรูปคลื่นไขน์ที่อุณหภูมิ  $75^{\circ}\text{C}$  ความถี่ 1,000 Hz



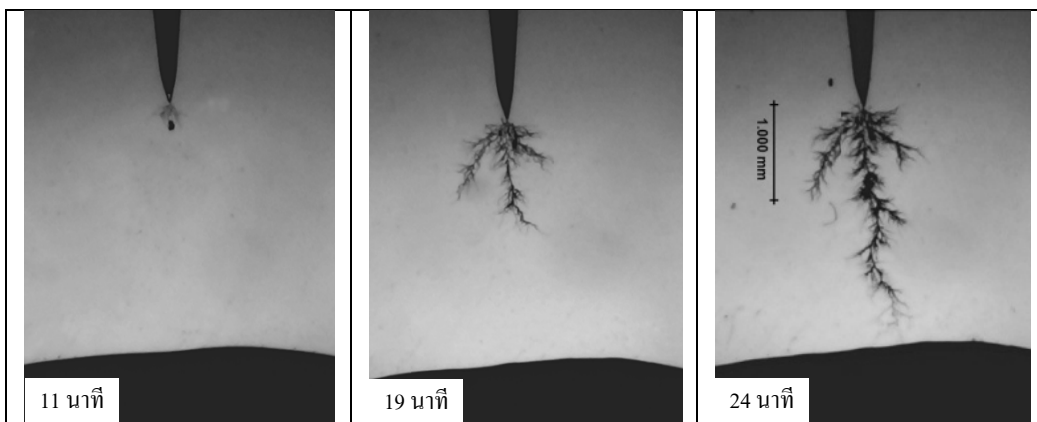
รูปที่ 6.15 ลักษณะการเกิดทรีอิงโดยป้อนแรงดันรูปคลื่นไขน์ที่อุณหภูมิ  $75^{\circ}\text{C}$  ความถี่ 2,000 Hz



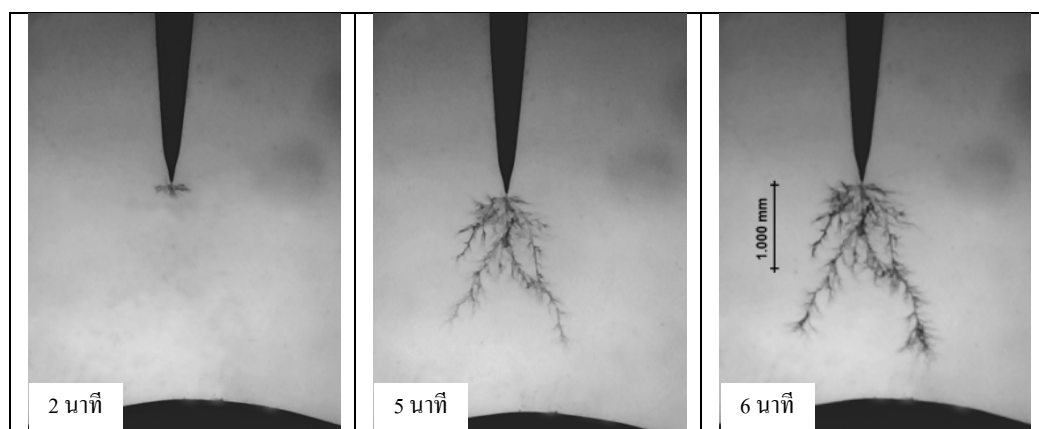
รูปที่ 6.16 ลักษณะการเกิดทรีอิงหลังจากป้อนแรงดันรูปคลื่นไชน์ ที่อุณหภูมิ  $90^{\circ}\text{C}$  ความถี่  $50\text{ Hz}$



รูปที่ 6.17 ลักษณะการเกิดทรีอิงหลังจากป้อนแรงดันรูปคลื่นไชน์ ที่อุณหภูมิ  $90^{\circ}\text{C}$  ความถี่  $100\text{ Hz}$



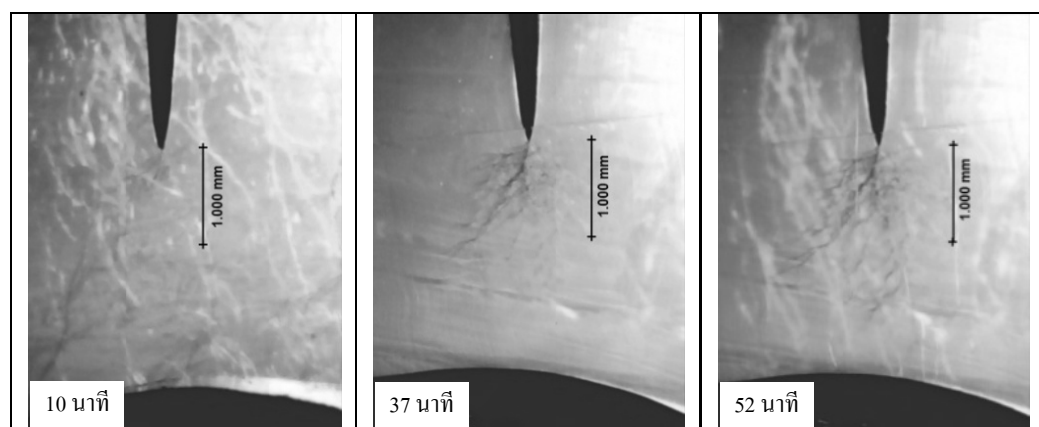
รูปที่ 6.18 ลักษณะการเกิดทรีอิงหลังจากป้อนแรงดันรูปคลื่นไชน์ ที่อุณหภูมิ  $90^{\circ}\text{C}$  ความถี่  $500\text{ Hz}$



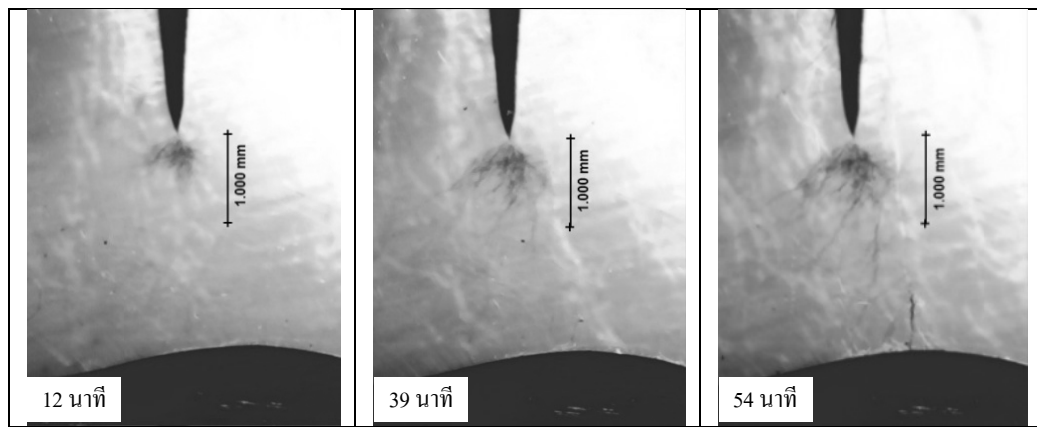
รูปที่ 6.19 ลักษณะการเกิดทรีอิงโดยป้อนแรงดันรูปคลื่นไชน์ ที่อุณหภูมิ 90°C ความถี่ 1,000 Hz



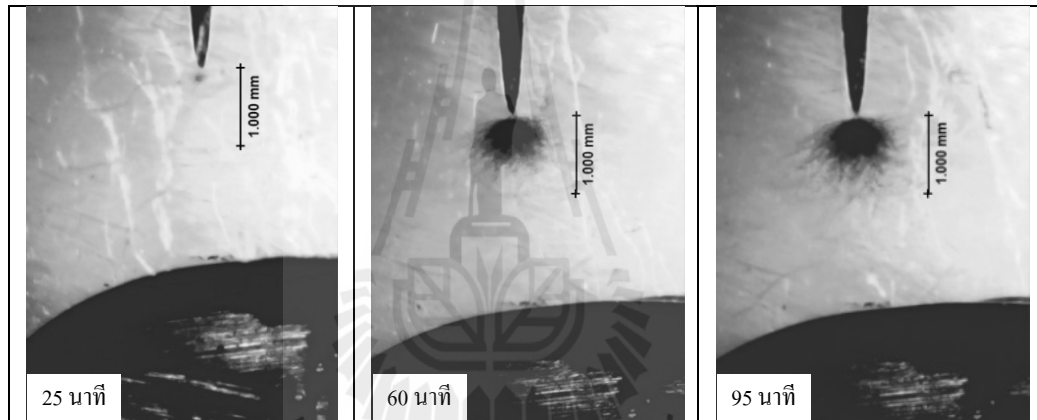
รูปที่ 6.20 ลักษณะการเกิดทรีอิงโดยป้อนแรงดันรูปคลื่นไชน์ ที่อุณหภูมิ 90°C ความถี่ 2,000 Hz



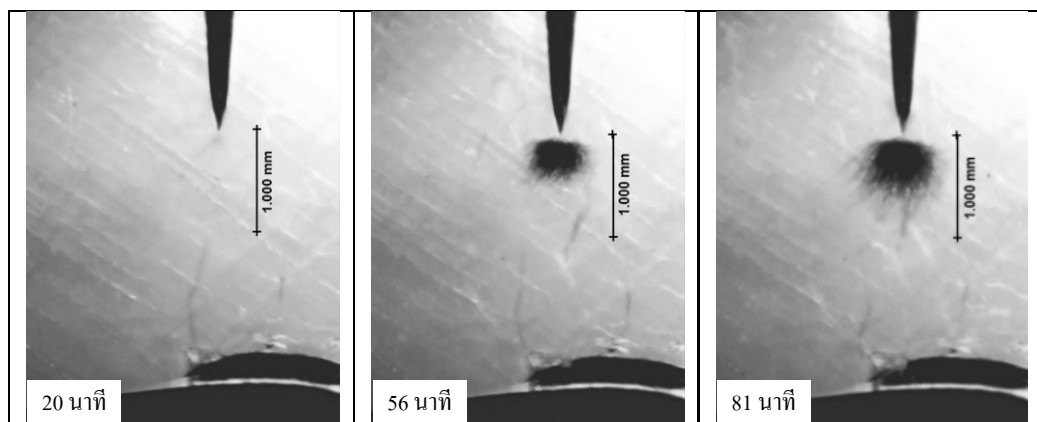
รูปที่ 6.21 ลักษณะการเกิดทรีอิงโดยป้อนแรงดันรูปคลื่นสามเหลี่ยม ที่อุณหภูมิ 25°C ความถี่ 50 Hz



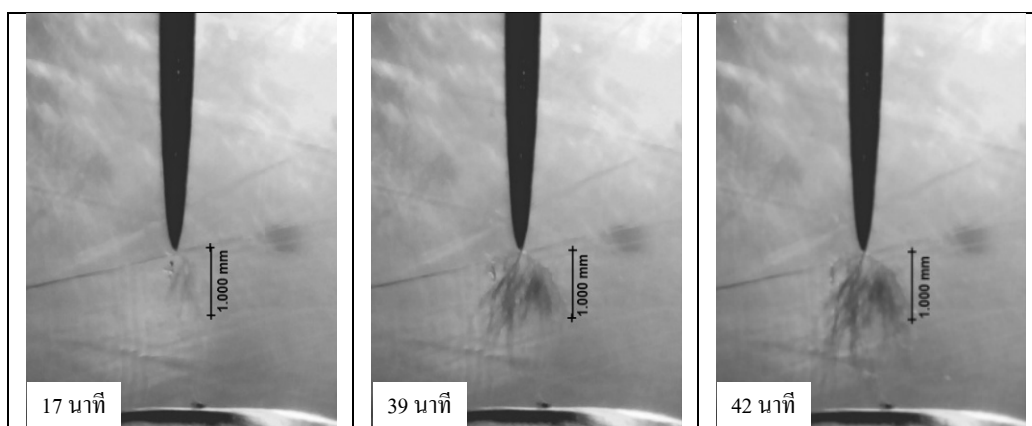
รูปที่ 6.22 ลักษณะการเกิดทรีอิงโดยป้อนแรงดันรูปคลื่นสามเหลี่ยมที่อุณหภูมิ  $25^{\circ}\text{C}$  ความถี่ 100 Hz



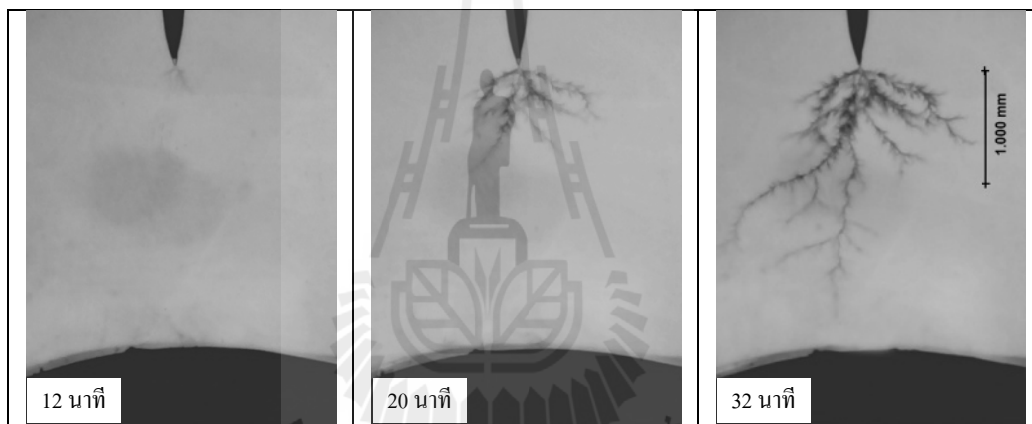
รูปที่ 6.23 ลักษณะการเกิดทรีอิงโดยป้อนแรงดันรูปคลื่นสามเหลี่ยมที่อุณหภูมิ  $25^{\circ}\text{C}$  ความถี่ 500 Hz



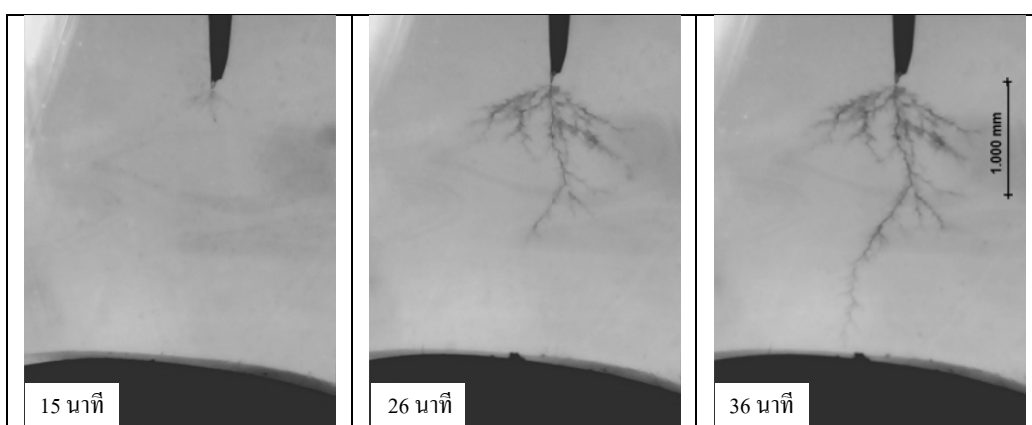
รูปที่ 6.24 ลักษณะการเกิดทรีอิงที่แรงดันรูปคลื่นสามเหลี่ยม อุณหภูมิ  $25^{\circ}\text{C}$  ความถี่ 1,000 Hz



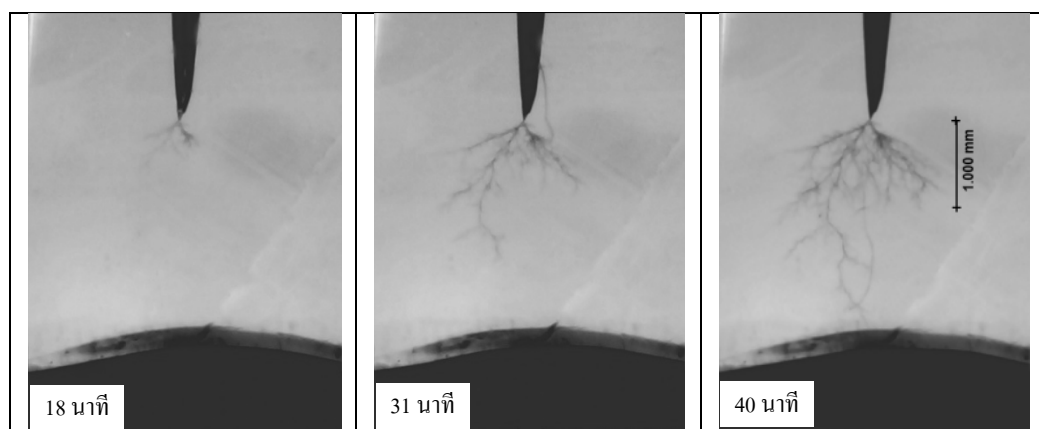
รูปที่ 6.25 ลักษณะการเกิดทrixtingที่แรงดันรูปคลื่นสามเหลี่ยม อุณหภูมิ 25°C ความถี่ 2,000 Hz



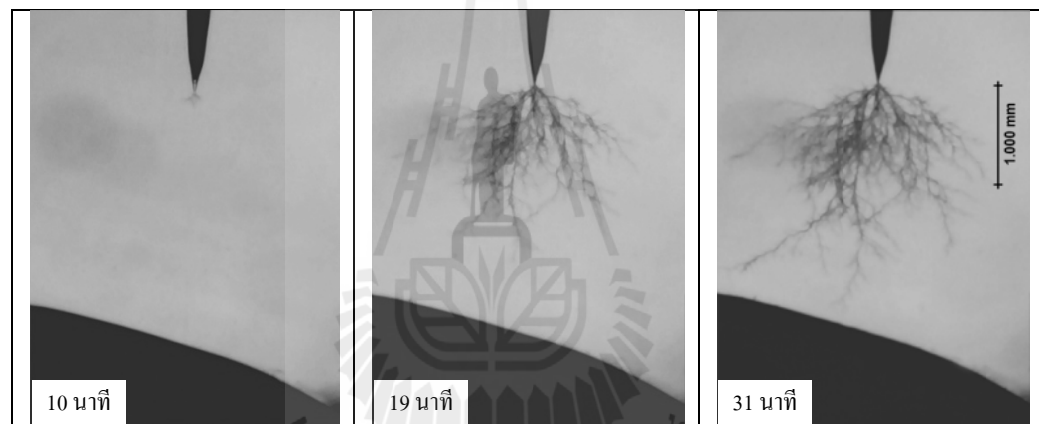
รูปที่ 6.26 ลักษณะการเกิดทrixtingที่แรงดันรูปคลื่นสามเหลี่ยม อุณหภูมิ 60°C ความถี่ 50 Hz



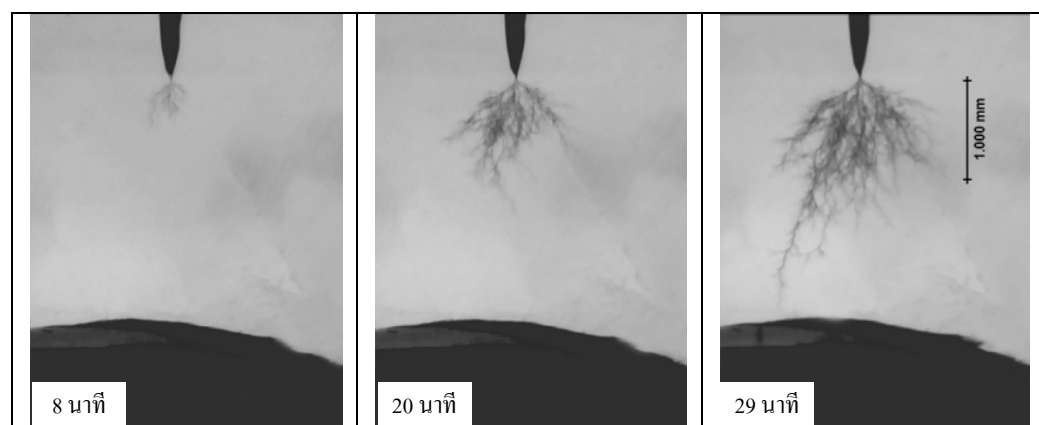
รูปที่ 6.27 ลักษณะการเกิดทrixtingที่แรงดันรูปคลื่นสามเหลี่ยม อุณหภูมิ 60°C ความถี่ 100 Hz



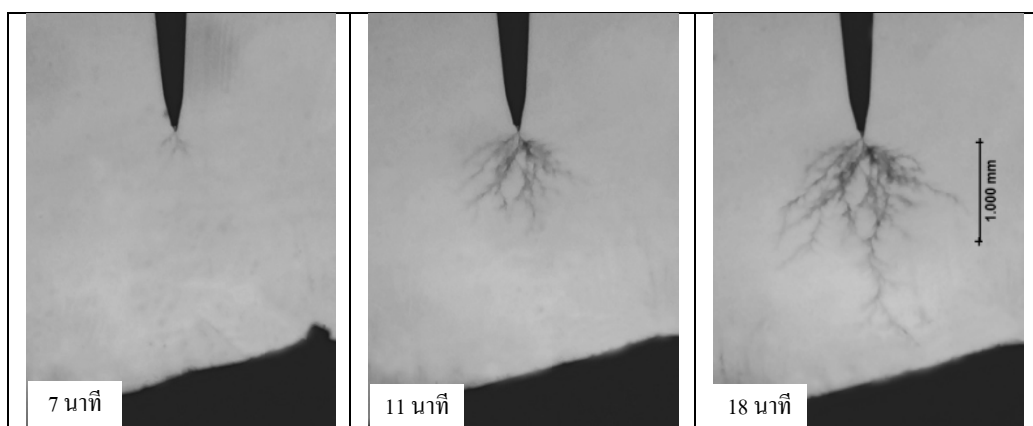
รูปที่ 6.28 ลักษณะการเกิดทริอิงที่แรงดันรูปคลื่นสามเหลี่ยม อุณหภูมิ  $60^{\circ}\text{C}$  ความถี่  $500\text{ Hz}$



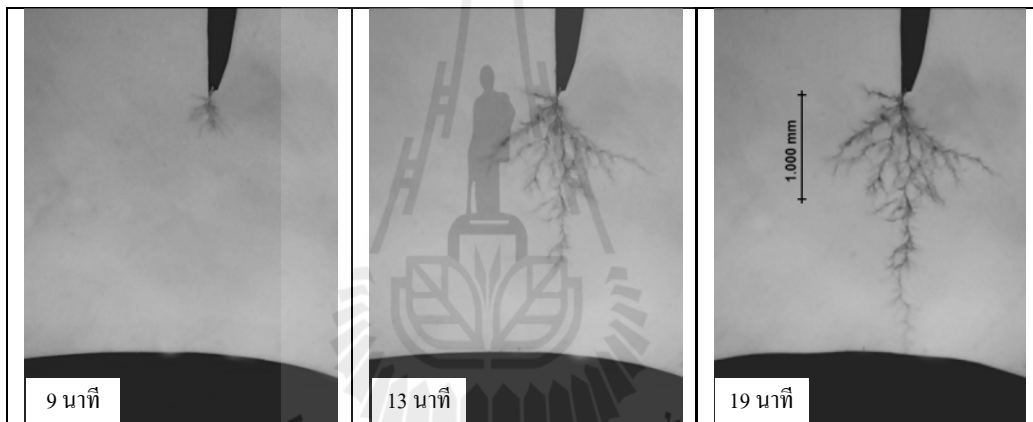
รูปที่ 6.29 ลักษณะการเกิดทริอิงที่แรงดันรูปคลื่นสามเหลี่ยม อุณหภูมิ  $60^{\circ}\text{C}$  ความถี่  $1,000\text{ Hz}$



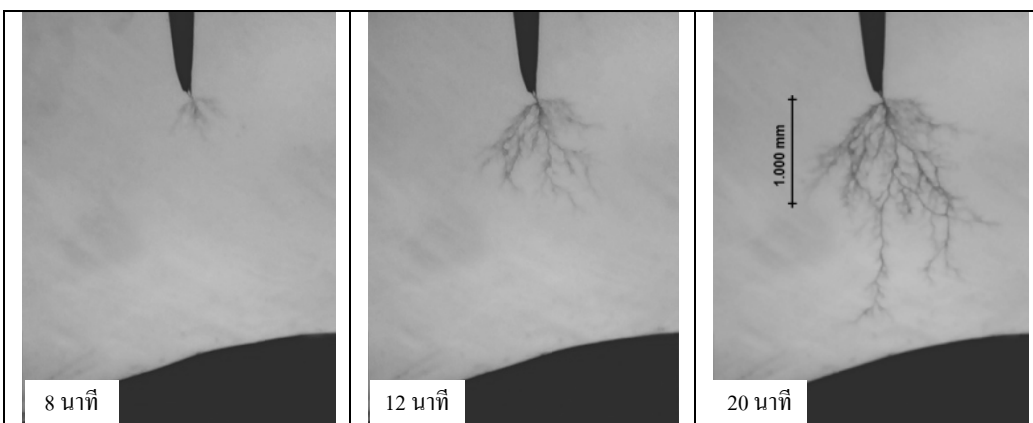
รูปที่ 6.30 ลักษณะการเกิดทริอิงที่แรงดันรูปคลื่นสามเหลี่ยม อุณหภูมิ  $60^{\circ}\text{C}$  ความถี่  $2,000\text{ Hz}$



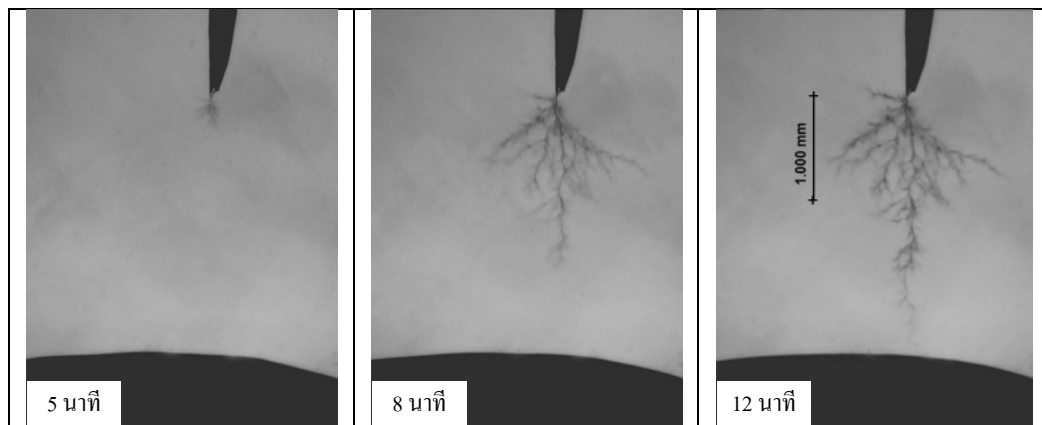
รูปที่ 6.31 ลักษณะการเกิดทริอิงที่แรงดันรูปคลื่นสามเหลี่ยม อุณหภูมิ 75°C ความถี่ 50 Hz



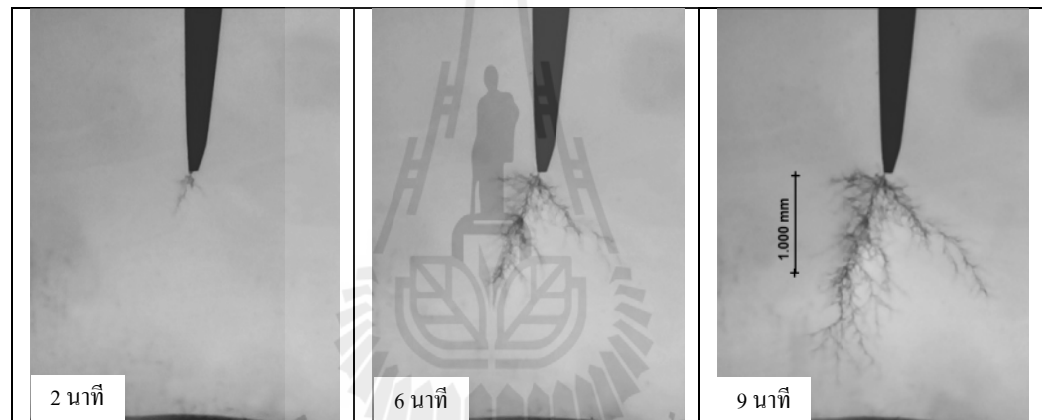
รูปที่ 6.32 ลักษณะการเกิดทริอิงที่แรงดันรูปคลื่นสามเหลี่ยม อุณหภูมิ 75°C ความถี่ 100 Hz



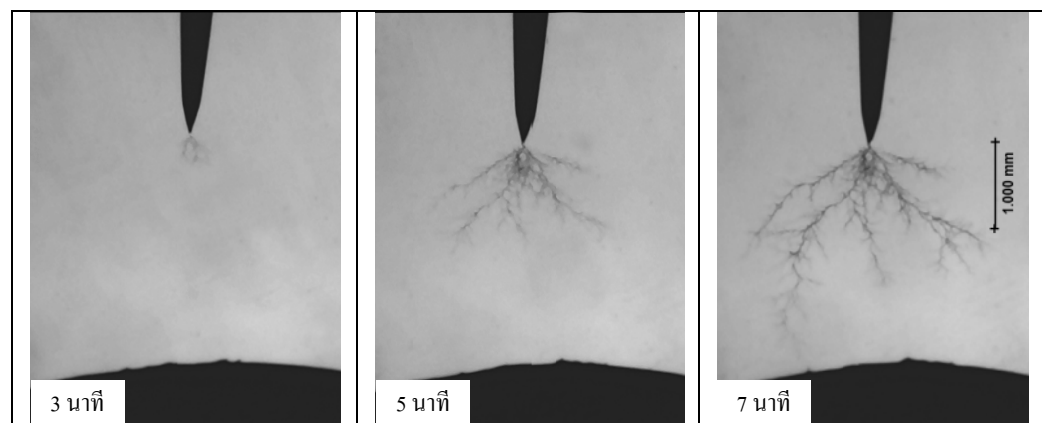
รูปที่ 6.33 ลักษณะการเกิดทริอิงที่แรงดันรูปคลื่นสามเหลี่ยม อุณหภูมิ 75°C ความถี่ 500 Hz



รูปที่ 6.34 ลักษณะการเจิดจริ่องที่แรงดันรูปคลื่นสามเหลี่ยม อุณหภูมิ 75°C ความถี่ 1,000 Hz



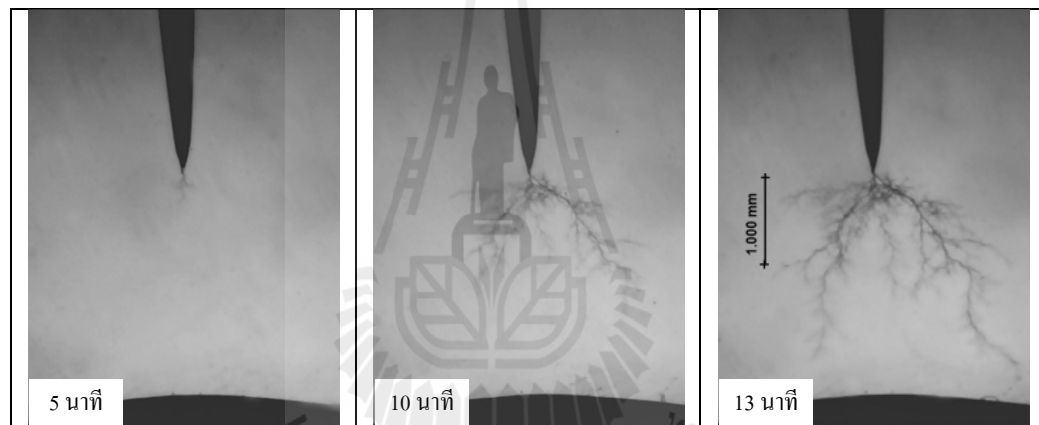
รูปที่ 6.35 ลักษณะการเจิดจริ่องที่แรงดันรูปคลื่นสามเหลี่ยม อุณหภูมิ 75°C ความถี่ 2,000 Hz



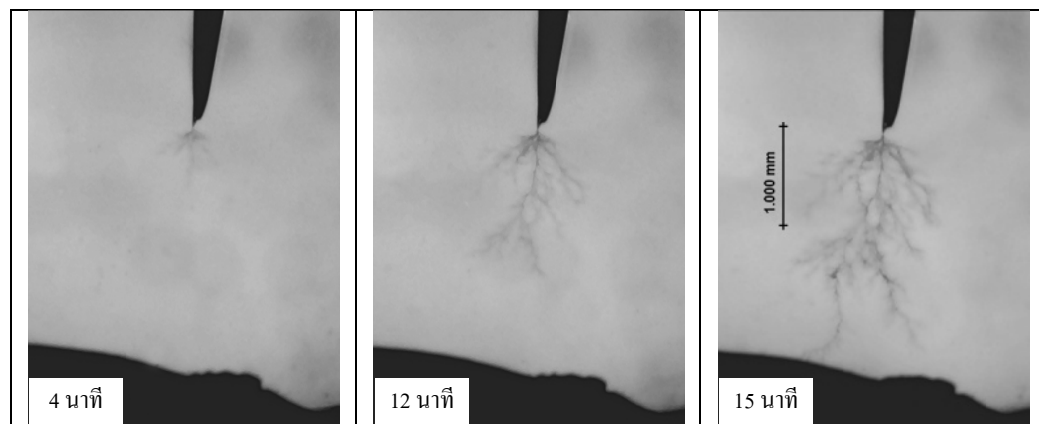
รูปที่ 6.36 ลักษณะการเจิดจริ่องที่แรงดันรูปคลื่นสามเหลี่ยม อุณหภูมิ 90°C ความถี่ 50 Hz



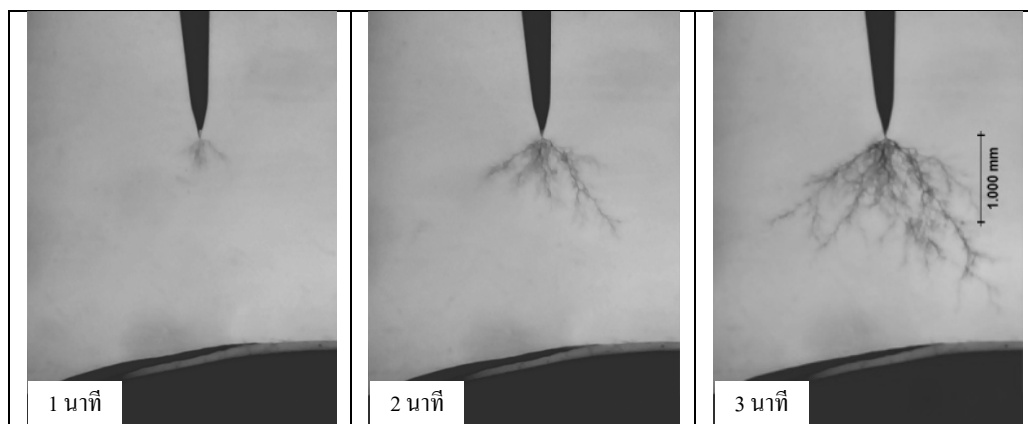
รูปที่ 6.37 ลักษณะการเกิดทริอิงที่แรงดันรูปคลื่นสามเหลี่ยม อุณหภูมิ 90°C ความถี่ 100 Hz



รูปที่ 6.38 ลักษณะการเกิดทริอิงที่แรงดันรูปคลื่นสามเหลี่ยม อุณหภูมิ 90°C ความถี่ 500 Hz



รูปที่ 6.39 ลักษณะการเกิดทริอิงที่แรงดันรูปคลื่นสามเหลี่ยม อุณหภูมิ 90°C ความถี่ 1,000 Hz



รูปที่ 6.40 ลักษณะการเกิดทริอิงที่แรงดันรูปคลื่นสามเหลี่ยม อุณหภูมิ  $90^{\circ}\text{C}$  ความถี่  $2,000\text{ Hz}$

จากลักษณะรูปแบบของทริอิงทางไฟฟ้าที่เกิดขึ้นในเนื้อ绝缘 XLPE พบว่าทริอิงที่ได้จากการทดสอบแบ่งออกเป็น 2 ลักษณะ ทริอิงทางไฟฟ้าที่มีการเกิดและขยายตัวอย่างช้า ๆ มีลักษณะคล้ายกับพุ่มไม้ เรียกทริอิงทางไฟฟ้านิดนี้ว่าทริอิงทางไฟฟ้าแบบคล้ายพุ่ม และทริอิงทางไฟฟ้าที่เกิดและขยายตัวอย่างรวดเร็วมีลักษณะคล้ายกับกิ่งไม้ รากไม้ เรียกทริอิงทางไฟฟ้านิดนี้ว่าทริอิงทางไฟฟ้าแบบคล้ายกิ่ง

ทำการศึกษาการเกิดปรากฏการณ์ทริอิงทางไฟฟ้าตามสภาพที่ทำการศึกษาไว้จัด ได้แก่ ศึกษาผลของความถี่แรงดันไฟฟ้าที่มีผลต่อการเกิดและขยายตัวของทริอิงทางไฟฟ้า ศึกษาผลของอุณหภูมิที่มีผลต่อการเกิดและขยายตัวของทริอิงทางไฟฟ้า และศึกษาผลของสัญญาณรูปคลื่นแรงดันที่มีผลต่อการเกิดและขยายตัวของทริอิงทางไฟฟ้า โดยทำการบันทึกขนาดของทริอิงทางไฟฟ้าที่เกิดขึ้นและระยะเวลาในการเกิดทริอิงทางไฟฟ้า นำค่าที่บันทึกมาเขียนกราฟความสัมพันธ์ระหว่างขนาดของทริอิงทางไฟฟ้าเทียบกับเวลาในการเกิดและขยายตัวเพื่อใช้เปรียบเทียบอัตราการขยายตัวของทริอิงทางไฟฟ้าในสภาพต่าง ๆ

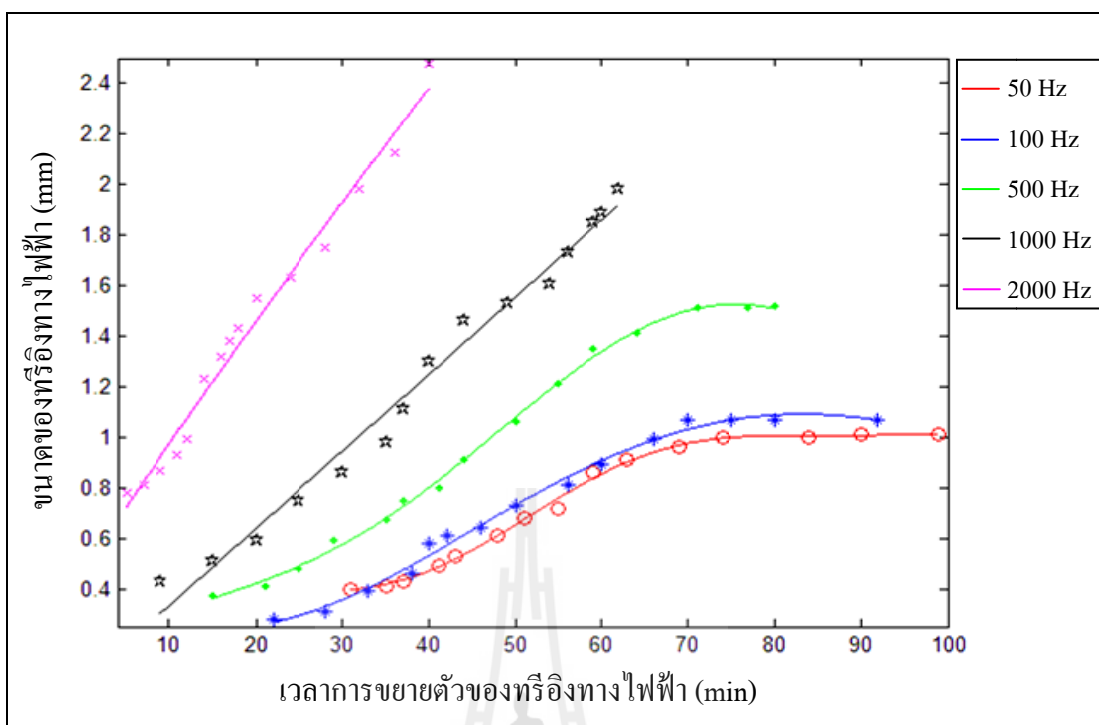
#### 6.2.1 ศึกษาผลของความถี่แรงดันไฟฟ้าที่มีผลต่อการเกิดและขยายตัวของทริอิงทางไฟฟ้าในสายเคเบิลชนวน XLPE

จากข้อมูลที่ได้ทำการบันทึกขนาดการเกิดและการขยายตัวของทริอิงทางไฟฟ้าเทียบกับเวลาโดยใช้แรงดันทดสอบรูปคลื่นไซน์ พิกัดแรงดัน  $8\text{ kV}$  ทำการทดสอบที่อุณหภูมิ  $25^{\circ}\text{C}$  ข้อมูลดังกล่าวแสดงในตารางที่ 6.1

ตารางที่ 6.1 การเกิดและการขยายตัวของทรีอิงเทียนกับเวลา ใช้รูปคลื่นแรงดันไชน์  
ที่อุณหภูมิ  $25^{\circ}\text{C}$

50 Hz		100 Hz		500 Hz		1,000 Hz		2,000 Hz	
ขนาด (mm)	เวลา (min)								
0.40	31	0.28	22	0.37	15	0.43	9	0.78	5
0.41	35	0.31	28	0.41	21	0.51	15	0.81	7
0.43	37	0.39	33	0.48	25	0.59	20	0.87	9
0.49	41	0.46	38	0.59	29	0.75	25	0.93	11
0.53	43	0.58	40	0.67	35	0.86	30	0.99	12
0.61	48	0.61	42	0.75	37	0.98	35	1.23	14
0.68	51	0.64	46	0.80	41	1.11	37	1.32	16
0.72	55	0.73	50	0.91	44	1.30	40	1.38	17
0.86	59	0.81	56	1.06	50	1.46	44	1.43	18
0.91	63	0.89	60	1.21	55	1.53	49	1.55	20
0.96	69	0.99	66	1.35	59	1.61	54	1.63	24
1.00	74	1.07	70	1.41	64	1.73	56	1.75	28
1.00	84	1.07	75	1.51	71	1.85	59	1.98	32
1.01	90	1.07	80	1.51	77	1.89	60	2.13	36
1.01	99	1.07	92	1.52	80	1.98	62	2.48	40

จากข้อมูลที่ได้จากการมาเขียนกราฟความสัมพันธ์ระหว่างการเกิดและขยายตัวของทรีอิงทางไฟฟ้าเทียนกับเวลา แสดงดังรูปที่ 6.41



รูปที่ 6.41 เปรียบเทียบการขยายตัวของทรีอิงทางไฟฟ้าในเนื้ออนวนเทียบกับเวลา ที่อุณหภูมิ  $25^{\circ}\text{C}$  โดยใช้รูปคลื่นแรงดัน ไชน์

จากรูปที่ 6.41 จะเห็นว่าในการทดสอบใช้แรงดันรูปคลื่นไชน์เหมือนกันแต่ความถี่ต่างกันจะมีอัตราการเกิดและการขยายตัวของทรีอิงทางไฟฟ้าแตกต่างกัน โดยรูปคลื่นแรงดันไชน์ความถี่ 50 Hz เวลาเริ่มเกิดทรีอิงทางไฟฟ้าที่ 31 นาที และขนาดของทรีอิงทางไฟฟ้าอยู่ที่ 1.01 mm สิ้นสุดการทดสอบใช้เวลา 99 นาทีในลักษณะเดียวกันที่ความถี่ 2000 Hz เวลาเริ่มเกิด ทรีอิงทางไฟฟ้าอยู่ที่ 5 นาที และขนาดของทรีอิงทางไฟฟ้าอยู่ที่ 2.48 mm สิ้นสุดการทดสอบใช้เวลา 40 นาที จากทั้ง 2 กรณีจะเห็นว่าการขยายตัวของทรีอิงทางไฟฟ้านั้นขึ้นอยู่กับความถี่ของแรงดัน โดยที่ความถี่สูงขึ้นอัตราการเกิดและการขยายตัวของทรีอิงทางไฟฟ้าจะสูงขึ้นตามไปด้วย

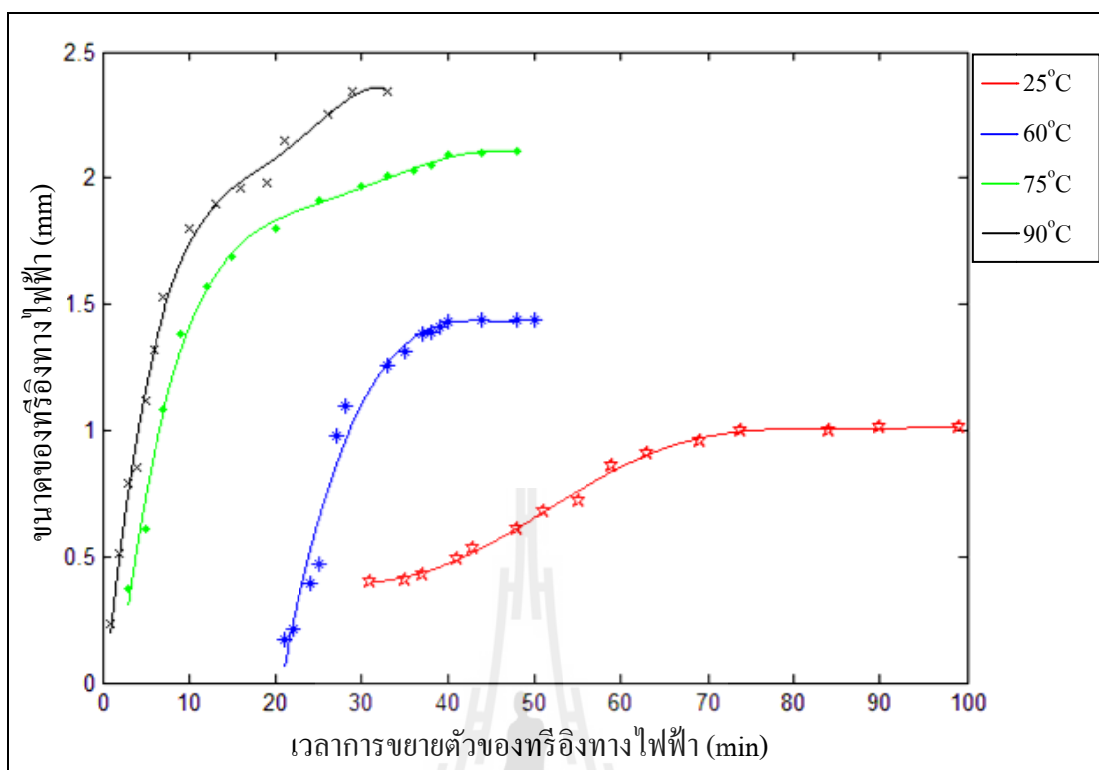
### 6.2.2 ศึกษาผลของอุณหภูมิที่มีผลต่อการเกิดและขยายตัวของทรีอิงทางไฟฟ้า

จากข้อมูลที่ได้ทำการบันทึกขนาดการเกิด และการขยายตัวของทรีอิงทางไฟฟ้าเทียบกับเวลาโดยใช้แรงดันรูปคลื่นไชน์ พิกัดแรงดัน 8 kV ความถี่ของแรงดันที่ 50 Hz ทำการวิจัยที่อุณหภูมิท้อง  $60^{\circ}\text{C}$   $75^{\circ}\text{C}$  และ  $90^{\circ}\text{C}$  ข้อมูลดังกล่าวแสดงในตารางที่ 6.2

ตารางที่ 6.2 ขนาดการเกิด และการขยายตัวของทรีอิงเทียบกับเวลาโดยใช้แรงดันรูปคลื่นไซน์  
ความถี่ 50 Hz ที่อุณหภูมิต่าง ๆ

25°C		60°C		75°C		90°C	
ขนาด (mm)	เวลา (min)	ขนาด (mm)	เวลา (min)	ขนาด (mm)	เวลา (min)	ขนาด (mm)	เวลา (min)
0.40	31	0.17	21	0.37	3	0.23	1
0.41	35	0.21	22	0.61	5	0.51	2
0.43	37	0.39	24	1.08	7	0.79	3
0.49	41	0.47	25	1.38	9	0.85	4
0.53	43	0.98	27	1.67	12	1.12	5
0.61	48	1.10	28	1.75	15	1.62	6
0.68	51	1.26	33	1.80	20	1.73	7
0.72	55	1.31	35	1.91	25	1.80	10
0.86	59	1.38	37	1.95	30	1.90	13
0.91	63	1.39	38	2.01	33	1.93	16
0.96	69	1.41	39	2.03	36	1.98	19
1.00	74	1.43	40	2.05	38	2.10	21
1.00	84	1.44	44	2.09	40	2.25	26
1.01	90	1.44	48	2.10	44	2.34	29
1.01	99	1.44	50	2.11	48	2.34	33

นำข้อมูลที่ได้จากตารางมาพล็อตกราฟการเกิดและขยายตัวของทรีอิงทางไฟฟ้าเทียบกับเวลา แสดงดังรูปที่ 6.42



รูปที่ 6.42 เปรียบเทียบการขยายตัวของทรีอิงท่างไฟฟ้าในเนื้อผ้าชนิดเดียวกันที่มีอุณหภูมิ 25°C, 60°C, 75°C และ 90°C ที่มีแรงดัน 50 Hz โดยศึกษาผลของอุณหภูมิ

จากรูปที่ 6.42 จะเห็นว่าที่แรงดันรูปคลื่นชนิดเดียวกัน ความถี่ของแรงดัน 50 Hz เท่ากัน แต่ต่างกันที่อุณหภูมิอัตราการเกิดและการขยายตัวของทรีอิงท่างไฟฟ้าแตกต่างกัน โดยที่ อุณหภูมิ 25°C ทรีอิงท่างไฟฟ้าเริ่มเกิดที่เวลา 31 นาทีและขนาดของทรีอิงท่างไฟฟ้าอยู่ที่ 1.01 mm สิ้นสุดการทดสอบใช้เวลา 99 นาที แต่ในขณะที่อุณหภูมิ 90°C ทรีอิงท่างไฟฟ้าเริ่มเกิดที่เวลา 1 นาที และขนาดของทรีอิงท่างไฟฟ้าอยู่ที่ 2.34 mm สิ้นสุดการทดสอบใช้เวลา 33 นาที จากทั้ง 2 กรณี พบว่าการขยายตัวของทรีอิงท่างไฟฟ้านั้นขึ้นอยู่กับอุณหภูมิที่ใช้ในการทดสอบ โดยที่อุณหภูมิ สูงขึ้นอัตราการเกิดและการขยายตัวของทรีอิงท่างไฟฟ้าจะสูงขึ้นตามไปด้วย

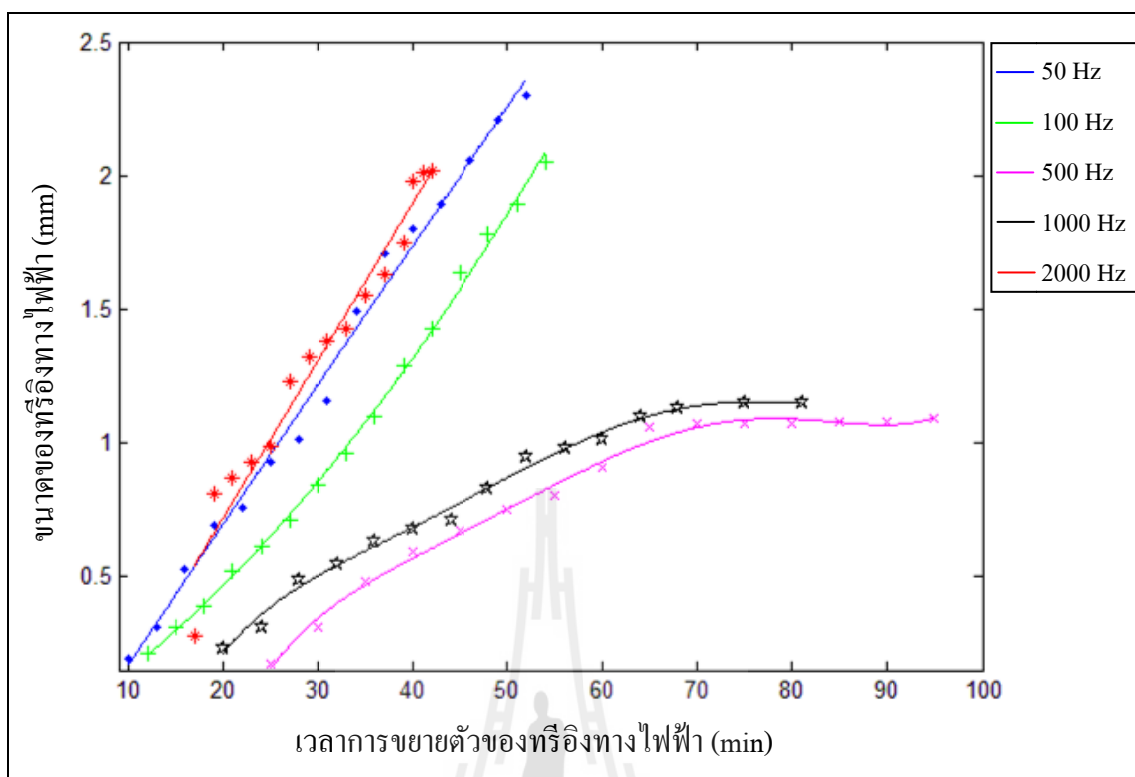
### 6.2.3 ศึกษาผลของสัญญาณรูปคลื่นแรงดันที่มีผลต่อการเกิดและการขยายตัวของทรีอิงท่างไฟฟ้า

ในการศึกษาวิจัยทรีอิงท่างไฟฟ้าใช้สัญญาณรูปคลื่นแรงดัน 2 แบบคือ สัญญาณรูปคลื่นไซน์และสัญญาณรูปคลื่นสามเหลี่ยม เพื่อศึกษาทรีอิงท่างไฟฟ้าที่เกิดขึ้นจาก สัญญาณรูปคลื่นดังกล่าวว่าจะมีความแตกต่างกันมากน้อยเพียงใด จากข้อมูลที่ได้ทำการบันทึก ขนาดการเกิด และการขยายตัวของทรีอิงท่างไฟฟ้าเทียบกับเวลา ข้อมูลดังกล่าวแสดงในตารางที่ 6.3

ตารางที่ 6.3 ขนาดการเกิด และการขยายตัวของทรีอิงเทียบกับเวลา ใช้รูปคลื่นแรงดันสามเหลี่ยม  
ที่อุณหภูมิ  $25^{\circ}\text{C}$

50Hz		100Hz		500Hz		1000Hz		2000Hz	
ขนาด (mm)	เวลา (min)								
0.19	10	0.21	12	0.17	25	0.23	20	0.28	17
0.31	13	0.31	15	0.31	30	0.31	24	0.81	19
0.53	16	0.39	18	0.48	35	0.49	28	0.87	21
0.69	19	0.52	21	0.59	40	0.55	32	0.93	23
0.76	22	0.61	24	0.67	45	0.63	36	0.99	25
0.93	25	0.71	27	0.75	50	0.68	40	1.23	27
1.01	28	0.84	30	0.80	55	0.71	44	1.32	29
1.16	31	0.96	33	0.91	60	0.83	48	1.38	31
1.49	34	1.10	36	1.06	65	0.95	52	1.43	33
1.71	37	1.29	39	1.07	70	0.98	56	1.55	35
1.80	40	1.43	42	1.07	75	1.01	60	1.63	37
1.89	43	1.64	45	1.07	80	1.10	64	1.75	39
2.06	46	1.78	48	1.08	85	1.13	68	1.98	40
2.21	49	1.89	51	1.08	90	1.15	75	2.01	41
2.30	52	2.05	54	1.09	95	1.15	81	2.02	42

นำข้อมูลที่ได้จากตารางมาเขียนกราฟความสัมพันธ์ระหว่างการเกิดและขยายตัวของทรีอิงทางไฟฟ้าเทียบกับเวลาของรูปคลื่นแรงดันสามเหลี่ยมแสดงดังรูปที่ 6.43 และเปรียบเทียบการเกิดและการขยายตัวของทรีอิงทางไฟฟ้า ระหว่างรูปคลื่นแรงดันไชน์และรูปคลื่นแรงดันสามเหลี่ยมดังแสดงในรูปที่ 6.44



รูปที่ 6.43 การขยายตัวของทวีอิงทางไฟฟ้าในเนื้อนวน โดยใช้รูปคลื่นสัญญาณสามเหลี่ยม  
ที่อุณหภูมิ  $25^{\circ}\text{C}$

จากรูปที่ 6.43 การเกิดและขยายตัวของทวีอิงทางไฟฟ้าในเนื้อนวน XLPE แรงดันรูปคลื่นสามเหลี่ยม พบว่าลักษณะของทวีอิงทางไฟฟ้าที่ความถี่ต่ำ ( $50\text{ Hz}$  และ  $100\text{ Hz}$ ) จะเกิดขึ้นและขยายตัวอย่างรวดเร็ว มีการแตกกึ่งก้านสาขามากคือทวีอิงทางไฟฟ้าแบบคล้ายกึ่ง หากไม่หยุดการทดสอบอาจจะเกิดเบรกดาวน์ในเนื้อนวน และที่ความถี่  $500\text{ Hz}$  และ  $1000\text{ Hz}$  ทวีอิงที่เกิดขึ้นจะมีลักษณะการขยายตัวอย่างช้า มีการแตกกึ่งก้านสาขาน้อย (ทวีอิงทางไฟฟ้าแบบคล้ายพุ่ม)

### 6.3 การเกิดออกซิเดชันและการรับอนในเชื้อนจากทวีอิงทางไฟฟ้าใน neutron XLPE

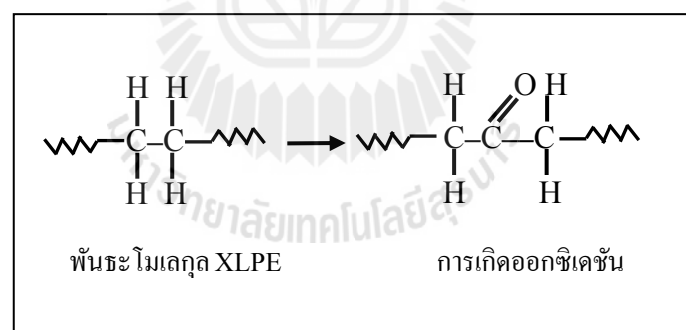
การตรวจสอบโครงสร้างทางเคมีของ neutron XLPE ที่ผ่านการทดสอบทวีอิงทางไฟฟ้า จะทำการตรวจสอบการเกิดออกซิเดชันและการเกิดการรับอนในเชื้อนแก่ neutron XLPE อันเป็นผลจาก การเกิดทวีอิงทางไฟฟ้าในเนื้อนวนเคลือบ XLPE และการเกิดการเผาไหม้ใน neutron XLPE ซึ่งปริมาณการเกิดกระบวนการหั่งสองนี้สามารถบ่งชี้การเสื่อมอายุของ neutron XLPE ได้เป็นอย่างดี

### 6.3.1 การเกิดออกซิเดชันบนผิวน XLPE

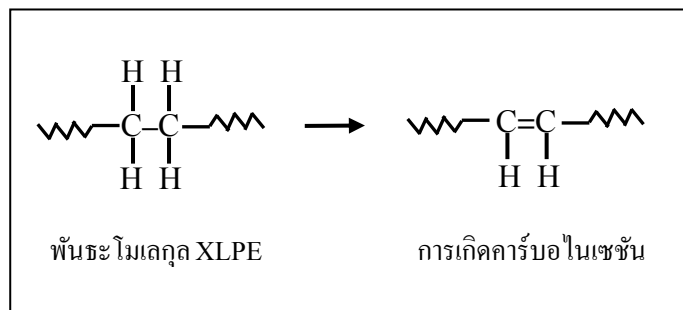
ออกซิเดชัน คือ ปฏิกิริยาทางเคมีที่ทำให้สารรับชาตุออกซิเจนมารวมตัวเข้าด้วยกัน หรือทำให้สารสูญเสียชาตุ “ไฮโดรเจน” ไป และปฏิกิริยาทางเคมีที่ทำให้ออกซิเจนของชาตุสูญเสีย อิเล็กตรอนไป การเกิดออกซิเดชันบนผิวน XLPE ที่ทำการศึกษาวิจัยที่อย่างฟ้าเกิดจาก แรงดันไฟฟ้า ความถี่ของแรงดันไฟฟ้าและความร้อนเป็นระยะเวลานานแค่ไหน XLPE ทำให้พันธะ โมเลกุลของผิวน XLPE เกิดการเปลี่ยนแปลงจากการจับพันธะระหว่างคาร์บอนและ “ไฮโดรเจน” เป็น คาร์บอนและออกซิเจนดังแสดงในรูปที่ 6.45 ซึ่งส่งผลให้ผิวน XLPE มีประสิทธิภาพในการเป็น ผิวนลดคล่อง

### 6.3.2 การเกิดการรืบอในเชิงบนผิวน XLPE

การรืบอในเชิง คือ กระบวนการเปลี่ยนสภาพจากวัตถุต่าง ๆ ให้เป็นชาตุคาร์บอน (Carbon) การเกิดการรืบอในเชิงบนผิวน XLPE ที่ทำการศึกษาวิจัยที่อย่างไฟฟ้าเกิดจากการเพา ใหม่ด้วยแรงดันไฟฟ้าและอุณหภูมิความร้อนเป็นระยะเวลานาน เช่นเดียวกับการเกิดออกซิเดชัน ซึ่งกระบวนการนี้จะทำให้พันธะ โมเลกุลของ “ไฮโดรเจน” ในผิวน XLPE หลุดออกไประเปลี่ยน สภาพเป็นพันธะคู่ระหว่างคาร์บอนและคาร์บอนดังแสดงในรูปที่ 6.46 ซึ่งส่งผลให้ผิวน XLPE มีประสิทธิภาพในการเป็นผิวนลดคล่อง เช่นเดียวกัน



รูปที่ 6.45 พันธะ โมเลกุลของ XLPE ในการเกิดออกซิเดชัน



รูปที่ 6.46 พันธะ ไอมเดกุลของ XLPE ในการเกิดการบ่อในเชชัน

#### 6.4 การตรวจสอบโครงสร้างทางเคมีของฉนวน XLPE

การเปรียบเทียบโครงสร้างทางเคมีของฉนวน XLPE ที่เสื่อมอายุระหว่างฉนวนที่เกิดทริอิงทางไฟฟ้าและฉนวนที่ไม่เกิดทริอิงทางไฟฟ้า (สายเคเบิลใหม่) จะใช้เครื่องมือวิเคราะห์แบบฟูเรียร์ทรายฟอร์મอินฟราเรดสเปกโตรสโคปี (Fourier Transform Infrared Spectroscopy: FTIR) ดังแสดงในรูปที่ 6.47 การหลักทำงานและวิธีการใช้งานของเครื่อง FTIR อธิบายดังนี้

##### 6.4.1 เครื่องมือวิเคราะห์แบบฟูเรียร์ทรายฟอร์มอินฟราเรดสเปกโตรสโคปี

FTIR ให้ข้อมูลที่รวดเร็วและมีประสิทธิภาพในการหาหมู่ฟังก์ชันในไอมเดกุลของสารประกอบอนทริย์ ย่านอินฟราเรดในสเปกตรัมของรังสีแม่เหล็กไฟฟ้าที่ให้ประโยชน์มากที่สุดต่อ นักเคมีอินทริย์คือย่านความถี่ระหว่าง  $4,000\text{--}650\text{ cm}^{-1}$  ( $\text{cm}^{-1}$  เป็นหน่วยของจำนวนคลื่นต่อวินาที หรือเรียกว่า เลขคลื่น) และความยาวคลื่นระหว่าง  $2.5\text{--}15\text{ }\mu\text{m}$  สมการแสดงความสัมพันธ์ระหว่าง ความยาวคลื่นและเลขคลื่น คือ

$$\text{wavelength}(\mu\text{m}) = \frac{10,000}{\text{wavenumber}(\text{cm}^{-1})} \quad (6.1)$$

อินฟราเรดสเปกตรัมเป็นการพลีอตระหว่างความถี่ (เลขคลื่น  $\text{cm}^{-1}$ ) หรือความยาวคลื่น ( $\mu\text{m}$ ) และ Transmittance (%T) เป็นอัตราส่วนระหว่างความเข้มของรังสีที่ผ่านสารตัวอย่าง (Transmitted Radiation) และความเข้มของรังสีที่ตกกระทบสารตัวอย่าง

สมการที่แสดงความสัมพันธ์ระหว่างความเข้มของรังสีที่ผ่านสารตัวอย่างและความเข้มของรังสีที่ตกกระทบสารตัวอย่างคือ

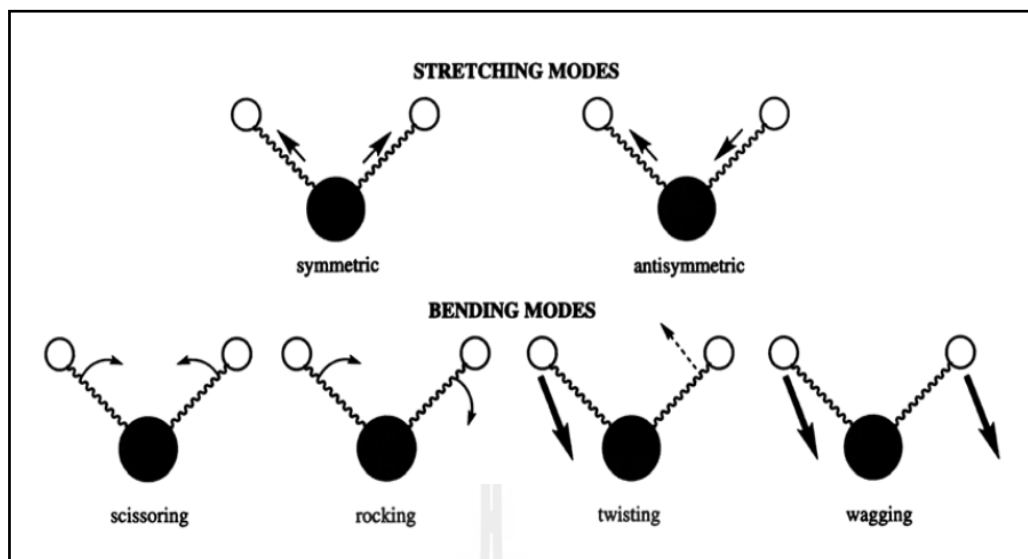
$$\%T = \frac{I}{I_0} \quad (6.2)$$

โดยที่  $I$  = ความเข้มของรังสีที่ผ่านตัวกลาง  
 $I_0$  = ความเข้มของรังสีที่ตกกระทบตัวกลาง  
 % Transmittance = 100 T

โดยทั่วไป แบบที่เกิดใน IR สเปกตรัม เกิดจากการสั่นแบบพื้นฐาน ได้แก่ การยืด และการงอ ยังมีแบบที่มีความเข้มต่ำกว่าเกิดที่ความถี่ 2 เท่า 3 เท่า หรือ 4 เท่าของความถี่แบบพื้นฐาน และเหล่านี้เรียกว่า Overtone ซึ่งเกิดเมื่อความถี่พื้นฐานมีความเข้มสูง บางครั้งอาจมีแบบเกิดที่ความถี่ที่เป็นผลบวกหรือผลต่างของความถี่แบบพื้นฐาน และเหล่านี้เรียกว่า Combination Bands ถ้า Overtone หรือ Combination bands เกิดใกล้กับแบบพื้นฐานผลก็คือทำให้ความเข้มของแบบพื้นฐานลดลง แต่ไปเพิ่มความเข้มของ Overtone และ Combination Bands ปรากฏการณ์นี้ คือเกิด Fermi Resonance และพิก บางครั้งเรียกว่า Fermi Doublet รูปที่ 6.48 แสดงการสั่นแบบพื้นฐานของหมู่  $\text{CH}_2$



รูปที่ 6.47 เครื่องวิเคราะห์โครงสร้างทางเคมี



รูปที่ 6.48 การสั่นแบบพื้นฐานของหมู่  $\text{CH}_2$  (ที่มา : <http://e-book.ram.edu/e-book/c/CM328/CM328-10.pdf>)

เครื่องวิเคราะห์แบบฟูเรีย์ทรายฟอร์มอินฟราเรดスペกโตรสโคปี หรือเครื่อง FTIR เป็นเครื่องมือที่ใช้ในการวิเคราะห์วัสดุที่เป็นสารอินทรีย์และอนินทรีย์ เทคนิคนี้เป็นวิธีการทางスペกโตรสโคปีที่ศึกษาการคุณภาพลักษณะของสารในย่านความถี่ของแสง โดยการวิเคราะห์โครงสร้างสารจะอาศัยการคุณภาพลักษณะที่แตกต่างกันของแต่ละโมเลกุล ซึ่งโมเลกุลแต่ละชนิดจะมีการคุณภาพลักษณะคลื่นอินฟราเรดที่แตกต่างกัน ดังแสดงในตารางที่ 6.4 การวิเคราะห์โครงสร้างโมเลกุลของวัสดุด้วยคลื่นแสงอินฟราเรดแบ่งออกเป็น 3 ช่วงคลื่นคือ การส่องแบบใช้แสงอินฟราเรดระดับสูง จะใช้ช่วงคลื่นที่  $14000\text{--}4000 \text{ cm}^{-1}$  เพื่อใช้หาการเปลี่ยนแปลงของ Harmonic และ Overtone เช่น การส่องแบบใช้แสงอินฟราเรดระดับกลาง จะใช้ช่วงคลื่นที่  $4000\text{--}400 \text{ cm}^{-1}$  เพื่อใช้หาโครงสร้างของวัสดุต่าง ๆ และการส่องแบบใช้แสงอินฟราเรดระดับต่ำ จะใช้ช่วงคลื่นที่  $400\text{--}10 \text{ cm}^{-1}$  เพื่อใช้หาขอบเขตและพื้นที่ของคลื่นในโครงสร้าง โดยเฉพาะอย่างยิ่งในช่วงคลื่น  $1500\text{--}400 \text{ cm}^{-1}$  เป็นช่วง Fingerprint Region ซึ่งจะมีลักษณะของスペกตรัมที่เฉพาะเจาะจงของสารแต่ละตัว แต่เนื่องจากจะมีพิเศษเกิดค่อนข้างเยอะ ดังนั้นการวิเคราะห์スペกตรัมในช่วงนี้จึงค่อนข้างยาก วิธีการนี้สามารถนำไปประยุกต์ใช้กับอุตสาหกรรมที่เกี่ยวกับด้านวัสดุศาสตร์ เช่น ช่วยในการจำแนกชนิดของพอลิเมอร์ และในด้านอุตสาหกรรมปิโตรเคมี เนื่องจากเทคนิคนี้มีค่าใช้จ่ายค่อนข้างไม่แพงและรวมไปถึงชนิดของตัวอย่าง สามารถวิเคราะห์วัสดุได้เกือบทุกชนิด

การวิเคราะห์โครงสร้างทางเคมีของกนวน XLPE ที่ผ่านการศึกษาวิจัยที่อยู่ทางไฟฟ้าจะใช้เครื่อง FTIR ทำการวิเคราะห์โครงสร้างโมเลกุลของสารตัวอย่างด้วยพลังงานช่วงแสง

อินฟราเรดขนาดกลาง โดยมีช่วงคลื่นตัวเลข ตั้งแต่  $3600\text{--}1000\text{ cm}^{-1}$  โดยใช้วิธีส่องผ่านทะลุตัวสาร เนื่องจากตัวอย่างที่ใช้ในการวิเคราะห์คือชิ้นงานชนวน XLPE ที่มีความหนา  $60\text{ }\mu\text{m}$  โดยใช้เครื่องไมโครโตร์มในการตัดชิ้นงานชนวนในบริเวณที่เกิดทริองทางไฟฟ้าให้ได้ความหนาเท่ากับ  $60\text{ }\mu\text{m}$  ซึ่งสามารถให้แสงอินฟราเรดส่องทะลุผ่านตัวชิ้นงานได้ จากค่าตารางที่ 6.4 ได้แสดงในช่วงคลื่นตัวเลข  $1600\text{--}1650\text{ cm}^{-1}$  และ  $1750\text{--}1780\text{ cm}^{-1}$  โดยช่วงคลื่นที่  $1600\text{--}1650\text{ cm}^{-1}$  จะแสดงการเกิดการเพาไหหมีของเนื้อชนวน หากชนวน XLPE ที่เกิดทริองในเนื้อชนวนจากการเพาไหมีจะปรากฏพันธะ  $\text{C}=\text{C}$  ขึ้นที่โครงสร้างทางเคมีของชนวน XLPE และช่วงคลื่น  $1750\text{--}1780\text{ cm}^{-1}$  จะแสดงการเกิดออกซิเดชันในเนื้อชนวน

ในกรณีที่เนื้อชนวนเกิดออกซิเดชันขึ้นจะปรากฏพันธะ  $\text{C}=\text{O}$  ขึ้น หากมีพันธะ  $\text{C}=\text{C}$  และ  $\text{C}=\text{O}$  ปรากฏมากแสดงว่าเนื้อชนวน XLPE จะมีการเสื่อมอายุมากตามไปด้วย งานวิจัยนี้ได้ทำการเปรียบเทียบการวิเคราะห์โครงสร้างทางเคมีของเนื้อชนวน XLPE ระหว่างชนวน XLPE บริเวณที่เกิดทริองทางไฟฟ้าและชนวน XLPE ในบริเวณที่ไม่เกิดทริองทางไฟฟ้า (สายเคเบิลใหม่)

ตารางที่ 6.4 ความถี่ของการคูดคลื่นแสงอินฟราเรดของหมู่ฟังก์ชันบางชนิด (ที่มา: <http://e-book.ram.edu/e-book/c/CM328/CM328-10.pdf>)

Type of vibration		ช่วงคลื่น ( $\text{cm}^{-1}$ )	Intensity
Alkanes	$\text{CH}_3$ , $\text{CH}_2$ & $\text{CH}$ 2 or 3 Bands	2850–3000	str
Alkenes	=C-H & = $\text{CH}_2$ (usually sharp)	3020–3100	med
	C=C (symmetry reduces intensity)	1630–1680	var
	C=C asymmetric stretch	1900–2000	str
Alkynes	C-H (usually sharp)	3300	str
	$\text{C}\equiv\text{C}$ (symmetry reduces intensity)	2100–2250	var
Arenes	C-H (may be several bands)	3030	var
	C=C (in ring) (2 bands)		
	(3 if conjugated)	1600 and 1500	med-wk
Alcohols and Phenols	O-H (free), usually sharp	3580–3650	var
	O-H (H-bonded), usually broad	3200–3550	str
	C-O	970–1250	str

ตารางที่ 6.4 ความถี่ของการดูดกลืนแสงอินฟราเรดของหมู่ฟังก์ชันบางชนิด (ต่อ)

Type of vibration		ช่วงคลื่น ( $\text{cm}^{-1}$ )	Intensity
Amines	N-H (2 bands)	3400–3500	wk
	N-H	3300–3400	wk
	C-N	1000–1250	med
Alkanes	$\text{CH}_3$ , $\text{CH}_2$ & CH 2 or 3 Bands	2850–3000	str
Alkenes	=C-H & =CH <sub>2</sub> (usually sharp)	3020–3100	med
	C=C (symmetry reduces intensity)	1630–1680	var
	C=C asymmetric stretch	1900–2000	str
Alkynes	C-H (usually sharp)	3300	str
	C≡C (symmetry reduces intensity)	2100–2250	var
Arenes	C-H (may be several bands)	3030	var
	C=C (in ring) (2 bands) (3 if conjugated)	1600 and 1500	med-wk
Alcohols and Phenols	O-H (free), usually sharp	3580–3650	var
	O-H (H-bonded), usually broad	3200–3550	str
	C-O	970–1250	str
Alcohols and Phenols	O-H (free), usually sharp	3580–3650	var
	O-H (H-bonded), usually broad	3200–3550	str
	C-O	970–1250	str
Amines	N-H (2 bands)	3400–3500	wk
	N-H	3300–3400	wk
	C-N	1000–1250	med
Aldehydes and Ketones	C-H (aldehyde C-H)	2690–2840	med
	C=O (saturated aldehyde)	1720–1740	str
	C=O (saturated ketone)	1710–1720	str
	aryl ketone	1690	str
	$\alpha$ , $\beta$ -unsaturation	1875	str
	cyclopentanone	1745	str
	cyclobutanone	1780	str

ตารางที่ 6.4 ความถี่ของการดูดกลืนแสงอินฟราเรดของหมู่ฟังก์ชันบางชนิด (ต่อ)

Type of vibration	ช่วงคลื่น ( $\text{cm}^{-1}$ )	Intensity	
Carboxylic Acids and Derivatives	O-H (very broad) C=O (H-bonded)	2500– 3300 (acids) overlap C-H 1705– 1720 (acids)	str str
	O-C (sometimes 2-peaks)	1210– 1320 (acids)	med-str
	C=O	1785–1815 (acyl halides)	str
	C=O (2-bands)	1750 and 1820 (anhydrides)	str
	O-C	1040–110	str
Carboxylic Acids and Derivatives	C=O	1735–1750	str
	O-C (2-bands)	1000–1300	str
	C=O (amide I band)	1630–1695 (amides)	str
Nitriles Isocyanates, Isothiocyanates, Diimides, Azides and Ketenes	C≡N (sharp)	2240–2280	med
	-N=C=O, -N=C=S -N=C=N-, -N <sub>3</sub> , C=C=O	2100–2270	med

หมายเหตุ : str : strength

med : medium

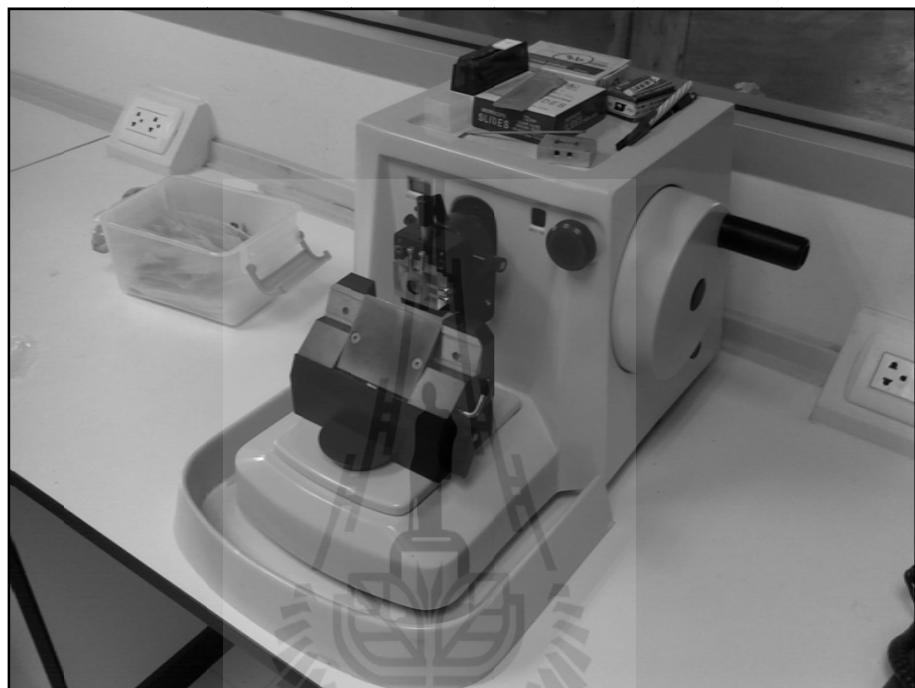
wk : weak

var : variance

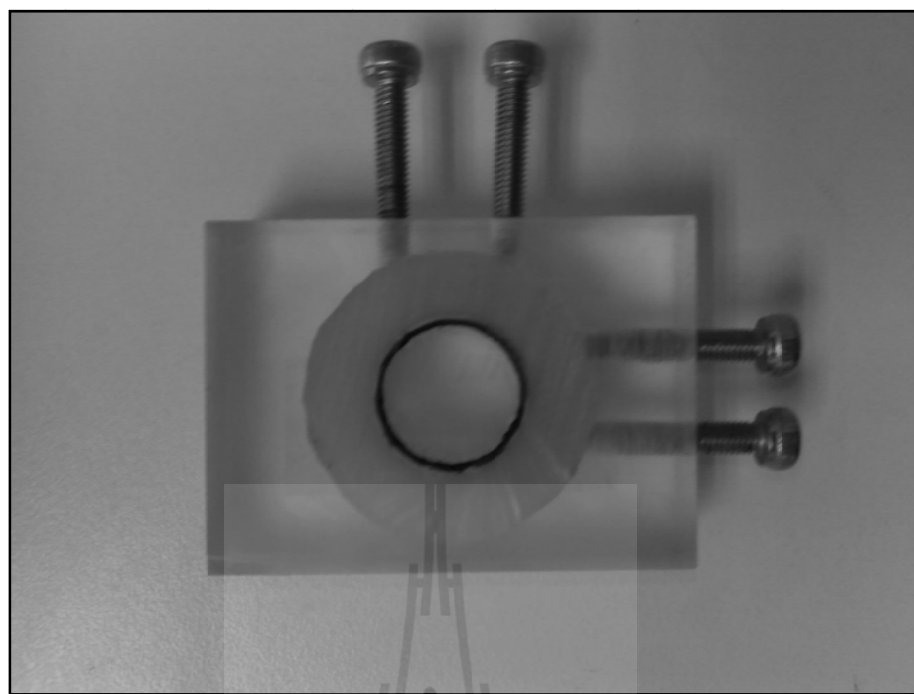
#### 6.4.2 การตัดฉนวน XLPE สำหรับตรวจสอบโครงสร้างทางเคมี

การตรวจสอบโครงสร้างทางเคมีของฉนวน XLPE จากสายเคเบิล 22 kV ด้วยวิธี FTIR จำเป็นต้องทำการตัดฉนวนสายเคเบิลให้แสงอินฟราเรดสามารถทะลุผ่านได้ โดยนำสายเคเบิลที่เกิดทรัพยากร้าวไฟฟ้า มาทำการตัดด้วยเครื่องตัดเนื้อเยื่อ (ไมโครโทม) ในตำแหน่งที่เกิดทรัพยากร้าวไฟฟ้าให้มีขนาด 60  $\mu\text{m}$  โดยการตัดสายเคเบิลด้วยเครื่องไมโครโทมต้องสร้างตัวยึดจับชิ้นงานสาย

เคเบิลโดยเนพาะเพื่อให้ง่ายในการตัดและมีความถูกต้องของขนาดมากที่สุด เครื่องตัดเนื้อเยื่อในโกรโطم ตัวขีดจับชิ้นงานสายเคเบิลและชิ้นงานที่ผ่านการตัดด้วยเครื่องไมโครโกรมแสดงในรูปที่ 6.49 รูปที่ 6.50 และรูปที่ 6.51 ตามลำดับ ชิ้นงานที่ตัดอย่างสมบูรณ์จะเก็บใส่ในภาชนะมิดชิด และใส่ซิลิกาเจลแบบเม็ดเพื่อคุ้มครองชิ้น



รูปที่ 6.49 เครื่องตัดไมโครโกรม



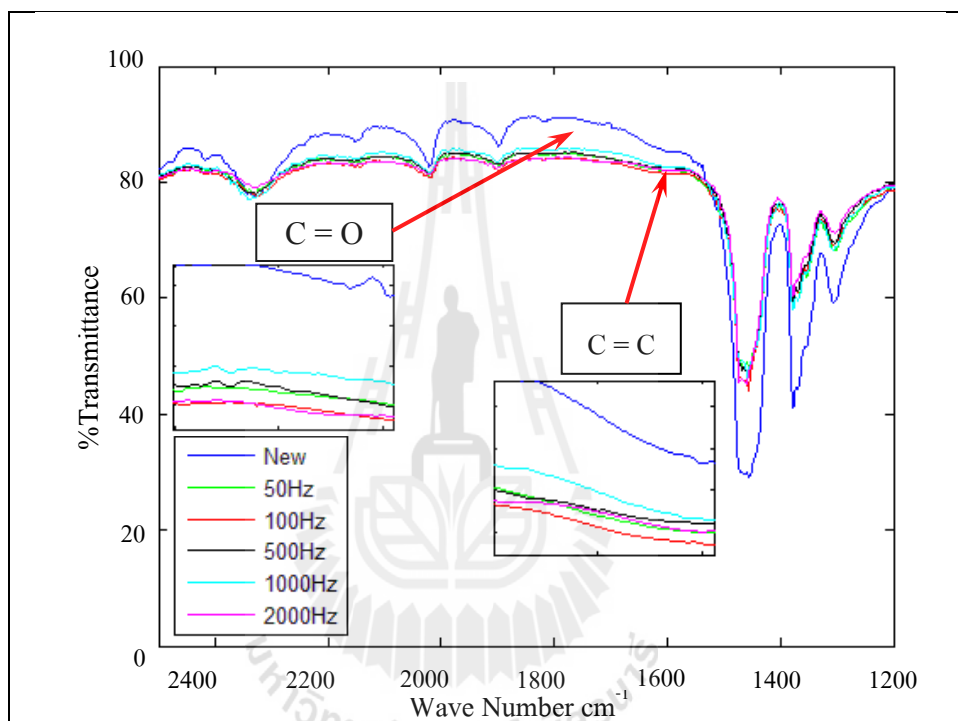
รูปที่ 6.50 ตัวยึดจับชิ้นงานสายเคเบิล



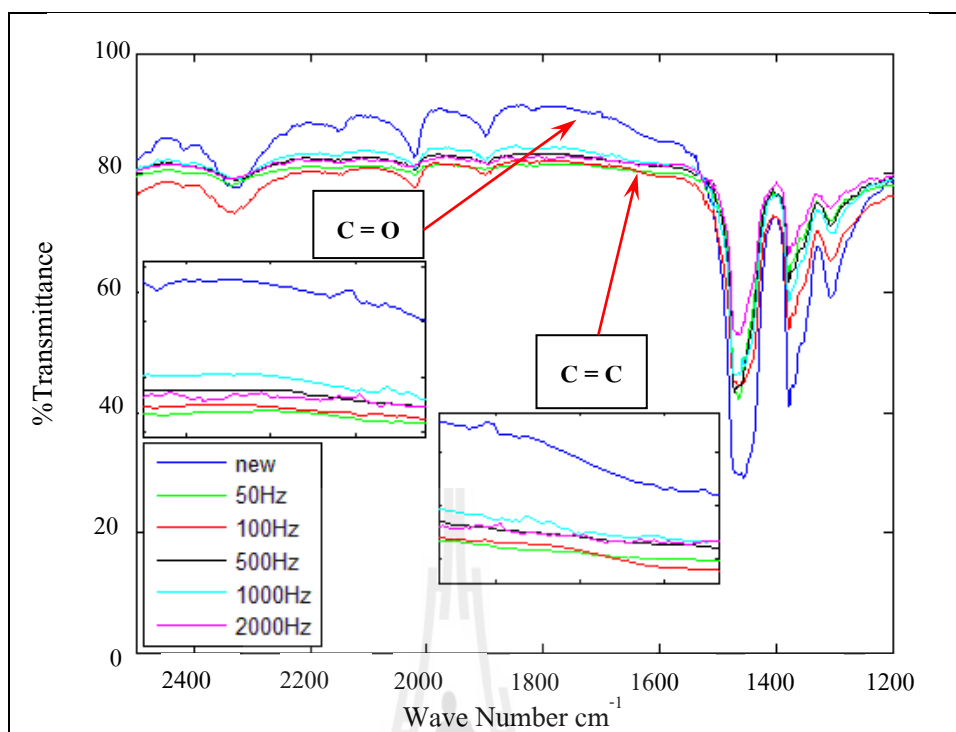
รูปที่ 6.51 ชิ้นงานที่ผ่านการตัดด้วยเครื่องตัดไมโครไฟบ์

### 6.4.3 การวิเคราะห์โครงสร้างทางเคมีของฉนวน XLPE ที่เกิดทรีอิงทางไฟฟ้า

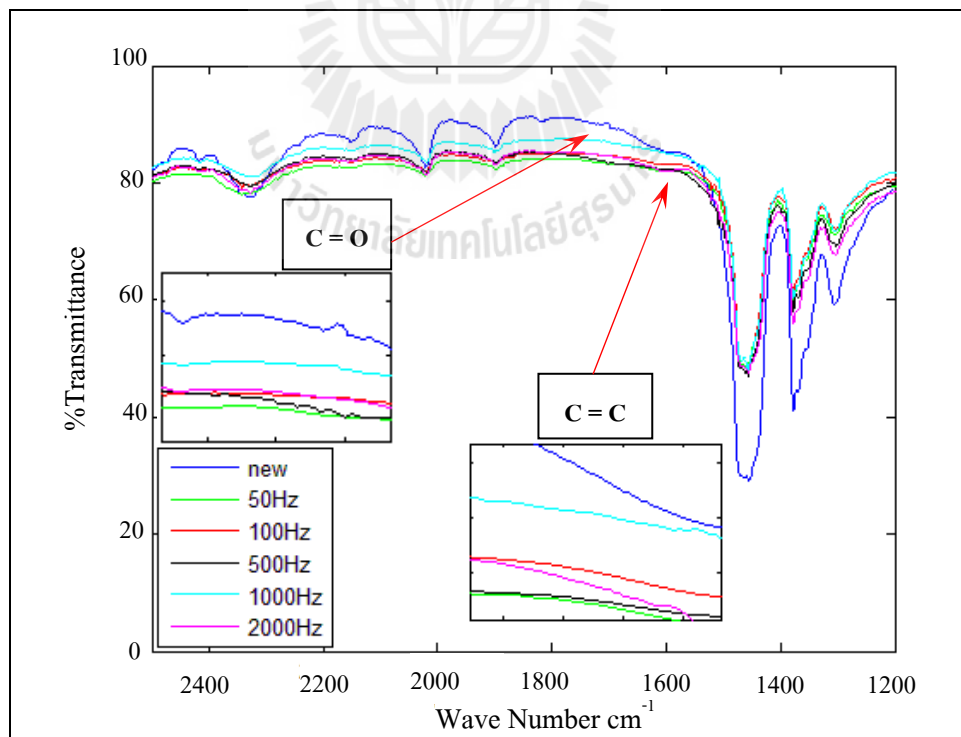
การวิเคราะห์โครงสร้างทางเคมีของฉนวน XLPE จากสายเคเบิล 22 kV ที่เกิดทรีอิงทางไฟฟ้าภายใต้อุณหภูมิ 25°C 60°C 75°C และ 90°C ความถี่แรงดัน 50Hz 100Hz 500Hz 1,000Hz และ 2,000Hz ตามลำดับ ด้วยเครื่อง FTIR ดังแสดงในรูปที่ 6.52 ถึง รูปที่ 6.59



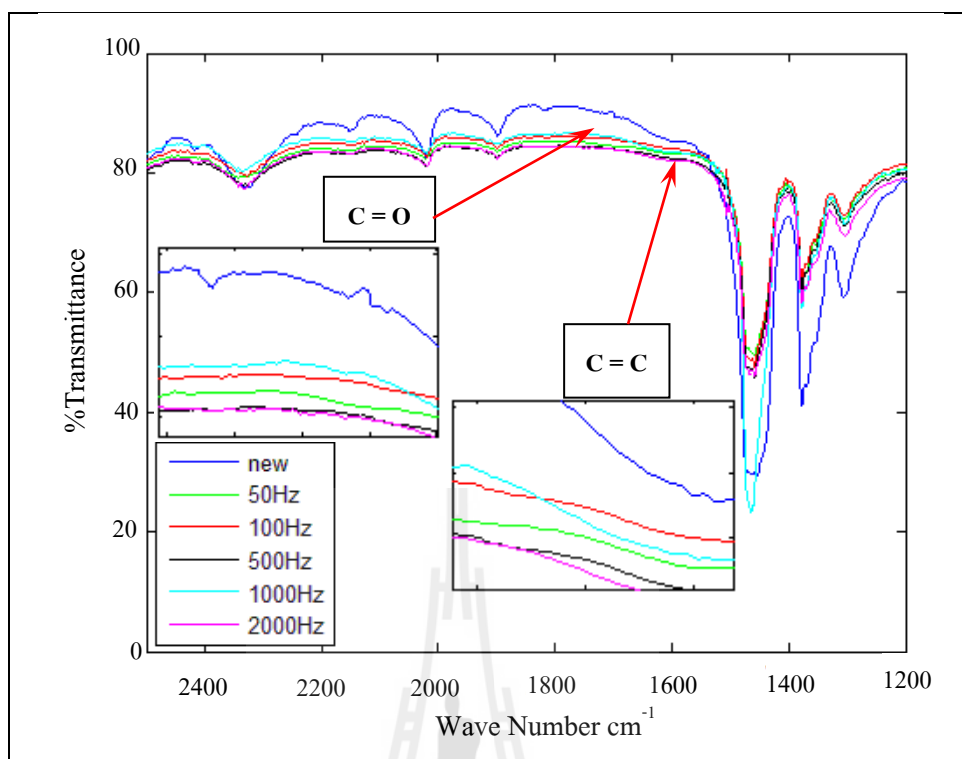
รูปที่ 6.52 FTIR spectrum ของฉนวน ที่อุณหภูมิ 25°C รูปคลื่นแรงดันไชน์



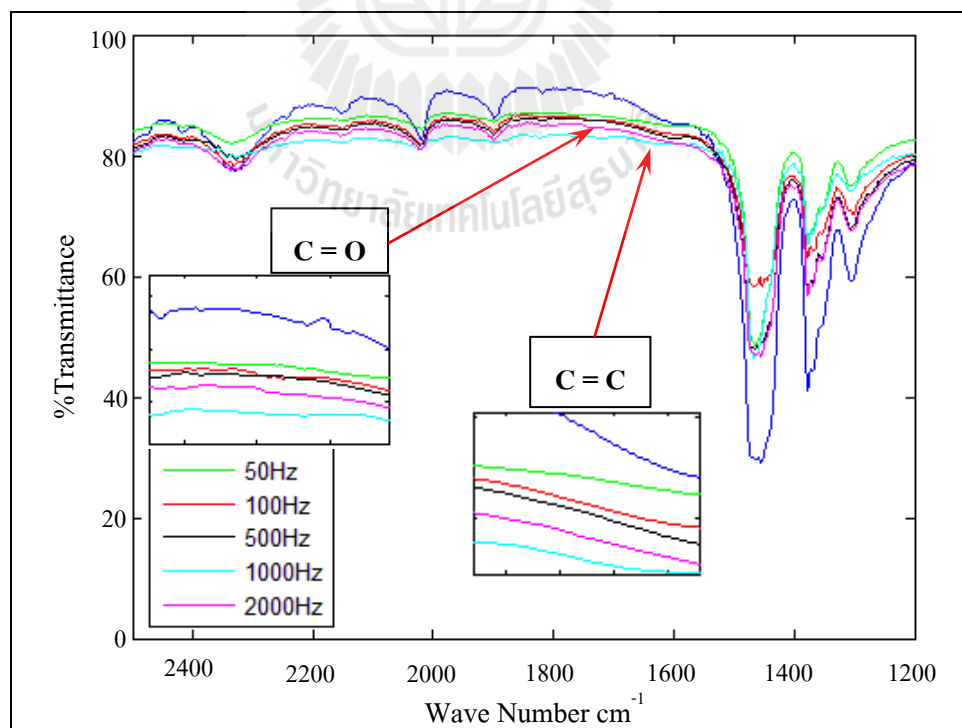
รูปที่ 6.53 FTIR spectrum ของฉนวน XLPE ที่อุณหภูมิ  $60^{\circ}\text{C}$  รูปคลื่นแรงดันไฟฟ้า



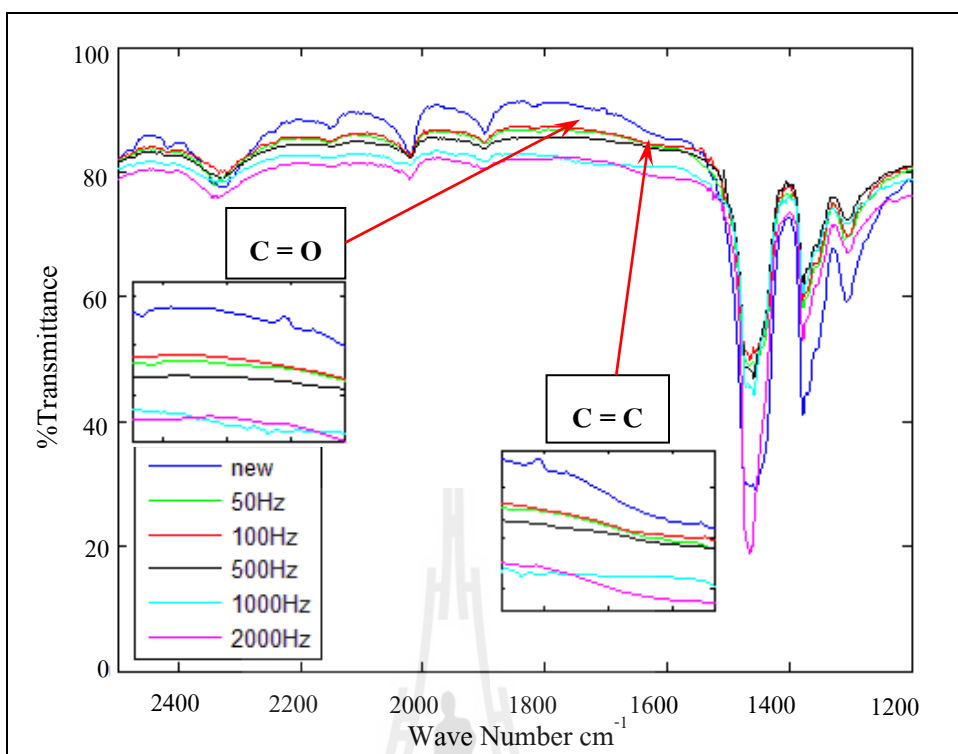
รูปที่ 6.54 FTIR spectrum ของฉนวน XLPE ที่อุณหภูมิ  $75^{\circ}\text{C}$  รูปคลื่นแรงดันไฟฟ้า



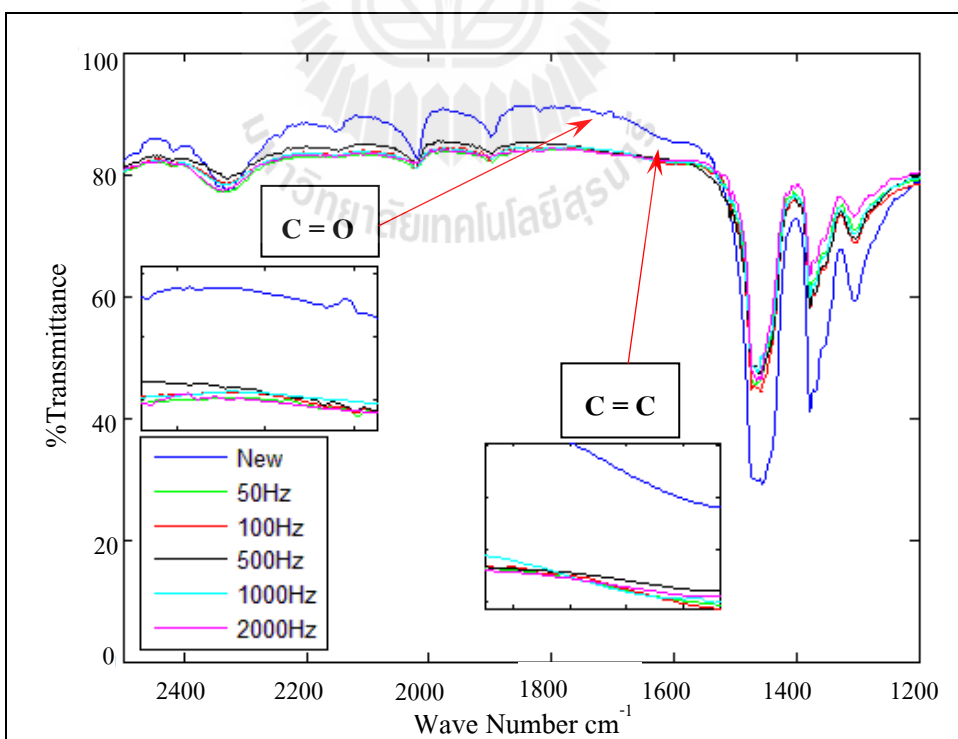
รูปที่ 6.55 FTIR spectrum ของจันวน XLPE ที่อุณหภูมิ 90°C รูปคลื่นแรงดันไฟฟ้า



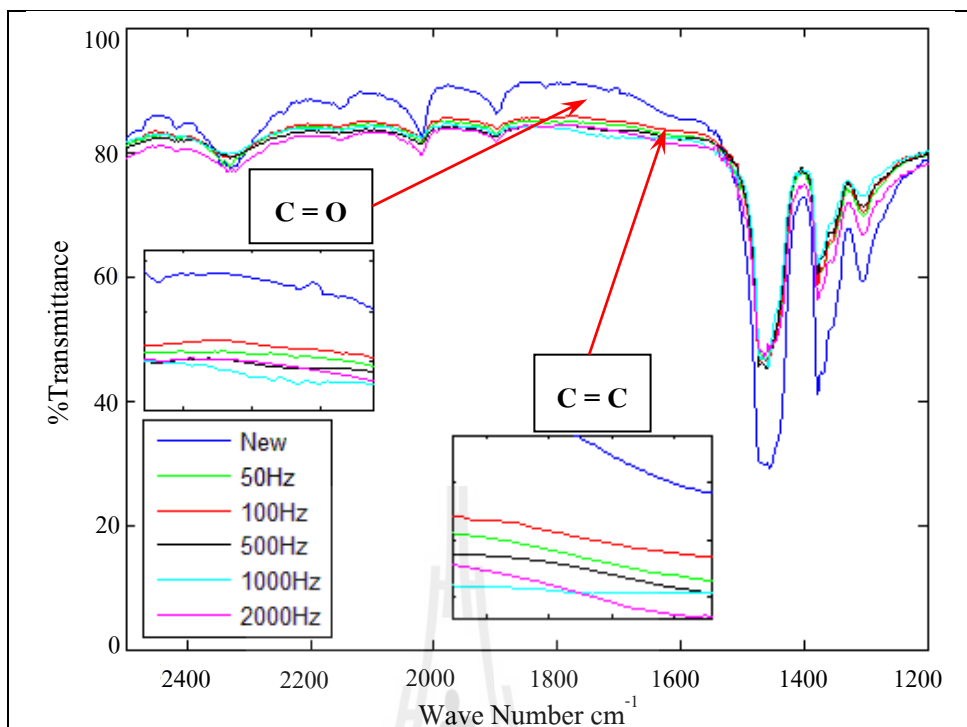
รูปที่ 6.56 FTIR spectrum ของจันวน XLPE ที่อุณหภูมิ 25°C รูปคลื่นแรงดันสามเหลี่ยม



รูปที่ 6.57 FTIR spectrum ของ xnwn XLPE ที่อุณหภูมิ  $60^{\circ}\text{C}$  รูปคลื่นแรงดันสามเหลี่ยม

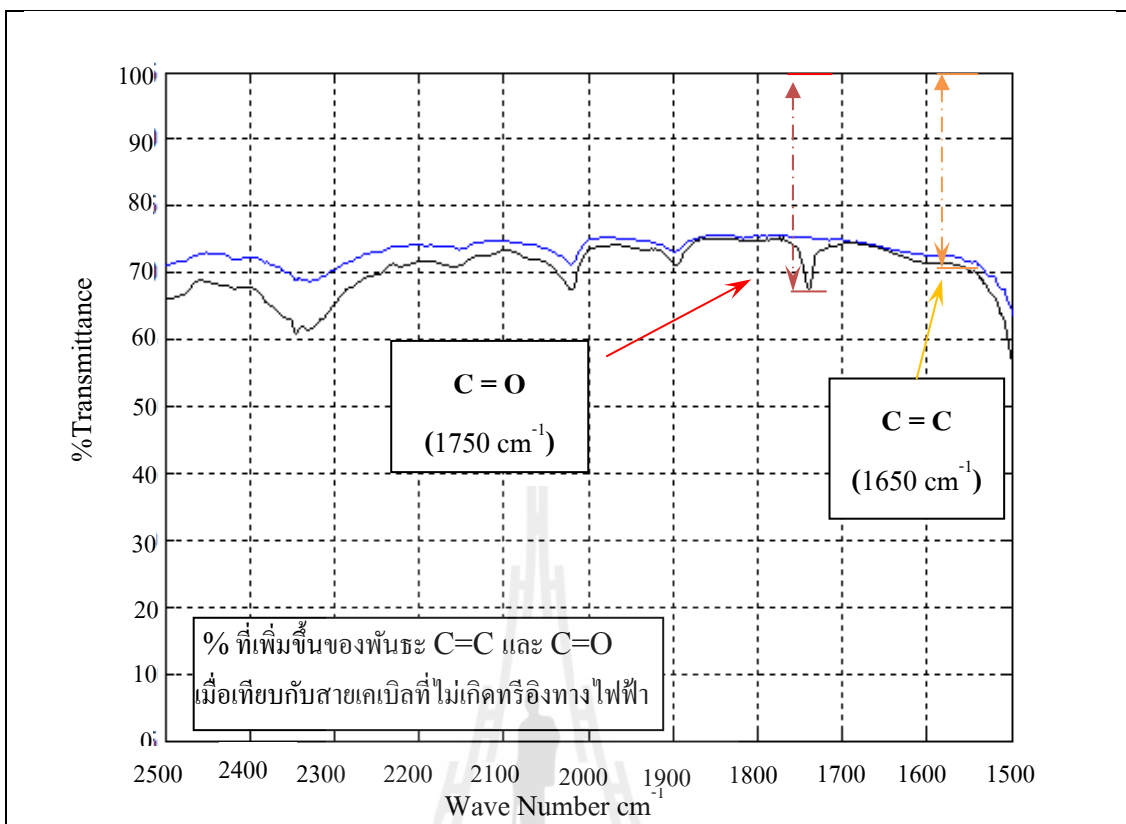


รูปที่ 5.58 FTIR spectrum ของ xnwn XLPE ที่อุณหภูมิ  $75^{\circ}\text{C}$  รูปคลื่นแรงดันสามเหลี่ยม



รูปที่ 6.59 FTIR spectrum ของอนุวัต XLPE ที่อุณหภูมิ 90°C รูปคลื่นแรงดันสามเหลี่ยม

จากรูปการวิเคราะห์โครงสร้างทางเคมีของอนุวัต XLPE ที่ผ่านการทดสอบ  
ทริอิงทางไฟฟ้าด้วยเครื่อง FTIR เห็นได้ว่าพันธะ C=C และ C=O อันเกิดจากการเผาไหม้  
และการเกิดออกซิเดชันของเนื้ออนุวัตมีขนาดเพิ่มขึ้นตามอุณหภูมิที่ใช้ในการทดสอบและขนาด  
ความเครียดสนา�ไฟฟ้าที่ใช้ในการทดสอบซึ่งตรงกับความเป็นจริง ผู้วิจัยได้ทำการเปรียบเทียบ  
ขนาดของพันธะ C=C และ C=O ที่เพิ่มขึ้นหลังจากการศึกษาวิจัยทริอิงทางไฟฟ้าคิดเป็นเปอร์เซ็นต์  
เปรียบเทียบระหว่างตำแหน่งที่เกิดทริอิงทางไฟฟ้าและอนุวัตสายเคเบิลใหม่ไว้ในตารางที่ 6.5  
ตัวอย่างการวิเคราะห์โครงสร้างทางเคมีของอนุวัตแสดงดังรูปที่ 6.60



รูปที่ 6.60 พันธะของ C=C และ C=O ที่เพิ่มขึ้นหลังจากเกิดทรีอิงทางไฟฟ้า

ตารางที่ 6.5 อัตราส่วนที่เพิ่มขึ้นของพันธะระหว่าง C=C และ C=O ในตำแหน่งที่เกิดทรีอิงทางไฟฟ้าคิดเทียบเป็นเปอร์เซ็นต์ กับสายเคเบิลใหม่

รูปคลื่นสัญญาณ	อุณหภูมิทดสอบ (°C)	ความถี่ของ แรงดัน (Hz)	อัตราส่วนที่ เพิ่มขึ้นของ C=C	อัตราส่วนที่เพิ่มขึ้น ของ C=O
Sine wave	25	50	38.71%	62.12%
		100	41.93%	73.91%
		500	35.48%	65.21%
		1,000	29.03%	56.52%
		2,000	35.48%	73.91%
Sine wave	60	50	47.32%	81.43%
		100	46.12%	76.39%
		500	48.38%	73.10%
		1,000	45.16%	71.30%
		2,000	45.16%	75.54%

ตารางที่ 6.5 แสดงค่าอัตราส่วนที่เพิ่มขึ้นของพันธะระหว่าง C=C และ C=O ในตำแหน่งที่เกิดทริโองทางไฟฟ้าคิดเห็นเปอร์เซ็นต์ กับสายเคเบิลใหม่ (ต่อ)

รูปคลื่นสัญญาณ	อุณหภูมิทดสอบ (°C)	ความถี่ของ แรงดัน (Hz)	อัตราส่วนที่ เพิ่มขึ้นของ C=C	อัตราส่วนที่เพิ่มขึ้น ของ C=O
Sine wave	75	50	49.56%	67.21%
		100	40.66%	65.21%
		500	47.98%	66.56%
		1,000	25.54%	45.32%
		2,000	45.23%	65.86%
Sine wave	90	50	29.03%	60.87%
		100	22.58%	52.17%
		500	35.48%	69.57 %
		1,000	25.80%	43.47%
		2,000	38.71%	73.91%
Triangle wave	25	50	16.12%	43.48%
		100	25.8%	52.17%
		500	25.8%	52.17%
		1,000	41.94%	82.6%
		2,000	35.48%	60.87%
Triangle wave	60	50	22.58%	47.83%
		100	19.35%	39.13%
		500	25.8%	56.52%
		1,000	54.84%	91.30%
		2,000	61.30%	98.00%
Triangle wave	75	50	38.70%	73.91%
		100	38.70%	69.56%
		500	38.70%	69.56%
		1,000	38.70%	69.56%
		2,000	38.70%	73.91%

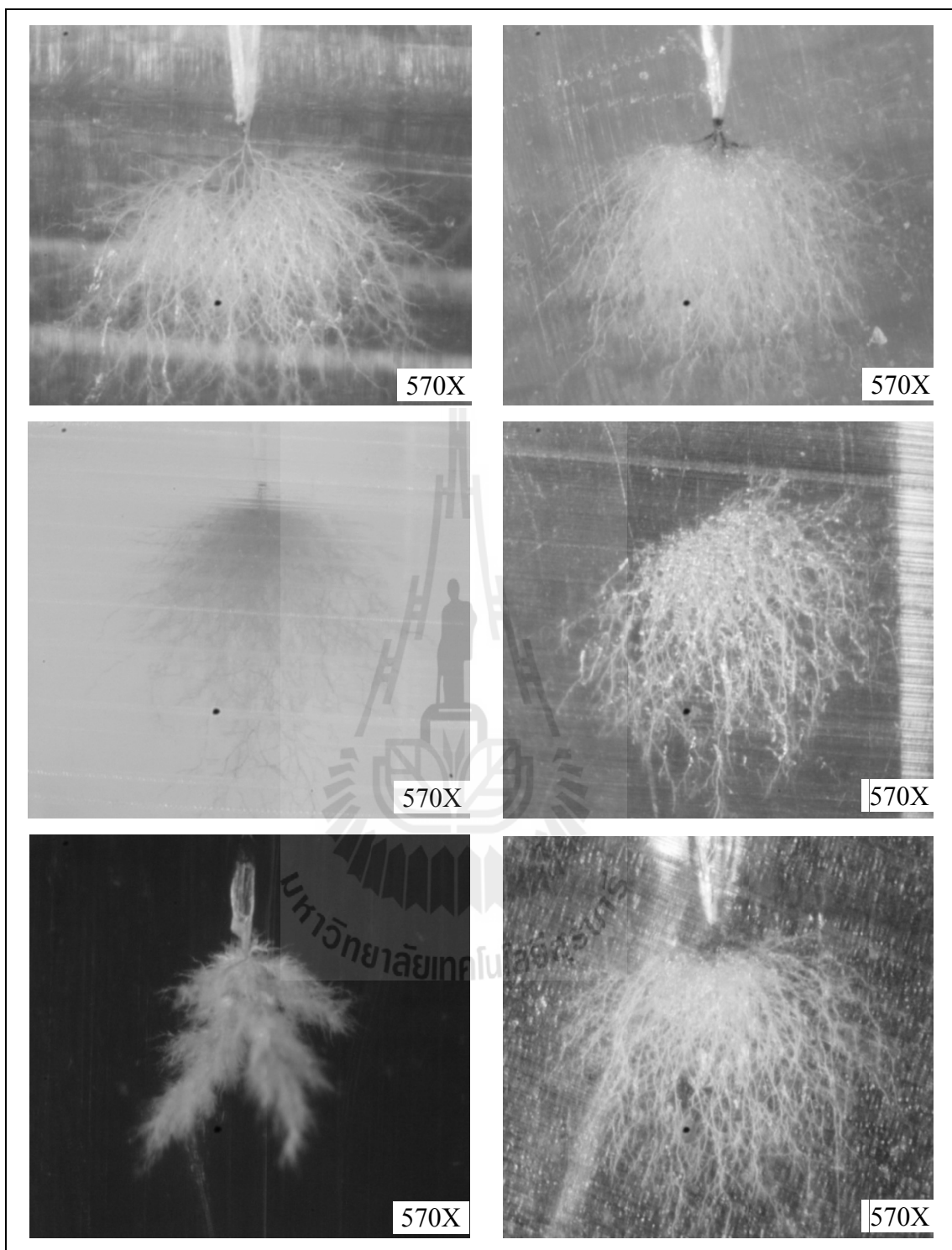
ตารางที่ 6.5 แสดงค่าอัตราส่วนที่เพิ่มขึ้นของพันธะระหว่าง C=C และ C=O ในตำแหน่งที่เกิดทรีอิงทางไฟฟ้าคิดเทียบเป็นเปอร์เซ็นต์ กับสายเคเบิลใหม่ (ต่อ)

รูปคลื่นสัญญาณ	อุณหภูมิทดสอบ (°C)	ความถี่ของ แรงดัน (Hz)	อัตราส่วนที่ เพิ่มขึ้นของ C=C	อัตราส่วนที่เพิ่มขึ้น ของ C=O
Triangle wave	90	50	35.48%	69.56%
		100	29.03%	56.52%
		500	35.48%	73.91%
		1,000	45.16%	86.95%
		2,000	45.16%	73.91%

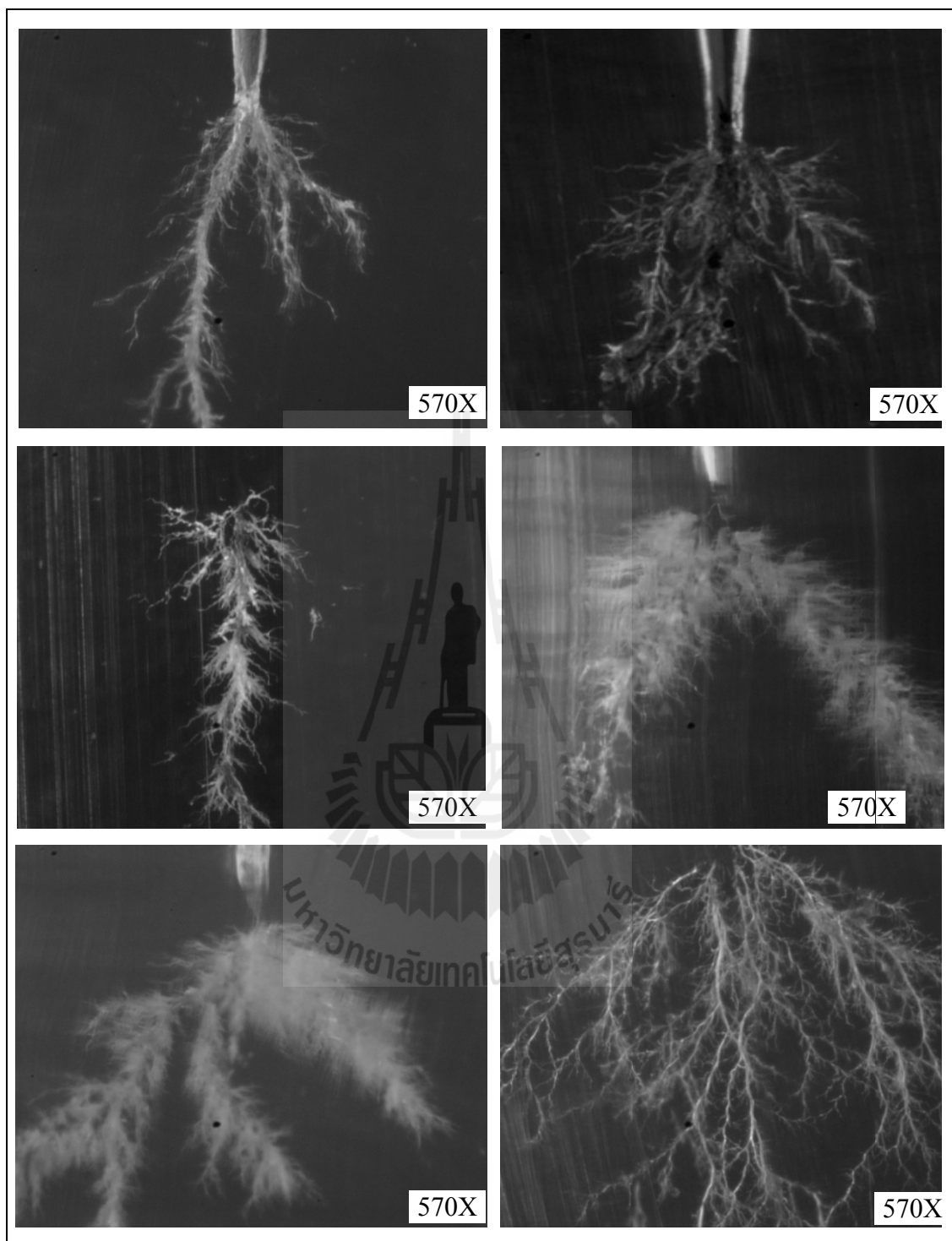
การเพิ่มขึ้นของพันธะ C=C และ C=O ในสายเคเบิลชนวน XLPE ในตำแหน่งที่เกิดทรีอิงทางไฟฟ้า เป็นเครื่องยืนยันถึงการเสื่อมอายุของชนวนที่เกิดทรีอิงทางไฟฟ้าโดยจะขึ้นอยู่กับความถี่ของแรงดันในการศึกษาวิจัย อุณหภูมิที่ใช้และสัญญาณรูปคลื่นแรงดันที่ใช้ในการศึกษาวิจัย

## 6.5 การตรวจสอบโครงสร้างกายภาพของชนวน XLPE ภายหลังจากการศึกษาวิจัยทรีอิงทางไฟฟ้า

การตรวจสอบโครงสร้างทางกายภาพของชนวน XLPE เป็นการพิสูจน์และยืนยันถึงการเปลี่ยนแปลงของโครงสร้างทางกายภาพของชนวน XLPE ที่เกิดทรีอิงทางไฟฟ้า การตรวจสอบโครงสร้างทางกายภาพของเนื้อชนวน XLPE หลังการศึกษาวิจัยทรีอิงทางไฟฟ้าจะใช้กล้องจุลทรรศน์ OLYMPUS รุ่น SZX9 ในการตรวจสอบลักษณะของทรีอิงทางไฟฟ้าภายหลังจากการตรวจสอบด้วยกล้องจุลทรรศน์แบ่งได้ 2 รูปแบบคือ ทรีอิงแบบพุ่มแสดงในรูปที่ 6.65 และทรีอิงแบบกิ่งแสดงในรูปที่ 6.66



รูปที่ 6.65 โครงสร้างทางกายภาพของฉนวน XLPE เกิดทรีอิงทางไฟฟ้าแบบคล้ายพุ่ม



รูปที่ 6.66 โครงสร้างทางกายภาพของฉนวน XLPE เกิดทริอิงทางไฟฟ้าแบบคล้ายกัน

## 6.6 สรุป

เนื้อหาในบทที่ 6 ได้กล่าวถึงลักษณะรูปแบบของทรีอิงทางไฟฟ้าที่เกิดขึ้นในเนื้อจวน XLPE กระบวนการวิเคราะห์โครงสร้างทางเคมีและโครงสร้างทางกายภาพของจวน XLPE เพื่อพิสูจน์และยืนยันความถูกต้องของข้อมูลที่ได้จากการศึกษาวิจัยทรีอิงทางไฟฟ้าในจวน XLPE ซึ่งสามารถอธิบายปัจจัยที่มีผลต่อรูปแบบของทรีอิงทางไฟฟ้า โครงสร้างทางเคมีและโครงสร้างทางกายภาพของจวน XLPE ได้ดังนี้

ลักษณะของทรีอิงทางไฟฟ้าที่เกิดขึ้นภายในเนื้อจวน XLPE เมื่อให้แรงดันคงที่ อัตราการเกิดและขยายตัวของทรีอิงทางไฟฟ้าขึ้นอยู่กับความถี่ของแรงดันไฟฟ้า โดยที่ความถี่ต่ออัตราการเกิดและขยายตัวของทรีอิงทางไฟฟ้าก็จะต่ำ ลักษณะรูปแบบของทรีอิงที่เกิดขึ้นจะเป็นแบบคล้ายกับพุ่มไม้ และเมื่อความถี่ของแรงดันไฟฟ้าสูงขึ้นอัตราขยายตัวของทรีอิงทางไฟฟ้าก็จะสูงขึ้นตามไปด้วยและรูปแบบของทรีอิงจะมีลักษณะคล้ายกับการแตกกิ่งก้านของต้นไม้เมื่อพิจารณาผลของอุณหภูมิขณะทำการทดสอบ พบว่าที่อุณหภูมิสูงขึ้นอัตราการขยายตัวของทรีอิงทางไฟฟ้าก็จะสูงขึ้นตามไปด้วย และเมื่อพิจารณาผลของสัญญาณรูปคลื่นแรงดันพบว่า รูปคลื่นแรงดันไซน์ และรูปคลื่นไซน์แรงดันสามเหลี่ยมล่างผลต่อลักษณะและรูปแบบการเกิดของทรีอิงทางไฟฟ้าคือ รูปคลื่นไซน์ที่ความถี่ต่ำ ( $50\text{Hz}$   $100\text{Hz}$ ) ทรีอิงทางไฟฟ้าที่เกิดขึ้นมีการขยายตัวอย่างช้า ๆ มีลักษณะคล้ายพุ่มไม้ มีการแตกกิ่งก้านสาขาน้อย แตกต่างกับทรีอิงทางไฟฟ้าที่เกิดจากสัญญาณรูปคลื่นสามเหลี่ยม จะเกิดขึ้นและขยายตัวอย่างรวดเร็ว มีการแตกกิ่งก้านสาขามาก หากไม่หยุดการจ่ายแรงดันอาจจะเกิดเบรกดาวน์ในเนื้อจวน และที่ความถี่สูง ( $500\text{Hz}$   $1000\text{Hz}$  และ  $2000\text{Hz}$ ) สัญญาณรูปคลื่นไซน์ ทรีอิงทางไฟฟ้าที่เกิดขึ้นจะมีลักษณะการขยายตัวอย่างรวดเร็ว มีการแตกกิ่งก้านสาขามาก แต่ในทางกลับกันสัญญาณรูปคลื่นสามเหลี่ยมทรีอิงทางไฟฟ้าที่เกิดขึ้นจะมีลักษณะการขยายตัวอย่างช้า ๆ คล้ายพุ่มไม้

โครงสร้างทางเคมีของจวน XLPE จะทำการวิเคราะห์ด้วยเครื่อง FTIR โดยให้ผลวิเคราะห์ออกมาเป็นรูปแบบกราฟ และนำค่าจากกราฟมาทำการคำนวณการเพิ่มขึ้นของพันธะ  $\text{C}=\text{C}$  และ  $\text{C}=\text{O}$  แสดงในตารางที่ 6.5 ซึ่งเป็นการแสดงการเพิ่มขึ้นเป็นเปอร์เซ็นต์ ผลการวิเคราะห์โครงสร้างทางเคมีของจวน XLPE ที่เกิดทรีอิงทางไฟฟ้าในเนื้อจวน XLPE สามารถสรุปตามลักษณะและรูปแบบของทรีอิงทางไฟฟ้าที่เกิดขึ้นในเนื้อจวน XLPE ได้ว่าทรีอิงทางไฟฟ้าแบบคล้ายพุ่มไม้เปอร์เซ็นต์การเพิ่มขึ้นของพันธะ  $\text{C}=\text{C}$  และ  $\text{C}=\text{O}$  มากกว่าทรีอิงทางไฟฟ้าแบบคล้ายกิ่ง อย่างไรก็ตามผลการตรวจสอบโครงสร้างทางเคมีของจวนอาจคาดเคลื่อนเนื่องจากในการนำสายเคเบิลไปทำการตรวจสอบต้องตัดให้มีขนาด  $60 \mu\text{m}$  ซึ่งจะทำให้แสงอินฟราเรดทะลุผ่านได้ง่าย การตัดสายเคเบิลที่เกิดทรีอิงทางไฟฟ้าขึ้นจะทำให้ทรีอิงทางไฟฟ้าที่เกิดขึ้นถูกตัดแบ่งออกเป็นหลาย

ส่วนเนื้องจากการเกิดทริอิงทางไฟฟ้าภายในเนื้อชนวนจะเกิดขึ้นในรูปแบบสามมิติ เมื่อถูกตัดแบ่งเป็นหลายส่วนแล้วนำไปทำการตรวจสอบด้วยเทคนิค FTIR อาจทำให้ผลที่ได้คลาดเคลื่อนไปจากความเป็นจริง

โกรงสร้างทางกายภาพของชนวน XLPE ทำการวิเคราะห์ผลด้วยกล้องจุลทรรศน์ ใช้ทำการตรวจสอบพื้นผิวทางกายภาพของเนื้อชนวน XLPE ในบริเวณที่เกิดทริอิงทางไฟฟ้า พบว่าในตำแหน่งที่เกิดทริอิงทางไฟฟ้าในเนื้อชนวนจะมีลักษณะเป็นช่องว่างขนาดเล็ก บรรอยใหม่สีดำ รอบ ๆ ช่องว่างนั้น ซึ่งเกิดจากการดีษาร์จบางส่วนเป็นเวลานานติดต่อกันเป็นสาเหตุให้โกรงสร้างทางกายภาพของชนวนถูกทำลายลง และทำให้ชนวนหมดคุณสมบัติในการเป็นชนวน



## บทที่ 7

### สรุปและข้อเสนอแนะ

#### 7.1 สรุป

งานวิจัยวิทยานิพนธ์นี้เกี่ยวข้องกับการศึกษาทรีอิงทาง ไฟฟ้าในสายเคเบิลแรงสูงจำนวน XLPE สำหรับระบบจำหน่าย 22 kV ด้วยการศึกษาวิจัยภายใต้สภาพความเครียดทางแรงดันความเครียดทางความร้อน เพื่อจะทราบถึงปัจจัยการเกิด การขยายตัว และลักษณะรูปแบบของทรีอิงทางไฟฟ้าที่เกิดขึ้นในจำนวน XLPE พร้อมทั้งวิเคราะห์โครงสร้างทางกายภาพด้วยกล้องจุลทรรศน์ stereomicroscope และวิเคราะห์โครงสร้างทางเคมีด้วยวิธี FTIR เพื่อเป็นข้อมูลสำหรับใช้ในการปรับปรุงจำนวนพอลิเมอร์ที่นำมาทำเป็นสายเคเบิล ให้มีความคงทนต่อปรากฏการณ์ทรีอิงทางไฟฟ้าที่อาจเกิดขึ้น และเสียงต่อความสูญเสียในระบบส่งจ่ายกำลังไฟฟ้า การดำเนินงานวิจัยวิทยานิพนธ์ดังกล่าวเนี้ยได้สำเร็จถูกต้องตามวัตถุประสงค์ โดยสามารถสรุปผลการดำเนินงานวิจัยและพัฒนาทางวิศวกรรมเป็นข้อสรุปได้ดังต่อไปนี้

บทที่ 1 ได้นำเสนอความสำคัญและที่มาของปัญหา โดยกล่าวถึงความสำคัญของการเกิดทรีอิงทางไฟฟ้าในจำนวนสายเคเบิล ซึ่งเป็นการเสื่อมอายุในสายเคเบิลระบบส่งจ่ายกำลังไฟฟ้านิดหนึ่งที่มีความสำคัญต่อระบบจำนวนของสายเคเบิลจำนวน XLPE เนื่องจากในปัจจุบันมีการศึกษาวิจัยเกี่ยวกับปรากฏการณ์ทรีอิงทั้งแบบทรีอิงทางไฟฟ้าและแบบทรีอิงจากน้ำก้อนอย่างแพร่หลายทั่วโลก โดยมีจุดมุ่งหมายเพื่อศึกษาถึงสาเหตุของการเกิดปรากฏการณ์ดังกล่าว เพื่อหาวิธีในการป้องกันหรือแก้ไข หลีกเลี่ยงความผิดพลาดต่าง ๆ ที่จะตามมาในภายหลังซึ่งอาจจะส่งผลกระทบแรงต่อระบบส่งจ่ายกำลังไฟฟ้าและอาจจะส่งผลไปยังความเชื่อมั่นของระบบต่าง ๆ ภายในประเทศอีกด้วย ซึ่งงานวิจัยต่าง ๆ เกี่ยวกับปรากฏการณ์ทรีอิงได้นำเสนอไว้ในบทที่ 2

บทที่ 3 เป็นการนำเสนอทฤษฎีและสมมติฐานที่เกี่ยวข้องกับสายเคเบิลไฟฟ้า คุณสมบัติของตัวนำ และคุณสมบัติของจำนวน XLPE โดยกล่าวถึงวิัฒนาการของสายเคเบิลตั้งแต่อดีตจนถึงปัจจุบัน โครงสร้างส่วนสำคัญต่าง ๆ ของสายเคเบิล และอธิบายข้อดีและข้อเสียของจำนวนต่าง ๆ ที่ใช้ในสายเคเบิล คุณสมบัติของพอลิเมอร์ชนิดต่าง ๆ ที่นำมาทำเป็นจำนวน รวมไปถึงการเสื่อมอายุของสายเคเบิลในกรณีต่าง ๆ เช่น การเสื่อมอายุจากปรากฏการณ์ทรีอิงจากน้ำ ปรากฏการณ์ทรีอิงทางไฟฟ้า เพื่อให้เข้าใจถึงโครงสร้างของสายเคเบิลอย่างละเอียด การใช้งานอย่างถูกวิธี

บทที่ 4 กล่าวถึงการออกแบบชุดศึกษาวิจัยที่อิงทางไฟฟ้าในสายเคเบิลชนวน XLPE การสร้างชุดศึกษาวิจัยตามที่ออกแบบไว้โดยอธิบายถึงองค์ประกอบต่าง ๆ ของชุดศึกษาวิจัยอย่างละเอียด การเตรียมวัสดุในการวิจัยได้แก่ สายเคเบิลชนวน XLPE การตัดสายเคเบิล การอบสายเคเบิลเพื่อไม่ความชื้นที่เกิดขึ้นจากการตัดสายเคเบิล การเตรียมการวิจัย การจัดเก็บตัวอย่างสายเคเบิลที่จะนำมาวิจัย และการศึกษาวิจัยที่อิงทางไฟฟ้าในสายเคเบิลชนวน XLPE จะใช้การจำลองสภาวะพหุความเครียด คือ ความเครียดทางไฟฟ้า และความเครียดทางความร้อน เพื่อศึกษาวิจัยที่อิงทางไฟฟ้าและเปรียบเทียบลักษณะรูปแบบของที่อิงทางไฟฟ้าที่เกิดขึ้นจากการจำลองสภาวะต่าง ๆ ใน การวิจัยจะใช้พิกัดแรงดัน 8 kV คงที่ตลอดการวิจัย ใช้รูปคลื่นสัญญาณไซน์และรูปคลื่นสัญญาณสามเหลี่ยมในการวิจัย ใช้ความถี่ของแรงดันไฟฟ้าตั้งแต่ 50 Hz 100 Hz 500 Hz 1000 Hz และ 2000 Hz ตามลำดับ ใช้อุณหภูมิ 25°C 60°C 75°C และ 90°C ตามลำดับ จากนั้นจึงนำผลการศึกษาและวิจัยไปทำการวิเคราะห์โครงสร้างทางกายภาพและโครงสร้างทางเคมีของชนวน XLPE ในบทที่ 5 ต่อไป

บทที่ 5 เป็นการนำเสนอผลการศึกษาและวิจัยที่อิงทางไฟฟ้าในสายเคเบิลชนวน XLPE ตามสภาวะที่ทำการจำลองความเครียดต่าง ๆ เพื่อศึกษารูปแบบของที่อิงทางไฟฟ้าที่เกิดขึ้นในชนวน XLPE สามารถแบ่งตามลักษณะการเกิดได้ 2 แบบคือ ที่อิงทางไฟฟ้าแบบพุ่มและที่อิงทางไฟฟ้าแบบกิ่ง โดยแบ่งการศึกษาออกเป็น 3 รูปแบบได้แก่ ศึกษาผลของความถี่แรงดันที่มีผลต่อการเกิดที่อิงทางไฟฟ้าในชนวน XLPE ศึกษาผลของอุณหภูมิที่มีผลต่อการเกิดที่อิงทางไฟฟ้า ศึกษาผลของสัญญาณรูปคลื่นแรงดันที่มีผลต่อการเกิดที่อิงทางไฟฟ้า

1) ศึกษาผลของความถี่แรงดันที่มีต่อการเกิดที่อิงทางไฟฟ้า การขยายตัวของที่อิงทางไฟฟ้านั้นขึ้นอยู่กับความถี่ของแรงดันที่ใช้ โดยที่ความถี่สูงขึ้นอัตราการเกิดและขยายตัวของที่อิงทางไฟฟ้าจะสูงขึ้นตามไปด้วย

2) ศึกษาผลของอุณหภูมิที่มีผลต่อการเกิดที่อิงทางไฟฟ้า การขยายตัวของที่อิงทางไฟฟ้านั้นขึ้นอยู่กับอุณหภูมิที่ใช้ โดยที่อุณหภูมิสูงขึ้นอัตราการเกิดและขยายตัวของที่อิงทางไฟฟ้าจะสูงขึ้นตามไปด้วย อย่างไรก็ตาม แม้ว่าความร้อนส่งผลให้ที่อิงทางไฟฟ้ามีการเกิดและขยายตัวเร็วขึ้นแต่ในช่วงความถี่ของแรงดันไฟฟ้าต่ำ (50Hz 100Hz) ความร้อนก็ยังไม่สามารถทำให้ที่อิงทางไฟฟ้ายายตัวออกไปจนกระทั่งเกิดเบรกดาวน์ในชนวนสายเคเบิล XLPE ได้ เพียงแต่ทำให้กั่งของที่อิงทางไฟฟ้ามีขนาดใหญ่ขึ้นและเมื่อถูกดึงด้วยกล้องจุลทรรศน์สเตอริโอพบว่า สีของที่อิงทางไฟฟ้านั้นเข้มมากขึ้น

3) ศึกษาผลของสัญญาณรูปคลื่นแรงดันที่มีผลต่อการเกิดที่อิงทางไฟฟ้าลักษณะของที่อิงทางไฟฟ้าที่ได้จากการใช้สัญญาณไซน์และสามเหลี่ยมมีความแตกต่างกันคือ รูปคลื่นไซน์ที่ความถี่ต่ำ (50Hz 100Hz) เกิดที่อิงทางไฟฟ้าแบบพุ่มแตกต่างกับที่อิงทางไฟฟ้าที่เกิดจาก

สัญญาณรูปคลื่นสามเหลี่ยมเกิดที่อิงทางไฟฟ้าแบบกิ่ง และสัญญาณรูปคลื่นไอน์ที่ความถี่สูง (500Hz 1000Hz และ 2000Hz) ที่อิงที่เกิดขึ้นคือ ที่อิงทางไฟฟ้าแบบกิ่ง แต่ในทางกลับกัน สัญญาณรูปคลื่นสามเหลี่ยมที่อิงทางไฟฟ้าที่เกิดขึ้นจะมีลักษณะการขยายตัวอย่างช้าๆ (ที่อิงแบบพุ่ม) อย่างไรก็ตาม เมื่อทดสอบที่อุณหภูมิสูงขึ้น ( $60^{\circ}\text{C}$   $75^{\circ}\text{C}$  และ  $90^{\circ}\text{C}$ ) ปัจจัยจากอุณหภูมิจะส่งผลต่อการเกิดและการขยายตัวของที่อิงทางไฟฟ้าโดยที่อิงที่เกิดขึ้นจะมีลักษณะเป็นที่อิงแบบกิ่งคือ มีการขยายตัวอย่างรวดเร็ว และอาจเกิดเบรกดาวน์ได้

การตรวจสอบโครงสร้างทางกายภาพของอนวน XLPE เป็นการพิสูจน์และยืนยันถึงการเปลี่ยนแปลงของโครงสร้างทางกายภาพของอนวน XLPE ที่เกิดที่อิงทางไฟฟ้า การตรวจสอบโครงสร้างทางกายภาพของเนื้ออนวน XLPE หลังการศึกษาวิจัยที่อิงทางไฟฟ้าจะใช้กล้องจุลทรรศน์ OLYMPUS รุ่น SZX9 ในการตรวจสอบโครงสร้างของที่อิงทางไฟฟ้าแบบพุ่มจะมีการเกิดกระบุกตัวอยู่บริเวณปลายอิเล็กโทรด สีของที่อิงที่เกิดขึ้นจะเข้มบริเวณปลายอิเล็กโทรดและสีจะอ่อนลงเมื่อมีระยะห่างจากปลายอิเล็กโทรดมากขึ้นเรื่อยๆ โครงสร้างทางไฟฟ้าแบบกิ่งจะมีการเกิดและกระจายตัวมากกว่าที่อิงทางไฟฟ้าแบบพุ่ม ขนาดของที่อิงแบบกิ่งมีขนาดใหญ่กว่าที่อิงแบบพุ่ม

การตรวจสอบโครงสร้างทางเคมีของอนวน XLPE ที่ผ่านการทดสอบที่อิงทางไฟฟ้า ปราศจากพันธะ  $\text{C}=\text{C}$  และพันธะ  $\text{C}=\text{O}$  ขึ้น อันเนื่องมาจากการเผาไหม้ และการเกิดปฏิกิริยาออกซิเดชันของเนื้ออนวน XLPE การเกิดที่อิงทางไฟฟ้าในเนื้ออนวนเคลเบิล XLPE และการเกิดการเผาไหม้ในอนวน XLPE ชี้งบปริมาณการเกิดกระบวนการทั้งสองนี้สามารถบ่งชี้การเสื่อมอายุของอนวน XLPE ได้ ลักษณะและรูปแบบของที่อิงทางไฟฟ้าที่เกิดขึ้นในเนื้ออนวน XLPE ที่อิงทางไฟฟ้าแบบพุ่มมีเปอร์เซ็นต์การเพิ่มขึ้นของพันธะ  $\text{C}=\text{C}$  และ  $\text{C}=\text{O}$  มากกว่าที่อิงทางไฟฟ้าแบบกิ่งอย่างไรก็ตาม การตรวจสอบโครงสร้างทางเคมีอาจมีความคลาดเคลื่อนเนื่องจากรูปแบบและการกระจายตัวของที่อิงทางไฟฟ้าที่เกิดขึ้นในเนื้ออนวนมีความแตกต่างกัน เช่น ที่อิงทางไฟฟ้าแบบพุ่มมีการกระจายตัวที่สม่ำเสมออยู่ในบริเวณเดียวกัน แต่ที่อิงทางไฟฟ้าแบบกิ่งมีการกระจายตัวไม่สม่ำเสมอ ดังนั้น เมื่อนำมาตรวจสอบโครงสร้างทางเคมีเพื่อเปรียบเทียบผลการเสื่อมอายุของที่อิงทั้งสองแบบผลที่ได้อาจมีความคลาดเคลื่อนออกไปจากความเป็นจริง เมื่อเทียบกับผลการตรวจสอบโครงสร้างทางกายภาพของที่อิงทางไฟฟ้าทั้งสองแบบ พบว่าที่อิงทางไฟฟ้าแบบกิ่งมีร่องรอยการเผาไหม้ที่รุนแรงชัดเจนจนทำให้จำนวนเกิดเป็นช่องว่างขนาดใหญ่กระจายตัวออกไปมากเมื่อเปรียบเทียบกับที่อิงทางไฟฟ้าแบบพุ่มที่ม่องเห็นรอยไหม้ของอนวนไม่ชัดเจน เห็นแต่เพียงรอยช่องว่างขนาดเล็กและกระจายตัวกันอยู่เท่านั้น

บทที่ 6 เป็นการนำเสนอการจำลองสนามไฟฟ้าในการศึกษาวิจัยที่อิงทางไฟฟ้าด้วย PDE Toolbox ใน MATLAB เพื่ออธิบายการเริ่มเกิดและการขยายตัวของที่อิงทางไฟฟ้า และยังเป็น

การตรวจสอบความถูกต้องเหมาะสมของกระบวนการกำหนดระยะเวลาห่างของอิเล็กโทรคลา yal แหลมกับ  
ระยะนับ และแรงดันไฟฟ้าที่จ่ายให้กับจำนวน XLPE ใน การศึกษาวิจัยทริอิงทางไฟฟ้า สนามไฟฟ้า  
สูงสุดในการศึกษาวิจัยทริอิงทางไฟฟ้าควรอยู่ระหว่าง สนามไฟฟ้าสูงสุดของสายเคเบิลในการใช้  
งานจริงกับ ค่าคงที่  $E_{\text{max}} < E_{\text{in}} < E_c$

จากการดำเนินงานวิจัยวิทยานิพนธ์ที่ผ่านมา มีข้อแนะนำในการดำเนินวิจัยวิทยานิพนธ์ดังนี้

1. การทำการทดสอบในห้องที่ไม่มีผลกระทบจากอุณหภูมิกาย nok เช่น ห้องปรับอากาศ  
เพื่อการควบคุมอุณหภูมิให้คงที่ตลอดการศึกษาวิจัย
2. เมื่อทำการตัดและอบสายเคเบิลจำนวนแล้ว ควรเก็บในกล่องสุญญากาศ และใส่  
ชิลลิเกจเพื่อป้องกันความชื้นออกจากจำนวน เพื่อป้องกันความชื้นและทำให้ผลการศึกษาวิจัย  
คลาดเคลื่อนได้

## 7.2 ข้อเสนอแนะ

จากการดำเนินงานวิจัยวิทยานิพนธ์ที่ผ่านมาและผลที่ได้ทำให้เกิดแนวคิดและข้อเสนอแนะ  
ในการดำเนินงานวิจัยต่อไปในอนาคต ดังต่อไปนี้

- 1) ความหนาของชิ้นงานมีผลต่อตรวจสอบโครงสร้างทางเคมีอย่างมาก ควรตัดชิ้นงานด้วย  
เครื่องตัดที่มีความแม่นยำของขนาดสูงและทำการวัดขนาดความหนาของชิ้นงาน จะทำให้ผลที่ได้  
ใกล้เคียงกับค่าความเป็นจริงมากที่สุด
- 2) ในการตรวจสอบโครงสร้างทางเคมีของจำนวนด้วยเครื่อง FTIR การทำการระบุตำแหน่ง  
ที่ตรวจสอบให้มีความแน่นอนและครอบคลุมทั้งบริเวณที่เกิดทริอิงทางไฟฟ้าในชิ้นงานนั้น ๆ และ  
ทำการหาค่าเฉลี่ยเพื่อให้มีความถูกต้องเที่ยงตรงมากที่สุด
- 3) จำลองการเกิดทริอิงทางไฟฟ้าในจำนวน XLPE เพื่อเปรียบเทียบการเกิดทริอิงทางไฟฟ้า  
ในการศึกษาวิจัยทริอิงทางไฟฟ้า เพื่อตรวจสอบความถูกต้องของลักษณะรูปแบบการเกิดของ  
ทริอิงทางไฟฟ้า

## รายการอ้างอิง

สำราญ สังข์สะอาด. (2547). วิศวกรรมไฟฟ้าแรงสูง (ฉบับปรับปรุง).

สำนักงานมาตรฐานผลิตภัณฑ์อุตสาหกรรม กระทรวงอุตสาหกรรม **Thai Industrial Standard ICS 29.060.20** มอก. 2202 2547

อรรถพล ตะระ. (2551). คุณสมบัติและการทดสอบวัสดุ

Andrew, J., and Peacock, (2000). **Handbook of polymer**

AL-Hamouz, "Electrical Diagnostic Techniques to Assess Water Trees in Extruded Underground Power Cables", **8<sup>th</sup> Annual IEEE Technical Exchange Meeting**.

Boggs, S., and Mashikian, M.S. (2002). Role of Semiconducting Compounds in Water Treeing of XLPE Cable Insulation. **IEEE Electrical Insulation Magazine**. 6(20): 1-5.

Boggs, S., and Xu, J., (2001). Water treeing-Filled versus Unfilled Cable Insulation. **IEEE Electrical Insulation Magazine**. 17(1): 23-29.

Chan, J.C., and Cometa, E.T. (1992). Electrical aging performance of tree retardant XLPE versus standard XLPE as insulation for distribution cables. **IEEE Trans. on Power Delivery**. 7(2): 642–648.

Gulmine, J.V., and Akcelrud, L. (2006). **FTIR characterization of aged XLPE**. Polymer testing 25: 932-942.

Jailani, M.F.B.M. (2010). **Degradation of polymeric power cable due to water tree under AC voltage**. Thesis University Technology Malaysia.

Kim, D.H., and Park, E.J. (1998). An investigation of influence of semiconductive electrode materials in breakdown and charge accumulation in XLPE. In **Proceeding of IEEE Conference Electrical Insulation Dielectrics and Phenomena** (pp.546–549).

Miyashita, T. (1969). Deterioration of water-immersed polyethylene coated wire by treeing. In **Proceeding of IEEE-NEMS Electrical Insulation Conference** (pp. 131–135).

Moore, G.F. (1997). **Electric Cables Handbook.**, 3<sup>rd</sup> edition.

Orton, H., and Hartlein, R. (2006). Long Life XLPE Insulated Power Cables. **7<sup>th</sup> International Conference on Insulated Power Cables**.

- Suenaga, K., Uchida, K. and Hozumi, N. (2008). Location of Water Tree Degraded Point Along XLPE Cable Line Using DC Voltage. **International Conference on Condition Monitoring and Diagnosis. Beijing, China.**
- Tawashima, T. and Maki, T. (1991). Study on water treeing retardant XLPE insulations. In **Proceeding of the 3<sup>rd</sup> International Conference on Properties Application Dielectric Materials.** (pp. 222–225). Tokyo, Japan
- Uchida, K., Kato, Y., Nakade, M., Inoue, D., Sakakibara, H. and Tanaka, H. (2001). Estimating the Remaining Life of Water-Treed XLPE Cable by VLF Voltage Withstand Tests. **Furukawa Review**, (20): 65-70.
- Vahedy, V. (2006). Polymer insulated high voltage cables. **IEEE Electrical Insulation Magazine.** 22(3): 13 – 18.
- Xie, A., Zheng, X., Li, S. and Chen G. (2010). Investigations of Electrical Trees in the Inner Layer of XLPE Cable Insulation Using Computer-aided Image Recording Monitoring. **IEEE Transactions on Dielectrics and Electrical Insulation.** 17(3): 685-693.
- Yang, J.J. and Birlasekaran, S. (2005). Characteristic Features of Electrical Treeing in XLPE and PE. **Power Engineering Conference. IPEC 2005. The 7th International.** (pp. 1-34)
- Zheng, X. and Chen, G. (2011). Propagation mechanism of electrical tree in XLPE cable insulation by investigating a double electrical tree structure. **IEEE Transactions On Dielectri and Electrical Insulation.** 15: 800 – 807.



## บทความวิชาการที่ได้รับการตีพิมพ์เผยแพร่

Thiamsri, R., Ruangkajonmathee, N., Marungsri, B., and Oonsivilai, A. (2011) **Effect of Applied Voltage Frequency on Electrical Treeing in 22 kV Cross-link Polyethylene Insulated Cable.** Proc. of World Academy of Science, Engineering and Technology. Vol.60, pp. 376-381.

Ruangkajonmathee, N., Thiamsri, R., and Marungsri, B., (2012) **Space Charge Distribution in 22 kV XLPE Insulated Cable by using Pulse Electroacoustic Measurement Technique.** Proc. of World Academy of Science, Engineering and Technology. Vol.72, pp. 1138-1141.

# Effect of Applied Voltage Frequency on Electrical Treeing in 22 kV Cross-linked Polyethylene Insulated Cable

R. Thiamsri, N. Ruangkajonmathee, A. Oonsivilai and B. Marungsri

**Abstract**—This paper presents the experimental results on effect of applied voltage stress frequency to the occurrence of electrical treeing in 22 kV cross linked polyethylene (XLPE) insulated cable. Hollow disk of XLPE insulating material with thickness 5 mm taken from unused high voltage cable was used as the specimen in this study. Stainless steel needle was inserted gradually into the specimen to give a tip to earth plane electrode separation of  $2.5 \pm 0.2$  mm at elevated temperature 105–110°C. The specimen was then annealed for 5 minute to minimize any mechanical stress build up around the needle-plane region before it was cooled down to room temperature. Each specimen were subjected to the same applied voltage stress level at 8 kV AC rms, with various frequency, 50, 100, 500, 1000 and 2000 Hz. Initiation time, propagation speed and pattern of electrical treeing were examined in order to study the effect of applied voltage stress frequency. By the experimental results, initial time of visible treeing decreases with increasing in applied voltage frequency. Also, obviously, propagation speed of electrical treeing increases with increasing in applied voltage frequency. Furthermore, two types of electrical treeing, bush-like and branch-like treeing were observed. The experimental results confirmed the effect of voltage stress frequency as well.

**Keywords**—Voltage stress frequency, cross-linked polyethylene, electrical treeing, treeing propagation, treeing pattern

## I. INTRODUCTION

RECENTLY, cross linked polyethylene (XLPE) material is widely used as insulating material in high voltage cable for electrical transmission and distribution systems because of its excellent physical, chemical and dielectric properties. However, under multi-stress, i.e. electrical, thermal and mechanical stresses, and over a period of time, its chemical composition and physical morphology may change without avoidable. In consequence, its properties may alter, i.e. increasing of conductivity and dielectric loss and reduction of mechanical, electrical and thermal strengths. Finally, ageing deterioration of XLPE material may occur. Many phenomena can induce ageing of XLPE material. Partial discharge is one of those phenomena. Electrical treeing is one of partial discharge in an insulation system of XLPE insulated cable. Electrical treeing is not only the main factor affecting the

reliability of cable insulation, but also the final destructive form of cable insulation operating in the long run. Electrical trees can be initiated from various defects in cable insulation, such as impurity or local high electric field due to the protuberance of semi-conducting shielded layer. It is found that the factors responsible for initiating and propagating of electrical trees in cable insulation depend upon not only the cable manufacturing technique, physical morphology of insulation material but also depending on the frequency of applying voltage[1-5].

Rawangpae et al. [6] reported the experimental results on artificial ageing test of 22 kV XLPE cable for distribution system application in Thailand. XLPE insulating material of 22 kV cable was sliced to 60-70  $\mu\text{m}$  in thick and was subjected to ac high voltage at 23°C, 60°C and 75°C. Testing voltage was constantly applied to the specimen until breakdown. Breakdown voltage and time to breakdown were used to evaluate life time of insulating material. The physical model by J.P. Crine for predicts life time of XLPE insulation material was adopted as life time model and was calculated in order to compare the experimental results.

Hozumi et al. [7] studied influence of morphology on electrical tree initiation in polyethylene and insulation of the XLPE cables under ac and impulse voltages.

Zheng et al. [8] studied the electrical tree growing characteristics. The relationship between electrical tree propagation and the material morphology in XLPE cable insulation has been elucidated.

Xie et al. [9] found the statistical initiation and propagation characteristics of electrical trees in XLPE cables with different voltage ratings from 66 to 500 kV. They investigated electrical treeing under a constant test voltage of 50 Hz/7 kV (the 66 kV rating cable is from UK, the others from China). They found that the characteristics of electrical trees in the inner region of 66 kV cable insulation differed considerably from those in the outer region under the same test conditions.

Yoshimura et al. [10] reported results on the influence of interfacial pressure on treeing deterioration in XLPE. However, they did not find any clear change in the breakdown time with increasing interfacial pressure.

Auckland et al. [11] focus on a mechanical approach to the understanding of electrical treeing. In their view, treeing initiation is believed to arise from fatigue forces induced by the applied voltage. During the growth microscopic explosions within the dielectric due to localized intrinsic breakdown will create shock waves which lead to fatigue failure and fracture. It is verified by experiments that tree growth may be

R. Thiamsri and N. Ruangkajonmathee are master degree student with Suranaree University of Technology, Nakhonratchasima, 30000, Thailand.

A.Oonsivilai is with Center of Excellence in Electric Energy, Smart Materials, and Health Science, Postharvest Technology Research Center, School of Electrical Engineering, Suranaree University of Technology, Nakhon Ratchasima 30000 Thailand.

\*B. Marungsri is with Suranaree University of Technology, NakhonRatchasima, 30000, Thailand (corresponding author, phone: +66 44224366; fax: +66 4422 4601; e-mail: bmshvee@sut.ac.th).

controlled by the fracture toughness of the polymer as well as by its modulus of elasticity.

Noto and Yoshimura [12] examined polyethylene under various frequencies of ac electric stress. It was found that tree does not follow a linear growth relationship with the frequency. Under various applied voltages, tree exhibits different growth characteristics with various frequencies.

Many researchers have studied the effects of morphology of semi-crystalline material on the initiation and propagation of electrical trees in the past decades, but little attention was paid to the influence of frequency voltage on electrical tree in XLPE cable insulation [7-12]. In this study, initiation time, propagation speed and pattern of electrical treeing in 22 kV XLPE insulated cable subjected to sinusoidal waveform voltage stress with various frequency from 50-2,000 Hz were examined. The effects of applied voltage stress frequency to the occurrence electrical treeing were studied and elucidated.

## II. TEST ARRANGEMENT

### A. Specimen

In this study, all specimens were taken from a commercial 22 kV XLPE distribution power cable having copper conductors 12 mm in diameter and XLPE insulation 6 mm thick, as shown in Fig. 1. This type of power cable is used for underground distribution system of Provincial Electricity Authority (PEA) of Thailand. Unused cable was cut into hollow disc with a thickness of 5 mm. Cable cover and semiconducting layer were removed before the experimental. Stainless steel needle was inserted gradually into the specimen to give a tip to earth-plane electrode separation of  $2.5 \pm 0.2$  mm at elevated temperature of  $105-110^\circ\text{C}$ . The specimen was then annealed for approximately 5 minutes to minimize any mechanical stress build up around the needle-plane region before it was cooled down to room temperature. A typical specimen with an inserted needle is shown in Fig. 2.

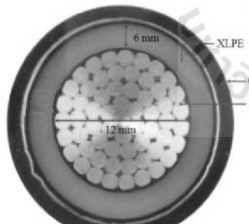


Fig. 1 Cross-section of 22 kV XLPE cable

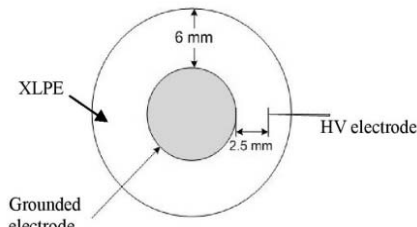


Fig. 2 Schematic diagram of specimen

### B. Test Method

During the experimental, the specimen was immersed in insulating bath oil to prevent external discharges or flashover. Test voltage was applied from high voltage amplifier (8 kV AC rms) with various frequencies at 50, 100, 500, 1000 and 2000 Hz, respectively. The experimental was conducted at room temperature ( $25^\circ\text{C}$ ). For each frequency of voltage stress, the occurrence of electrical treeing was enlarged by using digital microscope (5-500X) and was continuously recorded until electrical treeing cover  $\approx 90\%$  of needle-plane gap spacing. Electrical failure or breakdown of XLPE insulating material was avoided. Schematic diagram of experimental setup is illustrated in Fig. 3 and actual experimental layout is illustrated in Fig. 4.

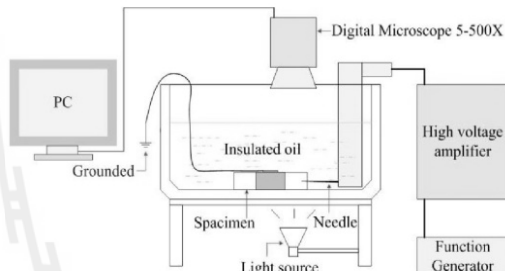


Fig. 3 Schematic diagram of experimental setup

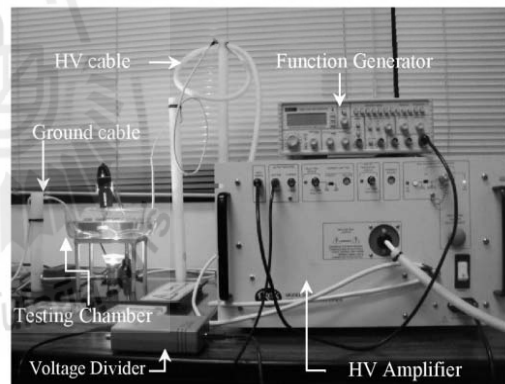


Fig. 4 Experimental Layout

## III. TEST RESULTS AND DISCUSSIONS

From the experimental results, significant differences in the occurrence of electrical treeing at each voltage stress frequency were observed. Three characteristics of electrical treeing, i.e. time of first visible treeing, treeing pattern and treeing propagation time, were analyzed and were discussed for each voltage stress frequency. Video capture software is useful tool for analyses the recorded video.

In case of applied voltage stress frequency at 50 Hz, first of visible treeing having 0.4 mm in length was observed after applying voltage stress for 31 minute. Electrical treeing initiated from tip of the needle electrode and expanded to the plane electrode. After applying voltage stress for 90 minute,

the expansion of electrical treeing reached 1.01 mm. Branch like treeing expansion with slowly speed propagation was observed for this voltage stress frequency. Caption picture of electrical treeing from recorded video are illustrated in Fig.5.

In case of applied voltage stress frequency at 100 Hz, first of visible treeing having 0.28 mm in length was observed after applying voltage stress for 22 minute. Electrical treeing initiated from tip of the needle electrode and expanded to the plan electrode. Unlike previous frequency, brush-like treeing was observed for this voltage stress frequency. The expansion of brush-like treeing reached 1.07 mm after applying voltage stress for 66 minute. Propagation speed of brush-like treeing at frequency 100 Hz is faster than that of frequency 50 Hz. Caption pictures of brush-like treeing are illustrated in Fig.6.

In case of applied voltage stress frequency at 500 Hz (ten times of power frequency), first of visible electrical treeing having 0.37 mm in length was observed after applying voltage stress for 15 minute. Electrical treeing initiated from tip of the needle electrode and expanded to the plane electrode same as those two previous frequencies. However, propagation and expansion speeds are faster than those of the two previous frequencies. The expansion of branch-like treeing reached

1.52 mm in length after applying voltage stress for 80 minute. Caption pictures of branch-like treeing are illustrated in Fig.7.

In case of applied voltage stress frequency at 1000 Hz (twenty times of power frequency), first visible electrical treeing having 0.43 mm in length was observed after applying voltage stress for 9 minute. Also, electrical treeing initiated from tip of the needle electrode same as the previous three frequencies, 50 Hz, 100 Hz, and 500 Hz, respectively. The expansion of electrical treeing reached 1.98 mm in length after applying voltage stress 62 minute. Such treeing occurrence indicates higher propagation speed when comparing with the other frequency. Caption picture of branch-like treeing are illustrated in Fig.8.

In case of applied voltage stress at frequency 2000 Hz (forty times of power frequency), first of visible electrical treeing was observed after applying voltage stress 5 minute. Apparent of visible treeing is the most fastest comparing with the other frequency. Branch-like treeing, also, initiated from tip of needle electrode and reached 2.48 mm in length after applying voltage stress 40 minute. Caption picture of electrical treeing are illustrated in Fig.9.

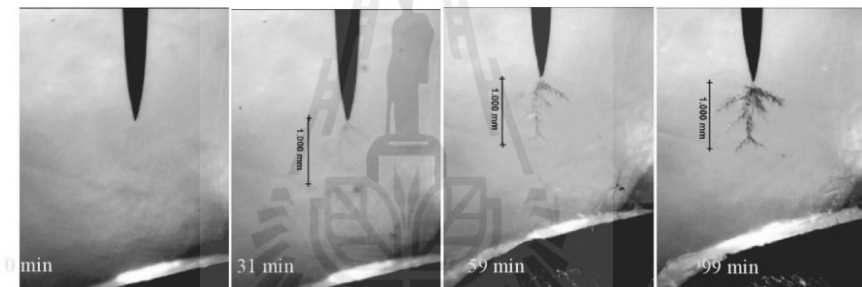


Fig. 5 Electrical treeing of applied voltage stress frequency at 50 Hz

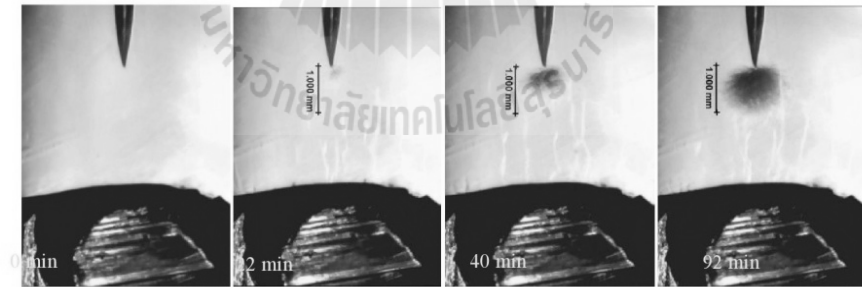


Fig. 6 Electrical treeing of applied voltage stress frequency at 100 Hz

World Academy of Science, Engineering and Technology 60 2011

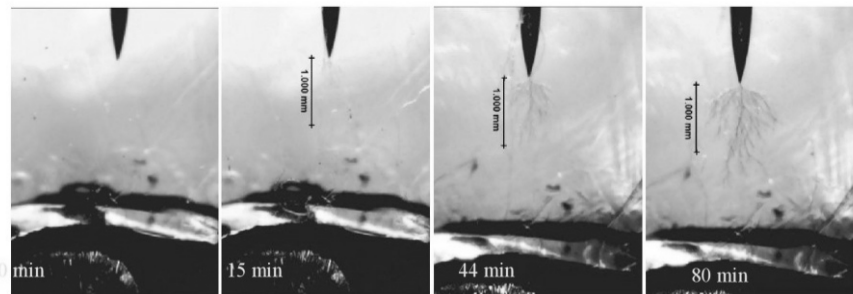


Fig. 7 Electrical treeing of applied voltage stress frequency at 500 Hz

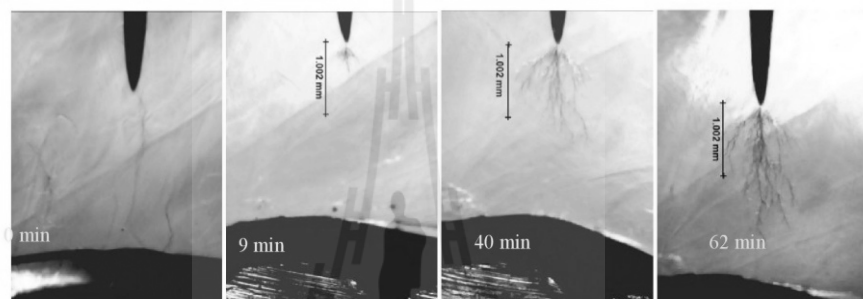


Fig. 8 Electrical treeing of applied voltage stress frequency at 1,000 Hz

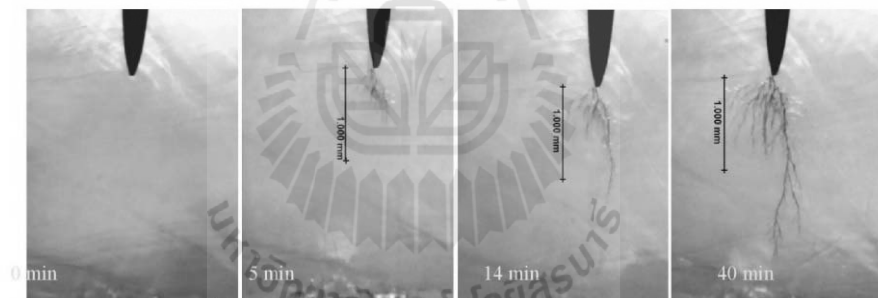


Fig. 9 Electrical treeing of applied voltage stress frequency at 2,000 Hz

World Academy of Science, Engineering and Technology 60 2011

**TABLE I**  
COMPARISON PROPAGATION LENGTH AND PROPAGATION TIME OF ELECTRICAL TREEING

50 Hz		100 Hz		500 Hz		1,000 Hz		2,000 Hz	
Length (mm)	Time (min)								
0.40	31	0.28	22	0.37	15	0.43	9	0.78	5
0.41	35	0.31	28	0.41	21	0.51	15	0.81	7
0.43	37	0.39	33	0.48	25	0.59	20	0.87	9
0.49	41	0.46	38	0.59	29	0.75	25	0.93	11
0.53	43	0.58	40	0.67	35	0.86	30	0.99	12
0.61	48	0.61	42	0.75	37	0.98	35	1.23	14
0.68	51	0.64	46	0.80	41	1.11	37	1.32	16
0.72	55	0.73	50	0.91	44	1.30	40	1.38	17
0.86	59	0.81	56	1.06	50	1.46	44	1.43	18
0.91	63	0.89	60	1.21	55	1.53	49	1.55	20
0.96	69	0.99	66	1.35	59	1.61	54	1.63	24
1.00	74	1.07	70	1.41	64	1.73	56	1.75	28
1.00	84	1.07	75	1.51	71	1.85	59	1.98	32
1.01	90	1.07	80	1.51	77	1.89	60	2.13	36
1.01	99	1.07	92	1.52	80	1.98	62	2.48	40

In order to examine the effect of applied voltage stress frequency, propagation length and propagation time of electrical treeing were measured by using video caption pictures. The measuring results illustrated in Table I and were plotted together, as shown in Fig. 10. As shown in Table I, initial time of visible treeing (recorded video) decreases with increasing in applied voltage frequency. Obviously, as shown in Fig. 10, propagation speed of electrical treeing increases with increasing in applied voltage frequency. The experimental results show that voltage stress frequency is one of dominant effect to the occurrence of electrical treeing. Furthermore, as illustrated in Table II, Two types of electrical treeing, bush-like and branch-like treeing were observed from the experimental.

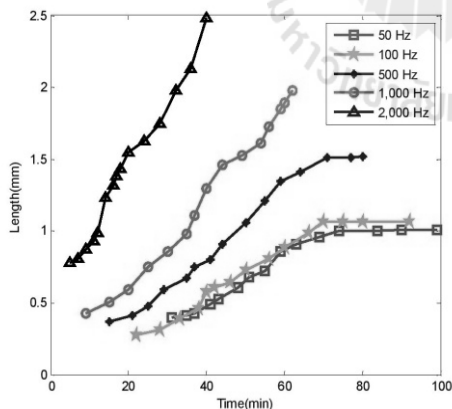


Fig. 10 Propagation characteristics of electrical trees

**TABLE II**  
PATTERN OF ELECTRICAL TREEING

Frequency (Hz)	Time (min)	Treeing length(mm)	Treeing characteristic
50	99	1.01	Branch tree
100	92	1.07	Bush tree
500	80	1.52	Branch tree
1,000	62	1.98	Branch tree
2,000	40	2.48	Branch tree

#### IV. CONCLUSION

The following conclusions are given according to the experimental results.

(1) Initial time of visible electrical treeing decrease with increasing in applied voltage stress frequency.

(2) Obviously, propagation speed of electrical treeing increase with increasing in applied voltage stress frequency.

(3) Two types of electrical treeing, bush-like and branch-like treeing, were observed.

#### ACKNOWLEDGMENT

The Authors would like to thank you Suranaree University of Technology for financial support.

#### REFERENCES

- [1] J. V. Champion, S. J. Dodd, Y. Zhao, A. S. Vaughan, M. Brown, A.E. Davies, S. J. Sutton and S. G. Swigler, "Morphology and Growth of Electrical Trees in a Propylene/ethylene Copolymer", *IEEE Transaction on Dielectric and Electrical Insulation*, Vol. 8, pp. 284-292, 2001.
- [2] J. V. Champion, S. J. Dodd, A. S. Vaughan, Y. Zhao, and S. J. Sutton, "Effect of Voltage, Temperature and Morphology on Electrical Treeing in Polyethylene Blends", *Proceedings of Dielectric Materials, Measurement and Applications*, No.473, pp. 35-40, 2000.
- [3] E. David, J. Parpal, and J. Crine, "Influence of Internal Mechanical Stress and Strain on Electrical Performance of Polyethylene", *IEEE Transaction on Dielectric and Electrical Insulation*, Vol. 3, pp. 248-57, 1996.
- [4] Y. Zhao, A. S. Vaughan, J. V. Champion, S. J. Dodd, and S. J. Sutton, "The structure of Electrical Trees in Semi-crystalline Polymers",

- Proceedings of Dielectric Materials, Measurement and Applications*, London Guildhall University UK, IEE Conference Publication, No. 473, pp. 314-319, 2000.
- [5] A. Xie, X. Zheng, S. Li and G. Chen. "Investigations of electrical trees in the inner layer of XLPE cable insulation using computer-aided image recording monitoring", *IEEE Transaction on Dielectric and Electrical Insulation*, Vol.17, pp.685-693, 2010.
  - [6] A. Rawangpia, B. Marungsri and N. Chomnawang "Artificial accelerated ageing test of 22 kV XLPE cable for distribution system applications in Thailand", *World Academy of Science, Engineering and Technology*, Issue 65, pp.220-225, 2010.
  - [7] N. Hozumi, M. Okamoto and H. Fukagawa "The influence of morphology on electrical tree initiation in polyethylene under AC and impulse voltages", *IEEE Transaction on Dielectric and Electrical Insulation*, Vol.25, pp.707-714, 1990.
  - [8] X. Zheng and G. Chen, "Propagation mechanism of electrical tree in XLPE cable insulation by investigating a double electrical tree structure", *IEEE Transaction on Dielectric and Electrical Insulation*, Vol.15, pp.800-807, 2008.
  - [9] A.S.Xie and X.Q.Li, "Electrical trees in inner and outer layer of different voltage rating XLPE cable insulation", *International Symposium on Electrical Insulating Materials (ISEIM)2008*, pp.380-383, 2008.
  - [10] N. Yoshimura, E. Hirade, Y. Changmin, H. Miyata and T. Niwa, "Effect of Interface Pressure on Treeing Deterioration in Cross linked Polyethylene", *Proceeding of International Conference on Property and Application of Dielectric Material*, pp. 444-447, 1994
  - [11] M.N. Arbab and D.W. Auckland: "Growth of electrical trees in solid insulation" IEE Proceeding of Science, Vol. 136, No. 2, pp. 73-78, 1989.
  - [12] F. Noto and N. Yoshimura, "Voltage and Frequency Dependence of Tree Growth in Polyethylene", *IEEE Conference on Electrical Insulation and Dielectric Phenomena (CEIDP)*, pp. 206-217, 1974.



**Ratthakhet Thiamsri** was born in Angthong, Thailand, in 1987. He received his B.Eng. in Electrical Engineering from Suranaree University of Technology, Nakhon Ratchasima, Thailand, in 2009. Currently, He is a master degree student in school of Electrical Engineering, Institute of engineering, Suranaree University of Technology. His interesting research areas are high voltage technology applications, high voltage insulation technology and power system technology.



**Nattawut Ruangkajonmathee** was born in KhonKaen, Thailand in 1987. He received his B. Eng. in Electrical Engineering from Suranaree University of Technology, Nakhon Ratchasima, in 2009. Currently, he is a master degree student in school of Electrical Engineering, Institute of engineering, Suranaree University of Technology. His interesting research topic is high voltage insulation technology.



**Anant Oonsivilai**, was born in KhonKaen Province, Thailand, in 1963. He received his B.Eng from Khon Khan University, and M.Eng. from King Mongkut Institute of Technology North Bangkok, Thailand and PhD. From Dalhousie University, Canada, all in Electrical Engineering, in 1986, 1992 and 2000, respectively. Dr. Oonsivilai is currently an Assistant Professor in school of Electrical Engineering, Suranaree University of Technology, Thailand.



**Boonruang Marungsri** was born in Nakhon Ratchasima Province, Thailand, in 1973. He received his B. Eng. and M. Eng. from Chulalongkorn University, Thailand in 1996 and 1999 and D. Eng. from Chubu University, Kasugai,

Aichi, Japan in 2006, all in electrical engineering, respectively. Dr. Marungsri is currently an assistant professor in School of Electrical Engineering, Suranaree University of Technology, Thailand. His areas of interesting research topic are high voltage insulation technologies and electrical power system.

# Space Charge Distributionin 22 kV XLPE Insulated Cable by using PulseElectroacoustic Measurement Technique

N. Ruangkajonmathee, R. Thiamsri, and B. Marungsri\*

**Abstract**—This paper presents the experimental results on space charge distribution in cross-linked polyethylene (XLPE) insulating material for 22 kV power distribution system cable by using pulse electroacoustic measurementtechnique(PEA).Numbers of XLPE insulating material ribbon having thickness 60  $\mu\text{m}$ taken from unused 22 kV high voltage cable were used as specimen in this study. DC electric field stresswas applied to test specimen at room temperature (25°C ). Four levels of electric field stress,25 kV/mm, 50 kV/mm, 75 kV/mm and 100 kV/mm, were used. In order to investigate space charge distribution characteristic, space charge distribution characteristics were measured after applying electric field stress 15 min, 30 min and 60 min, respectively. The results show that applied time and magnitude of dc electric field stress play an important role to the formation of space charge.

**Keywords**—Space charge distribution, pulsed electroacoustic (PEA)technique, cross-linked polyethylene (XLPE), DCelectrical fields stress.

## I. INTRODUCTION

Nowadays, XLPE is used an insulating material in high voltage power cable. The advantages of XLPE are high dielectric strength and electrical resistivity combined with good physical propertiessuch as resistance to cracking and moisture penetration[1-2]. However, under certain operating conditions, their good electrical insulation properties may become degraded. For example, trapped or low mobility electrically charged species within the bulk can give rise to space charge, resulting in localized electric stress enhancement. This can cause further concentration of charge and lead to premature failure of the material[3-4]. In a solid dielectric medium, space charge and electric displacement are related by theMaxwell-Gauss equation. In situations where quantities depending on only onespatial coordinate, z, this equation is expressed as[5]:

$$\frac{\partial D(z)}{\partial z} = \rho(z) = \rho_c(z) + \rho_p(z) \quad (1)$$

where:

$D(z)$  is the electric displacement,  
 $\rho(z)$  is the total charge density,

N. Ruangkajonmathee and R. Thiamsri aremaster degree studentswith Suranaree University of Technology, Nakhonratchasima, 30000, THAILAND.  
 \*B. Marungsri is with Suranaree University of Technology, NakhonRatchasima, 30000, THAILAND (corresponding author, phone: +66 44224366; fax: +66 4422 4601; e-mail: bmshvee@ sut.ac.th).

$\rho_c(z)$  is the volume density of space charges, defined as real charges, beingpositive or negative, including surface and bulk charge,

$\rho_p(z)$  is the volume density of bound charges, defined in respect to materialpolarization P as:

$$\rho_p(z) = -\frac{\partial P(z)}{\partial z} \quad (2)$$

If the polarization is uniform along the z direction, the total charge is the spacecharge.

Space charge effects have been widely recognized as one of the major components of the electrical aging processes in polymeric insulation, because it may raise the electric field locally and hence initiate a degradation mechanism in insulator [3, 6-7]. Therefore, it is very important to understand space charge effects to polymer insulation.

PEA technique is a nondestructive method, which has been developed to measure dynamically net charge density as a function of distance through solid insulating materials under an applied voltage. The principle of space charge measurement using the PEA technique is well known and reported elsewhere[5-6,8-9].

Kwang et al. [10] studied effects of constituents of XLPE on the formation of space charge by PEA technique, cross-linked part of low density polyethylene (LDPE) encourages antioxidant and residual byproducts on the formation of space charge in XLPE have been investigated.

Montanari et al. [11] reported results the effect of humidity on space charge accumulation in XLPE at room temperature and humidity concentration from 5 to 95%. Space charge measurements were performed by using the PEA technique. Different levels of DCconstant poling field were considered, ranging from 5 kV/mm to 185 kV/mm.

Chen et al. [12] report the effect of mechanical deformation on space charge dynamics in XLPE. Thin films were peeled from a66 kV commercial XLPE cable. Space chargemeasurements under DC electric fields have beenmonitored using the PEA technique.

Chong et al. [13]reports on space charge evolution in XLPE planarspecimens approximately 1.20 mm thick subjected to electric stress level of 30 kV<sub>dc</sub>/mm atfour temperatures 25, 50, 70 and 90°C for 24 h.Space charge distributions aredominated by positive charge when tested at high temperatures regardless of specimens treatment and positive charge propagation enhances as testing temperature increases. This can be a major cause of concern as positive charge propagation has been reportedto be related to insulation breakdown.

In this paper, space charge distribution in XLPE insulating material for 22 kV cable under different dc electric fields ranging from 25 kV/mm to 100 kV/mm have been investigated by using the PEA measurement technique. The influence of electric field stress on space charge distribution been investigated.

## II. EXPERIMENTAL

### A. Specimens

Specimens for the experimental made from un-aged 22 kV XLPE distribution power cables having copper conductors 12 mm in diameter and XLPE insulation 6 mm thick, as shown in Fig. 1. This type of power cable is used in underground distribution system of Provincial Electricity Authority of Thailand. Numbers of XLPE ribbon with thickness 60  $\mu\text{m}$  were cut from the insulation around a cable by using a microtome. All specimens were measured precisely before testing so the thickness effect is neglected.

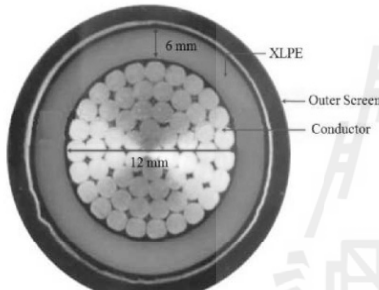


Fig. 1 Cross-section of 22 kV XLPE cable

### B. Test Arrangement and Test Methods

The PEA technique was chosen to detect space charge in specimens due to its simplicity in structure, low cost and easy to implement. A high voltage pulse with 5 ns length is applied to the specimens sandwiched between the two electrodes. The pulsed electric field produced interacts with charge layers, generating an electric force which displays charge. The consequence is the formation of pulsed acoustic waves in correspondence of each charge layer with respect to neutrality. The resultant acoustic signals are detected by a piezoelectric transducer (PVDF) so that the charge distribution in the specimens under test can be obtained from the output voltage profile of the transducer. The electric signal obtained in time domain represents the charge distribution. The analysis of space charge profiles is restricted to one dimension.

The schematic diagram for the PEA system used for this experiment is shown in Figure 2. The electric signal obtained in time domain represents the charge distribution. To obtain quantitative charge distribution, a proper calibration is required [14].

Electrodes and specimens were immersed in transformer oil in order to avoid surface flashover in air. The experimental layout is shown in Fig. 3. To observe space charge dynamics, the electric fields ranging from 25 kV/mm to 100 kV/mm were

applied to specimens. The experimental conditions are shown in Table I.

TABLE I  
TEST CONDITIONS

PEA system	Conditions
Electric Field	25-100 kV/mm
Pulse Voltage	400 V, 5ns, 1kHz
Specimens thickness	60 $\mu\text{m}$
High voltage Amplifier	1:2000

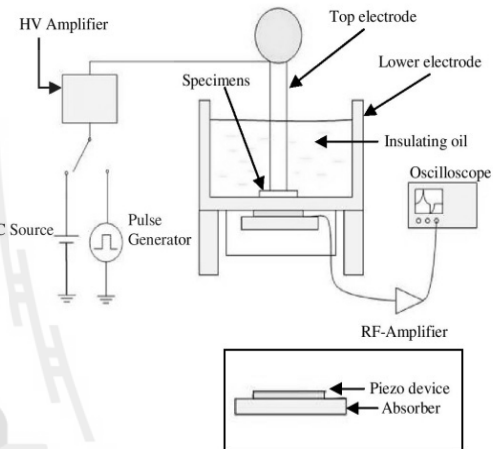


Fig. 2 Test arrangement



Fig. 3 Test chamber

## III. TEST RESULTS AND DISCUSSION

The PEA measurements were performed at room temperature after applying DC field stress for 15 min, 30 min and 60 min, respectively. The experiments were carefully conducted in order to obtain the precise results. Measurement results for each electric field stress level are illustrated in Fig. 4, Fig. 5, Fig. 6 and Fig. 7, respectively.

World Academy of Science, Engineering and Technology 72 2012

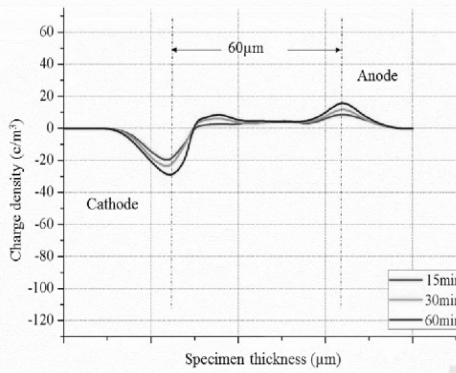


Fig. 4 Space charge distribution in the presence of the applied electric field 25 kV/mm

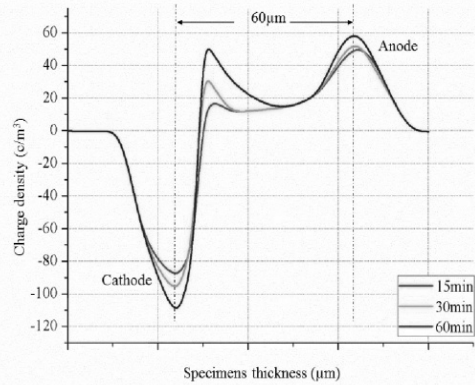


Fig. 7 Space charge distribution in the presence of the applied electric field 100 kV/mm

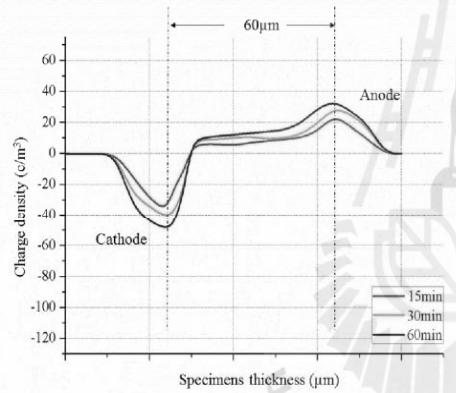


Fig. 5 Space charge distribution in the presence of the applied electric field 50 kV/mm

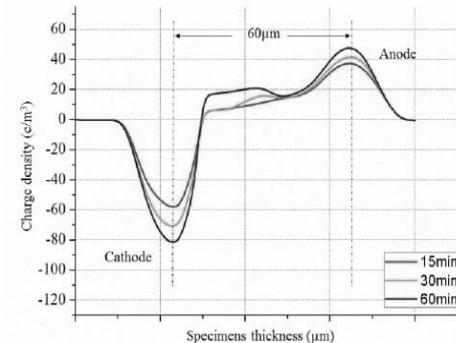


Fig. 6 Space charge distribution in the presence of the applied electric field 75 kV/mm

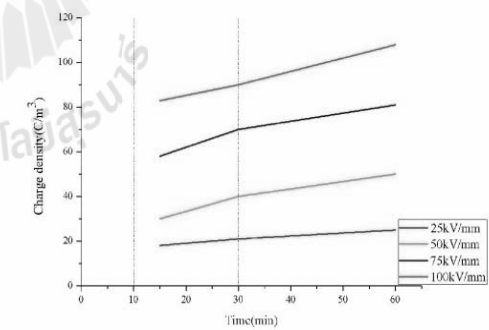


Fig. 8 The relation between charging time and the charge density at cathode

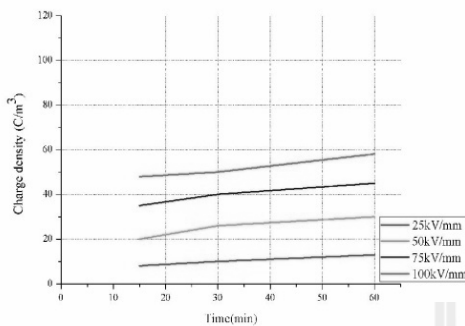


Fig.9The relation between charging time and the charge density at anode

#### IV. CONCLUSION

Space charge distribution characteristics in XLPE ribbon at the applied electric fields ranging from 25 to 100 kV/mm have been observed over a period of 15 min, 30 min and 60 min.,respectively using the PEA technique. The following conclusions are given.

- (1) The characteristics of space charge formationat the two electrodesafter applyingdifferent magnitude of DC electric field stress were obtained.
- (2) Magnitude of DC electric field stress and time applying DC field stress has an important role to space charge distribution in XLPE material.

#### ACKNOWLEDGMENT

The Authors would like acknowledge Suranaree University of Technology for financial support.

#### REFERENCES

- [1] R. Arrighi, "From Impregnated Paper to Polymeric Insulating Material in Power Cables", *IEEE Trans. Electr.Insul.*, Vol. 21, 1986, pp.7-18.
- [2] T. L. Hanley, R. P. Burford, R. J. Fleming and K. W. Barber, "A General Review of Polymeric Insulation for Use in HVDC Cables", *IEEE Electr. Insul. Mag.*, Vol. 19, No. 1, 2003, pp. 13-24.
- [3] Y.Zhang J.Lewiner , C.Alquic and N. Hampton " Evidence of strong correlation between space charge buildup and breakdown in cable insulation", *IEEE Trans. Dielectr. Electr. Insul.*,Vol.4, 1997, pp 83-778.
- [4] Z.Liu ,R.Liu ,H. Wang and W. Liu " Space charge and initiation of electrical trees", *IEEE Trans. Electr. Insul.*,Vol.24, 1989, pp.9-83.
- [5] O. Gallo-Lavalée, V. Griseri, G. Teysseyre and C. Laurent, "The pulsed electro-acoustic technique in research on dielectrics for electrical engineering :Today's achievements and perspectives for the future", *RS-RIGE*, Vol. 8, No. 5, June 2005, pp. 749 – 772.
- [6] L. Dissado, G. Mazzanti and G. C. Montanari, "The Role of Trapped Space Charges in the Electrical Aging of Insulating Materials", *IEEE Trans. Diel.andElectr. Insul.*, Vol. 4, 1997, pp. 496-506.
- [7] C. Le Gressus and G. Blaise, "Breakdown Phenomena Related to Trapping De-Trapping Processes in Wide Band Gap Insulators", *IEEE Trans. Electr. Insul.*, Vol. 27, No. 3, 1992, pp. 472-481.
- [8] T. Maeno, H. Kushibe, T. Takada and C.M. Cooke, "Pulsed electroacoustic Method for the measurement of volume charge in e-beam irradiated PMMA", *Proc. IEEE Conf. Electr.Insul.Diel. Phenomena*,1985, pp. 389-397.
- [9] T. Maeno, T. Futami, H. Kushibe, T. Takada and C.M. Cooke, "Measurement of spatial charge distribution in thick dielectrics using thepulsed electroacoustic method", *IEEE Trans. Electr.Insul.*, Vol. 23,1988, pp.433-439.
- [10] S.SuhKwang,J.Sun Hwang, S.Noh Jin and T.Takada, "Effects of Constituents of XLPE on the Formation of Space Charge", *IEEE Trans. Diel. andElectr. Insul.*, Vol. 1, 1994, pp. 1077-1083.
- [11] G.C.Moniaranari and F.Palmieri, "The effect of humidity on space charge accumulation in XLPE",in *Proc. Annual Report Conference on Electrical Insulation and Dielectric Phenomena.*, 2003, pp. 205-208.
- [12] G.Chen and M.R. Kamaruzzaman, "Impact of mechanical deformation on space charge in XLPE", in *Proc. International Conference on Solid Dielectrics*, Winchester, UK, July 8-13, 2007, pp.511-513.
- [13] Y.L. Chong, G. Chen and Y.F.F. Ho, "Temperature Effect on Space Charge Dynamics in XLPE Insulation", *IEEE Trans. Electr.Insul.*, Vol. 14, 2007, pp.65-76.
- [14] T. Maeno, "Calibration of the pulsed electroacoustic method for measuring space charge density",*Trans. IEE Japan*, Vol. 119-A, 1999, pp.114-119.



**NattawutRuangkajonmathee** was born in KhonKaen Province, Thailand, in 1987. He received his B. Eng. in Electrical Engineering from Suranaree University of Technology, Nakhon Ratchasima, in 2009. Currently, He is a master degree student in school of Electrical Engineering, Institute of engineering, Suranaree University of Technology. His research topic interesting is High voltage insulation technology.



**Ratthakhet Thiamsri** was born in Ang Thong Province, Thailand, in 1987. He received his B. Eng. in Electrical Engineering from Suranaree University of Technology, Nakhon Ratchasima, Thailand, in 2009. Currently, He is a master degree student in school of Electrical Engineering, Institute of engineering, Suranaree University of Technology. His interesting areas arehigh voltage technology applications, high voltage insulation technology and power system technology.



**Boonruang Marungsri** was born in Nakhon Ratchasima Province, Thailand, in 1973. He received his B. Eng. and M. Eng. from Chulalongkorn University, Thailand in 1996 and 1999 and D. Eng. from Chubu University, Kasugai, Aichi, Japan in 2006, all in electrical engineering, respectively. Dr. Marungsri is currently an assistant professor in School of Electrical Engineering, Suranaree University of Technology, Thailand. His areas of interest are high voltage insulation technologies and electrical power system.

## ประวัติผู้เขียน

นายรัฐเขต เทียมศรี เกิดเมื่อวันที่ 27 กรกฎาคม พ.ศ. 2530 ที่อำเภอโพธิ์ทอง จังหวัดอ่างทอง เริ่มนักศึกษาระดับอนุบาล ที่โรงเรียนวัดม่วงคัน อำเภอโพธิ์ทอง จังหวัดอ่างทอง ประถมศึกษา ที่โรงเรียนวัดนางใน (ละอีกดอุปถัมป์) อำเภอวิเศษชัยชาญ จังหวัดอ่างทอง และสำเร็จการศึกษา ระดับมัธยมศึกษาตอนปลาย จากโรงเรียนอ่างทองปีทม โรงนวิทยาคน อำเภอเมือง จังหวัด อ่างทอง เมื่อ พ.ศ. 2548 ในภายหลังได้เข้าศึกษาต่อระดับปริญญา วิศวกรรมศาสตรบัณฑิต (วิศวกรรมไฟฟ้า) มหาวิทยาลัยเทคโนโลยีสุรนารี จังหวัดนครราชสีมาและสำเร็จการศึกษาใน ปี พ.ศ. 2552 จากนั้นจึงได้ศึกษาต่อระดับปริญญา วิศวกรรมศาสตรบัณฑิต ในกลุ่มวิจัยไฟฟ้า กำลังและพลังงาน สาขาวิชาวิศวกรรมไฟฟ้า มหาวิทยาลัยเทคโนโลยีสุรนารี โดยระหว่างศึกษา ระดับปริญญาโท มีประสบการณ์สอนเป็นผู้สอนปฏิบัติการของสาขาวิชาวิศวกรรมไฟฟ้า สำนักวิชา วิศวกรรมศาสตร์ มหาวิทยาลัยเทคโนโลยีสุรนารี จำนวน 4 รายวิชา ได้แก่ (1) ปฏิบัติการ เครื่องจักรกลไฟฟ้า 1 (2) ปฏิบัติการจักรกลไฟฟ้า 2 (3) ปฏิบัติการระบบไฟฟ้ากำลัง 2 (4) ปฏิบัติการวิศวกรรมไฟฟ้า 1 โดยมีผลงานทางวิชาการที่ได้รับการตีพิมพ์เผยแพร่ใน冊子ศึกษา ดังปรากฏในภาคผนวก ทั้งนี้ผู้วิจัยมีความสนใจทางด้านระบบไฟฟ้ากำลัง และวิศวกรรมไฟฟ้าแรงสูง